

●نام پروژه : ساختمان مسکونی

●موقعیت : تبریز

●کاربری : مسکونی

●تعداد طبقات : ۳ طبقه

●تعداد زیرزمین : ندارد

●سیستم باربر جانبی قاب خمشی می باشد.

●سیستم باربر ثقلی، سقف عرشه فولادی می باشد

●ساختمان با شکل پذیری متوسط می باشد.

●نوع خاک III می باشد.

مشخصات مصالح مصرفی

مشخصات تحلیلی مصالح		مشخصات طراحی	
جرم واحد حجم M	240 kg/m^3	مقاومت فشاری ۲۸ روزه یا بیشتر	210 kg/cm^2
وزن واحد حجم W		تنش تسلیم آرماتورهای طولی	4000 kg/cm^2
مدول الاستیسیته	$4700\sqrt{f_c}$	تنش تسلیم آرماتورهای عرضی	3000 kg/cm^2
ضریب پواسون ν	0.2		

بارگذاری ثقلی

بارهای مرده کف

جزئیات کف پشت بام و محاسبه وزن آن

بار مرده پشت بام						
کیلوگرم بر مترمربع	15	=				لایه رطوبتی
کیلوگرم بر مترمربع	31.5	=	2100	*	0.015	ملات ماسه سیمان
کیلوگرم بر مترمربع	130	=	1300	*	0.10	بتن پوکه
کیلوگرم بر مترمربع	225	=	2500	*	0.09	بتن دال
کیلوگرم بر مترمربع	9	=	9	*	1	وزن ورق عرشه فولادی
کیلوگرم بر مترمربع	50	=	50	*	1	وزن تیرآهن مختلط
کیلوگرم بر مترمربع	50	=	50	*	1	سقف کاذب با اندود گچی
کیلوگرم بر مترمربع	10	=	10	*	1	وزن تاسیسات
کیلوگرم بر مترمربع	520.5	مجموع بار				
کیلوگرم بر مترمربع	236	مجموع بار اعمالی توسط کاربر				
کیلوگرم بر مترمربع	284	مجموع بار اعمال شده توسط نرم افزار				

جزئیات کف طبقات و محاسبه وزن آن

بار مرده طبقات مسکونی						
پوشش کف (سرامیک)	0.01	*	2100	=	21	کیلوگرم بر مترمربع
پوکه معدنی	0.10	*	600	=	60	کیلوگرم بر مترمربع
ملات ماسه سیمان	0.015	*	2100	=	31	کیلوگرم بر مترمربع
بتن دال	0.09	*	2500	=	225	کیلوگرم بر مترمربع
ورق عرشه فولادی	1	*	9	=	9	کیلوگرم بر مترمربع
وزن تیرآهن مختلط	1	*	50	=	50	کیلوگرم بر مترمربع
سقف کاذب با اندود گچی	1	*	50	=	50	کیلوگرم بر مترمربع
وزن تاسیسات	1	*	10	=	10	کیلوگرم بر مترمربع
مجموع بار	456					کیلوگرم بر مترمربع
بار معادل تیغه بندی	100					کیلوگرم بر مترمربع
مجموع بار اعمالی توسط کاربر	272					کیلوگرم بر مترمربع
مجموع بار اعمال شده توسط نرم افزار	284					کیلوگرم بر مترمربع

بارهای مرده دیوارهای نمادار و بدون نما دیوار ۲۰ سانت خارجی نمادار

ردیف	مصلح	وزن واحد حجم	ضخامت	تعداد مشابه	وزن واحد کل سطح
۱	آجر کاری با آجر سفالی با ملات ماسه سیمان	۸۵۰	۰/۲	۱	۱۷۰
۲	ملات ماسه سیمان	۲۱۰۰	۰/۰۲	۱	۴۲
۳	آجر نمای ۳ سانتی	۲۱۰۰	۰/۰۵	۱	۱۰۵
۴	گچ و خاک	۱۶۰۰	۰/۰۱۵	۱	۲۴
۵	سفید کاری	۱۳۰۰	۰/۰۰۵	۱	۶/۵
جمع	وزن هر متر مربع 350 کیلو گرم بر متر				

دیوار ۲۰ سانت خارجی بدون نما

ردیف	مصلح	وزن واحد حجم	ضخامت	تعداد مشابه	وزن واحد کل سطح
۱	آجر کاری با آجر سفالی با ملات ماسه سیمان	۸۵۰	۰/۲	۱	۱۷۰
۲	ملات ماسه سیمان	۲۱۰۰	۰/۰۲	۱	۴۲
۳	گچ و خاک	۱۶۰۰	۰/۰۱۵	۱	۲۴
۴	سفید کاری	۱۳۰۰	۰/۰۰۵	۱	۶/۵

وزن هر متر مربع ۲۴۵ کیلو گرم بر متر مربع	جمع
--	-----

دیوار های جان پناه

ردیف	مصلح	وزن واحد حجم	ضخامت	تعداد مشابه	وزن واحد کل سطح
۱	آجر کاری با آجر فشاری	۱۸۵۰	۰/۱	۱	۱۸۵
۲	ملات ماسه سیمان	۲۱۰۰	۰/۰۶	۱	۱۲۶
۳	سنگ تراورتن	۲۴۰۰	۰/۰۲	۱	۴۸
جمع	وزن هر متر مربع ۳۶۰ کیلو گرم بر متر مربع				

ارتفاع دیوار جان پناه را ۱ متر در نظر گرفتیم. ۱۰ کیلوگرم بر متطول جهت وزن گالوانیزه و نبش کشی به وزن مترطول دیوار جان پناه اضافه می شود. پس داریم:

$$kg/m^2 \ 370 = 360 + 10$$

بار مرده کنسول طبقات

ردیف	مصلح	وزن واحد حجم	ضخامت	تعداد مشابه	وزن واحد کل سطح
۱	سرامیک کف	۲۱۰۰	۰/۰۱	۱	۲۱
۲	ملات ماسه سیمان	۲۱۰۰	۰/۰۲	۱	۴۲
۳	بتن دال	۲۵۰۰	۰/۱۵		۳۷۵
۴	گچ و خاک	۱۶۰۰	۰/۰۱۵		۲۴
۵	سفیدکاری	۱۳۰۰	۰/۰۰۵		۶/۵
جمع	وزن هر متر مربع ۴۷۰ کیلو گرم بر متر مربع				

بار مرده تیغه های داخلی

ردیف	مصالح	وزن واحد حجم	ضخامت	تعداد مشابه	وزن واحد کل سطح
۱	سفید کاری	۱۳۰۰	۰/۰۰۵	۲	۱۳
۲	گچ و خاک	۱۶۰۰	۰/۰۱۵	۲	۴۸
۳	آجر کاری با آجر سفالی با ملات ماسه سیمان	۸۵۰	۰/۱		۸۵
جمع	وزن هر متر مربع ۱۴۶ کیلو گرم بر متر مربع				

پاگرد پله

ردیف	مصالح	وزن واحد حجم	ضخامت	تعداد مشابه	وزن واحد کل سطح
۱	گرانیت کف	۲۸۰۰	۰/۰۵	۱	۱۴۰
۲	گچ و خاک	۱۶۰۰	۰/۰۱۵	۱	۲۴
۳	دال بتنی	۲۵۰۰	۰/۱۵	۱	۳۷۵
۴	سفید کاری	۱۳۰۰	۰/۰۰۵	۱	۶/۵
جمع	وزن هر متر مربع ۵۴۵ کیلو گرم بر متر مربع				

با مقایسه بار شمشیری پله و بار پاگرد پله مقدار بار مرده پله را به نفع اطمینان ۷۰۰ کیلوگرم بر متر مربع در

نظر می گیریم.

بار زنده

طبق بند ۶-۳-۲ مبحث ششم مقررات ملی ساختمان بار زنده کف ها برای طراحی به طور عمده بار گسترده یکنواختی است که در سراسر کف اثر داده می شود. حداقل این بارها برای کاربری های مختلف در جدول شماره ۱-۳-۶ و در بندهای ۶-۳-۲ تا ۶-۳-۸ داده شده است. و در به کارگیری این بار گسترده رعایت ضابطه بند ۳-۳-۶ الزامی است.

علاوه بر این، کف ها باید بتوانند بار متمرکز مشخص شده در جدول شماره ۶-۳-۲ را بطور موضعی تحمل نمایند. این بار در سطحی به ابعاد ۱۵ سانتیمتر در ۱۵ سانتیمتر وارد می شود و محل آن باید طوری در نظر گرفته شود که بیشترین اثر را در عضو ایجاد کند. این بار نباید همزمان با بار یکنواخت به کف اثر داده شود. چون ساختمان ما مسکونی می باشد لذا بار زنده طبقات ۲۰۰ کیلو گرم بر متر مربع و بار زنده بام ۱۵۰ کیلوگرم بر متر مربع و بار زنده مطابق مبحث ششم مقررات ملی ویرایش ۹۲ و بار بالکن ها ۳۰۰ کیلو گرم بر متر مربع می باشد. و در بام بار متمرکز ۱۰۰ کیلوگرم بر متر مربع کنترل می شود.

جدول بارهای ثقلی

بارهای سطحی

موقعیت	بار مرده	بار زنده
کف طبقات	456	200
کف بام	520.5	150
راه پله	700	500
کنسول ها(دالها)	470	500

150	543	خر پشته بار جان پناه بالکون
-----	-----	--------------------------------

بارهای خطی

بار زنده	بار مرده	موقعیت
--	650	دیوارهای جانبی فاقد نما و اطراف راه پله
--	650	دیوارهای جانبی دارای نما
--	200	دیوارهای جان پناه

بارگذاری جانبی

بار زلزله در تحلیل استاتیکی خطی با محاسبه‌ی ضریب زلزله (C) و بار موثر لرزه‌ای به دست می‌آید. متغیرهای موثر در ضریب زلزله که از رابطه‌ی $C=ABI/R$ به دست می‌آید، بصورت زیر در نظر گرفته شده است:

CFactor Calculations:

مشخصات پروژه:

تعداد طبقات: ۳ طبقه

ارتفاع ساختمان: 18.9 متر

مشخصات سازه در راستای X:

سیستم سازه: سیستم قاب خمشی

سیستم مقاوم در برابر نیروهای جانبی: قاب خمشی فولادی متوسط

$$C_d=4, \quad \Omega_0=3, \quad H_m=50 \text{ m} \quad R_u=5$$

مشخصات سازه در راستای Y:

سیستم سازه: سیستم قاب خمشی

سیستم مقاوم در برابر نیروهای جانبی: قاب خمشی بتن آرمه متوسط

$$C_d=4, \quad \Omega_0=3, \quad H_m=50 \text{ m} \quad R_u=5$$

مشخصات ساختگاه:

محل اجرای پروژه: شهر تبریز

خطر نسبی زلزله: خیلی زیاد

نسبت شتاب مبنای طرح : 0.35

نوع خاک : تیپ III

محاسبه زمان تناوب سازه:

از زمان تناوب تحلیلی استفاده میگردد:

$$T_{\text{xan}}=0.59 \text{ Sec}; \quad T_{\text{xan}}=0.59 \text{ Sec}$$

مشخصات خاک:

soil type III: $T_0=0.15$; $T_s=0.7$; $S=1.75$; $S_0=1.1$

محاسبه ضریب بازتاب در راستای: X

$$T_0 \leq T < T_s \Rightarrow B_1 = S + 1 = 2.75$$

$$A = 0.35, T < T_s \Rightarrow N = 1.00$$

$$B = 2.75$$

محاسبه ضریب بازتاب در راستای: Y

$$T_0 \leq T < T_s \Rightarrow B_1 = S + 1 = 2.75$$

$$A = 0.35, T < TS \Rightarrow N = 1.00$$

$$B = 2.75$$

محاسبه ضریب زلزله

$$C_{min} = 0.12 \times A \times I = 0.0420$$

$$C_x = A \times B_x \times I / R_{ux} = 0.35 \times 2.75 \times 1.0 / 5 = 0.1925 > C_{min} \text{ O.K}$$

$$C_y = A \times B_y \times I / R_{uy} = 0.35 \times 2.75 \times 1.0 / 5 = 0.1925 > C_{min} \text{ O.K}$$

طراحی مقاطع کامپوزیت سقف عرشه فولادی

با توجه به اینکه در سقف های سازه ای از عرشه فولادی استفاده شده است، طراحی باید بر اساس بخش ۱۰-

۹-۱ آیین نامه مبحث دهم انجام گیرد. برای این کار از قسمت طراحی مقاطع کامپوزیت در نرم افزار ETABS

استفاده شده است. نتایج طراحی برای سقف ها در ادامه خواهد آمد. در نرم افزار ETABS از آیین نامه AISC-LRFD-

10 برای طراحی مقاطع کامپوزیت استفاده شده است. برخی از پارامترهای مهم برای طراحی به شرح زیر در برنامه

اعمال شده است.

- عملیات ساخت بدون شمع بندی موقت فرض شده است.
- تیرهای فولادی در بال فشاری دارای تکیه گاه جانبی فرض شده اند.
- فاصله گل میخ ها به صورت عدد ثابت ۳۰ سانتی متر در نظر گرفته شده است.
- طول گل میخ در حدود ۱۱ سانتی متر می باشد که مقاومت آن ۵ تن در نظر گرفته شده است. لازم به ذکر است که این مقدار طبق جدول ۱۰-۹-۱ برای گل میخ سرپهن به قطر ۲۰ میلیمتر و طول ۷۵ میلیمتر می باشد که استفاده از این عدد محافظه کارانه می باشد.
- یک ردیف گل میخ روی تیر در نظر گرفته شده است.
- کنترل تغییرشکل سازه برای هر ۲ حالت بارهای در حین ساخت و پس از ساخت کنترل می شود.
- عملکرد ناقص مقطع کامپوزیت توسط برنامه کنترل می شود.
- طراحی مقطع عرشه فولادی و بتن در فاصله آزاد در پیوست آورده شده است.

- ارتعاش تیرهای کامپوزیت توسط برنامه برای d بزرگتر از $1/20$ فاصله مرکز به مرکز تیرهای تکیه‌گاهی کنترل شده است. همچنین فرکانس نوسانی تیرها بر اساس مبحث دهم مقررات ملی ساختمان که به فرکانس ۵ محدود شده است، در برنامه کنترل گشته است.

کنترل تغییر مکان حداکثر و متوسط

TABLE: Story Max/Avg Displacements					
Story	Load Case/Combo	Direction	Maximum	Average	Ratio
			m	m	
Story4	EX	X	0.080235	0.077393	1.036718
Story3	EX	X	0.075873	0.067573	1.122837
Story2	EX	X	0.054736	0.048658	1.124909
Story1	EX	X	0.029464	0.026484	1.112524
Base	EX	Y	0	0	
Story4	EY	Y	0.082595	0.080794	1.022284
Story3	EY	Y	0.085146	0.07971	1.0682
Story2	EY	Y	0.061368	0.057388	1.069355
Story1	EY	Y	0.032436	0.030186	1.074515
Base	EY	Y	0	0	

کنترل حداکثر تغییر مکان نسبی طبقات بر اساس ویرایش چهارم آئین نامه ۲۸۰۰

۱-۵-۳ تغییر مکان جانبی طبقه در اثر زلزله ، تغییر مکانی است که در اثر اعمال بار جانبی زلزله به دست می آید. در تحلیل خطی (استاتیکی یا دینامیکی) تغییر مکان جانبی طبقه با فرض رفتار خطی سازه ، محاسبه می شود . در زلزله طرح برای بدست آورد "تغییر مکان جانبی غیر خطی طرح" که در صورت منظور داشتن رفتار غیر خطی سازه بدست می آید ، تغییر مکان جانبی خطی باید در ضریب بزرگنمایی تغییر مکان ، C_d ، ضرب شود. این ضریب برای انواع سیستم های سازه ای در جدول (۳-۵) ارائه شده است.

۲-۵-۳ تغییر مکان جانبی نسبی هر طبقه اختلاف تغییر مکان های جانبی مراکز جرم کف های بالا و پایین آن طبقه می باشد . در زلزله طرح " تغییر مکان جانبی نسبی غیر خطی طرح " ، در هر طبقه تغییر مکانی است که در صورت منظور داشتن رفتار غیر خطی سازه ، بدست می آید . در مواردی که تحلیل سازه با استفاده از روش های خطی انجام می شود ، این تغییر مکان را می توان از رابطه زیر بدست آورد.

$$\Delta_M = C_d \cdot \Delta_e \quad (۳-۱۰)$$

در این رابطه :

$$\Delta_M = \text{تغییر مکان جانبی نسبی غیر خطی طرح در طبقه}$$

$$\Delta_e = \text{تغییر مکان جانبی نسبی طبقه حاصل از تحلیل خطی در زلزله طرح}$$

$$C_d = \text{ضریب بزرگنمایی تغییر مکان}$$

۳-۵-۳ تغییر مکان جانبی نسبی غیر خطی طرح با در نظر گرفتن اثرات $P-\Delta$ (موضوع بند ۳-۶) که با Δ_M

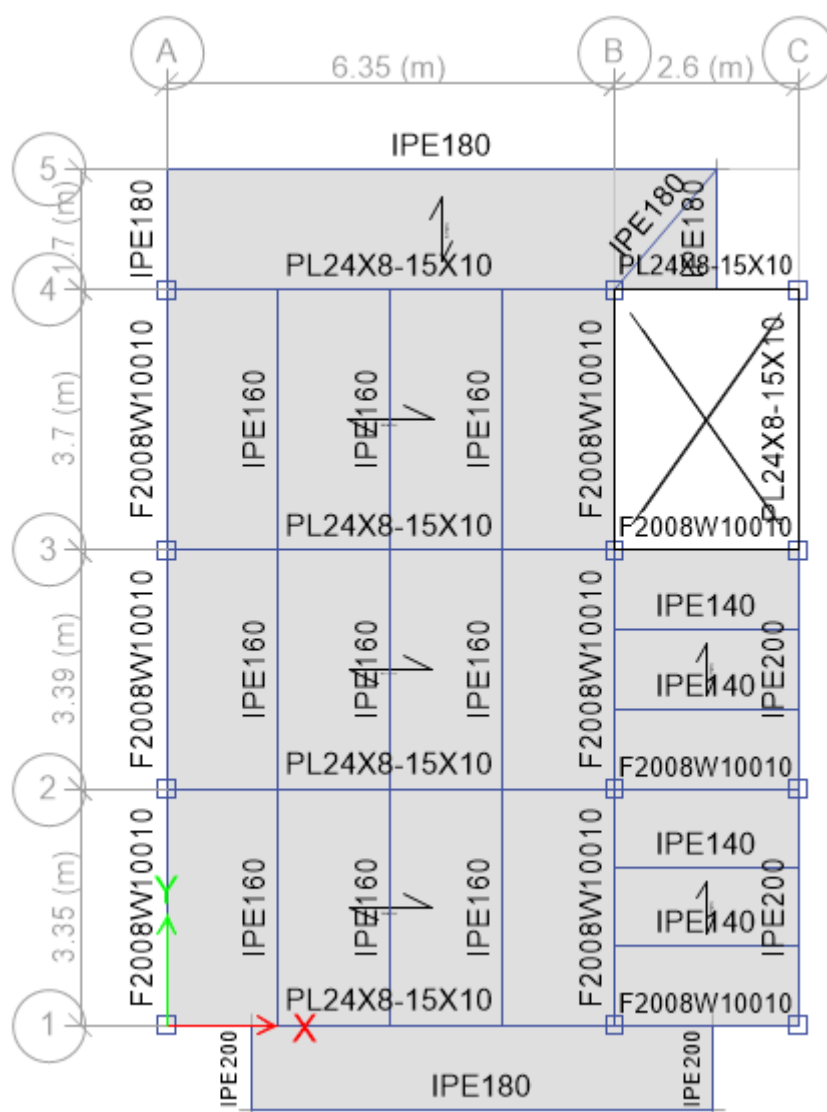
نشان داده می شود ، در هر طبقه نباید از مقادیر مجاز Δ_a ، بیشتر شود.

برای ساختمان های تا ۵ طبقه $\Delta_a = 0.25$ برابر ارتفاع طبقه

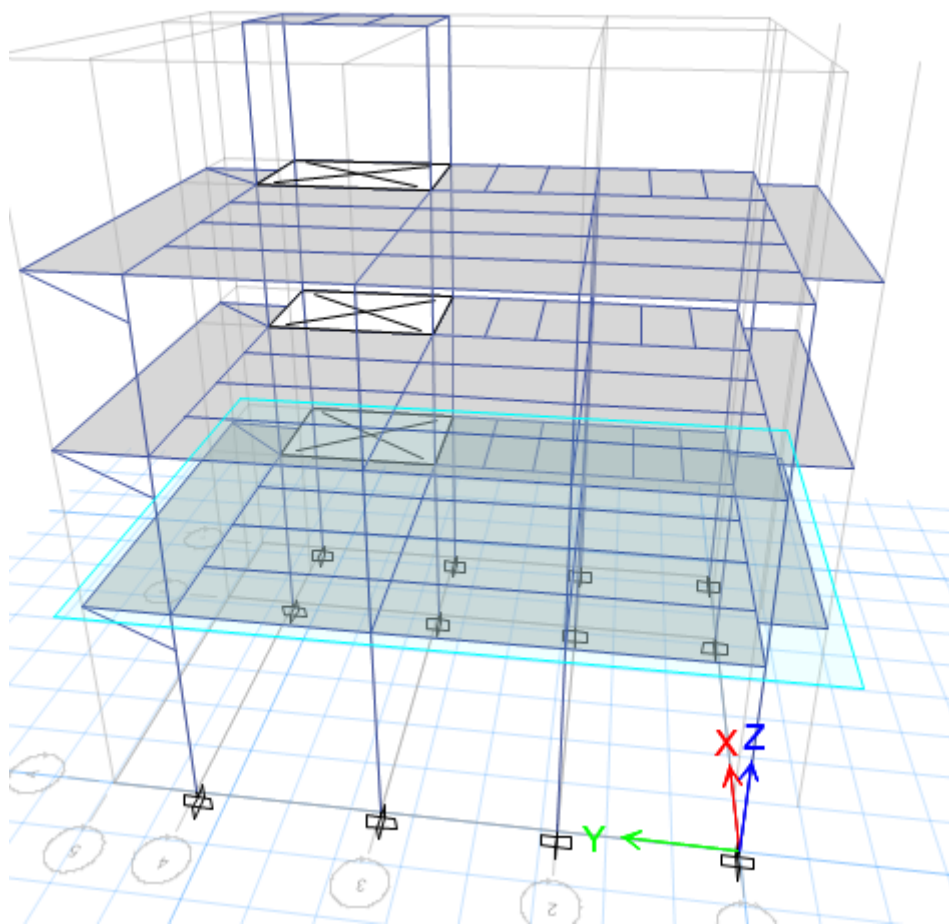
برای سایر ساختمان ها $\Delta_a = 0.2$ برابر ارتفاع طبقه

					m	m	m	Cd	Δ_m	Δ_a
Story4	EX	11	Max Drift X	0.001426	8.95	6.74	13.8	4	0.005704	0.025
Story4	EX	8	Max Drift Y	0.000089	6.35	10.44	13.8	4	0.000356	0.025
Story4	EY	12	Max Drift X	0.000173	8.95	10.44	13.8	4	0.000692	0.025
Story4	EY	8	Max Drift Y	0.001613	6.35	10.44	13.8	4	0.006452	0.025
Story3	EX	15	Max Drift X	0.005832	7.8	12.14	10.6	4	0.023328	0.025
Story3	EX	3	Max Drift Y	0.000692	0	6.74	10.6	4	0.002768	0.025
Story3	EY	15	Max Drift X	0.000552	7.8	12.14	10.6	4	0.002208	0.025
Story3	EY	13	Max Drift Y	0.004431	0	12.14	10.6	4	0.017724	0.025
Story2	EX	15	Max Drift X	0.005213	7.8	12.14	7.4	4	0.020852	0.025
Story2	EX	13	Max Drift Y	0.00096	0	12.14	7.4	4	0.00384	0.025
Story2	EY	15	Max Drift X	0.000909	7.8	12.14	7.4	4	0.003636	0.025
Story2	EY	13	Max Drift Y	0.004041	0	12.14	7.4	4	0.016164	0.025
Story1	EX	8	Max Drift X	0.005015	6.35	10.44	4.2	4	0.02006	0.025
Story1	EX	4	Max Drift Y	0.000507	0	10.44	4.2	4	0.002028	0.025
Story1	EY	8	Max Drift X	0.000671	6.35	10.44	4.2	4	0.002684	0.025
Story1	EY	4	Max Drift Y	0.004723	0	10.44	4.2	4	0.018892	0.025

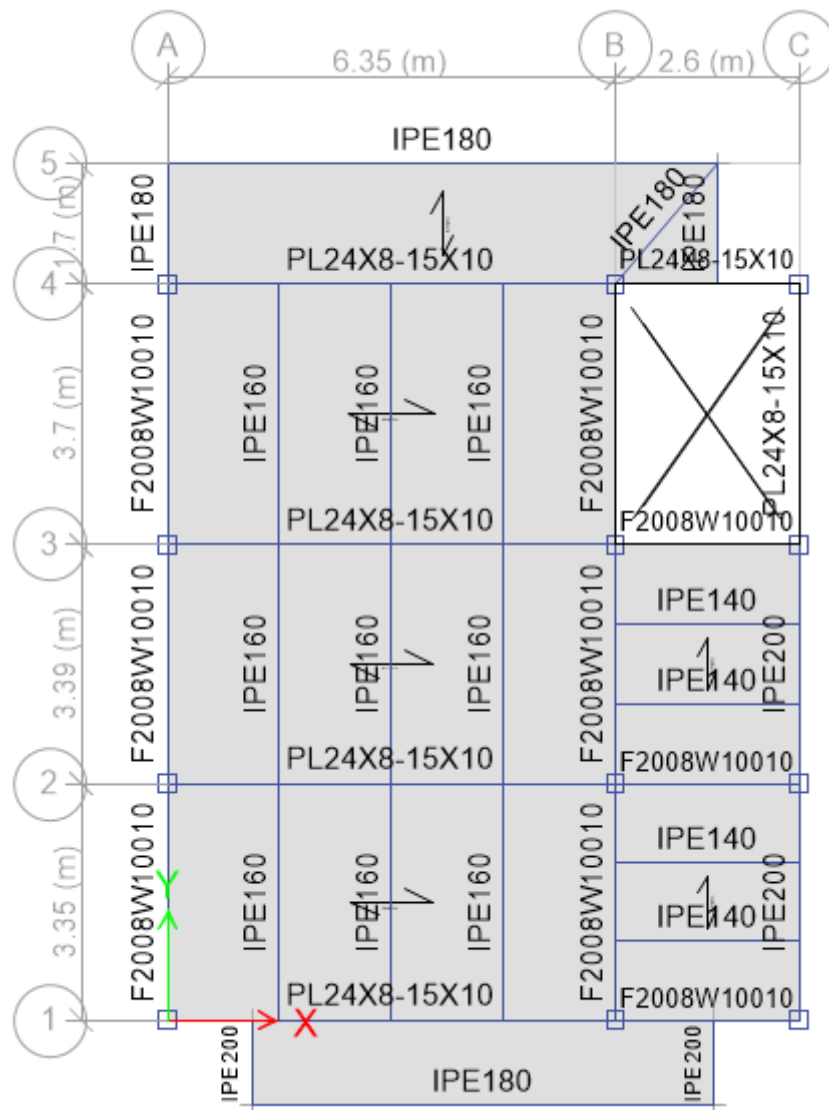
پلان ستونگذاری طبقات

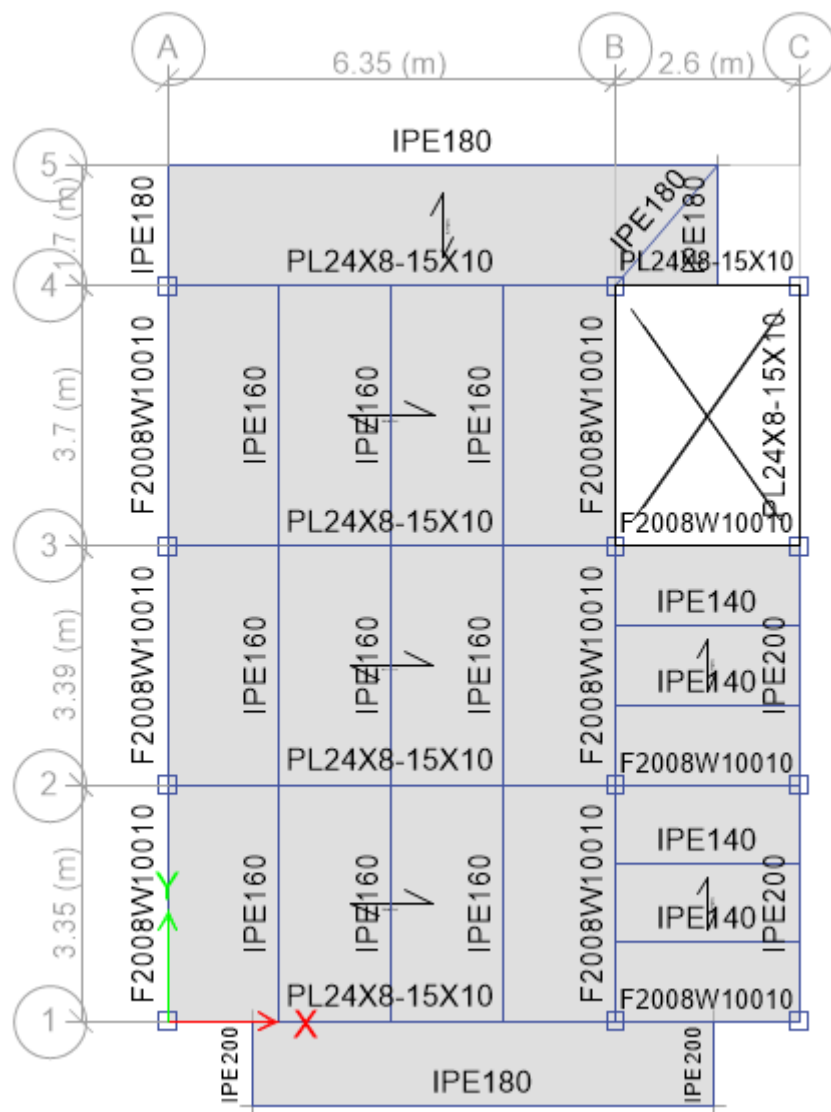


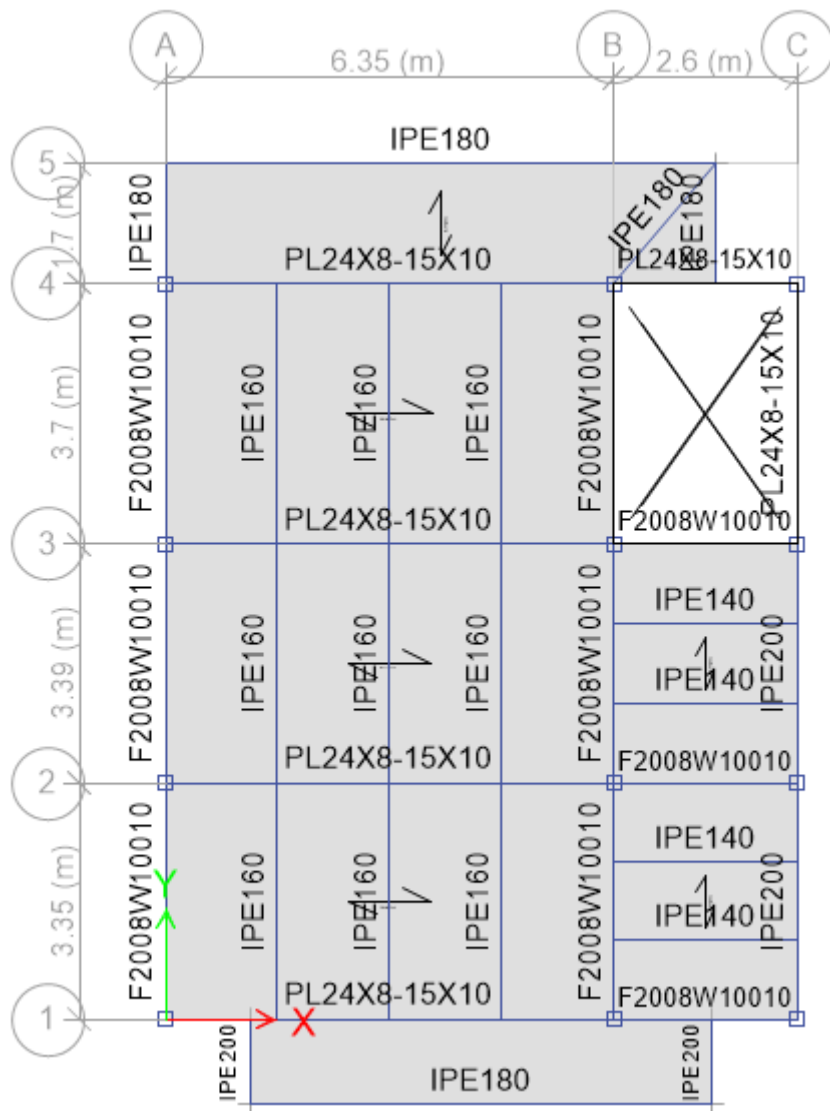
پلان سه بعدی سازه



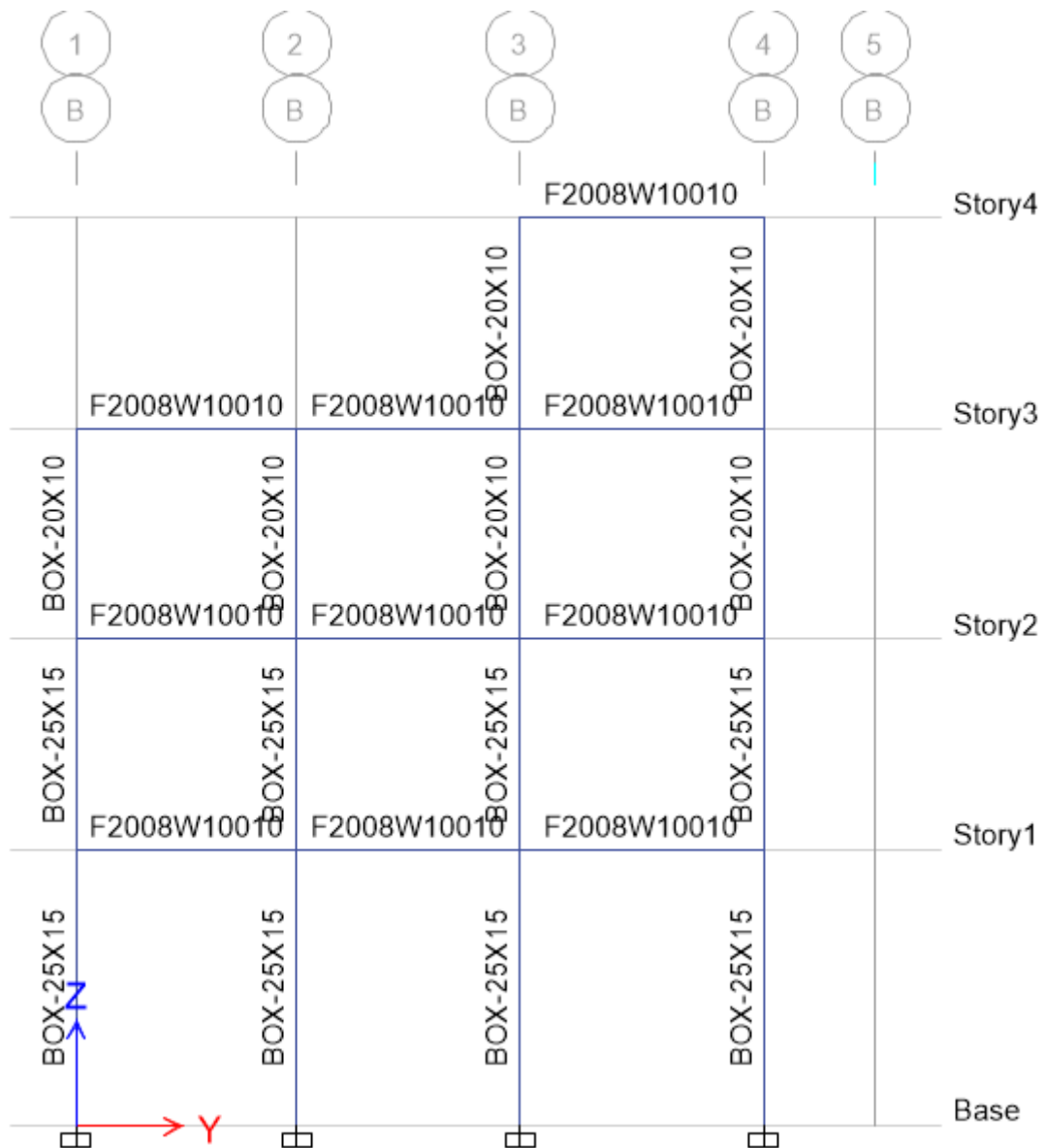
مقاطع تیرریزی سقفهای کامپوزیت



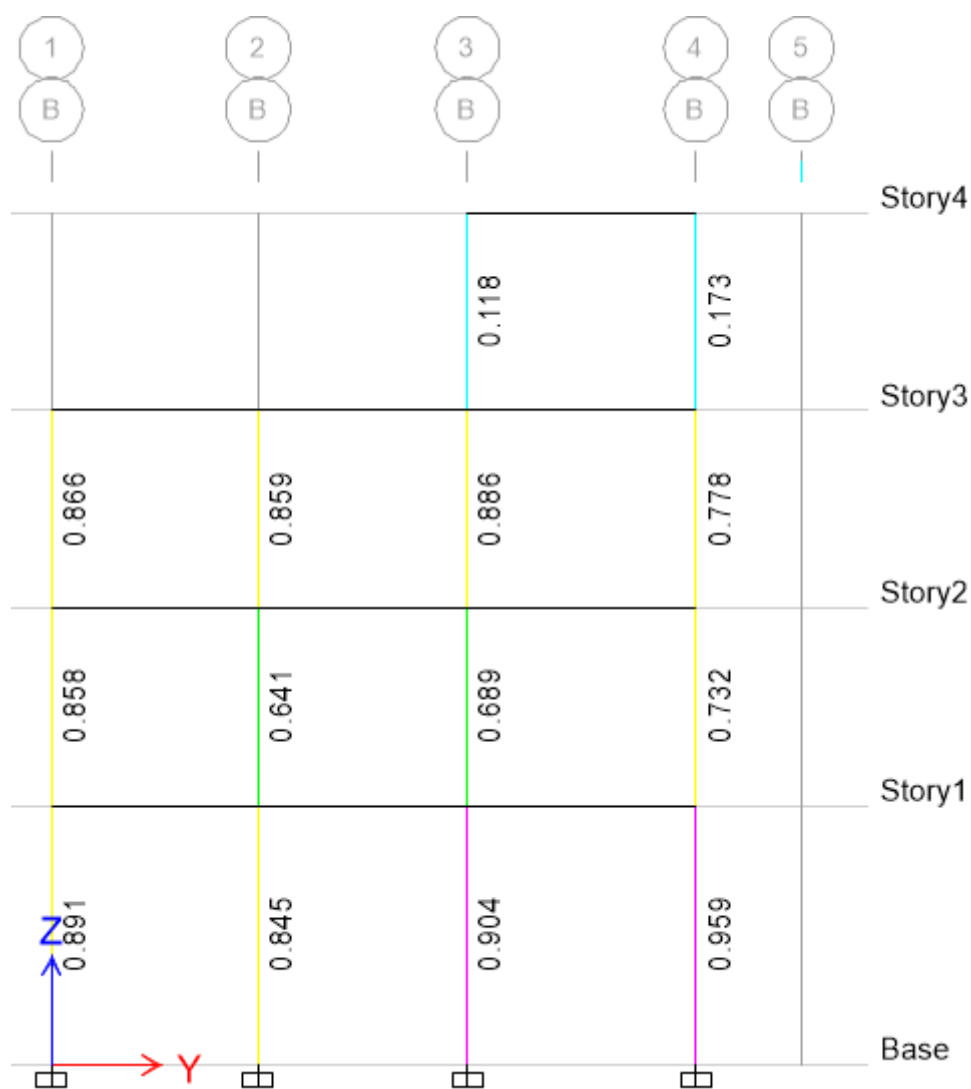




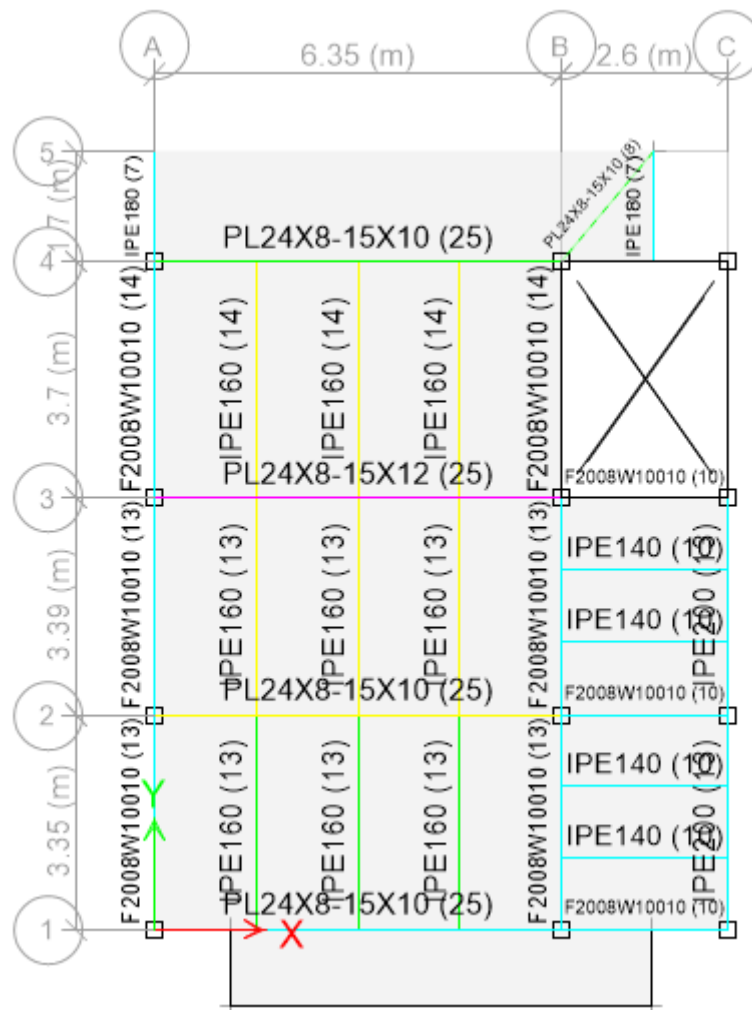
مقاطع ستونها در طبقات



نسبت نیرو به ظرفیت در ستونها (Ratio)



نسبت نیرو به ظرفیت در تیرهای مختلط سقف عرشه فولادی



۳-۳-۳- روش‌های تحلیل خطی

۳-۳-۱- محدوده کاربرد روش‌های خطی

محدوده کاربرد روش‌های خطی در این بند مشخص می‌شود. در ساختمان‌هایی که از سیستم‌های جداساز لرزه‌ای یا جاذب انرژی استفاده شده باشد، محدودیت‌های بندهای (۱۰-۲-۴) یا (۱۰-۳-۴) برای روش‌های خطی باید منظور شود.

۳-۳-۱-۱- کاربرد روش استاتیکی خطی

استفاده از روش تحلیل استاتیکی خطی هنگامی مجاز است که ساختمان دارای شرایط زیر از نظر ارتفاع و نظم سازه‌ای باشد:

۱- زمان تناوب اصلی ساختمان کوچکتر از $3/5 T_s$ باشد و تعداد طبقات ساختمان از ۲۰ تجاوز نکند. T_s بر طبق تعاریف فصل اول تعیین می‌شود.

۲- تغییر ابعاد پلان در طبقات متوالی به استثنای خرپشته کمتر از ۴۰٪ باشد.

۳- حداکثر تغییر مکان جانبی نسبی در هر طبقه و در هر راستا کمتر از ۱/۵ برابر تغییر مکان متوسط نسبی آن طبقه باشد.

۴- متوسط تغییر مکان جانبی نسبی در هر طبقه، به استثنای خرپشته، کمتر از ۱/۵ برابر همین مقدار در طبقه بالا یا پایین آن باشد.

۵- سازه دارای سیستم باربر جانبی متعامد باشد.

۶- بزرگترین نسبت نیرو به ظرفیت (DCR) برای هر تلاش تغییر شکل کنترل تحت اثر ترکیب بار رابطه (۳-۲۶) (نظیر نیروی محوری، لنگر خمشی و نیروی برشی بدون لحاظ اثرات اندرکنشی) در هر عضو اصلی کمتر از ۲ باشد. برای تعیین DCR، ابتدا نیرو در اعضا از جمع نیروی ناشی از بارهای ثقیل و بار ناشی از زلزله (Q_{UD}) مطابق رابطه (۳-۲۶) و ظرفیت مورد انتظار اعضا براساس مقاومت نهایی اجزای آنها (Q_{CE}) مطابق فصل‌های ۵ یا ۶ یا ۷ محاسبه می‌شود. سپس با استفاده از رابطه $DCR = Q_{UD}/Q_{CE}$ نسبت نیرو به ظرفیت تعیین می‌شود.

در صورت عدم برقراری شرط ۶، لازمست شروط ۷، ۸ و ۹ به طور همزمان برآورده شود.

۷- انقطاع در سیستم باربر جانبی در صفحه و خارج از صفحه وجود نداشته باشد. (استثنا: در داخل صفحه می‌توان به اندازه یک

چشمه انقطاع در سیستم باربر جانبی داشت مشروط براینکه انتقال نیروی افقی به طور ایمن توسط یک عضو انتقال‌دهنده

بار افقی تامین گردد)

۸- ساختمان از نظر پیچش یکی از شرایط زیر را دارا باشد :

الف- نسبت نیرو به ظرفیت برای تلاش بحرانی در اثر پیچش در هر عضو از طبقه بیش از ۱/۵ برابر همان نسبت در عضو واقع شده در سمت مقابل آن نسبت به مرکز پیچش نباشد.

ب- در ساختمان‌های با حداکثر ارتفاع ۳۰ متر یا ۸ طبقه از تراز پایه، حداکثر تغییر مکان جانبی نسبی در هر طبقه و در هر راستا کمتر از ۱/۲ برابر تغییر مکان متوسط نسبی آن طبقه باشد.

الف- مقدار متوسط شاخص وزنی برشی طبقه (\overline{DCR}) مطابق رابطه (۳-۳) برای هر طبقه بیش از ۱/۲۵ برابر این شاخص در یک طبقه بالاتر یا پایین‌تر آن نباشد.

در این رابطه :

$$DCR_i = \text{نسبت نیرو به ظرفیت برای تلاش بحرانی در عضو } i \text{ تحت ترکیب بارهای رابطه (۳-۲۶)};$$

برای ساختمان‌های با دیافراگم نرم، شاخص وزنی برشی طبقه (\overline{DCR}) برای هر محور قاب باید جداگانه بررسی شود.

در روش تحلیل استاتیکی خطی، نیروی جانبی ناشی از زلزله (V) به صورت ضریبی از وزن موثر لرزه‌ای ساختمان (W) محاسبه می‌شود:

که در آن:

S_a : شتاب طیفی به ازای زمان تناوب اصلی T است که براساس بخش (۷-۱) این دستورالعمل تعیین می شود؛

۱- با استفاده از رابطه (۳-۶)

a: ضریب نوع زمین کہ مطابق جدول (۳-۳) تعیین می گردد.

IV و III	II	I	نوع زمین
60	90	130	a

I: زمان تناوب اصلی، سازه شامل اصلاحات مربوط به اثرات اندرکنش خاک و سازه مطابق بند (۳-۲-۶) است.

R_u : نسبت مقاومت که با استفاده از رابطه (۷-۳) یا (۸-۳) محاسبه می شود:

$$R_u = \frac{DCR_{max}}{1.5} C_m \geq 1 \quad (۷-۳)$$

در این رابطه DCR_{max} بزرگترین نسبت نیرو به ظرفیت (DCR) می باشد که برای اعضای اصلی با فرض $C_1 = C_2 = C_m = 1$ محاسبه می شود.

در صورتیکه برش پایه نظیر حد رفتار ارتجاعی سازه، V_e ، در دست باشد:

$$R_u = \frac{S_a}{V_e / W} C_m \quad (۸-۳)$$

در این رابطه S_a شتاب طیفی به ازای زمان تناوب اصلی T است.

۲- با استفاده از رابطه (۹-۳)، در صورتی که نسبت مقاومت R_u مطابق روابط (۷-۳) یا (۸-۳) معلوم نباشد.

$$C_1 = 1 + \frac{T_s - T}{2T_s - 0.2} \quad (۹-۳)$$

در هر صورت مقدار C_1 نباید از ۱ کمتر انتخاب شود.

C_2 : ضریب تصحیح برای اثرات کاهش سختی و مقاومت اعضای سازه‌ای بر تغییر مکان‌ها ناشی از زوال چرخه‌ای؛ که به یکی از دو روش زیر محاسبه می شود:

۱- با استفاده از رابطه (۱۰-۳)

$$\begin{aligned} T > 0.7 & \rightarrow C_2 = 1 \\ T < 0.7 & \rightarrow C_2 = 1 + \frac{1}{800} \left(\frac{R_u - 1}{T} \right)^2 \end{aligned} \quad (۱۰-۳)$$

۲- در غیاب محاسبات دقیق‌تر، برای تحلیل خطی می‌توان C_2 را مساوی واحد در نظر گرفت.

C_m : ضریب جرم موثر که برای اعمال اثر موده‌های بالاتر بوده و مطابق جدول (۴-۳) تعیین می‌شود و برای سازه‌های با زمان تناوب اصلی بزرگتر از ۱ باید برابر ۱ در نظر گرفته شود.

جدول (۴-۳): مقادیر ضریب C_m

تعداد طبقات	قاب خمشی بتنی یا فولادی	قاب فولادی مهاربندی شده	سازه با دیوار برشی بتنی	سایر سیستم‌های سازه‌ای
یک یا دو	۱	۱	۱	۱
سه و بیشتر	۰/۹	۰/۹	۰/۸	۱

- برداشت زمان تناوب تحلیلی از نرم‌افزار

TABLE: Modal Participating Mass Ratios						
Case	Mode	Period	UX	UY	Sum UX	Sum UY
		sec				
Modal	1	0.882	0.6608	0.1065	0.6608	0.1065
Modal	2	0.842	0.1942	0.6592	0.855	0.7656
Modal	3	0.751	0.056	0.1527	0.911	0.9183
Modal	4	0.314	0.0461	0.0133	0.9571	0.9316
Modal	5	0.304	0.024	0.0421	0.9812	0.9737
Modal	6	0.273	0.0039	0.0128	0.9851	0.9865
Modal	7	0.158	0.0052	0.0059	0.9903	0.9924

Modal	8	0.154	0.0092	0.0049	0.9995	0.9973
Modal	9	0.138	0.0005	0.0026	1	0.9999

زمان تناوب جهت X: ۰/۸۸۲ ثانیه

زمان تناوب جهت Y: ۰/۸۴۲ ثانیه

- محاسبه ضریب C_s

جهت Y	جهت X	پارامتر
1.0	1.0	C_1
1.0	1.0	C_2
1.0	1.0	C_m
0.82	0.79	S_a
0.82	0.79	C_s

محاسبات DCR ستون ها – طبقه اول

STORY1																	
TABLE: Column Forces																	
Story	Column	Load Case/Combo	P	V2	V3	M2	M3	ظرفیت محوری	ظرفیت برشی ۲	ظرفیت برشی ۳	ظرفیت خمشی ۲	ظرفیت خمشی ۳	DCR				
			tonf	tonf	tonf	tonf-m	tonf-m	tonf	tonf	tonf	tonf-m	tonf-m	DCR P	DCR V2	DCR V3	DCR M2	DCR M3
Story1	C1	ENVELOPE Min	-115.5392	-21.7763	-24.7626	-60.8822	-54.5403	312.9647	88.56	88.56	29.862	29.862	0.369176	0.245893	0.279614	2.038785	1.826411
Story1	C2	ENVELOPE Min	-68.817	-20.0152	-30.0579	-68.3045	-51.2167	312.9647	88.56	88.56	29.862	29.862	0.219887	0.226007	0.339407	2.287338	1.715113
Story1	C3	ENVELOPE Min	-70.0038	-20.7759	-29.7191	-67.9221	-53.2265	312.9647	88.56	88.56	29.862	29.862	0.22368	0.234597	0.335582	2.274533	1.782416
Story1	C5	ENVELOPE Min	-157.8996	-29.4024	-20.6998	-51.8702	-66.049	312.9647	88.56	88.56	29.862	29.862	0.504528	0.332005	0.233738	1.736997	2.211808
Story1	C6	ENVELOPE Min	-121.6806	-25.3432	-25.1957	-57.6971	-58.9415	312.9647	88.56	88.56	29.862	29.862	0.3888	0.28617	0.284504	1.932124	1.973796
Story1	C7	ENVELOPE Min	-139.6655	-25.8715	-24.6959	-57.3614	-60.9711	312.9647	88.56	88.56	29.862	29.862	0.446266	0.292135	0.278861	1.920883	2.041762
Story1	C8	ENVELOPE Min	-168.9063	-28.9154	-21.0095	-52.1311	-68.3265	312.9647	88.56	88.56	29.862	29.862	0.539698	0.326506	0.237235	1.745734	2.288075
Story1	C9	ENVELOPE Min	-125.0938	-24.582	-21.6902	-51.7302	-57.7356	312.9647	88.56	88.56	29.862	29.862	0.399706	0.277575	0.244921	1.732309	1.933414
Story1	C10	ENVELOPE Min	-114.9896	-23.0188	-25.8206	-57.8103	-55.0232	312.9647	88.56	88.56	29.862	29.862	0.36742	0.259923	0.291561	1.935915	1.842583
Story1	C11	ENVELOPE Min	-122.077	-23.657	-25.4621	-57.4054	-56.8892	312.9647	88.56	88.56	29.862	29.862	0.390066	0.26713	0.287512	1.922356	1.90507
Story1	C12	ENVELOPE Min	-141.2294	-26.3504	-20.7322	-50.7693	-63.3978	312.9647	88.56	88.56	29.862	29.862	0.451263	0.297543	0.234103	1.700131	2.123026
Story1	C22	ENVELOPE Min	-110.8508	-22.3113	-24.888	-61.0199	-58.2683	312.9647	88.56	88.56	29.862	29.862	0.354196	0.251934	0.28103	2.043396	1.951252

محاسبات DCR ستون‌ها – طبقه دوم

STORY2																	
TABLE: Column Forces																	
Story	Column	Load Case/Combo	P	V2	V3	M2	M3	ظرفیت محوری	ظرفیت برشی ۲	ظرفیت برشی ۳	ظرفیت خمشی ۲	ظرفیت خمشی ۳	DCR				
			tonf	tonf	tonf	tonf-m	tonf-m	tonf	tonf	tonf	tonf-m	tonf-m	DCR P	DCR V2	DCR V3	DCR M2	DCR M3
Story2	C1	ENVELOPE Min	-61.2682	-13.9921	-15.1853	-19.6822	-17.5344	312.9647	88.56	88.56	29.862	29.862	0.195767	0.157996	0.171469	0.659105	0.587181
Story2	C2	ENVELOPE Min	-38.837	-11.6437	-29.5301	-43.2198	-13.8673	312.9647	88.56	88.56	29.862	29.862	0.124094	0.131478	0.333447	1.447318	0.464379
Story2	C3	ENVELOPE Min	-39.5434	-13.13	-28.8763	-42.1713	-16.0641	312.9647	88.56	88.56	29.862	29.862	0.126351	0.148261	0.326065	1.412206	0.537945
Story2	C5	ENVELOPE Min	-84.7756	-34.8552	-13.2485	-18.0459	-53.2222	312.9647	88.56	88.56	29.862	29.862	0.270879	0.393577	0.149599	0.60431	1.782272
Story2	C6	ENVELOPE Min	-63.8872	-24.6947	-24.5578	-36.0567	-36.4936	312.9647	88.56	88.56	29.862	29.862	0.204135	0.278847	0.277301	1.207444	1.222075
Story2	C7	ENVELOPE Min	-76.5004	-26.0404	-24.0555	-35.4882	-38.8539	312.9647	88.56	88.56	29.862	29.862	0.244438	0.294042	0.271629	1.188407	1.301115
Story2	C8	ENVELOPE Min	-93.3708	-30.0868	-13.222	-17.02	-45.1098	312.9647	88.56	88.56	29.862	29.862	0.298343	0.339734	0.1493	0.569955	1.510609
Story2	C9	ENVELOPE Min	-59.3073	-18.0587	-13.4216	-17.0322	-24.6157	312.9647	88.56	88.56	29.862	29.862	0.189502	0.203915	0.151554	0.570364	0.824315
Story2	C10	ENVELOPE Min	-57.2578	-17.0023	-25.078	-36.4027	-23.2736	312.9647	88.56	88.56	29.862	29.862	0.182953	0.191986	0.283175	1.219031	0.779372
Story2	C11	ENVELOPE Min	-62.2398	-17.8472	-24.3547	-35.2711	-24.6106	312.9647	88.56	88.56	29.862	29.862	0.198872	0.201527	0.275008	1.181137	0.824144
Story2	C12	ENVELOPE Min	-71.7379	-20.0097	-11.7641	-14.7386	-27.6019	312.9647	88.56	88.56	29.862	29.862	0.22922	0.225945	0.132838	0.493557	0.924315
Story2	C22	ENVELOPE Min	-60.9296	-12.1322	-14.9268	-18.6852	-14.271	312.9647	88.56	88.56	29.862	29.862	0.194685	0.136994	0.16855	0.625718	0.477898

محاسبات DCR ستون‌ها – طبقه سوم

STORY3																	
TABLE: Column Forces																	
Story	Column	Load Case/Combo	P	V2	V3	M2	M3	ظرفیت محوری	ظرفیت برشی ۲	ظرفیت برشی ۳	ظرفیت خمشی ۲	ظرفیت خمشی ۳	DCR				
			tonf	tonf	tonf	tonf-m	tonf-m	tonf	tonf	tonf	tonf-m	tonf-m	DCR P	DCR V2	DCR V3	DCR M2	DCR M3
Story3	C1	ENVELOPE Min	-19.9643	-10.9422	-9.9937	-14.0333	-15.0007	170.8	48.96	48.96	13.008	13.008	0.116887	0.223493	0.20412	1.078821	1.15319
Story3	C2	ENVELOPE Min	-13.6548	-9.603	-13.714	-19.7933	-13.1659	170.8	48.96	48.96	13.008	13.008	0.079946	0.19614	0.280106	1.521625	1.012139
Story3	C3	ENVELOPE Min	-13.3104	-10.3706	-13.6855	-19.6938	-14.1406	170.8	48.96	48.96	13.008	13.008	0.07793	0.211818	0.279524	1.513976	1.087069
Story3	C5	ENVELOPE Min	-31.048	-13.7267	-8.3978	-12.1797	-20.611	170.8	48.96	48.96	13.008	13.008	0.18178	0.280366	0.171524	0.936324	1.584486
Story3	C6	ENVELOPE Min	-19.1534	-11.4368	-11.636	-16.8744	-16.5116	170.8	48.96	48.96	13.008	13.008	0.112139	0.233595	0.237663	1.297232	1.269342
Story3	C7	ENVELOPE Min	-26.7154	-11.6772	-11.4556	-16.7631	-17.0414	170.8	48.96	48.96	13.008	13.008	0.156413	0.238505	0.233979	1.288676	1.310071
Story3	C8	ENVELOPE Min	-34.505	-13.2983	-10.299	-13.9054	-19.5139	170.8	48.96	48.96	13.008	13.008	0.20202	0.271616	0.210355	1.068988	1.500146
Story3	C9	ENVELOPE Min	-13.6013	-9.768	-8.8642	-12.2629	-13.7195	170.8	48.96	48.96	13.008	13.008	0.079633	0.19951	0.18105	0.94272	1.054697
Story3	C10	ENVELOPE Min	-15.4319	-9.4353	-11.8757	-17.0045	-13.2262	170.8	48.96	48.96	13.008	13.008	0.090351	0.192714	0.242559	1.307234	1.016774
Story3	C11	ENVELOPE Min	-18.2475	-9.8044	-11.6307	-16.697	-13.6835	170.8	48.96	48.96	13.008	13.008	0.106835	0.200253	0.237555	1.283595	1.05193
Story3	C12	ENVELOPE Min	-20.9995	-10.8653	-8.6176	-11.8479	-15.1408	170.8	48.96	48.96	13.008	13.008	0.122948	0.221922	0.176013	0.910816	1.163961
Story3	C22	ENVELOPE Min	-21.913	-10.5398	-11.1679	-14.9924	-14.257	170.8	48.96	48.96	13.008	13.008	0.128296	0.215274	0.228103	1.152552	1.096018

محاسبات DCR ستون‌ها – طبقه چهارم

STORY4																	
TABLE: Column Forces																	
Story	Column	Load Case/Combo	P	V2	V3	M2	M3	ظرفیت محوری	ظرفیت برشی ۲	ظرفیت برشی ۳	ظرفیت خمشی ۲	ظرفیت خمشی ۳	DCR				
			tonf	tonf	tonf	tonf-m	tonf-m	tonf	tonf	tonf	tonf-m	tonf-m	DCR P	DCR V2	DCR V3	DCR M2	DCR M3
Story4	C7	ENVELOPE Min	-2.1185	-0.4203	-0.523	-0.4432	-0.2201	170.8	48.96	48.96	13.008	13.008	0.012403	0.008585	0.010682	0.034071	0.01692
Story4	C8	ENVELOPE Min	-1.8462	-0.4589	-0.7335	-2.6877	-0.324	170.8	48.96	48.96	13.008	13.008	0.010809	0.009373	0.014982	0.206619	0.024908
Story4	C11	ENVELOPE Min	-1.7511	-0.691	-0.4788	-0.3156	-2.1007	170.8	48.96	48.96	13.008	13.008	0.010252	0.014114	0.009779	0.024262	0.161493
Story4	C12	ENVELOPE Min	-2.0024	-0.5955	-0.3646	-1.7239	-2.0445	170.8	48.96	48.96	13.008	13.008	0.011724	0.012163	0.007447	0.132526	0.157173

محاسبات DCR تیرها – طبقه اول

Story1								
TABLE: Beam Forces								
Story	Beam	Load Case/Combo	V2	M3	ظرفیت برشی ۲	ظرفیت خمشی ۳		
			tonf	tonf-m	tonf	tonf-m	DCR V2	DCR M2
Story1	B1	ENVELOPE Max	35.5544	61.5572	69.12	23.686	0.5143866	2.5988854
Story1	B2	ENVELOPE Max	28.1119	45.2445	69.12	23.686	0.4067115	1.910179
Story1	B3	ENVELOPE Max	35.7088	58.2451	69.12	23.686	0.5166204	2.4590518
Story1	B3	ENVELOPE Min	-34.2324	-50.7254	69.12	23.686	0.4952604	2.1415773
Story1	B4	ENVELOPE Min	-32.7915	-51.6746	69.12	23.686	0.4744141	2.1816516
Story1	B5	ENVELOPE Min	-27.8057	-40.4138	69.12	23.686	0.4022815	1.7062315
Story1	B6	ENVELOPE Min	-25.0801	-53.9064	69.12	23.686	0.3628487	2.275876
Story1	B7	ENVELOPE Min	-33.5194	-52.8203	69.12	23.686	0.484945	2.230022
Story1	B8	ENVELOPE Min	-27.8015	-40.1508	69.12	23.686	0.4022208	1.6951279
Story1	B9	ENVELOPE Min	-25.6764	-51.3785	69.12	23.686	0.3714757	2.1691506
Story1	B10	ENVELOPE Min	-26.4657	-54.6327	69.12	23.686	0.382895	2.3065397
Story1	B11	ENVELOPE Min	-56.0978	-64.6167	69.12	23.686	0.8116001	2.7280545
Story1	B13	ENVELOPE Min	-48.1643	-61.325	69.12	23.686	0.6968215	2.5890822
Story1	B14	ENVELOPE Max	8.1736	36.235	69.12	23.686	0.1182523	1.5298066
Story1	B14	ENVELOPE Min	-22.5452	-51.2149	69.12	23.686	0.3261748	2.1622435
Story1	B15	ENVELOPE Min	-49.3393	-64.9415	69.12	23.686	0.7138209	2.7417673
Story1	B16	ENVELOPE Min	-20.7146	-51.8411	69.12	23.686	0.2996904	2.1886811
Story1	B17	ENVELOPE Min	-54.6311	-73.908	69.12	23.686	0.7903805	3.1203242

محاسبات DCR تیرها - طبقه دوم

Story2								
TABLE: Beam Forces								
Story	Beam	Load Case/Combo	V2	M3	ظرفیت برشی ۲	ظرفیت خمشی ۳		
			tonf	tonf-m	tonf	tonf-m	DCR V2	DCR M2
Story2	B1	ENVELOPE Min	-26.5556	-41.0881	69.12	23.686	0.3841956	1.7346998
Story2	B2	ENVELOPE Min	-19.5397	-35.1419	69.12	23.686	0.2826924	1.483657
Story2	B3	ENVELOPE Min	-19.6599	-42.827	69.12	23.686	0.2844314	1.8081145
Story2	B4	ENVELOPE Min	-22.6574	-34.5484	69.12	23.686	0.327798	1.4586
Story2	B5	ENVELOPE Min	-20.7559	-29.4813	69.12	23.686	0.3002879	1.244672
Story2	B6	ENVELOPE Min	-16.3051	-37.0732	69.12	23.686	0.2358955	1.5651946
Story2	B7	ENVELOPE Max	19.5077	34.2943	69.12	23.686	0.2822295	1.4478722
Story2	B8	ENVELOPE Min	-20.7388	-29.1739	69.12	23.686	0.3000405	1.2316938
Story2	B9	ENVELOPE Min	-17.0118	-35.0542	69.12	23.686	0.2461198	1.4799544
Story2	B10	ENVELOPE Min	-22.6791	-40.822	69.12	23.686	0.328112	1.7234653
Story2	B11	ENVELOPE Min	-37.242	-44.2316	69.12	23.686	0.5388021	1.8674154
Story2	B12	ENVELOPE Min	-16.8964	-35.8787	69.12	23.686	0.2444502	1.514764
Story2	B13	ENVELOPE Min	-32.6603	-42.0411	69.12	23.686	0.4725159	1.7749346
Story2	B14	ENVELOPE Min	-19.1564	-39.306	69.12	23.686	0.277147	1.6594613
Story2	B15	ENVELOPE Min	-33.4162	-45.4219	69.12	23.686	0.483452	1.9176687
Story2	B16	ENVELOPE Min	-16.978	-38.7041	69.12	23.686	0.2456308	1.6340496
Story2	B17	ENVELOPE Min	-36.9344	-52.2253	69.12	23.686	0.5343519	2.2049016

محاسبات DCR تیرها - طبقه سوم

Story3								
TABLE: Beam Forces								
Story	Beam	Load Case/Combo	V2	M3	ظرفیت برشی ۲	ظرفیت خمشی ۳		
			tonf	tonf-m	tonf	tonf-m	DCR V2	DCR M2
Story3	B1	ENVELOPE Min	-10.4337	-17.5854	69.12	23.686	0.1509505	0.7424386
Story3	B2	ENVELOPE Min	-6.2092	-11.6113	69.12	23.686	0.0898322	0.4902179
Story3	B3	ENVELOPE Min	-7.5964	-21.8396	69.12	23.686	0.1099016	0.9220468
Story3	B4	ENVELOPE Min	-10.1166	-17.2519	69.12	23.686	0.1463628	0.7283585
Story3	B5	ENVELOPE Min	-8.1029	-10.8101	69.12	23.686	0.1172295	0.456392
Story3	B6	ENVELOPE Min	-5.3626	-18.6334	69.12	23.686	0.0775839	0.7866841
Story3	B7	ENVELOPE Min	-9.3727	-15.2369	69.12	23.686	0.1356004	0.6432872
Story3	B8	ENVELOPE Min	-5.3115	-10.6435	69.12	23.686	0.0768446	0.4493583
Story3	B9	ENVELOPE Min	-6.3972	-14.8349	69.12	23.686	0.0925521	0.6263151
Story3	B10	ENVELOPE Min	-13.2701	-19.3004	69.12	23.686	0.1919864	0.8148442
Story3	B11	ENVELOPE Min	-11.4205	-17.6324	69.12	23.686	0.1652271	0.7444229
Story3	B12	ENVELOPE Min	-8.7502	-17.2798	69.12	23.686	0.1265943	0.7295364
Story3	B13	ENVELOPE Min	-11.4249	-16.6286	69.12	23.686	0.1652908	0.7020434
Story3	B14	ENVELOPE Min	-0.6774	-19.3809	69.12	23.686	0.0098003	0.8182428
Story3	B15	ENVELOPE Min	-10.3428	-16.2435	69.12	23.686	0.1496354	0.6857849
Story3	B16	ENVELOPE Min	-10.0535	-19.3622	69.12	23.686	0.1454499	0.8174533
Story3	B17	ENVELOPE Min	-10.9096	-18.8104	69.12	23.686	0.1578356	0.7941569

محاسبات DCR تیرها – طبقه چهارم

Story4								
TABLE: Beam Forces								
Story	Beam	Load Case/Combo	V2	M3	ظرفیت برشی ۲	ظرفیت خمشی ۳		
			tonf	tonf-m	tonf	tonf-m	DCR V2	DCR M2
Story4	B6	ENVELOPE Max	0.3921	1.3755	69.12	23.686	0.0056727	0.0580723
Story4	B9	ENVELOPE Max	0.4749	1.2579	69.12	23.686	0.0068707	0.0531073
Story4	B15	ENVELOPE Min	-1.0254	-1.1288	69.12	23.686	0.0148351	0.0476568
Story4	B17	ENVELOPE Min	-0.8157	-1.0839	69.12	23.686	0.0118012	0.0457612

چون در مقادیر DCR بالای ۲ داریم بنابراین از تحلیل غیرخطی استفاده خواهیم نمود.

تحلیل استاتیکی غیر خطی (پوش آور)

در این روش، بار جانبی ناشی از زلزله، استاتیکی و به تدریج به صورت فزاینده به سازه اعمال می شود تا آنجا که تغییر مکان در یک نقطه ی خاص (نقطه ی کنترل) تحت اثر بار جانبی، به مقدار مشخصی (تغییر مکان هدف) برسد و یا سازه فرو ریزد. تغییر شکل ها و نیروهای داخلی حاصل از تحلیل استاتیکی غیر خطی باید با معیارهای پذیرش مورد بررسی قرار گیرد.

نکات نشریه ۳۶۰ در ارتباط با تحلیل پوش آور

۳-۳-۱- ملاحظات خاص مدل سازی و تحلیل

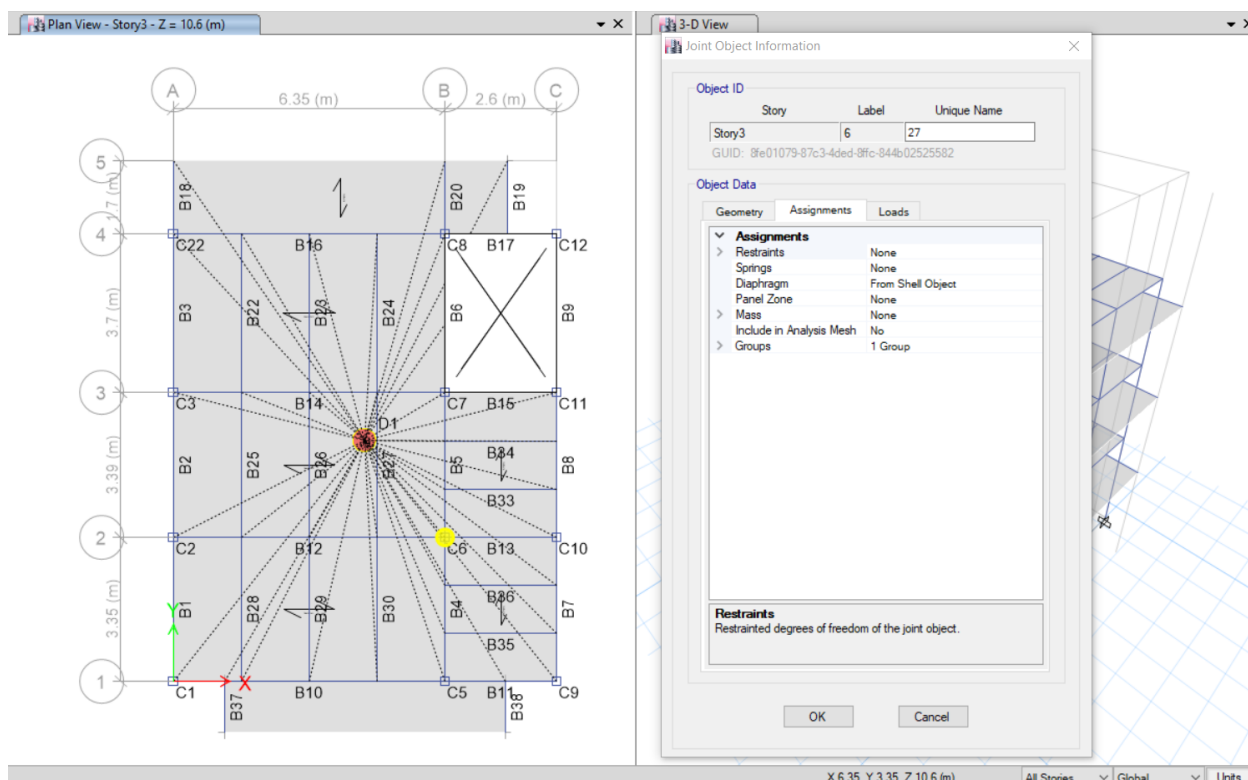
۳-۳-۱-۱- کلیات

تحلیل استاتیکی غیر خطی می تواند به دو روش کامل و ساده شده انجام شود:

- ۱- در روش کامل، اعضای اصلی و غیر اصلی در مدل وارد شده و رفتار غیر خطی آنها تا حد امکان نزدیک به واقعیت انتخاب می شود. همچنین اثرات کاهندگی به نحوی وارد محاسبات می شود.
- ۲- در روش ساده شده، فقط اعضای اصلی مدل می شوند. رفتار غیر خطی اعضای اصلی توسط مدل دوطبقی شبیه سازی می شود و از اثرات کاهندگی صرف نظر می شود. هنگام استفاده از این روش، معیار پذیرش مطابق بند (۳-۴-۲) در نظر گرفته می شود. چنانچه تعداد کمی از اعضای اصلی توسط این معیار پذیرفته نشوند، می توان آنها را در دسته ی اعضای غیر اصلی فرض کرده و از مدل خارج نمود.

۳-۳-۱-۲- نقطه ی کنترل

در تحلیل استاتیکی غیر خطی، مرکز جرم بام به عنوان نقطه ی کنترل تغییر مکان سازه انتخاب می شود (مرکز جرم سقف خرپشته به عنوان نقطه ی کنترل انتخاب نمی شود).



نقطه کنترل

۳-۳-۱-۳- توزیع بار جانبی

توزیع بار جانبی بر مدل سازه باید تا حد امکان شبیه به آنچه که هنگام زلزله رخ خواهد داد، باشد و حالت‌های بحرانی تغییرشکل و نیروهای داخلی را در اعضا ایجاد نماید. به همین جهت باید حداقل دو نوع توزیع بار جانبی به شرح زیر، بر روی سازه اعمال شود.

۱- توزیع نوع اول

به عنوان توزیع نوع اول باید بار جانبی به یکی از سه روش زیر محاسبه و بر مدل سازه اعمال شود. برای سازه‌هایی که دارای زمان تناوب اصلی بزرگ‌تر از یک ثانیه هستند فقط می‌توان از روش سوم این نوع توزیع بار استفاده نمود.

۱-۱- توزیع متناسب با توزیع بار جانبی در روش استاتیکی خطی مطابق رابطه (۳-۱۰)، از این توزیع هنگامی می‌توان استفاده نمود که حداقل ۷۵٪ جرم سازه در مود ارتعاشی اول درجهت موردنظر مشارکت کند. در صورت انتخاب این توزیع، توزیع نوع دوم باید از نوع یکنواخت انتخاب شود.

۱-۲- توزیع متناسب با شکل مود اول ارتعاش درجهت موردنظر، از این توزیع زمانی می‌توان استفاده نمود که حداقل ۷۵٪ جرم سازه در این مود مشارکت کند.

۱-۳- توزیع متناسب با نیروهای جانبی حاصل از تحلیل دینامیکی خطی طیفی، برای این منظور تعداد مدهای ارتعاشی مورد بررسی باید چنان انتخاب شود که حداقل ۹۰٪ جرم سازه در تحلیل مشارکت کند.

۲- توزیع نوع دوم

به عنوان توزیع نوع دوم باید بار جانبی به یکی از دو روش زیر محاسبه و بر مدل سازه اعمال شود.

۲-۱- توزیع یکنواخت که در آن بار جانبی متناسب با وزن هر طبقه محاسبه می‌شود.

۲-۲- توزیع متغیر که در آن توزیع بار جانبی برحسب وضعیت رفتار غیرخطی مدل سازه در هر گام افزایش بار با استفاده از یک روش معتبر تغییر داده می‌شود.

بار جانبی که به ترتیب فوق انتخاب می‌شود باید جداگانه در دو جهت مثبت و منفی به سازه وارد شود و رابطه‌ی بین برش پایه و تغییر مکان نقطه‌ی کنترل باید برای هر گام افزایش نیروهای جانبی تا رسیدن به تغییر مکانی حداقل ۱/۵ برابر تغییر مکان هدف ثبت شود. در تحلیل غیرخطی بارهای ثقیل اعضا مطابق بند (۳-۲-۸) در ترکیب با بار جانبی باید منظور شود.

۳-۳-۱-۴- مدل رفتار دوخطی نیرو- تغییر مکان سازه

رفتار غیرخطی سازه که ارتباط بین برش پایه و تغییر مکان نقطه‌ی کنترل را مطابق شکل (۳-۱) مشخص می‌نماید به منظور محاسبه‌ی سختی جانبی موثر (K_e) و برش تسلیم موثر (V_y) باید با یک مدل رفتار دوخطی ساده جایگزین شود. برای ساده‌سازی مدل رفتار غیرخطی، نقطه‌ی B باید چنان انتخاب شود که سطح زیر مدل رفتار دوخطی برابر سطح زیر منحنی رفتار غیرخطی باشد و همچنین طول پاره خط AD برابر $0.6AB$ باشد. در آن صورت نیروی مربوط به نقطه‌ی B، برش تسلیم موثر (V_y) بوده و برای برش پایه‌ی $0.6V_y$ در منحنی رفتار غیرخطی، مدول سکانت بیان‌گر سختی جانبی موثر (K_e) می‌شود. در مدل ساده‌شده باید دقت شود که V_y بزرگ‌تر از بیشینه برش پایه در منحنی رفتار غیرخطی نشود. در سازه‌هایی که پس از تسلیم دارای سختی مثبت هستند ($\alpha > 0$) مدل رفتاری مطابق شکل (الف) است و در سازه‌هایی که پس از تسلیم دارای سختی منفی هستند ($\alpha < 0$) مدل رفتاری مطابق شکل (ب) می‌باشد.

۳-۳-۱-۵- محاسبه‌ی زمان تناوب اصلی موثر

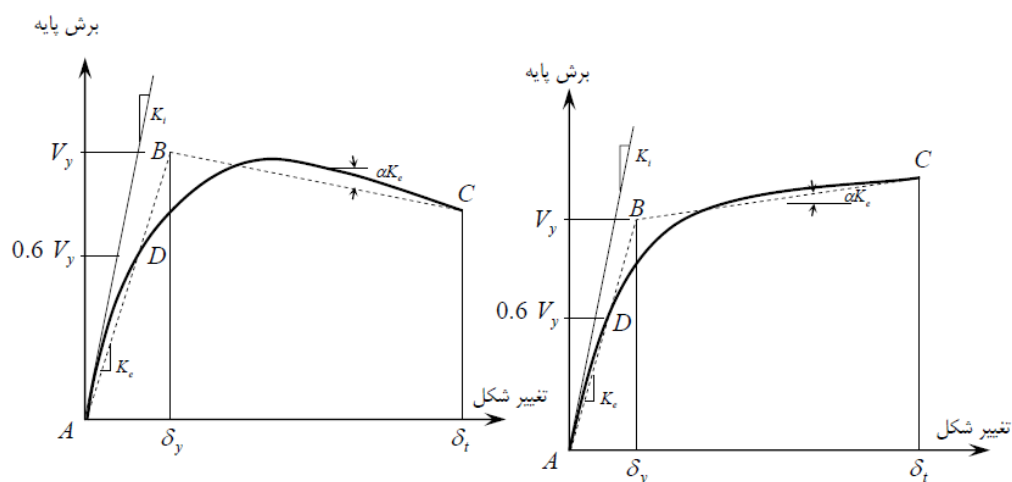
زمان تناوب اصلی موثر T_e در امتداد مورد بررسی براساس مدل رفتار دوخطی برابر است با:

$$T_e = T_i \sqrt{\frac{K_i}{K_e}} \quad (۳-۱۳)$$

که در آن T_i زمان تناوب اصلی ساختمان با فرض رفتار خطی است و K_i سختی جانبی ارتجاعی مطابق شکل (۳-۱) می‌باشد.

۳-۳-۲- برآورد نیروها و تغییر شکل‌ها

تغییر مکان هدف برحسب نوع دیافراگم مطابق بندهای (۳-۳-۲-۱) تا (۳-۳-۳-۳) تعیین می‌شود. در سازه‌هایی که دارای دیافراگم صلب یا نیمه‌صلب هستند تغییر مکان هدف باید به دلیل پیچش مطابق بند (۳-۳-۳) اصلاح شود. دیافراگم طبقات باید برای نیرویی برابر یکی از دو مقدار بندهای (۳-۳-۵) و (۳-۳-۳) طراحی شود. اثر زلزله در امتداد عمود بر امتداد موردنظر در صورت لزوم باید مطابق بند (۳-۳-۷) در نظر گرفته شود.



شکل (۱-۳): منحنی ساده‌شده‌ی نیرو - تغییرمکان

۳-۳-۳-۱- ساختمان با دیافراگم صلب

تغییرمکان هدف برای سازه با دیافراگم‌های صلب باید با در نظر گرفتن رفتار غیرخطی سازه برآورد شود. به عنوان یک روش تقریبی می‌توان مقدار تغییرمکان هدف را از رابطه (۱۴-۳) محاسبه نمود.

$$\delta_t = C_0 C_1 C_2 C_3 S_a \frac{T_e^2}{4\pi^2} g \quad (14-3)$$

که در آن T_e زمان تناوب اصلی موثر ساختمان مطابق رابطه‌ی (۱۳-۳) برای امتداد مورد نظر است. C_0 ضریب اصلاح برای ارتباط تغییرمکان طیفی سیستم یک درجه آزادی به تغییرمکان بام سیستم چند درجه آزادی است که برابر یکی از مقادیر زیر انتخاب می‌شود:

- ضریب مشارکت مود اول
- مقادیر تقریبی مطابق جدول (۲-۳)

جدول (۲-۳): مقدار ضریب C_0

تعداد طبقات ساختمان	ساختمان‌های برشی *		سایر ساختمان‌ها
	توزیع نوع اول مطابق بند (۳-۱-۳-۳-۳)	توزیع بار یکنواخت	هر نوع توزیع بار
۱	۱/۰	۱/۰	۱/۰
۲	۱/۲	۱/۱۵	۱/۲
۳	۱/۲	۱/۲	۱/۳
۵	۱/۳	۱/۲	۱/۴
۱۰ و بیش‌تر	۱/۳	۱/۲	۱/۵

* منظور از ساختمان برشی، ساختمانی است که در تمام طبقات، تغییرمکان جانبی نسبی کوچک‌تر از طبقه‌ی زیرین باشد.

ضریب C_1 از رابطه‌ی (۱۵-۳) محاسبه می‌شود.

$$T_e \geq T_s \rightarrow C_1 = 1.0$$

$$T_e < T_s \rightarrow C_1 = \frac{1.0 + [R - 1] \frac{T_s}{T_e}}{R} \quad (15-3)$$

در هر صورت مقدار C_1 نباید کوچک‌تر از ۱ و بزرگ‌تر از مقدار آن براساس بند (۳-۱-۳-۳) اختیار شود. در این رابطه R نسبت مقاومت است که از رابطه‌ی (۱۶-۳) محاسبه می‌شود.

$$R = \frac{S_a}{V_y / W} C_m \quad (16-3)$$

در این رابطه S_a شتاب طیفی به ازای زمان تناوب اصلی موثر T_e است و C_m ضریب جرم موثر در مود اول است که می‌تواند با استفاده از جدول (۱-۳) یا از تحلیل دینامیکی به دست آید.

ضریب C_2 اثرات کاهش سختی و مقاومت اعضای سازه‌ای را بر تغییر مکان‌ها به دلیل رفتار غیرارتجاعی آن‌ها منظور می‌کند و مقدار آن با استفاده از جدول (۳-۳) تعیین می‌شود.

جدول (۳-۳): مقادیر ضریب C_2

$T \geq T_s$		$T \leq 0.1$		سطح عملکرد موردنظر
قاب نوع دو	قاب نوع یک	قاب نوع دو	قاب نوع یک	
۱/۰	۱/۰	۱/۰	۱/۰	قابلیت استفاده‌ی بی‌وقفه
۱/۰	۱/۱	۱/۰	۱/۳	ایمنی جانی
۱/۰	۱/۲	۱/۰	۱/۵	آستانه‌ی فروریزش

در این جدول قاب‌های نوع یک شامل سیستم‌های سازه‌ای هستند که در آن‌ها بیش از ۳۰٪ بار جانبی توسط اعضای حمل می‌شود که هنگام زلزله کاهش سختی و مقاومت دارند. قاب‌های خمشی معمولی، قاب‌های مهاربندی‌شده با محورهای متقارب،

قاب‌های با اتصالات نیمه‌صلب، قاب‌های با مهاربندهای لاغر که فقط برای کشش طراحی شده‌اند، دیوارهای بنایی غیرمسلح و دیوارهای غیرشکل‌پذیر در برش از این نوع می‌باشند. سایر سیستم‌های سازه‌ای از نوع دو محسوب می‌شوند. برای مقادیر T بین ۰/۱ و T_s مقدار C_2 با استفاده از درون‌یابی خطی محاسبه می‌شود.

ضریب C_3 برای سازه‌هایی که پس از تسلیم دارای سختی مثبت هستند ($\alpha > 0$) برابر ۱ و برای سازه‌هایی که پس از تسلیم دارای سختی منفی هستند ($\alpha < 0$) از رابطه‌ی زیر محاسبه می‌شود.

$$C_3 = 1.0 + \frac{|\alpha| [R - 1]^{1.5}}{T_e}$$

مقدار C_3 لزومی ندارد بزرگ‌تر از مقادیر داده‌شده در بند (۳-۱-۳-۳) در نظر گرفته شود.

بنا به توضیحات آئین نامه می‌توان گفت برای تحلیل پوش آور گام های زیر بایستی انجام گیرد:

۱. معرفی طیف به نرم افزار

۲. محاسبه تغییر مکان هدف

۳. اختصاص رفتار غیر خطی اعضا (تعریف و اختصاص مفاصل پلاستیک)

۴. تعریف الگوهای بارگذاری

۵. تحلیل سازه و برداشت سختی موثر از خروجی نرم افزار و اصلاح تغییر مکان هدف

۶. تحلیل نهایی و کنترل خروجی های لازم (کنترل نمودار پوش، تشکیل مفاصل پلاستیک)

گام اول) معرفی طیف به نرم افزار

با توجه به اینکه سازه بر روی زمین نوع III قرار گرفته و در منطقه با لرزه خیزی بسیار زیاد قرار دارد اطلاعات

طیف برابر خواهد بود با:

نسبت شتاب مبنا	آذربایجان شرقی	▼	تبریز	▼	$A = 0.35$
نوع زمین	سه			▼	III

خطر نسبی زیاد و خیلی زیاد		T_s	T_0	نوع زمین
S_0	S			
1.1	1.75	0.7	0.15	III

T (Sec)	B
0.00	1.10000
0.02	1.32000
0.04	1.54000
0.06	1.76000
0.08	1.98000
0.10	2.20000
0.12	2.42000
0.14	2.64000
0.16	2.75000
0.18	2.75000
0.20	2.75000
0.22	2.75000
0.24	2.75000
0.26	2.75000
0.28	2.75000
0.30	2.75000
0.32	2.75000
0.34	2.75000
0.36	2.75000
0.38	2.75000
0.40	2.75000
0.42	2.75000
0.44	2.75000
0.46	2.75000
0.48	2.75000
0.50	2.75000
0.52	2.75000
0.54	2.75000
0.56	2.75000

0.58	2.75000
0.60	2.75000
0.62	2.75000
0.64	2.75000
0.66	2.75000
0.68	2.75000
0.70	2.75000
0.72	2.68495
0.74	2.62342
0.76	2.56513
0.78	2.50983
0.80	2.45729
0.82	2.40732
0.84	2.35972
0.86	2.31434
0.88	2.27102
0.90	2.22963
0.92	2.19004
0.94	2.15213
0.96	2.11580
0.98	2.08095
1.00	2.04750
1.02	2.01536
1.04	1.98446
1.06	1.95472
1.08	1.92608
1.10	1.89848
1.12	1.87188
1.14	1.84620
1.16	1.82141
1.18	1.79746
1.20	1.77431
1.22	1.75191
1.24	1.73024
1.26	1.70926
1.28	1.68893
1.30	1.66923
1.32	1.65013
1.34	1.63159
1.36	1.61360
1.38	1.59614
1.40	1.57917
1.42	1.56268
1.44	1.54664
1.46	1.53105
1.48	1.51588

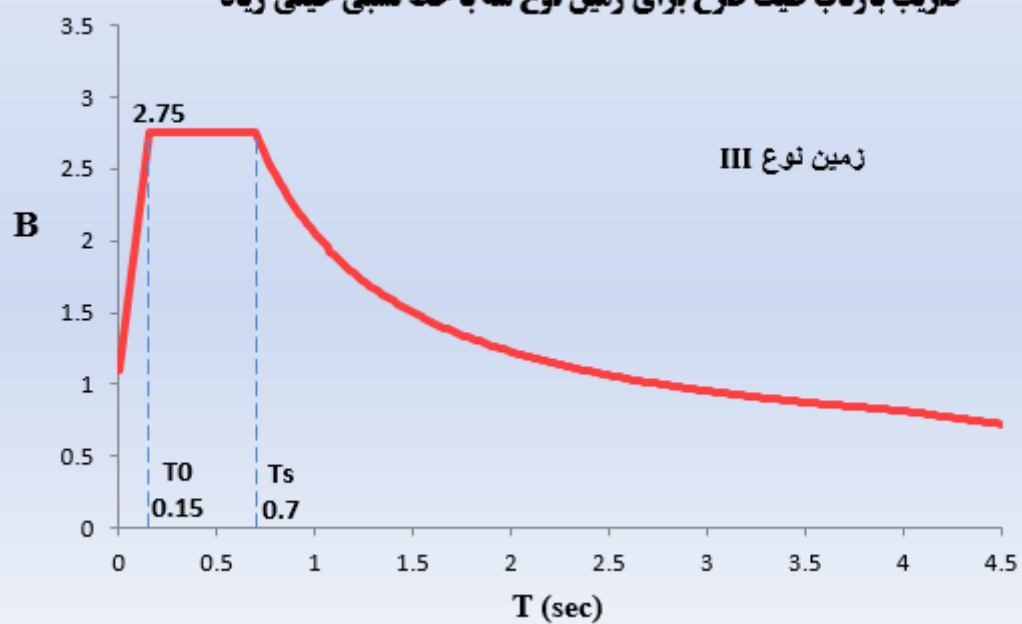
1.50	1.50111
1.52	1.48673
1.54	1.47273
1.56	1.45908
1.58	1.44578
1.60	1.43281
1.62	1.42016
1.64	1.40783
1.66	1.39578
1.68	1.38403
1.70	1.37255
1.72	1.36134
1.74	1.35038
1.76	1.33968
1.78	1.32921
1.80	1.31898
1.82	1.30897
1.84	1.29918
1.86	1.28961
1.88	1.28023
1.90	1.27105
1.92	1.26207
1.94	1.25326
1.96	1.24464
1.98	1.23620
2.00	1.22792
2.02	1.21980
2.04	1.21185
2.06	1.20405
2.08	1.19639
2.10	1.18889
2.12	1.18153
2.14	1.17430
2.16	1.16721
2.18	1.16024
2.20	1.15341
2.22	1.14670
2.24	1.14010
2.26	1.13363
2.28	1.12727
2.30	1.12101
2.32	1.11487
2.34	1.10883
2.36	1.10290
2.38	1.09706
2.40	1.09132
2.42	1.08567

2.44	1.08012
2.46	1.07466
2.48	1.06929
2.50	1.06400
2.52	1.05880
2.54	1.05367
2.56	1.04863
2.58	1.04367
2.60	1.03878
2.62	1.03397
2.64	1.02923
2.66	1.02456
2.68	1.01996
2.70	1.01543
2.72	1.01097
2.74	1.00657
2.76	1.00223
2.78	0.99796
2.80	0.99375
2.82	0.98960
2.84	0.98550
2.86	0.98147
2.88	0.97749
2.90	0.97356
2.92	0.96969
2.94	0.96587
2.96	0.96211
2.98	0.95839
3.00	0.95472
3.02	0.95110
3.04	0.94753
3.06	0.94401
3.08	0.94053
3.10	0.93710
3.12	0.93371
3.14	0.93036
3.16	0.92706
3.18	0.92379
3.20	0.92057
3.22	0.91739
3.24	0.91425
3.26	0.91115
3.28	0.90808
3.30	0.90505
3.32	0.90206
3.34	0.89910
3.36	0.89618

3.38	0.89329
3.40	0.89044
3.42	0.88762
3.44	0.88484
3.46	0.88208
3.48	0.87936
3.50	0.87667
3.52	0.87401
3.54	0.87137
3.56	0.86877
3.58	0.86620
3.60	0.86366
3.62	0.86114
3.64	0.85865
3.66	0.85619
3.68	0.85376
3.70	0.85135
3.72	0.84897
3.74	0.84661
3.76	0.84428
3.78	0.84198
3.80	0.83969
3.82	0.83743
3.84	0.83520
3.86	0.83299
3.88	0.83080
3.90	0.82863
3.92	0.82649
3.94	0.82437
3.96	0.82226
3.98	0.82018
4.00	0.81813
4.02	0.81405
4.04	0.81002
4.06	0.80603
4.08	0.80208
4.10	0.79817
4.12	0.79430
4.14	0.79046
4.16	0.78666
4.18	0.78289
4.20	0.77917
4.22	0.77547
4.24	0.77182
4.26	0.76819
4.28	0.76460
4.30	0.76105

4.32	0.75752
4.34	0.75403
4.36	0.75057
4.38	0.74715
4.40	0.74375
4.42	0.74038
4.44	0.73705
4.46	0.73374
4.48	0.73047
4.50	0.72722
4.52	0.72400
4.54	0.72081
4.56	0.71765
4.58	0.71452
4.60	0.71141
4.62	0.70833
4.64	0.70528
4.66	0.70225
4.68	0.69925
4.70	0.69628
4.72	0.69333
4.74	0.69040
4.76	0.68750
4.78	0.68462
4.80	0.68177
4.82	0.67894
4.84	0.67614
4.86	0.67335
4.88	0.67059
4.90	0.66786
4.92	0.66514
4.94	0.66245
4.96	0.65978
4.98	0.65713
5.00	0.65450

ضریب بازتاب طیف طرح برای زمین نوع سه با خط نسبی خیلی زیاد



Function Name

Function Damping Ratio

Defined Function

Period	Value
0	1.1
0.02	1.32
0.04	1.54
0.06	1.76
0.08	1.98
0.1	2.2
0.12	2.42

Add
Modify
Delete

Function Graph

OK

Cancel

معرفی طیف به نرم افزار

گام دوم) محاسبه تغییر مکان هدف

رابطه محاسبه تغییر مکان هدف طبق نشریه ۳۶۰ بصورت زیر می‌باشد:

$$\delta_t = C_0 C_1 C_2 C_3 S_a \frac{T_e^2}{4\pi^2} g$$

محاسبه ضریب C_0 : ضریب اصلاح برای ارتباط تغییر مکان طیفی سیستم یک درجه آزادی به تغییر مکان بام سیستم چند درجه آزادی که مقدار تقریبی آن از جدول زیر قابل محاسبه می‌باشد:

جدول (۲-۳): مقدار ضریب C_0

تعداد طبقات ساختمان	ساختمان‌های برشی *		سایر ساختمان‌ها
	توزیع نوع اول مطابق بند (۳-۱-۳-۳)	توزیع بار یکنواخت	هر نوع توزیع بار
۱	۱/۰	۱/۰	۱/۰
۲	۱/۲	۱/۱۵	۱/۲
۳	۱/۲	۱/۲	۱/۳
۵	۱/۳	۱/۲	۱/۴
۱۰ و بیش‌تر	۱/۳	۱/۲	۱/۵

* منظور از ساختمان برشی، ساختمانی است که در تمام طبقات، تغییر مکان جانبی نسبی کوچک‌تر از طبقه‌ی زیرین باشد.

برای سازه ۳ طبقه برابر ۱/۳ می‌باشد.

محاسبه ضریب C_1 : ضریب تصحیح برای اعمال تغییر مکان‌های غیرارتجاعی.

ضریب C_1 از رابطه‌ی (۱۵-۳) محاسبه می‌شود.

$$T_e \geq T_s \rightarrow C_1 = 1.0$$

$$T_e < T_s \rightarrow C_1 = \frac{1.0 + [R - 1] \frac{T_s}{T_e}}{R} \quad (15-3)$$

در هر صورت مقدار C_1 نباید کوچک‌تر از ۱ و بزرگ‌تر از مقدار آن براساس بند (۲-۱-۳-۳) اختیار شود. در این رابطه R نسبت مقاومت است که از رابطه‌ی (۱۶-۳) محاسبه می‌شود.

$$R = \frac{S_a}{V_y/W} C_m \quad (16-3)$$

در این رابطه S_a شتاب طیفی به ازای زمان تناوب اصلی موثر T_e است و C_m ضریب جرم موثر در مود اول است که می‌تواند با استفاده از جدول (۱-۳) یا از تحلیل دینامیکی به دست آید.

جدول ۲-۲ پارامترهای مربوط به روابط (۲-۲)

نوع زمین	T_0	T_s	خطر نسبی کم و متوسط		خطر نسبی زیاد و خیلی زیاد	
			S_0	S	S_0	S
I	۰/۱	۰/۴	۱	۱/۵	۱	۱/۵
II	۰/۱	۰/۵	۱	۱/۵	۱	۱/۵
III	۰/۱۵	۰/۷	۱/۱	۱/۷۵	۱/۱	۱/۷۵
IV	۰/۱۵	۱/۰	۱/۳	۲/۲۵	۱/۱	۱/۷۵

برای خاک نوع سه $T_s = 0.7$

Modal Participating Mass Ratios							
1 of 9 Reload Apply							
	Case	Mode	Period sec	UX	UY	Sum UX	Sum UY
▶	Modal	1	0.878	0.6908	0.0855	0.6908	0.0855
	Modal	2	0.837	0.161	0.6913	0.8518	0.7768
	Modal	3	0.75	0.0584	0.1401	0.9102	0.9169
	Modal	4	0.314	0.0485	0.0125	0.9586	0.9294
	Modal	5	0.303	0.0222	0.0447	0.9809	0.974
	Modal	6	0.273	0.004	0.0121	0.9848	0.9862
	Modal	7	0.158	0.0054	0.0062	0.9902	0.9923
	Modal	8	0.154	0.0093	0.0051	0.9995	0.9974
	Modal	9	0.138	0.0005	0.0026	1	0.9999

$$T_e > T_s$$

$$C_1 = 1$$

محاسبه ضریب C_2 : اثرات کاهش سختی و مقاومت اعضا سازه ای را بر تغییر مکان ها به دلیل رفتار غیر ارتجاعی آنها منظور می کند.

جدول (۳-۳): مقادیر ضریب C_2

$T \geq T_s$		$T \leq 0.1$		سطح عملکرد موردنظر
قاب نوع دو	قاب نوع یک	قاب نوع دو	قاب نوع یک	
۱/۰	۱/۰	۱/۰	۱/۰	قابلیت استفاده ی بی وقفه
۱/۰	۱/۱	۱/۰	۱/۳	ایمنی جانی
۱/۰	۱/۲	۱/۰	۱/۵	آستانه ی فروریزش

در این جدول قاب‌های نوع یک شامل سیستم‌های سازه‌ای هستند که در آن‌ها بیش از ۳۰٪ بار جانبی توسط اعضای حمل می‌شود که هنگام زلزله کاهش سختی و مقاومت دارند. قاب‌های خمشی معمولی، قاب‌های مهاربندی شده با محورهای متقارب،

قاب‌های با اتصالات نیمه‌صلب، قاب‌های با مهاربندهای لاغر که فقط برای کشش طراحی شده‌اند، دیوارهای بنایی غیرمسلح و دیوارهای غیرشکل‌پذیر در برش از این نوع می‌باشند. سایر سیستم‌های سازه‌ای از نوع دو محسوب می‌شوند. برای مقادیر T بین ۰/۱ و T_s مقدار C_2 با استفاده از درون‌یابی خطی محاسبه می‌شود.

$$C_2 = 1$$

محاسبه ضریب C_3 : برای اعمال اثرات $P - \Delta$ با رفتار غیرخطی مصالح، بر تغییر مکان‌ها می‌باشد.

ضریب C_3 برای سازه‌هایی که پس از تسلیم دارای سختی مثبت هستند ($\alpha > 0$) برابر ۱ و برای سازه‌هایی که پس از تسلیم دارای سختی منفی هستند ($\alpha < 0$) از رابطه‌ی زیر محاسبه می‌شود.

$$C_3 = 1.0 + \frac{|\alpha| [R - 1]^{1.5}}{T_e}$$

مقدار C_3 لزومی ندارد بزرگ‌تر از مقادیر داده شده در بند (۳-۳-۱-۲) در نظر گرفته شود.

$$C_3 = 1$$

محاسبه S_a :

$$B_1 = (S + 1) \frac{T_s}{T} \quad T > T_s$$

$$B_1 = (1.75 + 1) \frac{0.7}{0.878} = 2.19$$

$$N = \frac{0.7}{4 - T_s} (T - T_s) + 1 \quad T_s < T < 4 \text{ sec}$$

$$N = \frac{0.7}{4 - 0.7} (0.878 - 0.7) + 1 = 1.037$$

$$B = B_1 N = 2.19 \times 1.037 = 2.27$$

$$S_a = ABI = 0.35 \times 2.27 \times 1 = 0.794$$

محاسبه تغییر مکان هدف:

$$\delta_t = 1.3 \times 1 \times 1 \times 1 \times 0.794 \times \frac{0.878^2}{4\pi^2} \times 9.81 = 0.197 \text{ m} = 19.7 \text{ cm}$$

$$\delta_t = 20 \text{ cm}$$

مطابق آئین نامه بایستی مقادیر تغییر مکان هدف در مقدار $1/5$ ضرب شوند تا رفتار اعضا لرزه بر پس از رسیدن به مقادیر تغییر مکان هدف پیش بینی گردد.

$$1.5\delta_t = 1.5 \times 20 = 30 \text{ cm}$$

Load Application Control for Nonlinear Static Analysis

Load Application Control

☐ Full Load

☒ Displacement Control

☐ Quasi-Static (run as time history)

Control Displacement

☐ Use Conjugate Displacement

☒ Use Monitored Displacement

Load to a Monitored Displacement Magnitude of cm

Monitored Displacement

☒ DOF/Joint

☐ Generalized Displacement

Quasi-static Parameters

Time History Type

Output Time Step Size sec

Mass Proportional Damping 1/sec

Hilber-Hughes-Taylor Time Integration Parameter, Alpha

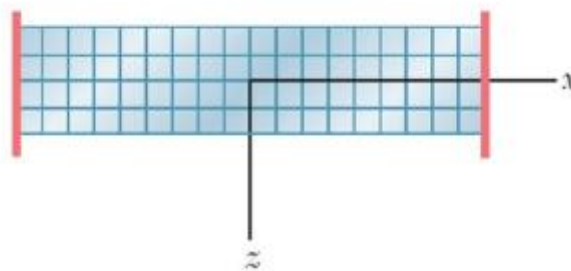
OK Cancel

وارد نمودن تغییر مکان هدف در نرم افزار

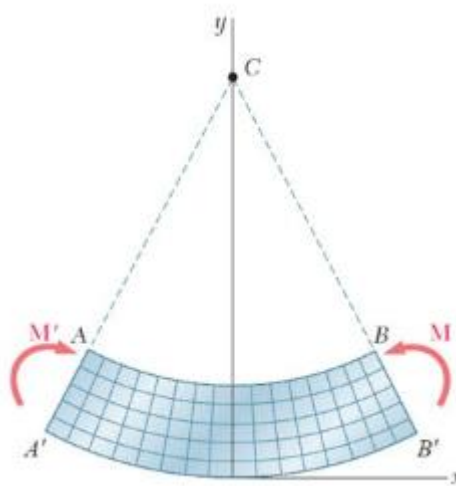
گام سوم) اختصاص رفتار غیر خطی اعضا (تعریف و اختصاص مفاصل پلاستیک)

مفهوم مفصل پلاستیک

تیر نشان داده شده در شکل زیر را نظر بگیرید که بعد طولی آن را با استفاده از خطوط مستقیم عمود بر هم شبکه بندی کرده ایم. طبق اصل برنولی، زمانی که عضوی تحت اثر خمش خالص قرار می گیرد، زوایای بین این خطوط بعد از تغییر شکل های خمشی و ایجاد انحناء در مقطع، عمود بر یکدیگر باقی خواهند ماند



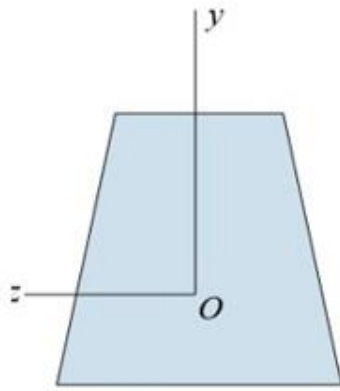
تیر با بعد طولی تقسیم شده توسط خطوط عمود بر هم



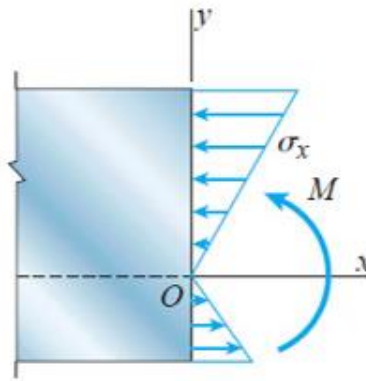
تیر تحت خمش خالص و وضعیت تارهای مقطع بعد از تغییر شکل های خمشی

این رفتار، نشان دهنده ی خطی بودن کرنش ها در مقطع می باشد. حتی اگر مقطع، رفتاری پلاستیک از خود نشان دهد و رفتار مصالح غیر خطی باشد، اصل برنولی تا لحظه ی گسیختگی کامل مقطع نیز صادق خواهد بود.

علاوه بر این، از مقاومت مصالح می دانیم که توزیع تنش های ناشی از خمش در یک مقطع، مستقل از جنس مصالح بوده و در تارهای دور از محور خنثی مقطع، شاهد بیشترین مقدار تنش خواهیم بود و در مقابل، در نواحی نزدیک تار خنثی، مقادیر تنش ها بسیار کمتر خواهند بود همان طور که می دانیم، مقادیر تنش در هر تار عرضی مقطع، از رابطه زیر قابل محاسبه است:



(الف)



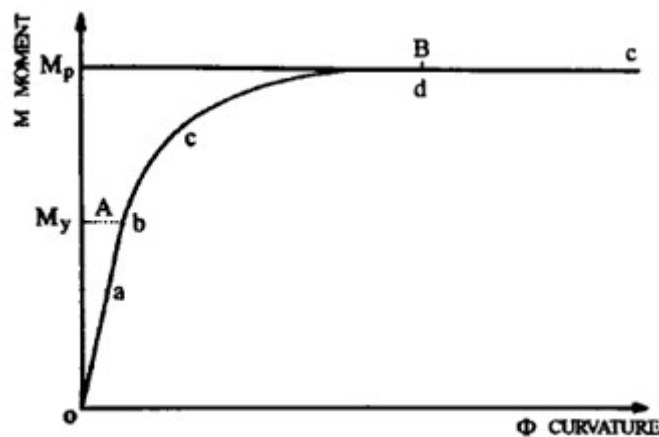
(ب)

$$\sigma_x = -\frac{My}{I}$$

(1)

مقطع قرار گرفته تحت خمش خالص و چگونگی توزیع تنش

در رابطه‌ی فوق، مقدار لنگر خمشی اعمالی (M) و ممان اینرسی مقطع (I)، معلوم و مشخص است و مقادیر تنش، تنها به فاصله محور مورد نظر از تار خنثی مقطع، یعنی (Y) وابسته است. زمانی که تنش در هر تار مقطع، کوچک تر از مقدار تنش تسلیم مصالح باشد، مقطع به صورت الاستیک رفتار می‌کند.



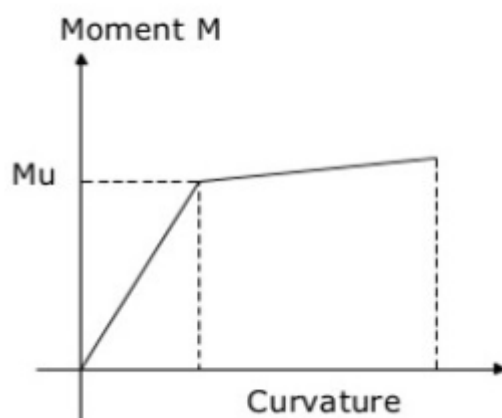
منحنی لنگر انحنا

ساده‌سازی منحنی لنگر-انحناء بر اساس آیین‌نامه ۲۸۰۰

بر اساس بند ۲-۲ پیوست دوم از ویرایش چهارم استاندارد ۲۸۰۰، می‌توان دو حالت برای تبدیل منحنی لنگر-انحناء به صورت خطی در نظر گرفت:

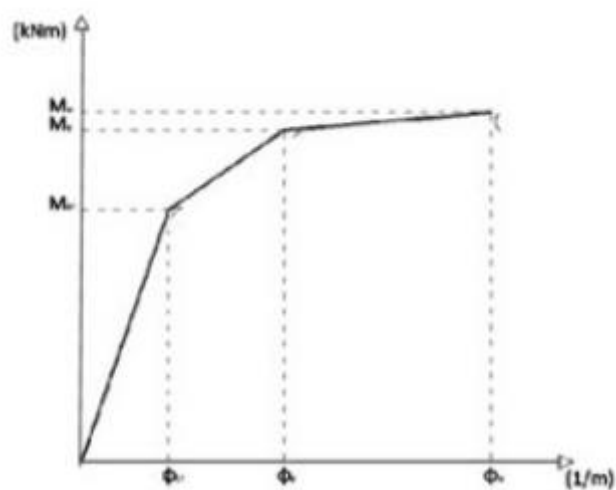
رویکرد اول بدین شکل است که نمودار لنگر-انحناء می‌تواند به صورت دو خط در نظر گرفته شود که خط اول بیانگر ناحیه رفتار الاستیک مقطع و خط دوم که دارای سختی و به دنبال آن شیب کمتر می‌باشد، مربوط به رفتار پلاستیک مقطع است. نمونه‌ای از منحنی دوطبقی لنگر-انحناء را در شکل زیر مشاهده می‌کنید:

قابل ذکر است که می‌توان با صرف نظر از قابلیت سخت شدگی مجدد فولاد، قسمت دوم منحنی را با شیب صفر (به صورت افقی) در نظر گرفت.



منحنی لنگر-انحناء ساده شده بصورت دو خطی

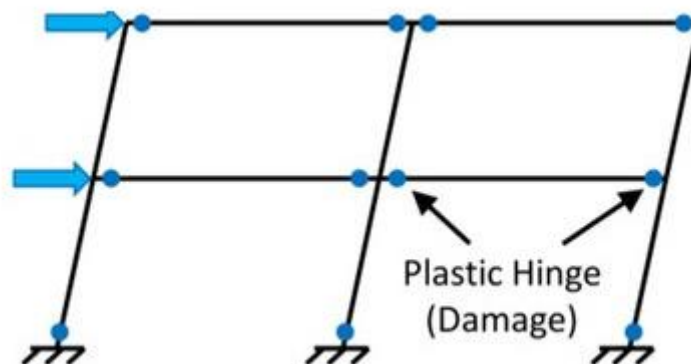
در رویکرد دوم، نمودار لنگر-انحناء به صورت یک منحنی سه خطی معادل سازی می‌شود. مزیت این حالت نسبت به منحنی دوخطی، دقت بالاتر و بهتر نشان دادن مراحل مختلف کاهش سختی عضو، تحت خمش می‌باشد. نمونه ای از منحنی لنگر-انحناء را که به صورت سه خطی نرمال شده است، نشان می‌دهد.



منحنی لنگر-انحناء ساده شده بصورت سه خطی

مفصل پلاستیک در قاب های خمشی

قاب خمشی را که تحت نیروی جانبی قرار گرفته است، در نظر بگیرید. در اثر اعمال بار جانبی، لنگرهای خمشی و نیروهای برشی در تیرها و ستون های سازه ایجاد می شود. با افزایش مقدار نیروی اعمالی به سازه و به تبع آن افزایش تنش ها، امکان شکل گیری مفاصل پلاستیک خمشی در تیرها و ستون ها وجود دارد. اما به طور کلی ترتیب تشکیل مفاصل پلاستیک در اعضای مختلف سازه ای، دارای اهمیت فراوانی می باشد به طوریکه مهندسین تلاش می کنند سازه ها را به گونه ای طراحی کنند که مفاصل پلاستیک تحت نیروهای لرزه ای وارد، ابتدا در تیرها و سپس در ستون ها تشکیل شود؛ چرا که ایجاد مفصل پلاستیک در عضو، با خرابی همراه است و در صورتی که مفاصل پلاستیک در ستون ها، قبل از تیرها تشکیل شوند، مقدار خرابی های وارد به سازه بسیار شدیدتر از حالتی خواهد بود که مفاصل پلاستیک قبل از ستون ها، در تیرها شکل بگیرد. از این رو همواره سعی می شود که تیرها نسبت به ستون ها، ضعیف تر طراحی شده به شکلی که فلسفه ی کنترل تیر ضعیف-ستون قوی، که بند ۱۰-۳-۲ از مبحث دهم مقررات ملی ساختمان به این موضوع اختصاص داده شده است، از همین بحث نشأت گرفته است. علاوه بر اینکه کنترل های محاسباتی و نرم افزاری در تحقق این امر بسیار حائز اهمیت می باشند، اما در مقابل، ارائه دیتیل های اجرایی، نظارت دقیق بر اجرای سازه ها منطبق بر نظر طراحان، مصالح مورد استفاده و دیگر عوامل در دستیابی به این مهم دخیل می باشند.



قاب خمشی تحت نیروی جانبی و تشکیل مفاصل پلاستیک در تیرها و ستون ها

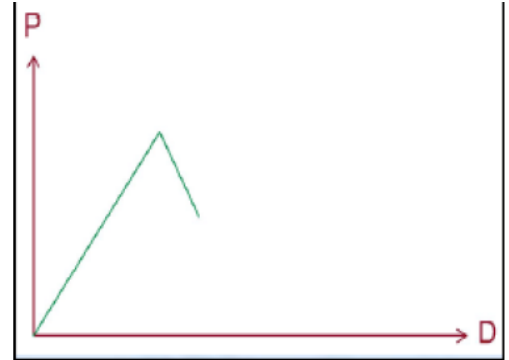
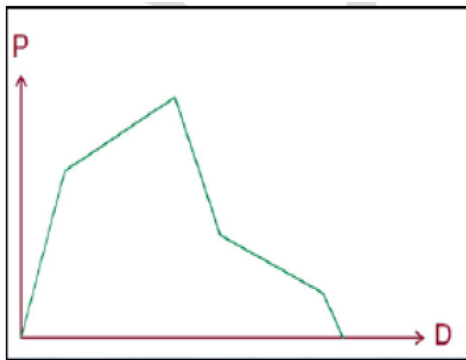
رفتار غیرخطی مصالح برای انجام یک تحلیل غیرخطی معمولاً به سه روش زیر انجام می گیرد.

(۱) روش اجزاء محدود

(۲) روش فایبر

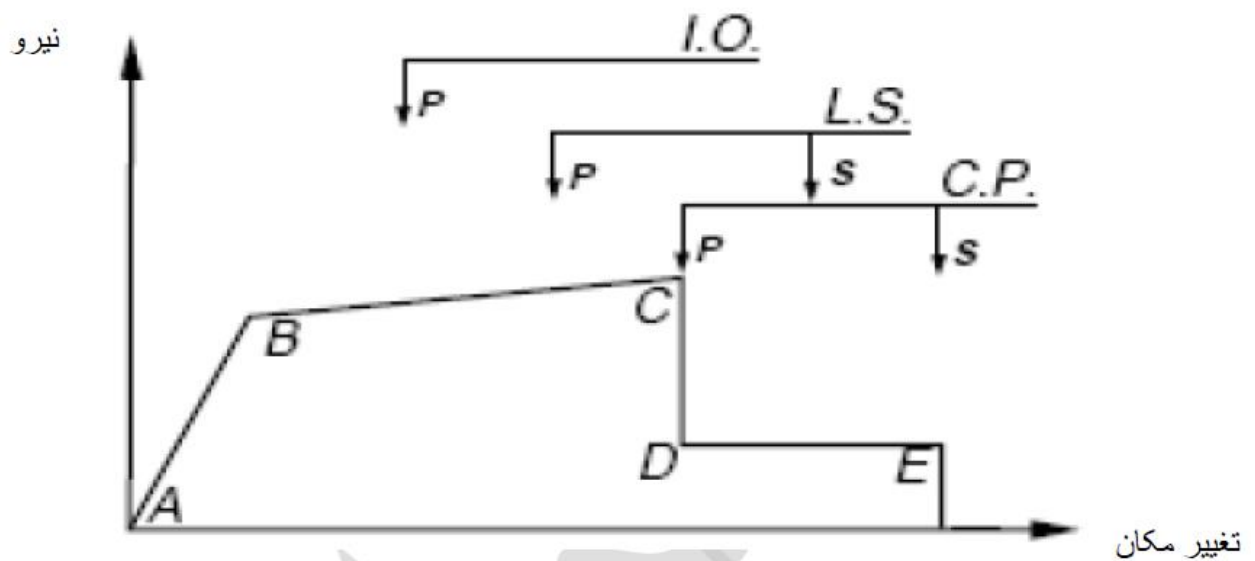
(۳) روش مفصل پلاستیک

در برنامه ETABS رفتار غیرخطی مصالح از طریق مفصل پلاستیک تعریف می شود. مفصل پلاستیک خاصیتی است که با اختصاص آن به عضو امکان تعریف رفتار نیرو تغییر مکانی برای عضو در نقاط مشخص – امکان پذیر می شود. رفتار مفاصل پلاستیک بر اساس اینکه عضو مورد نظر تغییر شکل کنترل هست یا نیرو کنترل، تعریف می گردد. در حالت کلی اگر لحظه شکست عضو بر اساس مقدار تغییر شکل قابل بررسی باشد، عضو تغییر شکل کنترل هست و در حالتی که لحظه شکست عضو بر اساس نیرو مشخص باشد، نیرو کنترل گفته می شود.



رفتار نیرو - تغییر مکان المانها

در حالت کلی بوسیله مفصل پلاستیک، رفتار نیرو تغییر مکان برای عضو در نقاطی که مستعد وارد شدن به مرحله غیرخطی قبل از سایر قسمتهای عضو است، تعریف میگردد. نمودار نیرو تغییر مکان برای عضوهای تغییر شکل کنترل بر اساس نشریه ۳۶۰ بصورت شکل زیر است.



منحنی نیرو - تغییر مکان مفصل پلاستیک

در نمودار فوق، نقطه B لحظه وارد شدن عضو به مرحله غیرخطی است که در این لحظه مفصل پلاستیک در عضو تشکیل می شود؛ نقطه C لحظه فروریزش عضو یا لحظه باربرداری از عضو است که در این مرحله عضو دیگر قادر به تحمل بار نمی باشد. ما بین نقطه B و نقطه C سطوح عملکرد مختلفی تعریف شده است. منظور از سطوح عملکرد، مقدار تغییر شکل (خرابی) ایجاد شده در سازه است که بر اساس معیارها و انتظاراتی که از سازه داریم، تعریف شده اند.

انواع سطوح عملکرد

سطوح عملکرد سازه‌ای

استفاده بی وقفه (Immediate Occupancy: IO): در این سطح عملکرد سازه آسیب جزئی دیده و قابل استفاده است. خرابی در این سطح

عملکرد در حدی است که در بهره‌برداری سازه نمی‌تواند اختلال ایجاد نماید و بعد از زلزله قابل تعمیر است (خرابی محدود).

ایمنی جانی (Life Safety: LS): در این سطح عملکرد خرابی سازه‌های قابل توجه است ولی مقدار خسارت جانی کمتر است. در این سطح

عملکرد ممکن است سازه به اندازه‌ای آسیب ببیند که بعد از زلزله قابل استفاده مجدد نباشد. خرابی در این سطح در حدی است که افراد داخل

آن خسارت کمتری دیده‌اند (ایمنی جانی محدود).

آستانه فروریزش (Collapse Prevention: CP): در این سطح عملکرد خسارات سازه بسیار زیاد است اما تلفات انسانی (مرگ) کمتر است.

برای این حد از خرابی سطح عملکردی تعریف نشده است. می‌توان گفت که اگر سازه در این محدوده قرار بگیرد، امکان دارد که، سازه قابلیت

تعمیر مجدد نداشته باشد.

بعد از مشخص کردن سطوح عملکرد برای المان‌های سازه‌ای، نوبت به اختصاص مفاصل پلاستیک برای المان‌ها می‌رسد. در اختصاص مفاصل

پلاستیک به المان‌ها، باید دقت نماییم که مفصل پلاستیک به المانی اختصاص خواهد یافت که، المان مقاوم در برابر بارهای جانبی باشد، یا نیروی

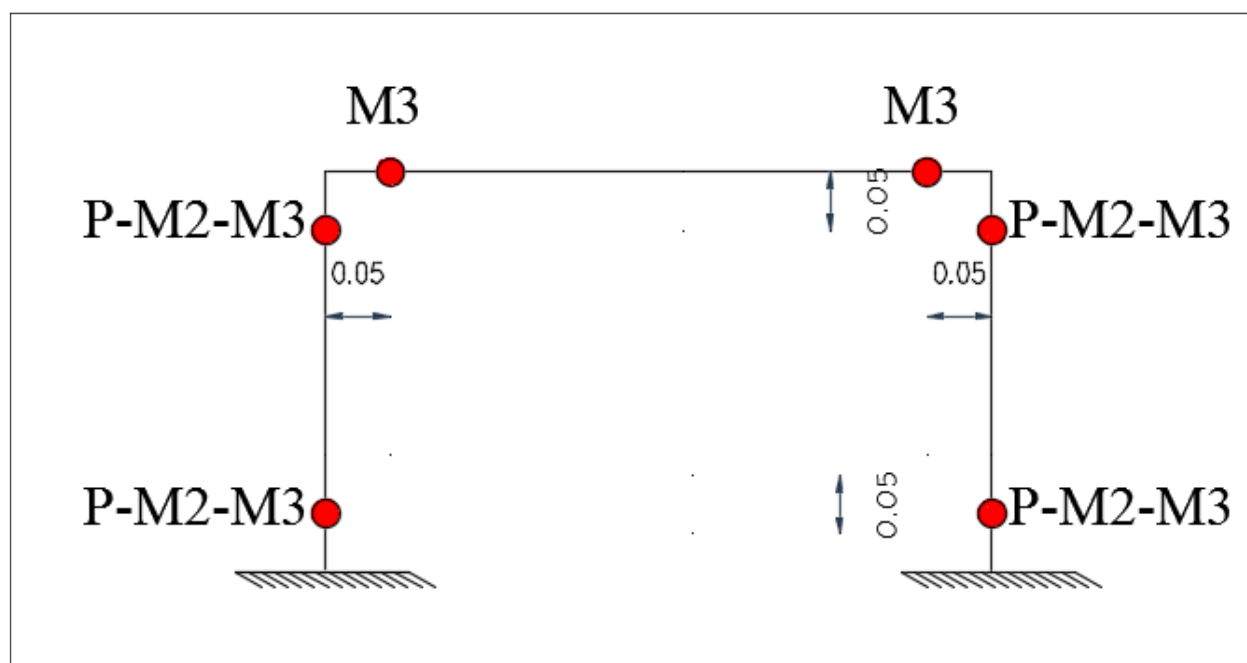
جانبی زلزله در مقدار تلاش‌های داخلی آن المان تاثیرگذار باشد (المان مقاوم جانبی). از طرفی در هنگام اختصاص مفاصل پلاستیک باید مدنظر

باشد که، مفاصل در نقاطی از المان باید اختصاص یابد که در آن نقطه احتمال ورود به مرحله غیرخطی بیشتر از سایر نقاط باشد؛ که این موضوع

بستگی به نوع سیستم مقاوم جانبی و تلاش‌های داخلی مورد نظر دارد.

قابهای خمشی: در قاب خمشی با توجه به اینکه تیرها و ستونها المان‌های مقاوم جانبی هستند، لذا مفاصل پلاستیک به تیرها و ستونها

اختصاص خواهد یافت.



اختصاص مفاصل پلاستیک به قاب خمشی

نکته: تشکیل مفصل پلاستیک در هر المان نشان دهنده شروع خرابی در المان است هر چقدر خرابی در المان مفصل بیشتر شود متعاقباً به همان اندازه سختی عضو کاهش خواهد یافت، بنابراین جابه‌جایی‌های جانبی سازه افزایش خواهد یافت لذا می‌توان گفت با تشکیل مفصل سختی کاهش و جابه‌جایی می‌تواند افزایش یابد.

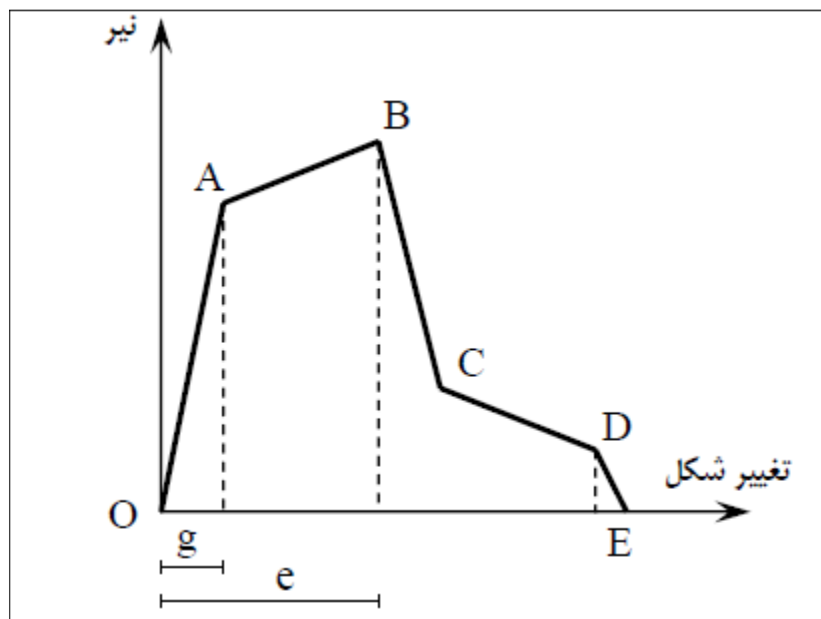
اختصاص مفصل پلاستیک در برنامه ETABS

تلاش‌های تغییر شکل کنترل و نیرو کنترل

برای اختصاص مفصل پلاستیک به المان‌های مقاوم جانبی ابتدا باید، نوع المان را از نظر نیرو کنترل و تغییر شکل کنترل تعیین نمود. برای اینکار میتوان تعاریفی که نشریه ۳۶۰ از اعضای نیرو کنترل و تغییر شکل کنترل آورده است استفاده نمود. در نشریه ۳۶۰ داریم:

رفتار اجزای سازه با توجه به نوع تلاش داخلی آنها و منحنی نیرو تغییر شکل حاصل به صورت تغییر شکل کنترل و یا نیرو کنترل می باشد.

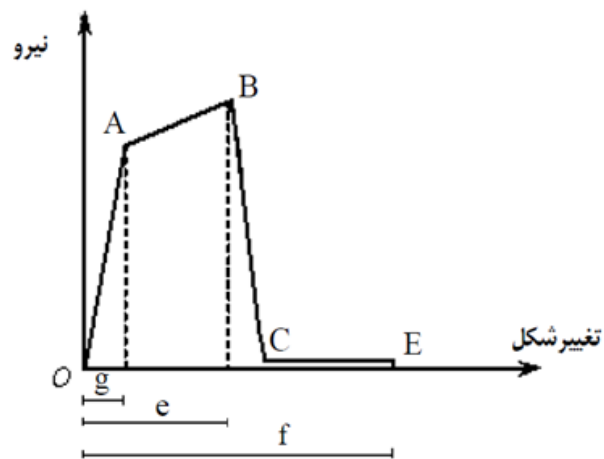
منحنی نیرو تغییر شکل مطابق شکل‌های زیر می‌تواند بیانگر رفتار شکل‌پذیر، نیمه شکل‌پذیر یا ترد باشد. در رفتار شکل‌پذیر، منحنی نیرو تغییر شکل مطابق شکل زیر دارای چهار قسمت است. در قسمت اول (شاخه OA) رفتار ارتجاعی خطی است.



نمودار نیرو تغییر مکان

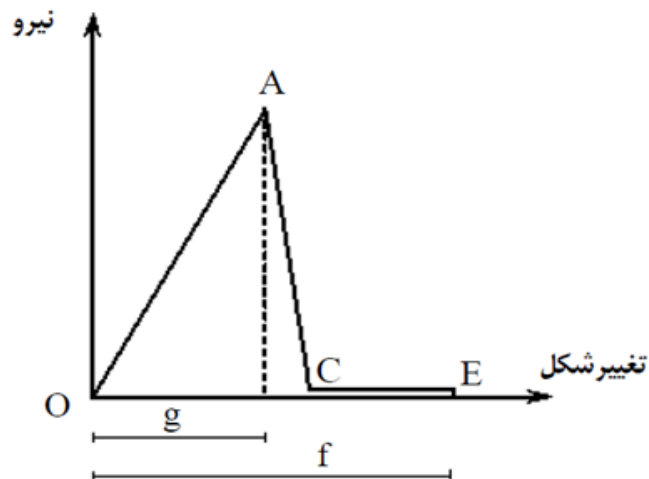
در قسمت دوم (شاخه AB) رفتار خمیری با شیب مثبت یا منفی است. در قسمت سوم (شاخه BC) مقاومت به شدت کاهش می‌یابد اما به طور کلی از بین نمی‌رود و در قسمت چهارم (شاخه CD) رفتار مجدداً خمیری اما نرم شونده است. اعضای اصلی و غیر اصلی که رفتاری مطابق شکل دارند تغییر شکل کنترل محسوب می‌شوند.

در رفتار نیمه شکل‌پذیر منحنی نیرو تغییر شکل مطابق شکل زیر دارای سه قسمت است. در قسمت اول (شاخه OA) رفتار ارتجاعی خطی است و در قسمت دوم (شاخه AB) رفتار خمیری با شیب مثبت یا منفی است. در قسمت سوم (شاخه BC) مقاومت به شدت کاهش یافته و نزدیک به صفر می‌رسد. برای آن که اعضای اصلی با رفتار فوق، تغییر شکل کنترل محسوب شوند، باید تغییر شکل نظیر آستانه کاهش مقاومت بیش از دو برابر تغییر شکل حد خطی یا به عبارت دیگر $\frac{e}{g} \geq 2$ باشد. اما اعضای غیر اصلی که رفتاری مطابق شکل (۴۹) دارند با نسبت $\frac{f}{g}$ بزرگتر از ۲، تغییر شکل کنترل محسوب می‌شوند.



منحنی رفتار جزء نیمه شکل پذیر

در رفتار ترد، منحنی نیرو تغییر شکل - مطابق شکل (۵۰) دارای یک قسمت ارتجاعی خطی است که پس از آن مقاومت به شدت کاهش یافته و نزدیک به صفر می‌رسد. اعضای اصلی با رفتاری مطابق شکل نیرو کنترل محسوب می‌شوند. اما اعضای غیر اصلی که رفتاری مطابق شکل دارند با نسبت $\frac{f}{g}$ بزرگتر از ۲، تغییر شکل کنترل محسوب می‌شوند.



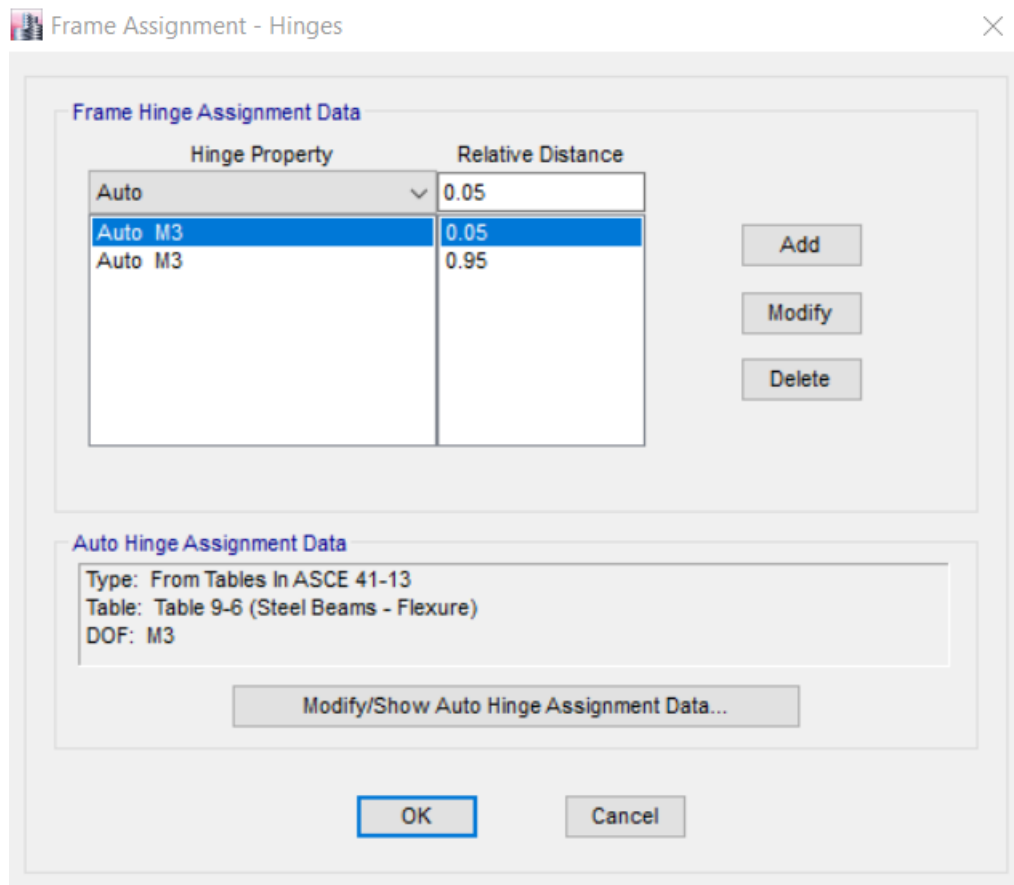
منحنی رفتار جزء شکننده

تفاوت اعضای نیرو کنترل و تغییر شکل کنترل، در مدلسازی و کنترل معیارهای پذیرش در روش‌های تحلیل خطی و غیر خطی است. نمونه‌هایی از تلاش‌های تغییر شکل کنترل و نیرو کنترل در جدول زیر ارائه شده است.

نمونه‌هایی از تلاش‌های نیروکنترل و تغییرشکل کنترل

جزء	تغییرشکل کنترل	نیروکنترل
۱- قاب های خمشی		
تیر ها	لنگر خمشی (M)	برش ^۱ (V)
ستون ها	----	نیروی محوری (P) و برش (V)
اتصالات	----	برش ^۱ (V)
۲- دیوار های برشی	لنگر خمشی (M) و برش (V)	نیروی محوری (P)
۳- قاب های مهاربندی شده		
مهاربند ها	نیروی محوری (P)	----
تیر ها	----	نیروی محوری (P)
ستون ها	----	نیروی محوری (P)
۴- اجزای اتصالات	لنگر خمشی (M) و برش (V) و نیروی محوری (P) ^۲	لنگر خمشی (M) و برش (V) و نیروی محوری (P)
۵- دیافراگم ها	لنگر خمشی (M) و برش (V) ^۳	لنگر خمشی (M) و برش (V) و نیروی محوری (P)

✓ برای تیرها و ستون‌های فولادی در نرم افزار ETABS می‌توان از حالت اتوماتیک برای اختصاص مفاصل پلاستیک استفاده کرد که به شکل زیر آنها را اختصاص داده‌ایم.



Frame Assignment - Hinges

Frame Hinge Assignment Data

Hinge Property	Relative Distance
Auto	0.05
Auto M3	0.05
Auto M3	0.95

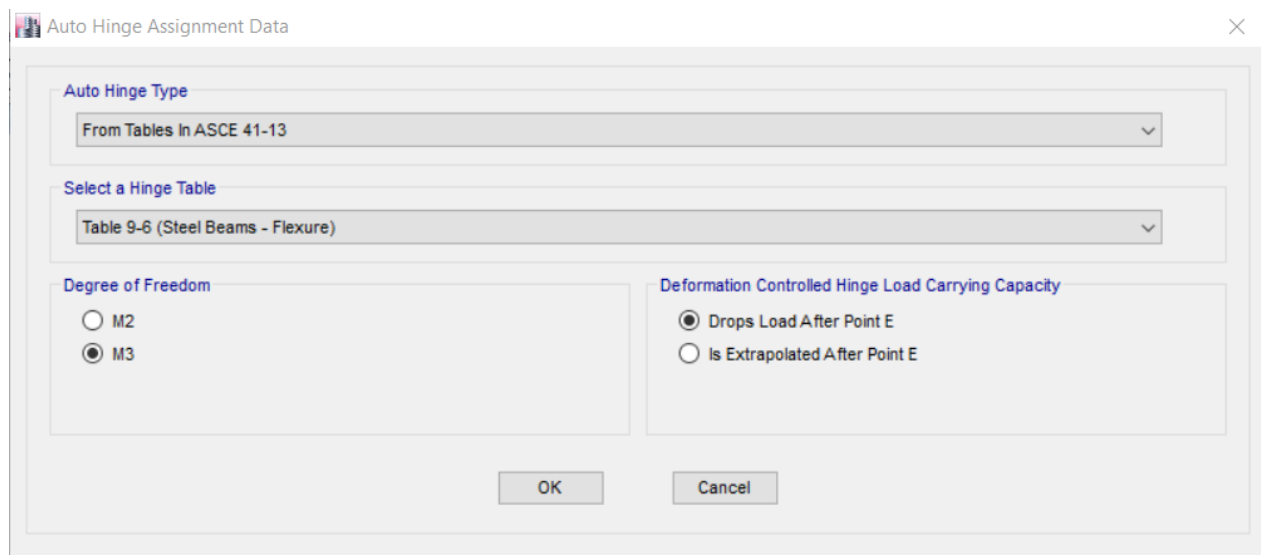
Add
Modify
Delete

Auto Hinge Assignment Data

Type: From Tables In ASCE 41-13
Table: Table 9-6 (Steel Beams - Flexure)
DOF: M3

Modify/Show Auto Hinge Assignment Data...

OK Cancel



Auto Hinge Assignment Data

Auto Hinge Type
From Tables In ASCE 41-13

Select a Hinge Table
Table 9-6 (Steel Beams - Flexure)

Degree of Freedom
☐ M2
☒ M3

Deformation Controlled Hinge Load Carrying Capacity
☒ Drops Load After Point E
☐ Is Extrapolated After Point E

OK Cancel

اختصاص مفصل پلاستیک اتوماتیک تیرها

Frame Assignment - Hinges

Frame Hinge Assignment Data

Hinge Property	Relative Distance
Auto	0.05
Auto P-M2-M3	0.05
Auto P-M2-M3	0.95

Add
Modify
Delete

Auto Hinge Assignment Data

Type: From Tables In ASCE 41-13
Table: Table 9-6 (Steel Columns - Flexure)
DOF: P-M2-M3

Modify/Show Auto Hinge Assignment Data...

OK Cancel

Auto Hinge Assignment Data

Auto Hinge Type

From Tables In ASCE 41-13

Select a Hinge Table

Table 9-6 (Steel Columns - Flexure)

Degree of Freedom

☐ M2
 ☐ P-M2
 ☐ Parametric P-M2-M3
 ☐ M3
 ☐ P-M3
 ☒ M2-M3
 ☒ P-M2-M3

Deformation Controlled Hinge Load Carrying Capacity

☒ Drops Load After Point E
 ☐ Is Extrapolated After Point E

Force Controlled Hinge Load Carrying Capacity

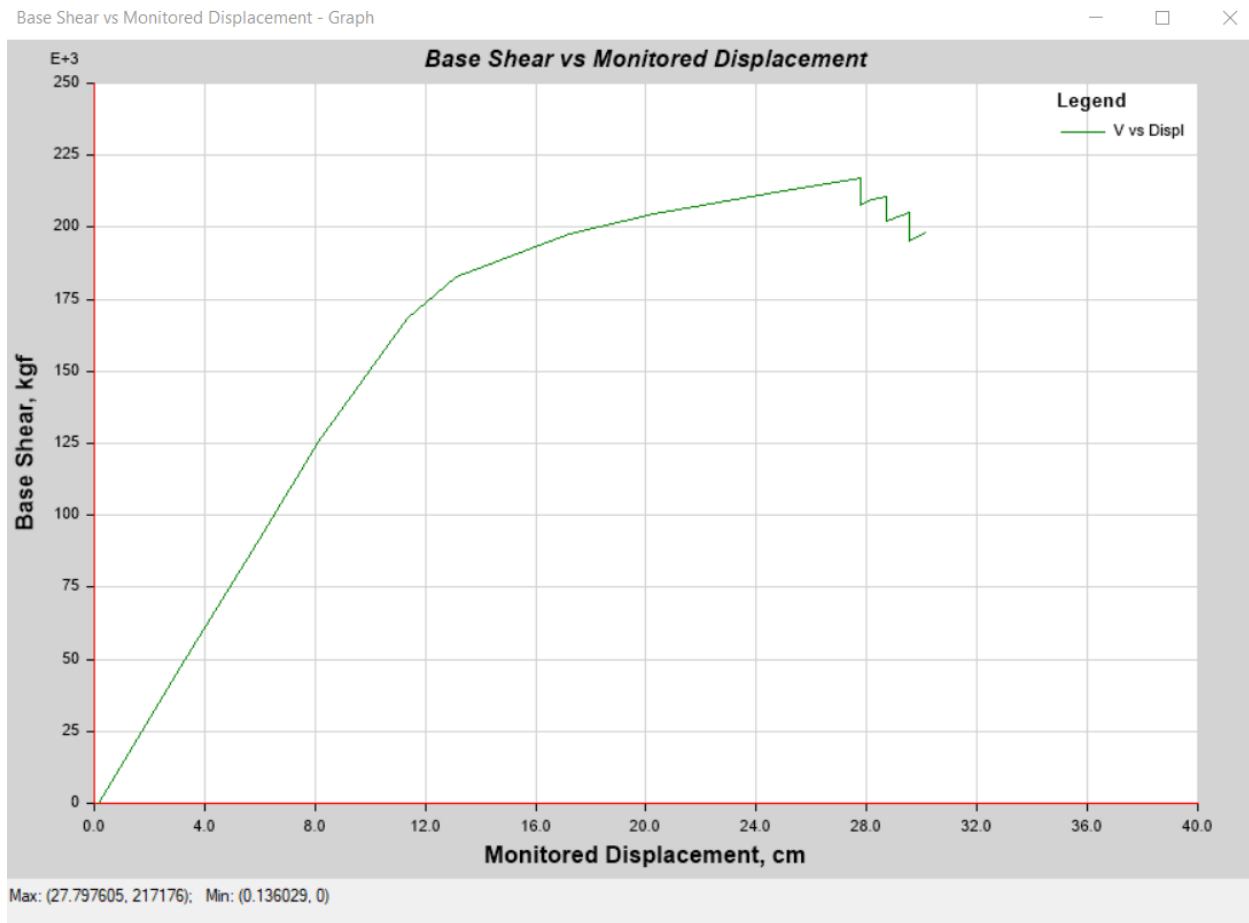
☐ Hinge Drops Load When Max Force Is Reached

OK Cancel

اختصاص مفصل پلاستیک اتوماتیک ستون‌ها

تحليل سازه و نتايج

➤ نمودار پوش سازه



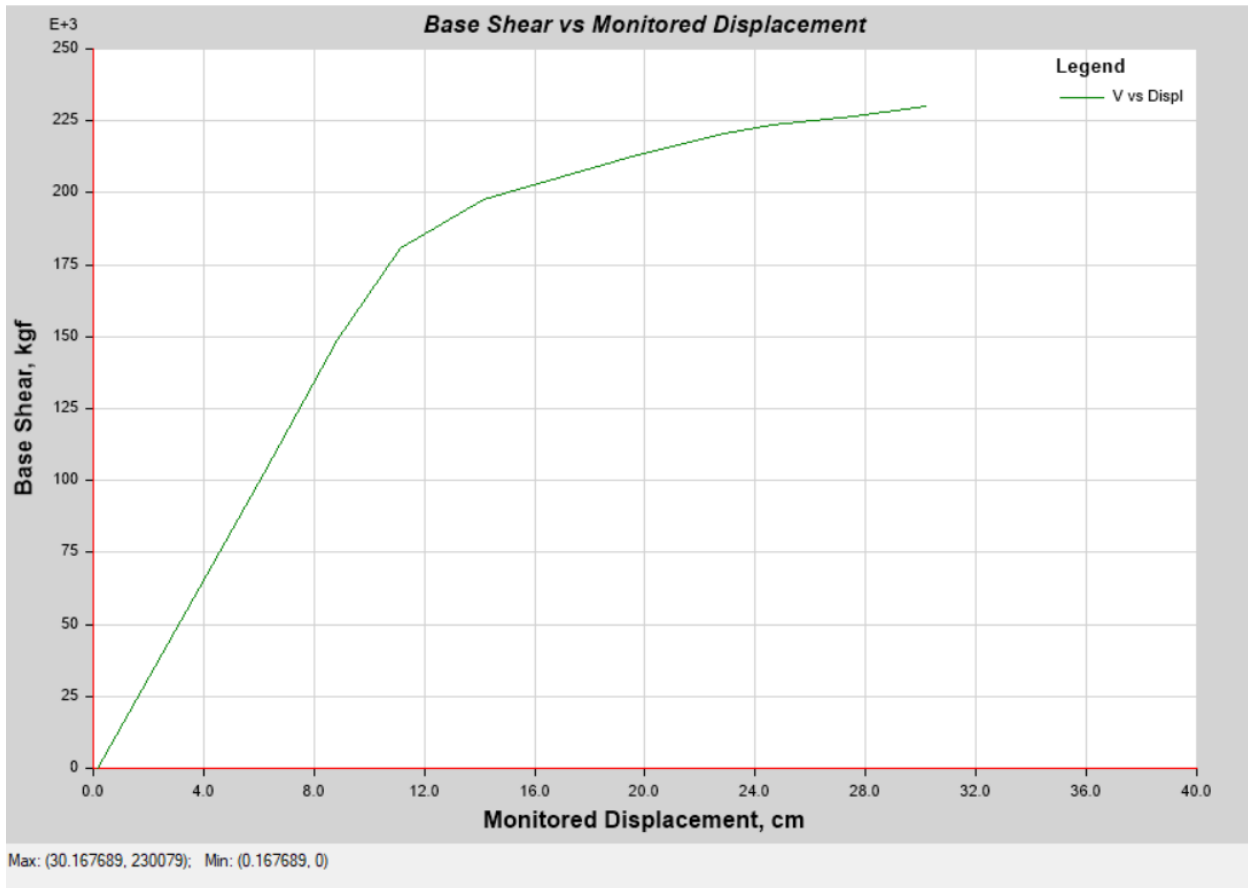
نمودار پوش UX-G1

Base Shear vs Monitored Displacement - Graph



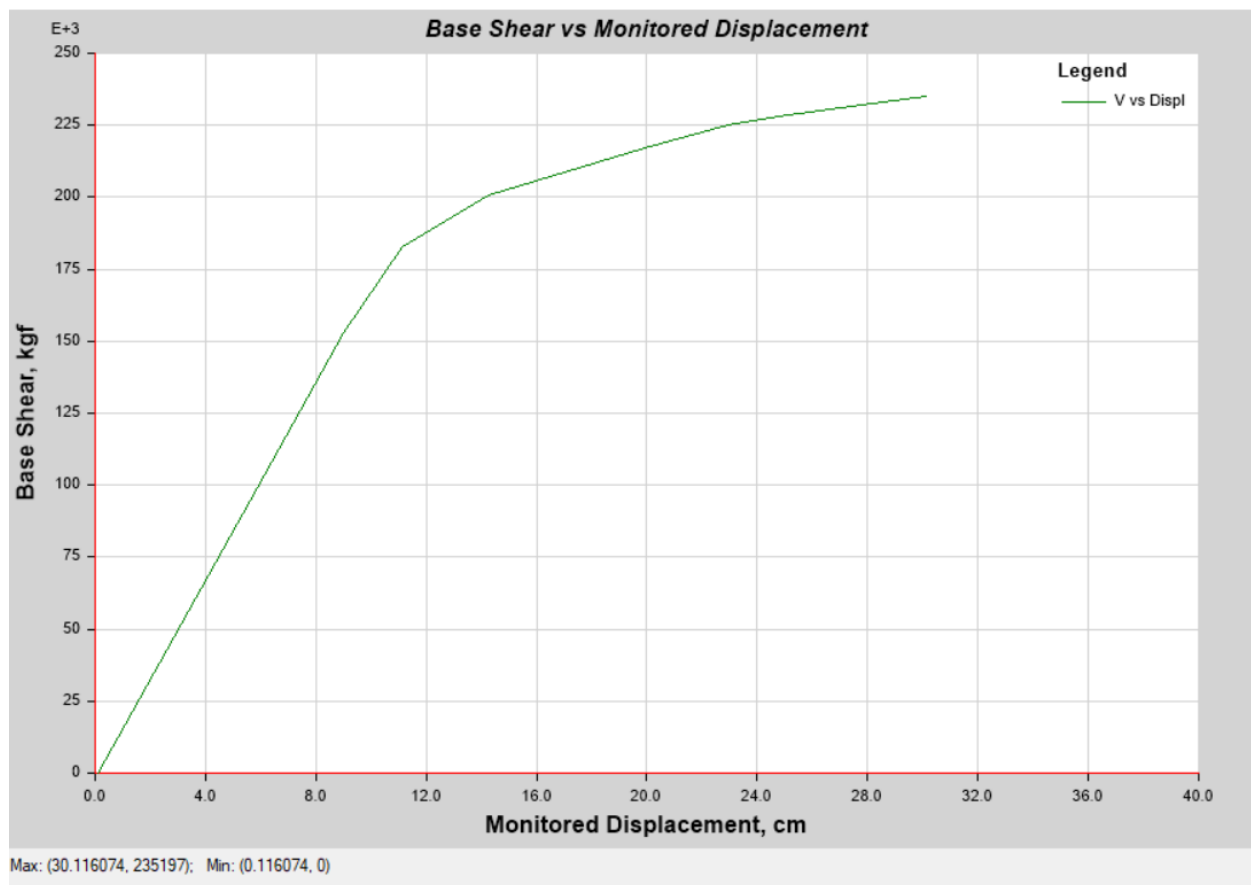
نمودار پوش UX-G2

Base Shear vs Monitored Displacement - Graph



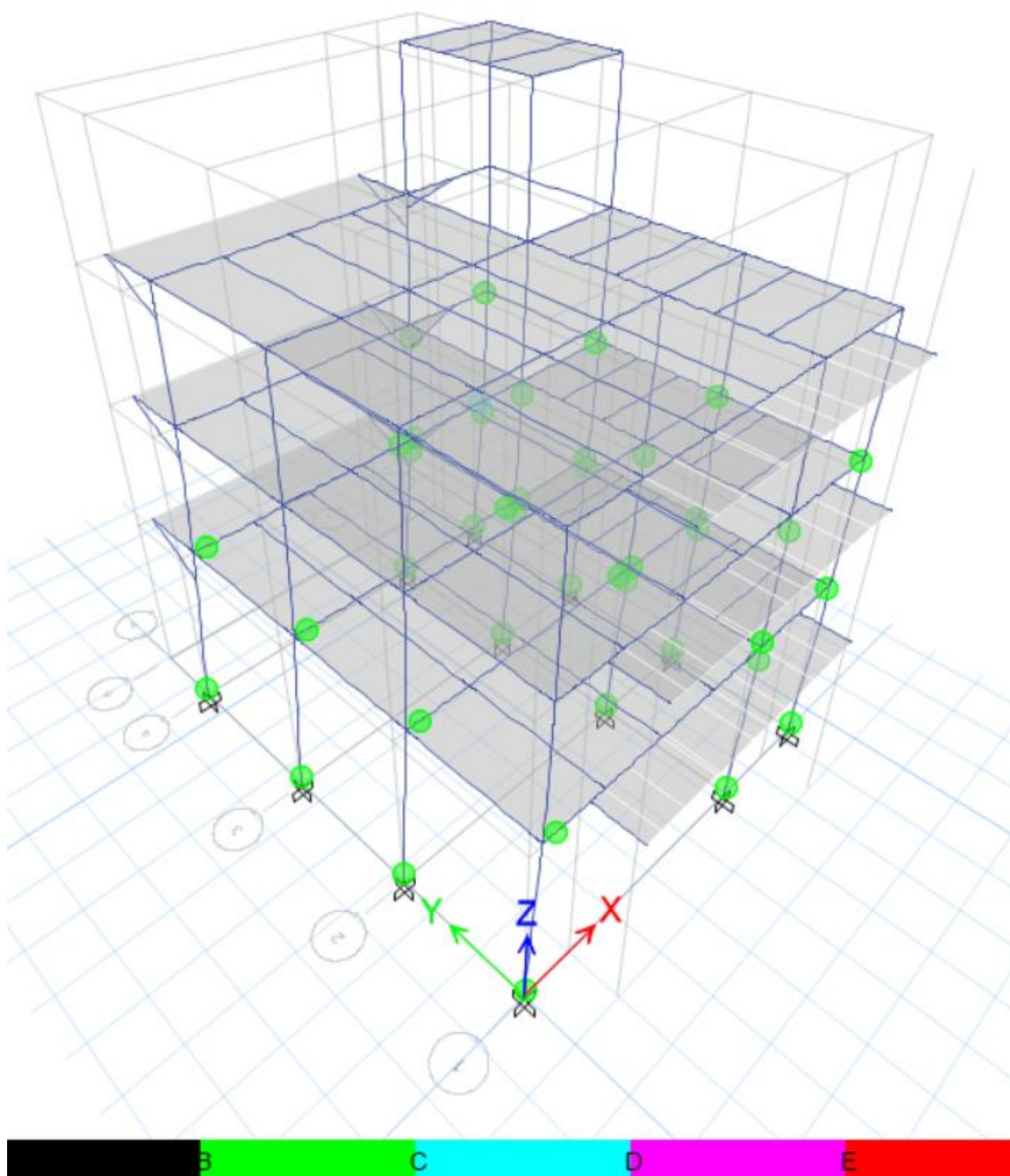
نمودار پوش UY-G1

Base Shear vs Monitored Displacement - Graph



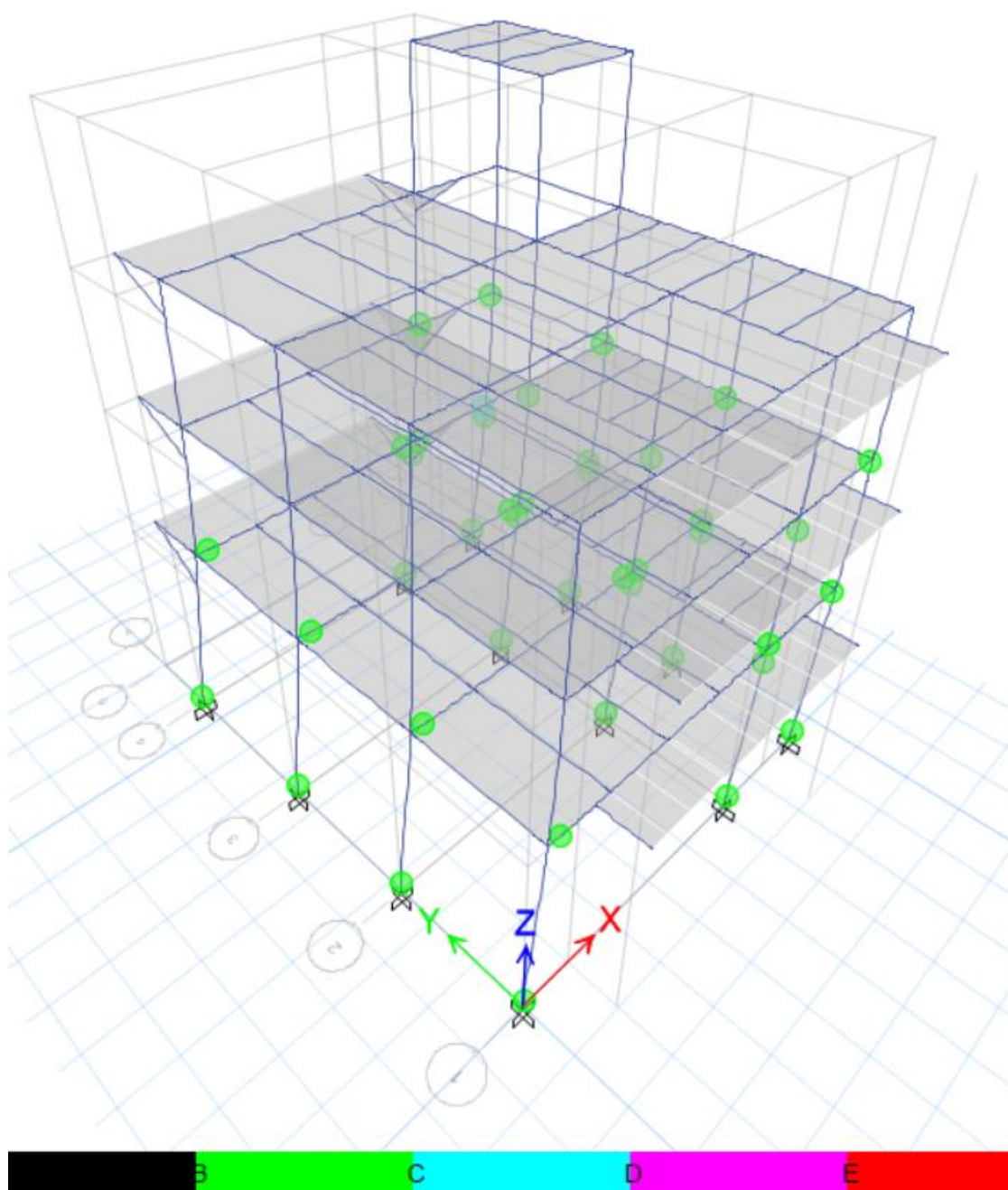
نمودار پوش UY-G2

➤ مفاصل پلاستیک تشکیل شده



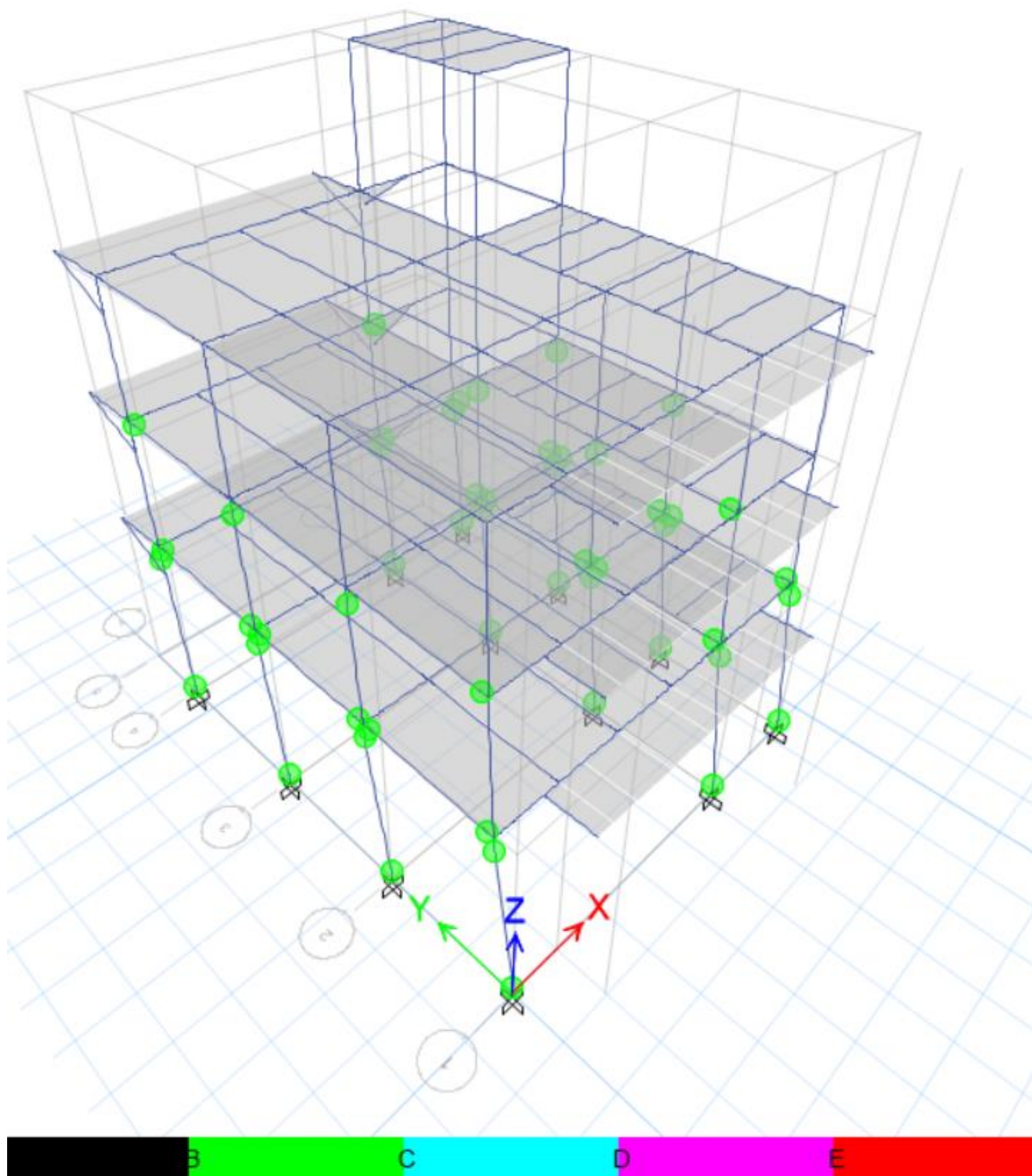
مفاصل پلاستیک تشکیل شده تحت الگوی بار UX-G1

➤ مشاهده می شود مقاطع از سطح عملکرد IO و LS فراتر نرفته و سازه تحت این الگوی بار نیاز به مقاومسازی نخواهد داشت.



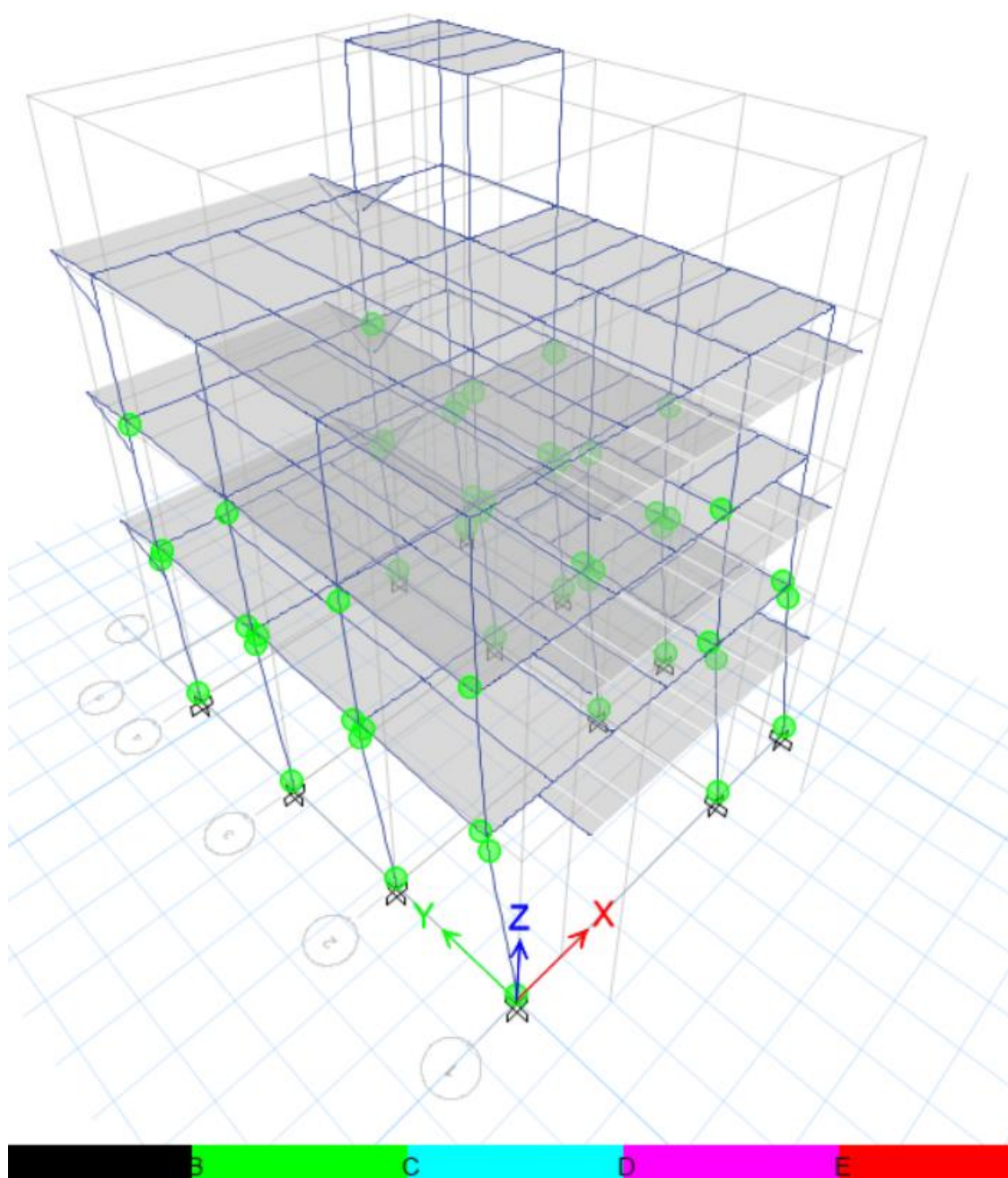
مفاصل پلاستیک تشکیل شده تحت الگوی بار UX-G2

➤ مشاهده می شود مقاطع از سطح عملکرد IO و LS فراتر نرفته و سازه تحت این الگوی بار نیاز به مقاومسازی نخواهد داشت.



مفاصل پلاستیک تشکیل شده تحت الگوی بار UY-G1

➤ مشاهده می شود مقاطع از سطح عملکرد IO و LS فراتر نرفته و سازه تحت این الگوی بار نیاز به مقاومسازی نخواهد داشت.



مفاصل پلاستیک تشکیل شده تحت الگوی بار UY-G2

➤ مشاهده می شود مقاطع از سطح عملکرد IO و LS فراتر نرفته و سازه تحت این الگوی بار نیاز به مقاومسازی نخواهد داشت.

معیار پذیرش - تیرها

Story1									
TABLE: Beam Forces									
Story	Beam	Load Case/Combo	V2	M3	ظرفیت برشی ۲	ظرفیت خمشی ۳			
			tonf	tonf-m	tonf	tonf-m	K	m	معیار پذیرش
Story1	B1	UDStIS32 Max	-33.2081	-52.4309	69.12	23.686	1	6	0.36893031
Story1	B1	UDStIS32 Max	-32.974	-48.3276	69.12	23.686	1	6	0.340057418
Story1	B1	UDStIS32 Max	-32.974	-48.3276	69.12	23.686	1	6	0.340057418
Story1	B1	UDStIS32 Max	-32.857	-46.2869	69.12	23.686	1	6	0.325698021
Story1	B1	UDStIS32 Max	-32.857	-46.2869	69.12	23.686	1	6	0.325698021
Story1	B1	UDStIS32 Max	-31.8272	-28.641	69.12	23.686	1	6	0.201532551
Story1	B1	UDStIS32 Max	-30.7975	-11.557	69.12	23.686	1	6	0.081320893
Story1	B1	UDStIS32 Max	-29.7677	5.5518	69.12	23.686	1	6	0.039065271
Story1	B1	UDStIS32 Max	-28.7379	23.8544	69.12	23.686	1	6	0.167851614
Story1	B1	UDStIS32 Max	-27.7082	41.5952	69.12	23.686	1	6	0.292684849
Story1	B1	UDStIS32 Max	-27.7082	41.5952	69.12	23.686	1	6	0.292684849
Story1	B1	UDStIS32 Max	-27.5911	43.5757	69.12	23.686	1	6	0.306620648
Story1	B1	UDStIS32 Max	-27.5911	43.5757	69.12	23.686	1	6	0.306620648
Story1	B1	UDStIS32 Max	-27.3571	47.5148	69.12	23.686	1	6	0.334338146
Story1	B1	UDStIS32 Min	-37.5011	-59.6697	69.12	23.686	1	6	0.419866166
Story1	B1	UDStIS32 Min	-37.2671	-55.034	69.12	23.686	1	6	0.387247038
Story1	B1	UDStIS32 Min	-37.2671	-55.034	69.12	23.686	1	6	0.387247038
Story1	B1	UDStIS32 Min	-37.15	-52.7271	69.12	23.686	1	6	0.371014523
Story1	B1	UDStIS32 Min	-37.15	-52.7271	69.12	23.686	1	6	0.371014523
Story1	B1	UDStIS32 Min	-36.1203	-32.739	69.12	23.686	1	6	0.23036815
Story1	B1	UDStIS32 Min	-35.0905	-13.3127	69.12	23.686	1	6	0.093674885
Story1	B1	UDStIS32 Min	-34.0607	4.9652	69.12	23.686	1	6	0.034937657
Story1	B1	UDStIS32 Min	-33.031	20.9255	69.12	23.686	1	6	0.147242394
Story1	B1	UDStIS32 Min	-32.0012	36.324	69.12	23.686	1	6	0.255594022
Story1	B1	UDStIS32 Min	-32.0012	36.324	69.12	23.686	1	6	0.255594022
Story1	B1	UDStIS32 Min	-31.8842	38.0383	69.12	23.686	1	6	0.267656703
Story1	B1	UDStIS32 Min	-31.8842	38.0383	69.12	23.686	1	6	0.267656703
Story1	B1	UDStIS32 Min	-31.6501	41.4451	69.12	23.686	1	6	0.29162867
Story1	B2	UDStIS32 Max	-27.438	-39.7243	69.12	23.686	1	6	0.279520251
Story1	B2	UDStIS32 Max	-27.2009	-36.293	69.12	23.686	1	6	0.25537589
Story1	B2	UDStIS32 Max	-27.201	-36.293	69.12	23.686	1	6	0.25537589
Story1	B2	UDStIS32 Max	-27.0824	-34.5885	69.12	23.686	1	6	0.243382167
Story1	B2	UDStIS32 Max	-27.0824	-34.5885	69.12	23.686	1	6	0.243382167
Story1	B2	UDStIS32 Max	-26.0394	-19.9099	69.12	23.686	1	6	0.140096119
Story1	B2	UDStIS32 Max	-24.9963	-5.8077	69.12	23.686	1	6	0.040865912
Story1	B2	UDStIS32 Max	-23.9533	8.6937	69.12	23.686	1	6	0.061173267
Story1	B2	UDStIS32 Max	-22.9102	23.5353	69.12	23.686	1	6	0.165606265
Story1	B2	UDStIS32 Max	-21.8671	37.8005	69.12	23.686	1	6	0.265983422
Story1	B2	UDStIS32 Max	-21.8671	37.8005	69.12	23.686	1	6	0.265983422
Story1	B2	UDStIS32 Max	-21.7486	39.385	69.12	23.686	1	6	0.277132765
Story1	B2	UDStIS32 Max	-21.7486	39.385	69.12	23.686	1	6	0.277132765
Story1	B2	UDStIS32 Max	-21.5116	42.5318	69.12	23.686	1	6	0.29927524

Story1	B2	UDStIS32 Min	-30.8621	-45.0707	69.12	23.686	1	6	0.317140223
Story1	B2	UDStIS32 Min	-30.6251	-41.2093	69.12	23.686	1	6	0.289969462
Story1	B2	UDStIS32 Min	-30.6251	-41.2093	69.12	23.686	1	6	0.289969462
Story1	B2	UDStIS32 Min	-30.5065	-39.2898	69.12	23.686	1	6	0.276462889
Story1	B2	UDStIS32 Min	-30.5065	-39.2898	69.12	23.686	1	6	0.276462889
Story1	B2	UDStIS32 Min	-29.4635	-22.7188	69.12	23.686	1	6	0.159860959
Story1	B2	UDStIS32 Min	-28.4204	-6.7244	69.12	23.686	1	6	0.047316277
Story1	B2	UDStIS32 Min	-27.3774	7.7181	69.12	23.686	1	6	0.054308452
Story1	B2	UDStIS32 Min	-26.3343	20.6674	69.12	23.686	1	6	0.145426271
Story1	B2	UDStIS32 Min	-25.2913	33.0403	69.12	23.686	1	6	0.232488249
Story1	B2	UDStIS32 Min	-25.2913	33.0403	69.12	23.686	1	6	0.232488249
Story1	B2	UDStIS32 Min	-25.1727	34.4098	69.12	23.686	1	6	0.242124743
Story1	B2	UDStIS32 Min	-25.1727	34.4098	69.12	23.686	1	6	0.242124743
Story1	B2	UDStIS32 Min	-24.9357	37.1265	69.12	23.686	1	6	0.261240817
Story1	B3	UDStIS32 Max	-29.4038	-43.118	69.12	23.686	1	6	0.303400039
Story1	B3	UDStIS32 Max	-29.1434	-39.0783	69.12	23.686	1	6	0.274974669
Story1	B3	UDStIS32 Max	-29.1434	-39.0783	69.12	23.686	1	6	0.274974669
Story1	B3	UDStIS32 Max	-29.0131	-37.0719	69.12	23.686	1	6	0.260856624
Story1	B3	UDStIS32 Max	-29.0131	-37.0719	69.12	23.686	1	6	0.260856624
Story1	B3	UDStIS32 Max	-27.8671	-19.803	69.12	23.686	1	6	0.139343916
Story1	B3	UDStIS32 Max	-26.7211	-3.2301	69.12	23.686	1	6	0.022728616
Story1	B3	UDStIS32 Max	-25.575	14.333	69.12	23.686	1	6	0.100854232
Story1	B3	UDStIS32 Max	-24.429	31.7688	69.12	23.686	1	6	0.223541332
Story1	B3	UDStIS32 Max	-23.283	48.5087	69.12	23.686	1	6	0.341331729
Story1	B3	UDStIS32 Max	-23.283	48.5087	69.12	23.686	1	6	0.341331729
Story1	B3	UDStIS32 Max	-23.1527	50.3669	69.12	23.686	1	6	0.354406963
Story1	B3	UDStIS32 Max	-23.1527	50.3669	69.12	23.686	1	6	0.354406963
Story1	B3	UDStIS32 Max	-22.8923	54.0564	69.12	23.686	1	6	0.38036815
Story1	B3	UDStIS32 Min	-33.1168	-48.9643	69.12	23.686	1	6	0.344537561
Story1	B3	UDStIS32 Min	-32.8564	-44.4121	69.12	23.686	1	6	0.312505981
Story1	B3	UDStIS32 Min	-32.8564	-44.4121	69.12	23.686	1	6	0.312505981
Story1	B3	UDStIS32 Min	-32.7261	-42.1495	69.12	23.686	1	6	0.296585184
Story1	B3	UDStIS32 Min	-32.7261	-42.1495	69.12	23.686	1	6	0.296585184
Story1	B3	UDStIS32 Min	-31.5801	-22.6261	69.12	23.686	1	6	0.159208675
Story1	B3	UDStIS32 Min	-30.4341	-3.7986	69.12	23.686	1	6	0.026728869
Story1	B3	UDStIS32 Min	-29.288	12.647	69.12	23.686	1	6	0.088990684
Story1	B3	UDStIS32 Min	-28.142	27.8282	69.12	23.686	1	6	0.195813279
Story1	B3	UDStIS32 Min	-26.996	42.3136	69.12	23.686	1	6	0.297739874
Story1	B3	UDStIS32 Min	-26.996	42.3136	69.12	23.686	1	6	0.297739874
Story1	B3	UDStIS32 Min	-26.8657	43.9156	69.12	23.686	1	6	0.309012356
Story1	B3	UDStIS32 Min	-26.8657	43.9156	69.12	23.686	1	6	0.309012356
Story1	B3	UDStIS32 Min	-26.6053	47.0927	69.12	23.686	1	6	0.331368037
Story1	B4	UDStIS32 Max	-31.8438	-50.0927	69.12	23.686	1	6	0.352477554
Story1	B4	UDStIS32 Max	-31.7262	-46.1514	69.12	23.686	1	6	0.324744575
Story1	B4	UDStIS32 Max	-31.7262	-46.1514	69.12	23.686	1	6	0.324744575
Story1	B4	UDStIS32 Max	-31.6674	-44.1862	69.12	23.686	1	6	0.310916434
Story1	B4	UDStIS32 Max	-31.6674	-44.1862	69.12	23.686	1	6	0.310916434
Story1	B4	UDStIS32 Max	-31.2854	-31.5064	69.12	23.686	1	6	0.221694953
Story1	B4	UDStIS32 Max	-30.9034	-18.9806	69.12	23.686	1	6	0.133557094

Story1	B4	UDStIS32 Max	-29.2992	-18.9806	69.12	23.686	1	6	0.133557094
Story1	B4	UDStIS32 Max	-28.7697	-2.7697	69.12	23.686	1	6	0.019489009
Story1	B4	UDStIS32 Max	-28.2402	13.5632	69.12	23.686	1	6	0.09543753
Story1	B4	UDStIS32 Max	-26.6365	13.5633	69.12	23.686	1	6	0.095438234
Story1	B4	UDStIS32 Max	-26.2545	24.5982	69.12	23.686	1	6	0.173085367
Story1	B4	UDStIS32 Max	-25.8725	35.4793	69.12	23.686	1	6	0.249650286
Story1	B4	UDStIS32 Max	-25.8725	35.4793	69.12	23.686	1	6	0.249650286
Story1	B4	UDStIS32 Max	-25.8137	37.1403	69.12	23.686	1	6	0.261337921
Story1	B4	UDStIS32 Max	-25.8137	37.1403	69.12	23.686	1	6	0.261337921
Story1	B4	UDStIS32 Max	-25.6961	40.4514	69.12	23.686	1	6	0.284636494
Story1	B4	UDStIS32 Min	-32.7939	-51.6768	69.12	23.686	1	6	0.363624082
Story1	B4	UDStIS32 Min	-32.6763	-47.6177	69.12	23.686	1	6	0.335062203
Story1	B4	UDStIS32 Min	-32.6763	-47.6176	69.12	23.686	1	6	0.335061499
Story1	B4	UDStIS32 Min	-32.6175	-45.5935	69.12	23.686	1	6	0.320818908
Story1	B4	UDStIS32 Min	-32.6175	-45.5935	69.12	23.686	1	6	0.320818908
Story1	B4	UDStIS32 Min	-32.2355	-32.5311	69.12	23.686	1	6	0.22890526
Story1	B4	UDStIS32 Min	-31.8535	-19.6225	69.12	23.686	1	6	0.138073827
Story1	B4	UDStIS32 Min	-30.248	-19.6225	69.12	23.686	1	6	0.138073827
Story1	B4	UDStIS32 Min	-29.7185	-2.8818	69.12	23.686	1	6	0.020277801
Story1	B4	UDStIS32 Min	-29.189	13.1456	69.12	23.686	1	6	0.092499085
Story1	B4	UDStIS32 Min	-27.5844	13.1456	69.12	23.686	1	6	0.092499085
Story1	B4	UDStIS32 Min	-27.2023	23.7988	69.12	23.686	1	6	0.167460384
Story1	B4	UDStIS32 Min	-26.8203	34.298	69.12	23.686	1	6	0.241338062
Story1	B4	UDStIS32 Min	-26.8203	34.298	69.12	23.686	1	6	0.241338062
Story1	B4	UDStIS32 Min	-26.7615	35.9003	69.12	23.686	1	6	0.252612654
Story1	B4	UDStIS32 Min	-26.7615	35.9003	69.12	23.686	1	6	0.252612654
Story1	B4	UDStIS32 Min	-26.6439	39.0939	69.12	23.686	1	6	0.275084438
Story1	B5	UDStIS32 Max	-27.0203	-39.1838	69.12	23.686	1	6	0.27571702
Story1	B5	UDStIS32 Max	-26.9012	-35.7976	69.12	23.686	1	6	0.251890005
Story1	B5	UDStIS32 Max	-26.9012	-35.7976	69.12	23.686	1	6	0.251890005
Story1	B5	UDStIS32 Max	-26.8416	-34.11	69.12	23.686	1	6	0.240015199
Story1	B5	UDStIS32 Max	-26.8416	-34.11	69.12	23.686	1	6	0.240015199
Story1	B5	UDStIS32 Max	-26.4544	-23.2297	69.12	23.686	1	6	0.163455909
Story1	B5	UDStIS32 Max	-26.0672	-12.5074	69.12	23.686	1	6	0.088008388
Story1	B5	UDStIS32 Max	-24.4439	-12.5074	69.12	23.686	1	6	0.088008388
Story1	B5	UDStIS32 Max	-23.9081	1.155	69.12	23.686	1	6	0.008127164
Story1	B5	UDStIS32 Max	-23.3723	14.9569	69.12	23.686	1	6	0.105244307
Story1	B5	UDStIS32 Max	-21.7479	14.9569	69.12	23.686	1	6	0.105244307
Story1	B5	UDStIS32 Max	-21.3607	24.0794	69.12	23.686	1	6	0.169434828
Story1	B5	UDStIS32 Max	-20.9735	33.0439	69.12	23.686	1	6	0.23251358
Story1	B5	UDStIS32 Max	-20.9735	33.0439	69.12	23.686	1	6	0.23251358
Story1	B5	UDStIS32 Max	-20.9139	34.4087	69.12	23.686	1	6	0.242117003
Story1	B5	UDStIS32 Max	-20.9139	34.4087	69.12	23.686	1	6	0.242117003
Story1	B5	UDStIS32 Max	-20.7948	37.127	69.12	23.686	1	6	0.261244336
Story1	B5	UDStIS32 Min	-27.8086	-40.4184	69.12	23.686	1	6	0.284404289
Story1	B5	UDStIS32 Min	-27.6895	-36.9331	69.12	23.686	1	6	0.259879957
Story1	B5	UDStIS32 Min	-27.6895	-36.9331	69.12	23.686	1	6	0.259879957
Story1	B5	UDStIS32 Min	-27.63	-35.1961	69.12	23.686	1	6	0.247657547
Story1	B5	UDStIS32 Min	-27.63	-35.1961	69.12	23.686	1	6	0.247657547

Story1	B5	UDStIS32 Min	-27.2428	-23.9938	69.12	23.686	1	6	0.168832503
Story1	B5	UDStIS32 Min	-26.8556	-12.9497	69.12	23.686	1	6	0.091120634
Story1	B5	UDStIS32 Min	-25.2319	-12.9497	69.12	23.686	1	6	0.091120634
Story1	B5	UDStIS32 Min	-24.6961	1.1521	69.12	23.686	1	6	0.008106758
Story1	B5	UDStIS32 Min	-24.1602	14.5088	69.12	23.686	1	6	0.102091249
Story1	B5	UDStIS32 Min	-22.5364	14.5087	69.12	23.686	1	6	0.102090546
Story1	B5	UDStIS32 Min	-22.1492	23.3094	69.12	23.686	1	6	0.164016719
Story1	B5	UDStIS32 Min	-21.762	31.9519	69.12	23.686	1	6	0.224829717
Story1	B5	UDStIS32 Min	-21.7619	31.9519	69.12	23.686	1	6	0.224829717
Story1	B5	UDStIS32 Min	-21.7024	33.2672	69.12	23.686	1	6	0.234084832
Story1	B5	UDStIS32 Min	-21.7024	33.2672	69.12	23.686	1	6	0.234084832
Story1	B5	UDStIS32 Min	-21.5833	35.8865	69.12	23.686	1	6	0.252515551
Story1	B6	UDStIS32 Max	-28.3369	-41.5798	69.12	23.686	1	6	0.292576487
Story1	B6	UDStIS32 Max	-28.0765	-37.6872	69.12	23.686	1	6	0.265186186
Story1	B6	UDStIS32 Max	-28.0765	-37.6872	69.12	23.686	1	6	0.265186186
Story1	B6	UDStIS32 Max	-27.9462	-35.7544	69.12	23.686	1	6	0.251586028
Story1	B6	UDStIS32 Max	-27.9462	-35.7544	69.12	23.686	1	6	0.251586028
Story1	B6	UDStIS32 Max	-26.8002	-19.1334	69.12	23.686	1	6	0.134632272
Story1	B6	UDStIS32 Max	-25.6542	-3.2083	69.12	23.686	1	6	0.02257522
Story1	B6	UDStIS32 Max	-24.5081	12.4087	69.12	23.686	1	6	0.087313884
Story1	B6	UDStIS32 Max	-23.3621	27.4588	69.12	23.686	1	6	0.193213994
Story1	B6	UDStIS32 Max	-22.2161	41.813	69.12	23.686	1	6	0.2942174
Story1	B6	UDStIS32 Max	-22.2161	41.813	69.12	23.686	1	6	0.2942174
Story1	B6	UDStIS32 Max	-22.0858	43.4002	69.12	23.686	1	6	0.305385741
Story1	B6	UDStIS32 Max	-22.0858	43.4002	69.12	23.686	1	6	0.305385741
Story1	B6	UDStIS32 Max	-21.8254	46.5475	69.12	23.686	1	6	0.327531735
Story1	B6	UDStIS32 Min	-29.1879	-42.9184	69.12	23.686	1	6	0.301995553
Story1	B6	UDStIS32 Min	-28.9274	-38.9084	69.12	23.686	1	6	0.273779166
Story1	B6	UDStIS32 Min	-28.9274	-38.9084	69.12	23.686	1	6	0.273779166
Story1	B6	UDStIS32 Min	-28.7972	-36.9169	69.12	23.686	1	6	0.259765966
Story1	B6	UDStIS32 Min	-28.7972	-36.9169	69.12	23.686	1	6	0.259765966
Story1	B6	UDStIS32 Min	-27.6512	-19.7792	69.12	23.686	1	6	0.139176447
Story1	B6	UDStIS32 Min	-26.5051	-3.3373	69.12	23.686	1	6	0.023482929
Story1	B6	UDStIS32 Min	-25.3591	12.021	69.12	23.686	1	6	0.084585831
Story1	B6	UDStIS32 Min	-24.2131	26.5544	69.12	23.686	1	6	0.186850179
Story1	B6	UDStIS32 Min	-23.067	40.3919	69.12	23.686	1	6	0.284217822
Story1	B6	UDStIS32 Min	-23.067	40.3919	69.12	23.686	1	6	0.284217822
Story1	B6	UDStIS32 Min	-22.9368	41.9203	69.12	23.686	1	6	0.294972417
Story1	B6	UDStIS32 Min	-22.9368	41.9203	69.12	23.686	1	6	0.294972417
Story1	B6	UDStIS32 Min	-22.6763	44.9502	69.12	23.686	1	6	0.316292325
Story1	B7	UDStIS32 Max	-30.2667	-47.3363	69.12	23.686	1	6	0.33308213
Story1	B7	UDStIS32 Max	-30.1402	-43.5911	69.12	23.686	1	6	0.30672901
Story1	B7	UDStIS32 Max	-30.1402	-43.5911	69.12	23.686	1	6	0.30672901
Story1	B7	UDStIS32 Max	-30.0769	-41.7243	69.12	23.686	1	6	0.293593262
Story1	B7	UDStIS32 Max	-30.077	-41.7243	69.12	23.686	1	6	0.293593262
Story1	B7	UDStIS32 Max	-29.666	-29.6911	69.12	23.686	1	6	0.208921585
Story1	B7	UDStIS32 Max	-29.255	-17.8234	69.12	23.686	1	6	0.12541445
Story1	B7	UDStIS32 Max	-27.6398	-17.8234	69.12	23.686	1	6	0.12541445
Story1	B7	UDStIS32 Max	-27.0703	-2.5502	69.12	23.686	1	6	0.017944496

Story1	B7	UDStIS32 Max	-26.5007	13.784	69.12	23.686	1	6	0.09699119
Story1	B7	UDStIS32 Max	-24.885	13.784	69.12	23.686	1	6	0.09699119
Story1	B7	UDStIS32 Max	-24.4741	25.0409	69.12	23.686	1	6	0.176200428
Story1	B7	UDStIS32 Max	-24.0631	36.1323	69.12	23.686	1	6	0.254245124
Story1	B7	UDStIS32 Max	-24.0631	36.1323	69.12	23.686	1	6	0.254245124
Story1	B7	UDStIS32 Max	-23.9998	37.8247	69.12	23.686	1	6	0.266153705
Story1	B7	UDStIS32 Max	-23.9998	37.8247	69.12	23.686	1	6	0.266153705
Story1	B7	UDStIS32 Max	-23.8733	41.1977	69.12	23.686	1	6	0.289887838
Story1	B7	UDStIS32 Min	-33.5292	-52.8372	69.12	23.686	1	6	0.371789243
Story1	B7	UDStIS32 Min	-33.4027	-48.6874	69.12	23.686	1	6	0.342589153
Story1	B7	UDStIS32 Min	-33.4027	-48.6874	69.12	23.686	1	6	0.342589153
Story1	B7	UDStIS32 Min	-33.3395	-46.6184	69.12	23.686	1	6	0.328030623
Story1	B7	UDStIS32 Min	-33.3395	-46.6184	69.12	23.686	1	6	0.328030623
Story1	B7	UDStIS32 Min	-32.9285	-33.2709	69.12	23.686	1	6	0.234110867
Story1	B7	UDStIS32 Min	-32.5176	-20.089	69.12	23.686	1	6	0.141356357
Story1	B7	UDStIS32 Min	-30.9037	-20.089	69.12	23.686	1	6	0.141356357
Story1	B7	UDStIS32 Min	-30.3341	-2.9935	69.12	23.686	1	6	0.021063779
Story1	B7	UDStIS32 Min	-29.7645	12.405	69.12	23.686	1	6	0.087287849
Story1	B7	UDStIS32 Min	-28.1499	12.405	69.12	23.686	1	6	0.087287849
Story1	B7	UDStIS32 Min	-27.7389	22.3468	69.12	23.686	1	6	0.157243379
Story1	B7	UDStIS32 Min	-27.3279	32.1229	69.12	23.686	1	6	0.226032959
Story1	B7	UDStIS32 Min	-27.3279	32.1229	69.12	23.686	1	6	0.226032959
Story1	B7	UDStIS32 Min	-27.2647	33.6129	69.12	23.686	1	6	0.236517352
Story1	B7	UDStIS32 Min	-27.2647	33.6129	69.12	23.686	1	6	0.236517352
Story1	B7	UDStIS32 Min	-27.1382	36.581	69.12	23.686	1	6	0.257402404
Story1	B8	UDStIS32 Max	-25.2071	-36.1027	69.12	23.686	1	6	0.254036843
Story1	B8	UDStIS32 Max	-25.079	-32.9447	69.12	23.686	1	6	0.231815559
Story1	B8	UDStIS32 Max	-25.079	-32.9447	69.12	23.686	1	6	0.231815559
Story1	B8	UDStIS32 Max	-25.0149	-31.3718	69.12	23.686	1	6	0.22074784
Story1	B8	UDStIS32 Max	-25.0149	-31.3718	69.12	23.686	1	6	0.22074784
Story1	B8	UDStIS32 Max	-24.5984	-21.2432	69.12	23.686	1	6	0.149477891
Story1	B8	UDStIS32 Max	-24.1818	-11.2847	69.12	23.686	1	6	0.079404852
Story1	B8	UDStIS32 Max	-22.5479	-11.2847	69.12	23.686	1	6	0.079404852
Story1	B8	UDStIS32 Max	-21.9715	1.317	69.12	23.686	1	6	0.009267078
Story1	B8	UDStIS32 Max	-21.3951	15.0398	69.12	23.686	1	6	0.105827634
Story1	B8	UDStIS32 Max	-19.7623	15.0399	69.12	23.686	1	6	0.105828337
Story1	B8	UDStIS32 Max	-19.3457	24.0871	69.12	23.686	1	6	0.169489009
Story1	B8	UDStIS32 Max	-18.9292	32.9644	69.12	23.686	1	6	0.231954178
Story1	B8	UDStIS32 Max	-18.9292	32.9644	69.12	23.686	1	6	0.231954178
Story1	B8	UDStIS32 Max	-18.8651	34.3147	69.12	23.686	1	6	0.241455572
Story1	B8	UDStIS32 Max	-18.8651	34.3147	69.12	23.686	1	6	0.241455572
Story1	B8	UDStIS32 Max	-18.737	37.0032	69.12	23.686	1	6	0.260373216
Story1	B8	UDStIS32 Min	-27.8116	-40.167	69.12	23.686	1	6	0.282635312
Story1	B8	UDStIS32 Min	-27.6835	-36.6819	69.12	23.686	1	6	0.258112387
Story1	B8	UDStIS32 Min	-27.6835	-36.6819	69.12	23.686	1	6	0.258112387
Story1	B8	UDStIS32 Min	-27.6194	-34.9454	69.12	23.686	1	6	0.245893495
Story1	B8	UDStIS32 Min	-27.6194	-34.9454	69.12	23.686	1	6	0.245893495
Story1	B8	UDStIS32 Min	-27.2029	-23.7534	69.12	23.686	1	6	0.167140927
Story1	B8	UDStIS32 Min	-26.7864	-12.7315	69.12	23.686	1	6	0.089585268

Story1	B8	UDStIS32 Min	-25.1528	-12.7315	69.12	23.686	1	6	0.089585268
Story1	B8	UDStIS32 Min	-24.5764	1.292	69.12	23.686	1	6	0.009091165
Story1	B8	UDStIS32 Min	-24	13.5431	69.12	23.686	1	6	0.095296096
Story1	B8	UDStIS32 Min	-22.3667	13.5431	69.12	23.686	1	6	0.095296096
Story1	B8	UDStIS32 Min	-21.9502	21.527	69.12	23.686	1	6	0.151474852
Story1	B8	UDStIS32 Min	-21.5336	29.3409	69.12	23.686	1	6	0.206457401
Story1	B8	UDStIS32 Min	-21.5336	29.3409	69.12	23.686	1	6	0.206457401
Story1	B8	UDStIS32 Min	-21.4696	30.5276	69.12	23.686	1	6	0.214807622
Story1	B8	UDStIS32 Min	-21.4696	30.5276	69.12	23.686	1	6	0.214807622
Story1	B8	UDStIS32 Min	-21.3414	32.889	69.12	23.686	1	6	0.231423626
Story1	B9	UDStIS32 Max	-25.3277	-38.2499	69.12	23.686	1	6	0.269145628
Story1	B9	UDStIS32 Max	-25.187	-34.7644	69.12	23.686	1	6	0.244619888
Story1	B9	UDStIS32 Max	-25.187	-34.7644	69.12	23.686	1	6	0.244619888
Story1	B9	UDStIS32 Max	-25.1166	-33.0289	69.12	23.686	1	6	0.232408033
Story1	B9	UDStIS32 Max	-25.1166	-33.0289	69.12	23.686	1	6	0.232408033
Story1	B9	UDStIS32 Max	-24.4971	-17.9662	69.12	23.686	1	6	0.126419263
Story1	B9	UDStIS32 Max	-23.8777	-3.2796	69.12	23.686	1	6	0.023076923
Story1	B9	UDStIS32 Max	-23.2582	12.2918	69.12	23.686	1	6	0.086491317
Story1	B9	UDStIS32 Max	-22.6388	27.9288	69.12	23.686	1	6	0.196521152
Story1	B9	UDStIS32 Max	-22.0193	43.1896	69.12	23.686	1	6	0.303903853
Story1	B9	UDStIS32 Max	-22.0193	43.1896	69.12	23.686	1	6	0.303903853
Story1	B9	UDStIS32 Max	-21.9489	44.9	69.12	23.686	1	6	0.315939092
Story1	B9	UDStIS32 Max	-21.9489	44.9	69.12	23.686	1	6	0.315939092
Story1	B9	UDStIS32 Max	-21.8081	48.3062	69.12	23.686	1	6	0.339906837
Story1	B9	UDStIS32 Min	-28.1318	-42.6773	69.12	23.686	1	6	0.300299051
Story1	B9	UDStIS32 Min	-27.991	-38.8048	69.12	23.686	1	6	0.273050184
Story1	B9	UDStIS32 Min	-27.991	-38.8048	69.12	23.686	1	6	0.273050184
Story1	B9	UDStIS32 Min	-27.9207	-36.8758	69.12	23.686	1	6	0.259476765
Story1	B9	UDStIS32 Min	-27.9207	-36.8758	69.12	23.686	1	6	0.259476765
Story1	B9	UDStIS32 Min	-27.3012	-20.1105	69.12	23.686	1	6	0.141507642
Story1	B9	UDStIS32 Min	-26.6818	-3.7213	69.12	23.686	1	6	0.026184948
Story1	B9	UDStIS32 Min	-26.0623	11.0308	69.12	23.686	1	6	0.077618284
Story1	B9	UDStIS32 Min	-25.4429	24.9651	69.12	23.686	1	6	0.175667061
Story1	B9	UDStIS32 Min	-24.8234	38.5233	69.12	23.686	1	6	0.271069408
Story1	B9	UDStIS32 Min	-24.8234	38.5233	69.12	23.686	1	6	0.271069408
Story1	B9	UDStIS32 Min	-24.753	40.0403	69.12	23.686	1	6	0.281743787
Story1	B9	UDStIS32 Min	-24.753	40.0403	69.12	23.686	1	6	0.281743787
Story1	B9	UDStIS32 Min	-24.6122	43.0595	69.12	23.686	1	6	0.302988404
Story1	B10	UDStIS32 Max	-6.4147	10.6887	69.12	23.686	1	6	0.075211095
Story1	B10	UDStIS32 Max	-6.1658	12.2235	69.12	23.686	1	6	0.086010724
Story1	B10	UDStIS32 Max	-6.1658	12.2235	69.12	23.686	1	6	0.086010724
Story1	B10	UDStIS32 Max	-6.0413	12.9681	69.12	23.686	1	6	0.091250106
Story1	B10	UDStIS32 Max	-6.0413	12.9681	69.12	23.686	1	6	0.091250106
Story1	B10	UDStIS32 Max	-5.6796	15.0457	69.12	23.686	1	6	0.105869149
Story1	B10	UDStIS32 Max	-5.318	16.995	69.12	23.686	1	6	0.119585409
Story1	B10	UDStIS32 Max	1.1629	9.4273	69.12	23.686	1	6	0.066335247
Story1	B10	UDStIS32 Max	1.5582	8.9001	69.12	23.686	1	6	0.062625602
Story1	B10	UDStIS32 Max	1.3855	7.2463	69.12	23.686	1	6	0.050988629
Story1	B10	UDStIS32 Max	1.7132	6.7486	69.12	23.686	1	6	0.04748656

Story1	B10	UDStIS32 Max	2.041	6.1456	69.12	23.686	1	6	0.043243548
Story1	B10	UDStIS32 Max	-0.1928	5.359	69.12	23.686	1	6	0.037708632
Story1	B10	UDStIS32 Max	0.2892	5.3362	69.12	23.686	1	6	0.0375482
Story1	B10	UDStIS32 Max	0.7713	5.0857	69.12	23.686	1	6	0.035785555
Story1	B10	UDStIS32 Max	0.0509	4.814	69.12	23.686	1	6	0.033873737
Story1	B10	UDStIS32 Max	0.1376	4.8066	69.12	23.686	1	6	0.033821667
Story1	B10	UDStIS32 Max	1.7393	3.9582	69.12	23.686	1	6	0.027851896
Story1	B10	UDStIS32 Max	2.2647	3.1038	69.12	23.686	1	6	0.021839905
Story1	B10	UDStIS32 Max	2.7901	1.9788	69.12	23.686	1	6	0.013923837
Story1	B10	UDStIS32 Max	0.4688	1.2228	69.12	23.686	1	6	0.008604239
Story1	B10	UDStIS32 Max	0.9509	0.9646	69.12	23.686	1	6	0.006787413
Story1	B10	UDStIS32 Max	2.2377	-0.4707	69.12	23.686	1	6	0.003312083
Story1	B10	UDStIS32 Max	2.8064	-1.7693	69.12	23.686	1	6	0.012449689
Story1	B10	UDStIS32 Max	2.7372	-5.0143	69.12	23.686	1	6	0.035283149
Story1	B10	UDStIS32 Max	3.2871	-6.3976	69.12	23.686	1	6	0.045016747
Story1	B10	UDStIS32 Max	2.6948	-9.9302	69.12	23.686	1	6	0.069873906
Story1	B10	UDStIS32 Max	2.8193	-10.2134	69.12	23.686	1	6	0.071866644
Story1	B10	UDStIS32 Max	6.3598	-14.2908	69.12	23.686	1	6	0.100557291
Story1	B10	UDStIS32 Max	6.6087	-15.6011	69.12	23.686	1	6	0.109777224
Story1	B10	UDStIS32 Min	-8.313	4.9096	69.12	23.686	1	6	0.034546427
Story1	B10	UDStIS32 Min	-8.0641	6.9076	69.12	23.686	1	6	0.048605365
Story1	B10	UDStIS32 Min	-8.0641	6.9076	69.12	23.686	1	6	0.048605365
Story1	B10	UDStIS32 Min	-7.9396	7.8838	69.12	23.686	1	6	0.055474401
Story1	B10	UDStIS32 Min	-7.9396	7.8838	69.12	23.686	1	6	0.055474401
Story1	B10	UDStIS32 Min	-7.578	10.6343	69.12	23.686	1	6	0.074828309
Story1	B10	UDStIS32 Min	-7.2163	13.2566	69.12	23.686	1	6	0.093280137
Story1	B10	UDStIS32 Min	0.5585	7.5499	69.12	23.686	1	6	0.053124912
Story1	B10	UDStIS32 Min	0.9538	7.2569	69.12	23.686	1	6	0.051063216
Story1	B10	UDStIS32 Min	0.9327	6.2037	69.12	23.686	1	6	0.043652368
Story1	B10	UDStIS32 Min	1.2604	5.8514	69.12	23.686	1	6	0.041173408
Story1	B10	UDStIS32 Min	1.5882	5.3938	69.12	23.686	1	6	0.037953503
Story1	B10	UDStIS32 Min	-0.5713	4.8924	69.12	23.686	1	6	0.034425399
Story1	B10	UDStIS32 Min	-0.0892	5.0485	69.12	23.686	1	6	0.035523797
Story1	B10	UDStIS32 Min	0.3928	4.9768	69.12	23.686	1	6	0.03501928
Story1	B10	UDStIS32 Min	0.0439	4.7965	69.12	23.686	1	6	0.033750598
Story1	B10	UDStIS32 Min	0.1306	4.7885	69.12	23.686	1	6	0.033694306
Story1	B10	UDStIS32 Min	1.3964	3.829	69.12	23.686	1	6	0.026942779
Story1	B10	UDStIS32 Min	1.9218	2.798	69.12	23.686	1	6	0.019688142
Story1	B10	UDStIS32 Min	2.4472	1.4964	69.12	23.686	1	6	0.010529427
Story1	B10	UDStIS32 Min	0.3055	0.5587	69.12	23.686	1	6	0.003931296
Story1	B10	UDStIS32 Min	0.7875	0.2233	69.12	23.686	1	6	0.001571252
Story1	B10	UDStIS32 Min	2.0451	-1.3968	69.12	23.686	1	6	0.009828591
Story1	B10	UDStIS32 Min	2.6138	-2.8029	69.12	23.686	1	6	0.019722621
Story1	B10	UDStIS32 Min	2.2916	-6.4959	69.12	23.686	1	6	0.045708435
Story1	B10	UDStIS32 Min	2.8415	-8.1194	69.12	23.686	1	6	0.057132202
Story1	B10	UDStIS32 Min	2.2587	-12.276	69.12	23.686	1	6	0.08638014
Story1	B10	UDStIS32 Min	2.3832	-12.6123	69.12	23.686	1	6	0.088746517
Story1	B10	UDStIS32 Min	5.2456	-17.4591	69.12	23.686	1	6	0.122851051
Story1	B10	UDStIS32 Min	5.4945	-19.0412	69.12	23.686	1	6	0.133983506

Story1	B11	UDStIS32 Max	5.12	16.3084	69.12	23.686	1	6	0.114754145
Story1	B11	UDStIS32 Max	5.1849	15.8241	69.12	23.686	1	6	0.111346365
Story1	B11	UDStIS32 Max	1.7411	10.9979	69.12	23.686	1	6	0.077386783
Story1	B11	UDStIS32 Max	1.7736	10.9153	69.12	23.686	1	6	0.076805567
Story1	B11	UDStIS32 Max	1.9734	7.2127	69.12	23.686	1	6	0.050752202
Story1	B11	UDStIS32 Max	2.2733	6.2912	69.12	23.686	1	6	0.044268063
Story1	B11	UDStIS32 Max	3.9461	2.1013	69.12	23.686	1	6	0.014785809
Story1	B11	UDStIS32 Max	4.188	0.6778	69.12	23.686	1	6	0.004769343
Story1	B11	UDStIS32 Max	4.4299	-0.8303	69.12	23.686	1	6	0.00584241
Story1	B11	UDStIS32 Max	21.1207	-3.3702	69.12	23.686	1	6	0.02371443
Story1	B11	UDStIS32 Max	21.4435	-10.1351	69.12	23.686	1	6	0.071315686
Story1	B11	UDStIS32 Max	21.7662	-17.0507	69.12	23.686	1	6	0.119977342
Story1	B11	UDStIS32 Max	21.7662	-17.0507	69.12	23.686	1	6	0.119977342
Story1	B11	UDStIS32 Max	21.7987	-17.755	69.12	23.686	1	6	0.124933153
Story1	B11	UDStIS32 Max	21.7987	-17.755	69.12	23.686	1	6	0.124933153
Story1	B11	UDStIS32 Max	21.8637	-19.1683	69.12	23.686	1	6	0.134877846
Story1	B11	UDStIS32 Min	3.3824	10.7182	69.12	23.686	1	6	0.075418672
Story1	B11	UDStIS32 Min	3.4474	10.3972	69.12	23.686	1	6	0.073159954
Story1	B11	UDStIS32 Min	1.1512	7.1698	69.12	23.686	1	6	0.050450336
Story1	B11	UDStIS32 Min	1.1837	7.1149	69.12	23.686	1	6	0.050064032
Story1	B11	UDStIS32 Min	1.3044	4.6001	69.12	23.686	1	6	0.032368628
Story1	B11	UDStIS32 Min	1.6044	3.9689	69.12	23.686	1	6	0.027927186
Story1	B11	UDStIS32 Min	2.7091	1.1013	69.12	23.686	1	6	0.007749303
Story1	B11	UDStIS32 Min	2.951	0.1108	69.12	23.686	1	6	0.000779645
Story1	B11	UDStIS32 Min	3.1929	-0.9644	69.12	23.686	1	6	0.006786006
Story1	B11	UDStIS32 Min	14.3244	-3.9081	69.12	23.686	1	6	0.027499367
Story1	B11	UDStIS32 Min	14.6472	-13.8468	69.12	23.686	1	6	0.097433083
Story1	B11	UDStIS32 Min	14.9699	-23.9363	69.12	23.686	1	6	0.168427904
Story1	B11	UDStIS32 Min	14.9699	-23.9363	69.12	23.686	1	6	0.168427904
Story1	B11	UDStIS32 Min	15.0024	-24.96	69.12	23.686	1	6	0.175631175
Story1	B11	UDStIS32 Min	15.0024	-24.96	69.12	23.686	1	6	0.175631175
Story1	B11	UDStIS32 Min	15.0674	-27.0122	69.12	23.686	1	6	0.190071491
Story1	B13	UDStIS32 Max	13.8878	15.2525	69.12	23.686	1	6	0.107324298
Story1	B13	UDStIS32 Max	14.0108	13.9412	69.12	23.686	1	6	0.098097329
Story1	B13	UDStIS32 Max	14.0108	13.9412	69.12	23.686	1	6	0.098097329
Story1	B13	UDStIS32 Max	14.0723	13.2813	69.12	23.686	1	6	0.093453939
Story1	B13	UDStIS32 Max	14.0723	13.2813	69.12	23.686	1	6	0.093453939
Story1	B13	UDStIS32 Max	14.7487	5.8311	69.12	23.686	1	6	0.041030567
Story1	B13	UDStIS32 Max	15.4252	-1.7963	69.12	23.686	1	6	0.012639675
Story1	B13	UDStIS32 Max	16.1017	-8.961	69.12	23.686	1	6	0.063054125
Story1	B13	UDStIS32 Max	16.7781	-16.4755	69.12	23.686	1	6	0.115929945
Story1	B13	UDStIS32 Max	16.7781	-16.4755	69.12	23.686	1	6	0.115929945
Story1	B13	UDStIS32 Max	16.8396	-17.1759	69.12	23.686	1	6	0.120858313
Story1	B13	UDStIS32 Max	16.8396	-17.1759	69.12	23.686	1	6	0.120858313
Story1	B13	UDStIS32 Max	16.9626	-18.5855	69.12	23.686	1	6	0.130776971
Story1	B13	UDStIS32 Min	11.9825	13.1864	69.12	23.686	1	6	0.092786175
Story1	B13	UDStIS32 Min	12.1055	12.0542	69.12	23.686	1	6	0.084819443
Story1	B13	UDStIS32 Min	12.1055	12.0542	69.12	23.686	1	6	0.084819443
Story1	B13	UDStIS32 Min	12.167	11.4838	69.12	23.686	1	6	0.080805821

Story1	B13	UDStIS32 Min	12.167	11.4838	69.12	23.686	1	6	0.080805821
Story1	B13	UDStIS32 Min	12.8435	5.0186	69.12	23.686	1	6	0.035313406
Story1	B13	UDStIS32 Min	13.52	-1.9689	69.12	23.686	1	6	0.013854175
Story1	B13	UDStIS32 Min	14.1964	-10.1186	69.12	23.686	1	6	0.071199583
Story1	B13	UDStIS32 Min	14.8729	-18.618	69.12	23.686	1	6	0.131005657
Story1	B13	UDStIS32 Min	14.8729	-18.618	69.12	23.686	1	6	0.131005657
Story1	B13	UDStIS32 Min	14.9344	-19.408	69.12	23.686	1	6	0.136564497
Story1	B13	UDStIS32 Min	14.9344	-19.408	69.12	23.686	1	6	0.136564497
Story1	B13	UDStIS32 Min	15.0574	-20.9967	69.12	23.686	1	6	0.147743393
Story1	B14	UDStIS32 Max	-7.4179	0.0382	69.12	23.686	1	6	0.000268795
Story1	B14	UDStIS32 Max	-7.3981	1.8458	69.12	23.686	1	6	0.012987982
Story1	B14	UDStIS32 Max	-7.3981	1.8458	69.12	23.686	1	6	0.012987982
Story1	B14	UDStIS32 Max	-7.3882	2.7477	69.12	23.686	1	6	0.019334206
Story1	B14	UDStIS32 Max	-7.3882	2.7477	69.12	23.686	1	6	0.019334206
Story1	B14	UDStIS32 Max	-7.3438	6.7861	69.12	23.686	1	6	0.047750429
Story1	B14	UDStIS32 Max	-7.2993	10.8002	69.12	23.686	1	6	0.075995666
Story1	B14	UDStIS32 Max	-0.0514	10.7999	69.12	23.686	1	6	0.075993555
Story1	B14	UDStIS32 Max	-0.0085	10.8158	69.12	23.686	1	6	0.076105435
Story1	B14	UDStIS32 Max	0.0344	10.8089	69.12	23.686	1	6	0.076056883
Story1	B14	UDStIS32 Max	0.0773	10.7794	69.12	23.686	1	6	0.075849306
Story1	B14	UDStIS32 Max	7.2776	10.7794	69.12	23.686	1	6	0.075849306
Story1	B14	UDStIS32 Max	7.3205	7.0295	69.12	23.686	1	6	0.049463115
Story1	B14	UDStIS32 Max	7.3634	3.4208	69.12	23.686	1	6	0.024070478
Story1	B14	UDStIS32 Max	7.4064	-0.2106	69.12	23.686	1	6	0.001481888
Story1	B14	UDStIS32 Max	14.655	-0.2103	69.12	23.686	1	6	0.001479777
Story1	B14	UDStIS32 Max	14.6995	-7.9671	69.12	23.686	1	6	0.056060542
Story1	B14	UDStIS32 Max	14.7439	-15.7482	69.12	23.686	1	6	0.110812294
Story1	B14	UDStIS32 Max	14.7439	-15.7482	69.12	23.686	1	6	0.110812294
Story1	B14	UDStIS32 Max	14.7538	-17.483	69.12	23.686	1	6	0.123019224
Story1	B14	UDStIS32 Max	14.7538	-17.483	69.12	23.686	1	6	0.123019224
Story1	B14	UDStIS32 Max	14.7736	-20.9563	69.12	23.686	1	6	0.147459118
Story1	B14	UDStIS32 Min	-7.9287	-1.6958	69.12	23.686	1	6	0.011932506
Story1	B14	UDStIS32 Min	-7.9089	0.2364	69.12	23.686	1	6	0.00166343
Story1	B14	UDStIS32 Min	-7.9089	0.2364	69.12	23.686	1	6	0.00166343
Story1	B14	UDStIS32 Min	-7.899	1.2007	69.12	23.686	1	6	0.008448732
Story1	B14	UDStIS32 Min	-7.899	1.2007	69.12	23.686	1	6	0.008448732
Story1	B14	UDStIS32 Min	-7.8545	5.5192	69.12	23.686	1	6	0.038835881
Story1	B14	UDStIS32 Min	-7.8101	9.8132	69.12	23.686	1	6	0.069050635
Story1	B14	UDStIS32 Min	-0.5699	9.813	69.12	23.686	1	6	0.069049227
Story1	B14	UDStIS32 Min	-0.527	10.1032	69.12	23.686	1	6	0.071091221
Story1	B14	UDStIS32 Min	-0.4841	10.3707	69.12	23.686	1	6	0.072973486
Story1	B14	UDStIS32 Min	-0.4411	10.6155	69.12	23.686	1	6	0.074696023
Story1	B14	UDStIS32 Min	6.7552	10.6155	69.12	23.686	1	6	0.074696023
Story1	B14	UDStIS32 Min	6.7981	6.917	69.12	23.686	1	6	0.048671508
Story1	B14	UDStIS32 Min	6.841	3.0318	69.12	23.686	1	6	0.021333277
Story1	B14	UDStIS32 Min	6.8839	-0.876	69.12	23.686	1	6	0.006163979
Story1	B14	UDStIS32 Min	14.126	-0.8758	69.12	23.686	1	6	0.006162571
Story1	B14	UDStIS32 Min	14.1705	-8.9226	69.12	23.686	1	6	0.062783923
Story1	B14	UDStIS32 Min	14.2149	-16.9937	69.12	23.686	1	6	0.119576262

Story1	B14	UDStIS32 Min	14.2149	-16.9937	69.12	23.686	1	6	0.119576262
Story1	B14	UDStIS32 Min	14.2248	-18.7931	69.12	23.686	1	6	0.132237749
Story1	B14	UDStIS32 Min	14.2248	-18.7931	69.12	23.686	1	6	0.132237749
Story1	B14	UDStIS32 Min	14.2446	-22.3954	69.12	23.686	1	6	0.157585353

Story2									
TABLE: Beam Forces									
Story	Beam	Load Case/Combo	V2	M3	ظرفیت برشی ۲	ظرفیت خمشی ۳			
			tonf	tonf-m	tonf	tonf-m	K	m	معیار پذیرش
Story2	B1	UDStIS32 Max	-22.6563	-34.4008	69.12	23.686	1	6	0.242061
Story2	B1	UDStIS32 Max	-22.4223	-31.606	69.12	23.686	1	6	0.222396
Story2	B1	UDStIS32 Max	-22.4223	-31.606	69.12	23.686	1	6	0.222396
Story2	B1	UDStIS32 Max	-22.3053	-30.2194	69.12	23.686	1	6	0.212639
Story2	B1	UDStIS32 Max	-22.3053	-30.2194	69.12	23.686	1	6	0.212639
Story2	B1	UDStIS32 Max	-21.2755	-18.3306	69.12	23.686	1	6	0.128983
Story2	B1	UDStIS32 Max	-20.2457	-7.0036	69.12	23.686	1	6	0.049281
Story2	B1	UDStIS32 Max	-19.2159	4.1874	69.12	23.686	1	6	0.029465
Story2	B1	UDStIS32 Max	-18.1862	15.9846	69.12	23.686	1	6	0.112476
Story2	B1	UDStIS32 Max	-17.1564	27.22	69.12	23.686	1	6	0.191534
Story2	B1	UDStIS32 Max	-17.1564	27.22	69.12	23.686	1	6	0.191534
Story2	B1	UDStIS32 Max	-17.0394	28.4611	69.12	23.686	1	6	0.200267
Story2	B1	UDStIS32 Max	-17.0394	28.4612	69.12	23.686	1	6	0.200267
Story2	B1	UDStIS32 Max	-16.8053	30.9218	69.12	23.686	1	6	0.217581
Story2	B1	UDStIS32 Min	-25.5776	-39.2999	69.12	23.686	1	6	0.276534
Story2	B1	UDStIS32 Min	-25.3436	-36.1428	69.12	23.686	1	6	0.254319
Story2	B1	UDStIS32 Min	-25.3436	-36.1428	69.12	23.686	1	6	0.254319
Story2	B1	UDStIS32 Min	-25.2266	-34.5751	69.12	23.686	1	6	0.243288
Story2	B1	UDStIS32 Min	-25.2266	-34.5751	69.12	23.686	1	6	0.243288
Story2	B1	UDStIS32 Min	-24.1968	-21.0924	69.12	23.686	1	6	0.148417
Story2	B1	UDStIS32 Min	-23.167	-8.1716	69.12	23.686	1	6	0.0575
Story2	B1	UDStIS32 Min	-22.1373	3.7615	69.12	23.686	1	6	0.026468
Story2	B1	UDStIS32 Min	-21.1075	13.9648	69.12	23.686	1	6	0.098263
Story2	B1	UDStIS32 Min	-20.0777	23.6063	69.12	23.686	1	6	0.166106
Story2	B1	UDStIS32 Min	-20.0777	23.6063	69.12	23.686	1	6	0.166106
Story2	B1	UDStIS32 Min	-19.9607	24.6664	69.12	23.686	1	6	0.173565
Story2	B1	UDStIS32 Min	-19.9607	24.6664	69.12	23.686	1	6	0.173565
Story2	B1	UDStIS32 Min	-19.7267	26.7647	69.12	23.686	1	6	0.18833
Story2	B2	UDStIS32 Max	-20.1608	-28.4259	69.12	23.686	1	6	0.200019
Story2	B2	UDStIS32 Max	-19.9238	-25.9086	69.12	23.686	1	6	0.182306
Story2	B2	UDStIS32 Max	-19.9238	-25.9086	69.12	23.686	1	6	0.182306
Story2	B2	UDStIS32 Max	-19.8053	-24.6611	69.12	23.686	1	6	0.173528
Story2	B2	UDStIS32 Max	-19.8053	-24.6611	69.12	23.686	1	6	0.173528
Story2	B2	UDStIS32 Max	-18.7622	-14.0042	69.12	23.686	1	6	0.098541
Story2	B2	UDStIS32 Max	-17.7191	-3.9237	69.12	23.686	1	6	0.027609
Story2	B2	UDStIS32 Max	-16.6761	6.2823	69.12	23.686	1	6	0.044205
Story2	B2	UDStIS32 Max	-15.633	16.5773	69.12	23.686	1	6	0.116646
Story2	B2	UDStIS32 Max	-14.59	26.2959	69.12	23.686	1	6	0.185031

Story2	B2	UDStIS32 Max	-14.59	26.2959	69.12	23.686	1	6	0.185031
Story2	B2	UDStIS32 Max	-14.4714	27.3638	69.12	23.686	1	6	0.192546
Story2	B2	UDStIS32 Max	-14.4714	27.3638	69.12	23.686	1	6	0.192546
Story2	B2	UDStIS32 Max	-14.2344	29.4773	69.12	23.686	1	6	0.207417
Story2	B2	UDStIS32 Min	-22.635	-32.2922	69.12	23.686	1	6	0.227224
Story2	B2	UDStIS32 Min	-22.398	-29.4641	69.12	23.686	1	6	0.207324
Story2	B2	UDStIS32 Min	-22.398	-29.4641	69.12	23.686	1	6	0.207324
Story2	B2	UDStIS32 Min	-22.2795	-28.0613	69.12	23.686	1	6	0.197453
Story2	B2	UDStIS32 Min	-22.2795	-28.0613	69.12	23.686	1	6	0.197453
Story2	B2	UDStIS32 Min	-21.2364	-16.037	69.12	23.686	1	6	0.112844
Story2	B2	UDStIS32 Min	-20.1933	-4.5891	69.12	23.686	1	6	0.032291
Story2	B2	UDStIS32 Min	-19.1503	5.5804	69.12	23.686	1	6	0.039267
Story2	B2	UDStIS32 Min	-18.1072	14.5081	69.12	23.686	1	6	0.102086
Story2	B2	UDStIS32 Min	-17.0642	22.8593	69.12	23.686	1	6	0.16085
Story2	B2	UDStIS32 Min	-17.0642	22.8593	69.12	23.686	1	6	0.16085
Story2	B2	UDStIS32 Min	-16.9456	23.7718	69.12	23.686	1	6	0.16727
Story2	B2	UDStIS32 Min	-16.9456	23.7718	69.12	23.686	1	6	0.16727
Story2	B2	UDStIS32 Min	-16.7086	25.5746	69.12	23.686	1	6	0.179956
Story2	B3	UDStIS32 Max	-20.4331	-29.138	69.12	23.686	1	6	0.20503
Story2	B3	UDStIS32 Max	-20.1726	-26.3362	69.12	23.686	1	6	0.185315
Story2	B3	UDStIS32 Max	-20.1726	-26.3362	69.12	23.686	1	6	0.185315
Story2	B3	UDStIS32 Max	-20.0424	-24.9488	69.12	23.686	1	6	0.175552
Story2	B3	UDStIS32 Max	-20.0424	-24.9488	69.12	23.686	1	6	0.175552
Story2	B3	UDStIS32 Max	-18.8964	-13.127	69.12	23.686	1	6	0.092368
Story2	B3	UDStIS32 Max	-17.7503	-2.0011	69.12	23.686	1	6	0.014081
Story2	B3	UDStIS32 Max	-16.6043	9.5497	69.12	23.686	1	6	0.067197
Story2	B3	UDStIS32 Max	-15.4583	20.8197	69.12	23.686	1	6	0.146498
Story2	B3	UDStIS32 Max	-14.3122	31.3939	69.12	23.686	1	6	0.220903
Story2	B3	UDStIS32 Max	-14.3122	31.3939	69.12	23.686	1	6	0.220903
Story2	B3	UDStIS32 Max	-14.182	32.5515	69.12	23.686	1	6	0.229049
Story2	B3	UDStIS32 Max	-14.182	32.5515	69.12	23.686	1	6	0.229049
Story2	B3	UDStIS32 Max	-13.9215	34.8397	69.12	23.686	1	6	0.24515
Story2	B3	UDStIS32 Min	-22.9625	-33.1485	69.12	23.686	1	6	0.23325
Story2	B3	UDStIS32 Min	-22.702	-29.9977	69.12	23.686	1	6	0.211079
Story2	B3	UDStIS32 Min	-22.702	-29.9977	69.12	23.686	1	6	0.211079
Story2	B3	UDStIS32 Min	-22.5718	-28.4357	69.12	23.686	1	6	0.200088
Story2	B3	UDStIS32 Min	-22.5718	-28.4357	69.12	23.686	1	6	0.200088
Story2	B3	UDStIS32 Min	-21.4258	-15.0781	69.12	23.686	1	6	0.106097
Story2	B3	UDStIS32 Min	-20.2798	-2.4163	69.12	23.686	1	6	0.017002
Story2	B3	UDStIS32 Min	-19.1337	8.429	69.12	23.686	1	6	0.059311
Story2	B3	UDStIS32 Min	-17.9877	18.1632	69.12	23.686	1	6	0.127805
Story2	B3	UDStIS32 Min	-16.8417	27.2015	69.12	23.686	1	6	0.191404
Story2	B3	UDStIS32 Min	-16.8417	27.2015	69.12	23.686	1	6	0.191404
Story2	B3	UDStIS32 Min	-16.7114	28.1846	69.12	23.686	1	6	0.198321
Story2	B3	UDStIS32 Min	-16.7114	28.1846	69.12	23.686	1	6	0.198321
Story2	B3	UDStIS32 Min	-16.451	30.1237	69.12	23.686	1	6	0.211966
Story2	B4	UDStIS32 Max	-22.0386	-33.5201	69.12	23.686	1	6	0.235864
Story2	B4	UDStIS32 Max	-21.921	-30.7946	69.12	23.686	1	6	0.216686
Story2	B4	UDStIS32 Max	-21.921	-30.7946	69.12	23.686	1	6	0.216686

Story2	B4	UDStIS32 Max	-21.8622	-29.4373	69.12	23.686	1	6	0.207136
Story2	B4	UDStIS32 Max	-21.8622	-29.4373	69.12	23.686	1	6	0.207136
Story2	B4	UDStIS32 Max	-21.4802	-20.7074	69.12	23.686	1	6	0.145708
Story2	B4	UDStIS32 Max	-21.0982	-12.1314	69.12	23.686	1	6	0.085363
Story2	B4	UDStIS32 Max	-19.4923	-12.1314	69.12	23.686	1	6	0.085363
Story2	B4	UDStIS32 Max	-18.9628	-1.396	69.12	23.686	1	6	0.009823
Story2	B4	UDStIS32 Max	-18.4333	9.3219	69.12	23.686	1	6	0.065594
Story2	B4	UDStIS32 Max	-16.8276	9.322	69.12	23.686	1	6	0.065594
Story2	B4	UDStIS32 Max	-16.4455	16.2733	69.12	23.686	1	6	0.114507
Story2	B4	UDStIS32 Max	-16.0635	23.0708	69.12	23.686	1	6	0.162338
Story2	B4	UDStIS32 Max	-16.0635	23.0708	69.12	23.686	1	6	0.162338
Story2	B4	UDStIS32 Max	-16.0047	24.1034	69.12	23.686	1	6	0.169604
Story2	B4	UDStIS32 Max	-16.0047	24.1034	69.12	23.686	1	6	0.169604
Story2	B4	UDStIS32 Max	-15.8871	26.1575	69.12	23.686	1	6	0.184057
Story2	B4	UDStIS32 Min	-22.6598	-34.5506	69.12	23.686	1	6	0.243115
Story2	B4	UDStIS32 Min	-22.5422	-31.7481	69.12	23.686	1	6	0.223396
Story2	B4	UDStIS32 Min	-22.5422	-31.7481	69.12	23.686	1	6	0.223396
Story2	B4	UDStIS32 Min	-22.4834	-30.3523	69.12	23.686	1	6	0.213574
Story2	B4	UDStIS32 Min	-22.4834	-30.3523	69.12	23.686	1	6	0.213574
Story2	B4	UDStIS32 Min	-22.1014	-21.3722	69.12	23.686	1	6	0.150386
Story2	B4	UDStIS32 Min	-21.7194	-12.546	69.12	23.686	1	6	0.08828
Story2	B4	UDStIS32 Min	-20.1127	-12.5459	69.12	23.686	1	6	0.088279
Story2	B4	UDStIS32 Min	-19.5832	-1.4642	69.12	23.686	1	6	0.010303
Story2	B4	UDStIS32 Min	-19.0537	9.0437	69.12	23.686	1	6	0.063636
Story2	B4	UDStIS32 Min	-17.4473	9.0437	69.12	23.686	1	6	0.063636
Story2	B4	UDStIS32 Min	-17.0652	15.7455	69.12	23.686	1	6	0.110793
Story2	B4	UDStIS32 Min	-16.6832	22.2933	69.12	23.686	1	6	0.156867
Story2	B4	UDStIS32 Min	-16.6832	22.2933	69.12	23.686	1	6	0.156867
Story2	B4	UDStIS32 Min	-16.6244	23.2875	69.12	23.686	1	6	0.163863
Story2	B4	UDStIS32 Min	-16.6244	23.2875	69.12	23.686	1	6	0.163863
Story2	B4	UDStIS32 Min	-16.5068	25.2648	69.12	23.686	1	6	0.177776
Story2	B5	UDStIS32 Max	-20.2081	-28.6223	69.12	23.686	1	6	0.201401
Story2	B5	UDStIS32 Max	-20.089	-26.0916	69.12	23.686	1	6	0.183594
Story2	B5	UDStIS32 Max	-20.089	-26.0916	69.12	23.686	1	6	0.183594
Story2	B5	UDStIS32 Max	-20.0294	-24.8319	69.12	23.686	1	6	0.17473
Story2	B5	UDStIS32 Max	-20.0294	-24.8319	69.12	23.686	1	6	0.17473
Story2	B5	UDStIS32 Max	-19.6422	-16.7329	69.12	23.686	1	6	0.117741
Story2	B5	UDStIS32 Max	-19.255	-8.7921	69.12	23.686	1	6	0.061866
Story2	B5	UDStIS32 Max	-17.6299	-8.7921	69.12	23.686	1	6	0.061866
Story2	B5	UDStIS32 Max	-17.094	1.0186	69.12	23.686	1	6	0.007167
Story2	B5	UDStIS32 Max	-16.5582	10.8363	69.12	23.686	1	6	0.07625
Story2	B5	UDStIS32 Max	-14.9326	10.8363	69.12	23.686	1	6	0.07625
Story2	B5	UDStIS32 Max	-14.5453	17.079	69.12	23.686	1	6	0.120176
Story2	B5	UDStIS32 Max	-14.1581	23.1636	69.12	23.686	1	6	0.162991
Story2	B5	UDStIS32 Max	-14.1581	23.1636	69.12	23.686	1	6	0.162991
Story2	B5	UDStIS32 Max	-14.0986	24.0855	69.12	23.686	1	6	0.169478
Story2	B5	UDStIS32 Max	-14.0986	24.0855	69.12	23.686	1	6	0.169478
Story2	B5	UDStIS32 Max	-13.9795	25.9179	69.12	23.686	1	6	0.182371
Story2	B5	UDStIS32 Min	-20.7586	-29.4853	69.12	23.686	1	6	0.207473

Story2	B5	UDStIS32 Min	-20.6395	-26.8855	69.12	23.686	1	6	0.18918
Story2	B5	UDStIS32 Min	-20.6395	-26.8855	69.12	23.686	1	6	0.18918
Story2	B5	UDStIS32 Min	-20.5799	-25.5912	69.12	23.686	1	6	0.180073
Story2	B5	UDStIS32 Min	-20.5799	-25.5912	69.12	23.686	1	6	0.180073
Story2	B5	UDStIS32 Min	-20.1927	-17.2675	69.12	23.686	1	6	0.121503
Story2	B5	UDStIS32 Min	-19.8055	-9.1018	69.12	23.686	1	6	0.064045
Story2	B5	UDStIS32 Min	-18.1802	-9.1018	69.12	23.686	1	6	0.064045
Story2	B5	UDStIS32 Min	-17.6443	1.0174	69.12	23.686	1	6	0.007159
Story2	B5	UDStIS32 Min	-17.1085	10.5242	69.12	23.686	1	6	0.074054
Story2	B5	UDStIS32 Min	-15.4832	10.5242	69.12	23.686	1	6	0.074054
Story2	B5	UDStIS32 Min	-15.096	16.5421	69.12	23.686	1	6	0.116399
Story2	B5	UDStIS32 Min	-14.7088	22.4019	69.12	23.686	1	6	0.157631
Story2	B5	UDStIS32 Min	-14.7087	22.4019	69.12	23.686	1	6	0.157631
Story2	B5	UDStIS32 Min	-14.6492	23.2892	69.12	23.686	1	6	0.163875
Story2	B5	UDStIS32 Min	-14.6492	23.2892	69.12	23.686	1	6	0.163875
Story2	B5	UDStIS32 Min	-14.5301	25.0525	69.12	23.686	1	6	0.176282
Story2	B6	UDStIS32 Max	-19.8997	-28.3858	69.12	23.686	1	6	0.199737
Story2	B6	UDStIS32 Max	-19.6393	-25.6577	69.12	23.686	1	6	0.180541
Story2	B6	UDStIS32 Max	-19.6393	-25.6577	69.12	23.686	1	6	0.180541
Story2	B6	UDStIS32 Max	-19.509	-24.307	69.12	23.686	1	6	0.171036
Story2	B6	UDStIS32 Max	-19.509	-24.307	69.12	23.686	1	6	0.171036
Story2	B6	UDStIS32 Max	-18.363	-12.8091	69.12	23.686	1	6	0.090131
Story2	B6	UDStIS32 Max	-17.217	-2.007	69.12	23.686	1	6	0.014122
Story2	B6	UDStIS32 Max	-16.0709	8.3485	69.12	23.686	1	6	0.058744
Story2	B6	UDStIS32 Max	-14.9249	18.0992	69.12	23.686	1	6	0.127355
Story2	B6	UDStIS32 Max	-13.7789	27.154	69.12	23.686	1	6	0.191069
Story2	B6	UDStIS32 Max	-13.7789	27.154	69.12	23.686	1	6	0.191069
Story2	B6	UDStIS32 Max	-13.6486	28.1389	69.12	23.686	1	6	0.198
Story2	B6	UDStIS32 Max	-13.6486	28.1389	69.12	23.686	1	6	0.198
Story2	B6	UDStIS32 Max	-13.3882	30.0818	69.12	23.686	1	6	0.211671
Story2	B6	UDStIS32 Min	-20.4602	-29.2735	69.12	23.686	1	6	0.205983
Story2	B6	UDStIS32 Min	-20.1997	-26.468	69.12	23.686	1	6	0.186242
Story2	B6	UDStIS32 Min	-20.1998	-26.468	69.12	23.686	1	6	0.186242
Story2	B6	UDStIS32 Min	-20.0695	-25.0787	69.12	23.686	1	6	0.176466
Story2	B6	UDStIS32 Min	-20.0695	-25.0787	69.12	23.686	1	6	0.176466
Story2	B6	UDStIS32 Min	-18.9235	-13.2404	69.12	23.686	1	6	0.093166
Story2	B6	UDStIS32 Min	-17.7775	-2.098	69.12	23.686	1	6	0.014763
Story2	B6	UDStIS32 Min	-16.6314	8.0992	69.12	23.686	1	6	0.05699
Story2	B6	UDStIS32 Min	-15.4854	17.5096	69.12	23.686	1	6	0.123206
Story2	B6	UDStIS32 Min	-14.3394	26.224	69.12	23.686	1	6	0.184525
Story2	B6	UDStIS32 Min	-14.3394	26.224	69.12	23.686	1	6	0.184525
Story2	B6	UDStIS32 Min	-14.2091	27.1703	69.12	23.686	1	6	0.191184
Story2	B6	UDStIS32 Min	-14.2091	27.1703	69.12	23.686	1	6	0.191184
Story2	B6	UDStIS32 Min	-13.9487	29.0358	69.12	23.686	1	6	0.204311
Story2	B7	UDStIS32 Max	-21.1207	-31.7138	69.12	23.686	1	6	0.223154
Story2	B7	UDStIS32 Max	-20.9942	-29.1027	69.12	23.686	1	6	0.204781
Story2	B7	UDStIS32 Max	-20.9942	-29.1027	69.12	23.686	1	6	0.204781
Story2	B7	UDStIS32 Max	-20.931	-27.803	69.12	23.686	1	6	0.195636
Story2	B7	UDStIS32 Max	-20.931	-27.803	69.12	23.686	1	6	0.195636

Story2	B7	UDStIS32 Max	-20.52	-19.4541	69.12	23.686	1	6	0.136889
Story2	B7	UDStIS32 Max	-20.1091	-11.2707	69.12	23.686	1	6	0.079306
Story2	B7	UDStIS32 Max	-18.4956	-11.2707	69.12	23.686	1	6	0.079306
Story2	B7	UDStIS32 Max	-17.926	-1.103	69.12	23.686	1	6	0.007761
Story2	B7	UDStIS32 Max	-17.3564	9.7179	69.12	23.686	1	6	0.06838
Story2	B7	UDStIS32 Max	-15.7429	9.7179	69.12	23.686	1	6	0.06838
Story2	B7	UDStIS32 Max	-15.3319	16.8845	69.12	23.686	1	6	0.118808
Story2	B7	UDStIS32 Max	-14.9209	23.8855	69.12	23.686	1	6	0.16807
Story2	B7	UDStIS32 Max	-14.9209	23.8855	69.12	23.686	1	6	0.16807
Story2	B7	UDStIS32 Max	-14.8577	24.9484	69.12	23.686	1	6	0.17555
Story2	B7	UDStIS32 Max	-14.8577	24.9484	69.12	23.686	1	6	0.17555
Story2	B7	UDStIS32 Max	-14.7312	27.0623	69.12	23.686	1	6	0.190424
Story2	B7	UDStIS32 Min	-23.3723	-35.4906	69.12	23.686	1	6	0.24973
Story2	B7	UDStIS32 Min	-23.2458	-32.6002	69.12	23.686	1	6	0.229391
Story2	B7	UDStIS32 Min	-23.2458	-32.6002	69.12	23.686	1	6	0.229391
Story2	B7	UDStIS32 Min	-23.1825	-31.1609	69.12	23.686	1	6	0.219264
Story2	B7	UDStIS32 Min	-23.1826	-31.1609	69.12	23.686	1	6	0.219264
Story2	B7	UDStIS32 Min	-22.7716	-21.905	69.12	23.686	1	6	0.154135
Story2	B7	UDStIS32 Min	-22.3606	-12.8146	69.12	23.686	1	6	0.09017
Story2	B7	UDStIS32 Min	-20.748	-12.8147	69.12	23.686	1	6	0.090171
Story2	B7	UDStIS32 Min	-20.1784	-1.3894	69.12	23.686	1	6	0.009777
Story2	B7	UDStIS32 Min	-19.6088	8.7467	69.12	23.686	1	6	0.061546
Story2	B7	UDStIS32 Min	-17.9959	8.7467	69.12	23.686	1	6	0.061546
Story2	B7	UDStIS32 Min	-17.585	15.0056	69.12	23.686	1	6	0.105587
Story2	B7	UDStIS32 Min	-17.174	21.0991	69.12	23.686	1	6	0.148464
Story2	B7	UDStIS32 Min	-17.174	21.0991	69.12	23.686	1	6	0.148464
Story2	B7	UDStIS32 Min	-17.1108	22.0222	69.12	23.686	1	6	0.154959
Story2	B7	UDStIS32 Min	-17.1108	22.0222	69.12	23.686	1	6	0.154959
Story2	B7	UDStIS32 Min	-16.9843	23.8567	69.12	23.686	1	6	0.167868
Story2	B8	UDStIS32 Max	-18.8493	-26.221	69.12	23.686	1	6	0.184504
Story2	B8	UDStIS32 Max	-18.7212	-23.8616	69.12	23.686	1	6	0.167902
Story2	B8	UDStIS32 Max	-18.7212	-23.8616	69.12	23.686	1	6	0.167902
Story2	B8	UDStIS32 Max	-18.6571	-22.6879	69.12	23.686	1	6	0.159644
Story2	B8	UDStIS32 Max	-18.6571	-22.6879	69.12	23.686	1	6	0.159644
Story2	B8	UDStIS32 Max	-18.2406	-15.1552	69.12	23.686	1	6	0.10664
Story2	B8	UDStIS32 Max	-17.8241	-7.7926	69.12	23.686	1	6	0.054833
Story2	B8	UDStIS32 Max	-16.192	-7.7926	69.12	23.686	1	6	0.054833
Story2	B8	UDStIS32 Max	-15.6156	1.2063	69.12	23.686	1	6	0.008488
Story2	B8	UDStIS32 Max	-15.0392	10.9395	69.12	23.686	1	6	0.076976
Story2	B8	UDStIS32 Max	-13.4077	10.9395	69.12	23.686	1	6	0.076976
Story2	B8	UDStIS32 Max	-12.9911	17.1042	69.12	23.686	1	6	0.120354
Story2	B8	UDStIS32 Max	-12.5746	23.0988	69.12	23.686	1	6	0.162535
Story2	B8	UDStIS32 Max	-12.5746	23.0988	69.12	23.686	1	6	0.162535
Story2	B8	UDStIS32 Max	-12.5105	24.0057	69.12	23.686	1	6	0.168916
Story2	B8	UDStIS32 Max	-12.5105	24.0057	69.12	23.686	1	6	0.168916
Story2	B8	UDStIS32 Max	-12.3824	25.8075	69.12	23.686	1	6	0.181595
Story2	B8	UDStIS32 Min	-20.7485	-29.1894	69.12	23.686	1	6	0.205391
Story2	B8	UDStIS32 Min	-20.6203	-26.5915	69.12	23.686	1	6	0.187111
Story2	B8	UDStIS32 Min	-20.6203	-26.5915	69.12	23.686	1	6	0.187111

Story2	B8	UDStIS32 Min	-20.5563	-25.2985	69.12	23.686	1	6	0.178013
Story2	B8	UDStIS32 Min	-20.5563	-25.2985	69.12	23.686	1	6	0.178013
Story2	B8	UDStIS32 Min	-20.1397	-16.9904	69.12	23.686	1	6	0.119553
Story2	B8	UDStIS32 Min	-19.7232	-8.8524	69.12	23.686	1	6	0.06229
Story2	B8	UDStIS32 Min	-18.0913	-8.8524	69.12	23.686	1	6	0.06229
Story2	B8	UDStIS32 Min	-17.5149	1.1931	69.12	23.686	1	6	0.008395
Story2	B8	UDStIS32 Min	-16.9385	9.853	69.12	23.686	1	6	0.069331
Story2	B8	UDStIS32 Min	-15.3067	9.8531	69.12	23.686	1	6	0.069331
Story2	B8	UDStIS32 Min	-14.8902	15.2424	69.12	23.686	1	6	0.107253
Story2	B8	UDStIS32 Min	-14.4736	20.4616	69.12	23.686	1	6	0.143978
Story2	B8	UDStIS32 Min	-14.4736	20.4616	69.12	23.686	1	6	0.143978
Story2	B8	UDStIS32 Min	-14.4096	21.2493	69.12	23.686	1	6	0.149521
Story2	B8	UDStIS32 Min	-14.4096	21.2493	69.12	23.686	1	6	0.149521
Story2	B8	UDStIS32 Min	-14.2814	22.8126	69.12	23.686	1	6	0.160521
Story2	B9	UDStIS32 Max	-17.5144	-26.0542	69.12	23.686	1	6	0.183331
Story2	B9	UDStIS32 Max	-17.3736	-23.6469	69.12	23.686	1	6	0.166392
Story2	B9	UDStIS32 Max	-17.3736	-23.6469	69.12	23.686	1	6	0.166392
Story2	B9	UDStIS32 Max	-17.3032	-22.4506	69.12	23.686	1	6	0.157974
Story2	B9	UDStIS32 Max	-17.3032	-22.4506	69.12	23.686	1	6	0.157974
Story2	B9	UDStIS32 Max	-16.6838	-12.1322	69.12	23.686	1	6	0.085368
Story2	B9	UDStIS32 Max	-16.0643	-2.1899	69.12	23.686	1	6	0.015409
Story2	B9	UDStIS32 Max	-15.4449	8.2352	69.12	23.686	1	6	0.057947
Story2	B9	UDStIS32 Max	-14.8254	18.6029	69.12	23.686	1	6	0.130899
Story2	B9	UDStIS32 Max	-14.206	28.5946	69.12	23.686	1	6	0.201206
Story2	B9	UDStIS32 Max	-14.206	28.5946	69.12	23.686	1	6	0.201206
Story2	B9	UDStIS32 Max	-14.1356	29.7062	69.12	23.686	1	6	0.209028
Story2	B9	UDStIS32 Max	-14.1356	29.7062	69.12	23.686	1	6	0.209028
Story2	B9	UDStIS32 Max	-13.9948	31.9149	69.12	23.686	1	6	0.224569
Story2	B9	UDStIS32 Min	-19.454	-29.1301	69.12	23.686	1	6	0.204974
Story2	B9	UDStIS32 Min	-19.3132	-26.4551	69.12	23.686	1	6	0.186151
Story2	B9	UDStIS32 Min	-19.3132	-26.4551	69.12	23.686	1	6	0.186151
Story2	B9	UDStIS32 Min	-19.2428	-25.125	69.12	23.686	1	6	0.176792
Story2	B9	UDStIS32 Min	-19.2428	-25.125	69.12	23.686	1	6	0.176792
Story2	B9	UDStIS32 Min	-18.6234	-13.6288	69.12	23.686	1	6	0.095899
Story2	B9	UDStIS32 Min	-18.0039	-2.5087	69.12	23.686	1	6	0.017652
Story2	B9	UDStIS32 Min	-17.3845	7.3763	69.12	23.686	1	6	0.051903
Story2	B9	UDStIS32 Min	-16.765	16.5663	69.12	23.686	1	6	0.116569
Story2	B9	UDStIS32 Min	-16.1456	25.3803	69.12	23.686	1	6	0.178589
Story2	B9	UDStIS32 Min	-16.1456	25.3803	69.12	23.686	1	6	0.178589
Story2	B9	UDStIS32 Min	-16.0752	26.3581	69.12	23.686	1	6	0.185469
Story2	B9	UDStIS32 Min	-16.0752	26.3581	69.12	23.686	1	6	0.185469
Story2	B9	UDStIS32 Min	-15.9344	28.2991	69.12	23.686	1	6	0.199127
Story2	B10	UDStIS32 Max	-7.9622	4.6964	69.12	23.686	1	6	0.033046
Story2	B10	UDStIS32 Max	-7.7133	6.6088	69.12	23.686	1	6	0.046503
Story2	B10	UDStIS32 Max	-7.7133	6.6088	69.12	23.686	1	6	0.046503
Story2	B10	UDStIS32 Max	-7.5888	7.5422	69.12	23.686	1	6	0.053071
Story2	B10	UDStIS32 Max	-7.5888	7.5422	69.12	23.686	1	6	0.053071
Story2	B10	UDStIS32 Max	-7.2272	10.1683	69.12	23.686	1	6	0.071549
Story2	B10	UDStIS32 Max	-6.8655	12.6663	69.12	23.686	1	6	0.089126

Story2	B10	UDStIS32 Max	0.5961	7.173	69.12	23.686	1	6	0.050473
Story2	B10	UDStIS32 Max	0.9914	6.8654	69.12	23.686	1	6	0.048308
Story2	B10	UDStIS32 Max	0.8055	5.841	69.12	23.686	1	6	0.0411
Story2	B10	UDStIS32 Max	1.1333	5.5295	69.12	23.686	1	6	0.038908
Story2	B10	UDStIS32 Max	1.461	5.1128	69.12	23.686	1	6	0.035976
Story2	B10	UDStIS32 Max	-0.4709	4.6382	69.12	23.686	1	6	0.032637
Story2	B10	UDStIS32 Max	0.0111	4.7469	69.12	23.686	1	6	0.033402
Story2	B10	UDStIS32 Max	0.4932	4.6277	69.12	23.686	1	6	0.032563
Story2	B10	UDStIS32 Max	0.0328	4.5304	69.12	23.686	1	6	0.031878
Story2	B10	UDStIS32 Max	0.1196	4.5244	69.12	23.686	1	6	0.031836
Story2	B10	UDStIS32 Max	1.3241	3.8155	69.12	23.686	1	6	0.026848
Story2	B10	UDStIS32 Max	1.8495	3.1248	69.12	23.686	1	6	0.021988
Story2	B10	UDStIS32 Max	2.3749	2.1635	69.12	23.686	1	6	0.015223
Story2	B10	UDStIS32 Max	0.3658	1.518	69.12	23.686	1	6	0.010681
Story2	B10	UDStIS32 Max	0.8478	1.2863	69.12	23.686	1	6	0.009051
Story2	B10	UDStIS32 Max	1.9231	0.0089	69.12	23.686	1	6	6.26E-05
Story2	B10	UDStIS32 Max	2.4919	-1.1444	69.12	23.686	1	6	0.008053
Story2	B10	UDStIS32 Max	2.1732	-3.9215	69.12	23.686	1	6	0.027594
Story2	B10	UDStIS32 Max	2.7231	-5.0724	69.12	23.686	1	6	0.035692
Story2	B10	UDStIS32 Max	2.1684	-8.0066	69.12	23.686	1	6	0.056338
Story2	B10	UDStIS32 Max	2.2928	-8.2408	69.12	23.686	1	6	0.057986
Story2	B10	UDStIS32 Max	5.0716	-11.6096	69.12	23.686	1	6	0.081691
Story2	B10	UDStIS32 Max	5.3206	-12.6813	69.12	23.686	1	6	0.089232
Story2	B10	UDStIS32 Min	-9.3239	0.744	69.12	23.686	1	6	0.005235
Story2	B10	UDStIS32 Min	-9.0749	2.9886	69.12	23.686	1	6	0.021029
Story2	B10	UDStIS32 Min	-9.0749	2.9886	69.12	23.686	1	6	0.021029
Story2	B10	UDStIS32 Min	-8.9505	4.0882	69.12	23.686	1	6	0.028767
Story2	B10	UDStIS32 Min	-8.9505	4.0882	69.12	23.686	1	6	0.028767
Story2	B10	UDStIS32 Min	-8.5888	7.197	69.12	23.686	1	6	0.050642
Story2	B10	UDStIS32 Min	-8.2272	10.1776	69.12	23.686	1	6	0.071615
Story2	B10	UDStIS32 Min	0.1865	5.9282	69.12	23.686	1	6	0.041714
Story2	B10	UDStIS32 Min	0.5818	5.7793	69.12	23.686	1	6	0.040666
Story2	B10	UDStIS32 Min	0.4933	5.1642	69.12	23.686	1	6	0.036338
Story2	B10	UDStIS32 Min	0.821	4.953	69.12	23.686	1	6	0.034852
Story2	B10	UDStIS32 Min	1.1488	4.6366	69.12	23.686	1	6	0.032625
Story2	B10	UDStIS32 Min	-0.7398	4.3612	69.12	23.686	1	6	0.030688
Story2	B10	UDStIS32 Min	-0.2578	4.5969	69.12	23.686	1	6	0.032346
Story2	B10	UDStIS32 Min	0.2243	4.6048	69.12	23.686	1	6	0.032402
Story2	B10	UDStIS32 Min	0.0278	4.4632	69.12	23.686	1	6	0.031405
Story2	B10	UDStIS32 Min	0.1145	4.4567	69.12	23.686	1	6	0.03136
Story2	B10	UDStIS32 Min	1.0785	3.6682	69.12	23.686	1	6	0.025811
Story2	B10	UDStIS32 Min	1.6039	2.851	69.12	23.686	1	6	0.020061
Story2	B10	UDStIS32 Min	2.1293	1.7632	69.12	23.686	1	6	0.012407
Story2	B10	UDStIS32 Min	0.2493	0.9879	69.12	23.686	1	6	0.006951
Story2	B10	UDStIS32 Min	0.7314	0.7012	69.12	23.686	1	6	0.004934
Story2	B10	UDStIS32 Min	1.7843	-0.7087	69.12	23.686	1	6	0.004987
Story2	B10	UDStIS32 Min	2.3531	-1.9394	69.12	23.686	1	6	0.013647
Story2	B10	UDStIS32 Min	1.8603	-5.0358	69.12	23.686	1	6	0.035434
Story2	B10	UDStIS32 Min	2.4102	-6.3554	69.12	23.686	1	6	0.04472

Story2	B10	UDStIS32 Min	1.8575	-9.729	69.12	23.686	1	6	0.068458
Story2	B10	UDStIS32 Min	1.982	-10.0012	69.12	23.686	1	6	0.070373
Story2	B10	UDStIS32 Min	4.2674	-13.9181	69.12	23.686	1	6	0.097935
Story2	B10	UDStIS32 Min	4.5163	-15.186	69.12	23.686	1	6	0.106856
Story2	B11	UDStIS32 Max	3.5167	11.1424	69.12	23.686	1	6	0.078404
Story2	B11	UDStIS32 Max	3.5816	10.8087	69.12	23.686	1	6	0.076055
Story2	B11	UDStIS32 Max	1.1977	7.4539	69.12	23.686	1	6	0.052449
Story2	B11	UDStIS32 Max	1.2302	7.3968	69.12	23.686	1	6	0.052048
Story2	B11	UDStIS32 Max	1.3616	4.783	69.12	23.686	1	6	0.033656
Story2	B11	UDStIS32 Max	1.6616	4.127	69.12	23.686	1	6	0.02904
Story2	B11	UDStIS32 Max	2.6372	1.2144	69.12	23.686	1	6	0.008545
Story2	B11	UDStIS32 Max	2.8791	0.249	69.12	23.686	1	6	0.001752
Story2	B11	UDStIS32 Max	3.121	-0.801	69.12	23.686	1	6	0.005636
Story2	B11	UDStIS32 Max	14.2044	-2.7208	69.12	23.686	1	6	0.019145
Story2	B11	UDStIS32 Max	14.5272	-7.3406	69.12	23.686	1	6	0.051652
Story2	B11	UDStIS32 Max	14.85	-12.1111	69.12	23.686	1	6	0.08522
Story2	B11	UDStIS32 Max	14.85	-12.1111	69.12	23.686	1	6	0.08522
Story2	B11	UDStIS32 Max	14.8824	-12.5995	69.12	23.686	1	6	0.088656
Story2	B11	UDStIS32 Max	14.8824	-12.5995	69.12	23.686	1	6	0.088656
Story2	B11	UDStIS32 Max	14.9474	-13.581	69.12	23.686	1	6	0.095563
Story2	B11	UDStIS32 Min	2.3451	7.377	69.12	23.686	1	6	0.051908
Story2	B11	UDStIS32 Min	2.41	7.1536	69.12	23.686	1	6	0.050336
Story2	B11	UDStIS32 Min	0.7995	4.8786	69.12	23.686	1	6	0.034328
Story2	B11	UDStIS32 Min	0.832	4.8403	69.12	23.686	1	6	0.034059
Story2	B11	UDStIS32 Min	0.9078	3.031	69.12	23.686	1	6	0.021328
Story2	B11	UDStIS32 Min	1.2077	2.5719	69.12	23.686	1	6	0.018097
Story2	B11	UDStIS32 Min	1.8185	0.5464	69.12	23.686	1	6	0.003845
Story2	B11	UDStIS32 Min	2.0604	-0.1324	69.12	23.686	1	6	0.000932
Story2	B11	UDStIS32 Min	2.3023	-0.8958	69.12	23.686	1	6	0.006303
Story2	B11	UDStIS32 Min	9.7311	-3.0661	69.12	23.686	1	6	0.021575
Story2	B11	UDStIS32 Min	10.0538	-9.7749	69.12	23.686	1	6	0.068781
Story2	B11	UDStIS32 Min	10.3766	-16.6345	69.12	23.686	1	6	0.117049
Story2	B11	UDStIS32 Min	10.3766	-16.6345	69.12	23.686	1	6	0.117049
Story2	B11	UDStIS32 Min	10.4091	-17.3332	69.12	23.686	1	6	0.121965
Story2	B11	UDStIS32 Min	10.4091	-17.3332	69.12	23.686	1	6	0.121965
Story2	B11	UDStIS32 Min	10.474	-18.7352	69.12	23.686	1	6	0.13183
Story2	B13	UDStIS32 Max	8.7075	9.5834	69.12	23.686	1	6	0.067434
Story2	B13	UDStIS32 Max	8.8305	8.7591	69.12	23.686	1	6	0.061633
Story2	B13	UDStIS32 Max	8.8305	8.7591	69.12	23.686	1	6	0.061633
Story2	B13	UDStIS32 Max	8.892	8.3427	69.12	23.686	1	6	0.058703
Story2	B13	UDStIS32 Max	8.892	8.3427	69.12	23.686	1	6	0.058703
Story2	B13	UDStIS32 Max	9.5685	3.5706	69.12	23.686	1	6	0.025125
Story2	B13	UDStIS32 Max	10.2449	-1.4559	69.12	23.686	1	6	0.010244
Story2	B13	UDStIS32 Max	10.9214	-6.3022	69.12	23.686	1	6	0.044345
Story2	B13	UDStIS32 Max	11.5979	-11.4983	69.12	23.686	1	6	0.080908
Story2	B13	UDStIS32 Max	11.5979	-11.4983	69.12	23.686	1	6	0.080908
Story2	B13	UDStIS32 Max	11.6594	-11.988	69.12	23.686	1	6	0.084354
Story2	B13	UDStIS32 Max	11.6594	-11.988	69.12	23.686	1	6	0.084354
Story2	B13	UDStIS32 Max	11.7823	-12.9761	69.12	23.686	1	6	0.091306

Story2	B13	UDStIS32 Min	7.4983	8.2579	69.12	23.686	1	6	0.058107
Story2	B13	UDStIS32 Min	7.6213	7.5472	69.12	23.686	1	6	0.053106
Story2	B13	UDStIS32 Min	7.6213	7.5472	69.12	23.686	1	6	0.053106
Story2	B13	UDStIS32 Min	7.6828	7.1876	69.12	23.686	1	6	0.050576
Story2	B13	UDStIS32 Min	7.6828	7.1876	69.12	23.686	1	6	0.050576
Story2	B13	UDStIS32 Min	8.3593	3.0407	69.12	23.686	1	6	0.021396
Story2	B13	UDStIS32 Min	9.0357	-1.5511	69.12	23.686	1	6	0.010914
Story2	B13	UDStIS32 Min	9.7122	-7.0226	69.12	23.686	1	6	0.049415
Story2	B13	UDStIS32 Min	10.3887	-12.8438	69.12	23.686	1	6	0.090375
Story2	B13	UDStIS32 Min	10.3887	-12.8438	69.12	23.686	1	6	0.090375
Story2	B13	UDStIS32 Min	10.4502	-13.3904	69.12	23.686	1	6	0.094222
Story2	B13	UDStIS32 Min	10.4502	-13.3904	69.12	23.686	1	6	0.094222
Story2	B13	UDStIS32 Min	10.5732	-14.4922	69.12	23.686	1	6	0.101974
Story2	B14	UDStIS32 Max	-8.3005	-3.2621	69.12	23.686	1	6	0.022954
Story2	B14	UDStIS32 Max	-8.2807	-1.2392	69.12	23.686	1	6	0.00872
Story2	B14	UDStIS32 Max	-8.2807	-1.2392	69.12	23.686	1	6	0.00872
Story2	B14	UDStIS32 Max	-8.2708	-0.2296	69.12	23.686	1	6	0.001616
Story2	B14	UDStIS32 Max	-8.2709	-0.2296	69.12	23.686	1	6	0.001616
Story2	B14	UDStIS32 Max	-8.2264	4.2927	69.12	23.686	1	6	0.030206
Story2	B14	UDStIS32 Max	-8.1819	8.7907	69.12	23.686	1	6	0.061856
Story2	B14	UDStIS32 Max	-1.0116	8.7904	69.12	23.686	1	6	0.061854
Story2	B14	UDStIS32 Max	-0.9686	9.3144	69.12	23.686	1	6	0.065541
Story2	B14	UDStIS32 Max	-0.9257	9.8156	69.12	23.686	1	6	0.069068
Story2	B14	UDStIS32 Max	-0.8828	10.2941	69.12	23.686	1	6	0.072434
Story2	B14	UDStIS32 Max	6.2494	10.2941	69.12	23.686	1	6	0.072434
Story2	B14	UDStIS32 Max	6.2923	7.0775	69.12	23.686	1	6	0.049801
Story2	B14	UDStIS32 Max	6.3352	3.9357	69.12	23.686	1	6	0.027694
Story2	B14	UDStIS32 Max	6.3781	0.7711	69.12	23.686	1	6	0.005426
Story2	B14	UDStIS32 Max	13.5437	0.7713	69.12	23.686	1	6	0.005427
Story2	B14	UDStIS32 Max	13.5882	-6.4575	69.12	23.686	1	6	0.045438
Story2	B14	UDStIS32 Max	13.6327	-13.7107	69.12	23.686	1	6	0.096475
Story2	B14	UDStIS32 Max	13.6327	-13.7107	69.12	23.686	1	6	0.096475
Story2	B14	UDStIS32 Max	13.6426	-15.328	69.12	23.686	1	6	0.107856
Story2	B14	UDStIS32 Max	13.6425	-15.328	69.12	23.686	1	6	0.107856
Story2	B14	UDStIS32 Max	13.6623	-18.5663	69.12	23.686	1	6	0.130642
Story2	B14	UDStIS32 Min	-8.6642	-4.4823	69.12	23.686	1	6	0.03154
Story2	B14	UDStIS32 Min	-8.6444	-2.3707	69.12	23.686	1	6	0.016681
Story2	B14	UDStIS32 Min	-8.6444	-2.3707	69.12	23.686	1	6	0.016681
Story2	B14	UDStIS32 Min	-8.6345	-1.3167	69.12	23.686	1	6	0.009265
Story2	B14	UDStIS32 Min	-8.6345	-1.3167	69.12	23.686	1	6	0.009265
Story2	B14	UDStIS32 Min	-8.59	3.405	69.12	23.686	1	6	0.023959
Story2	B14	UDStIS32 Min	-8.5456	8.1023	69.12	23.686	1	6	0.057012
Story2	B14	UDStIS32 Min	-1.3838	8.1021	69.12	23.686	1	6	0.05701
Story2	B14	UDStIS32 Min	-1.3409	8.823	69.12	23.686	1	6	0.062083
Story2	B14	UDStIS32 Min	-1.2979	9.5211	69.12	23.686	1	6	0.066995
Story2	B14	UDStIS32 Min	-1.255	10.1966	69.12	23.686	1	6	0.071748
Story2	B14	UDStIS32 Min	5.8729	10.1966	69.12	23.686	1	6	0.071748
Story2	B14	UDStIS32 Min	5.9159	6.9758	69.12	23.686	1	6	0.049085
Story2	B14	UDStIS32 Min	5.9588	3.6347	69.12	23.686	1	6	0.025576

Story2	B14	UDStIS32 Min	6.0017	0.271	69.12	23.686	1	6	0.001907
Story2	B14	UDStIS32 Min	13.163	0.2712	69.12	23.686	1	6	0.001908
Story2	B14	UDStIS32 Min	13.2075	-7.1663	69.12	23.686	1	6	0.050426
Story2	B14	UDStIS32 Min	13.252	-14.6282	69.12	23.686	1	6	0.102931
Story2	B14	UDStIS32 Min	13.252	-14.6282	69.12	23.686	1	6	0.102931
Story2	B14	UDStIS32 Min	13.2619	-16.292	69.12	23.686	1	6	0.114639
Story2	B14	UDStIS32 Min	13.2619	-16.292	69.12	23.686	1	6	0.114639
Story2	B14	UDStIS32 Min	13.2816	-19.6232	69.12	23.686	1	6	0.138079

Story3									
TABLE: Beam Forces									
Story	Beam	Load Case/Combo	V2	M3	ظرفیت برشی ۲	ظرفیت خمشی ۳			
			tonf	tonf-m	tonf	tonf-m	K	m	معیار پذیرش
Story3	B1	UDStIS32 Max	-9.0021	-14.6774	69.12	23.686	1	6	0.103278
Story3	B1	UDStIS32 Max	-8.8814	-13.5508	69.12	23.686	1	6	0.09535
Story3	B1	UDStIS32 Max	-8.8814	-13.5508	69.12	23.686	1	6	0.09535
Story3	B1	UDStIS32 Max	-8.821	-12.9931	69.12	23.686	1	6	0.091426
Story3	B1	UDStIS32 Max	-8.821	-12.9931	69.12	23.686	1	6	0.091426
Story3	B1	UDStIS32 Max	-8.2898	-8.25	69.12	23.686	1	6	0.058051
Story3	B1	UDStIS32 Max	-7.7586	-3.8014	69.12	23.686	1	6	0.026749
Story3	B1	UDStIS32 Max	-7.2273	0.3527	69.12	23.686	1	6	0.002482
Story3	B1	UDStIS32 Max	-6.6961	4.8444	69.12	23.686	1	6	0.034088
Story3	B1	UDStIS32 Max	-6.1649	9.0454	69.12	23.686	1	6	0.063648
Story3	B1	UDStIS32 Max	-6.1649	9.0454	69.12	23.686	1	6	0.063648
Story3	B1	UDStIS32 Max	-6.1045	9.5041	69.12	23.686	1	6	0.066876
Story3	B1	UDStIS32 Max	-6.1045	9.5041	69.12	23.686	1	6	0.066876
Story3	B1	UDStIS32 Max	-5.9838	10.4102	69.12	23.686	1	6	0.073251
Story3	B1	UDStIS32 Min	-10.1492	-16.8059	69.12	23.686	1	6	0.118255
Story3	B1	UDStIS32 Min	-10.0284	-15.5347	69.12	23.686	1	6	0.10931
Story3	B1	UDStIS32 Min	-10.0284	-15.5347	69.12	23.686	1	6	0.10931
Story3	B1	UDStIS32 Min	-9.9681	-14.9048	69.12	23.686	1	6	0.104878
Story3	B1	UDStIS32 Min	-9.9681	-14.9048	69.12	23.686	1	6	0.104878
Story3	B1	UDStIS32 Min	-9.4369	-9.5257	69.12	23.686	1	6	0.067028
Story3	B1	UDStIS32 Min	-8.9056	-4.4412	69.12	23.686	1	6	0.031251
Story3	B1	UDStIS32 Min	-8.3744	0.3488	69.12	23.686	1	6	0.002454
Story3	B1	UDStIS32 Min	-7.8432	4.2122	69.12	23.686	1	6	0.029639
Story3	B1	UDStIS32 Min	-7.312	7.7773	69.12	23.686	1	6	0.054725
Story3	B1	UDStIS32 Min	-7.312	7.7773	69.12	23.686	1	6	0.054725
Story3	B1	UDStIS32 Min	-7.2516	8.1638	69.12	23.686	1	6	0.057445
Story3	B1	UDStIS32 Min	-7.2516	8.1638	69.12	23.686	1	6	0.057445
Story3	B1	UDStIS32 Min	-7.1309	8.9254	69.12	23.686	1	6	0.062804
Story3	B2	UDStIS32 Max	-7.4439	-10.186	69.12	23.686	1	6	0.071674
Story3	B2	UDStIS32 Max	-7.3216	-9.2439	69.12	23.686	1	6	0.065045
Story3	B2	UDStIS32 Max	-7.3216	-9.2439	69.12	23.686	1	6	0.065045
Story3	B2	UDStIS32 Max	-7.2605	-8.7788	69.12	23.686	1	6	0.061772
Story3	B2	UDStIS32 Max	-7.2605	-8.7788	69.12	23.686	1	6	0.061772
Story3	B2	UDStIS32 Max	-6.7225	-4.8534	69.12	23.686	1	6	0.034151

Story3	B2	UDStIS32 Max	-6.1846	-1.2302	69.12	23.686	1	6	0.008656
Story3	B2	UDStIS32 Max	-5.6466	2.3179	69.12	23.686	1	6	0.01631
Story3	B2	UDStIS32 Max	-5.1086	5.7984	69.12	23.686	1	6	0.0408
Story3	B2	UDStIS32 Max	-4.5707	8.9769	69.12	23.686	1	6	0.063166
Story3	B2	UDStIS32 Max	-4.5707	8.9769	69.12	23.686	1	6	0.063166
Story3	B2	UDStIS32 Max	-4.5095	9.3189	69.12	23.686	1	6	0.065572
Story3	B2	UDStIS32 Max	-4.5095	9.3189	69.12	23.686	1	6	0.065572
Story3	B2	UDStIS32 Max	-4.3873	9.9914	69.12	23.686	1	6	0.070305
Story3	B2	UDStIS32 Min	-8.2655	-11.5003	69.12	23.686	1	6	0.080922
Story3	B2	UDStIS32 Min	-8.1433	-10.4534	69.12	23.686	1	6	0.073555
Story3	B2	UDStIS32 Min	-8.1433	-10.4534	69.12	23.686	1	6	0.073555
Story3	B2	UDStIS32 Min	-8.0821	-9.9358	69.12	23.686	1	6	0.069913
Story3	B2	UDStIS32 Min	-8.0821	-9.9358	69.12	23.686	1	6	0.069913
Story3	B2	UDStIS32 Min	-7.5442	-5.5492	69.12	23.686	1	6	0.039047
Story3	B2	UDStIS32 Min	-7.0062	-1.4647	69.12	23.686	1	6	0.010306
Story3	B2	UDStIS32 Min	-6.4682	2.0911	69.12	23.686	1	6	0.014714
Story3	B2	UDStIS32 Min	-5.9303	5.1103	69.12	23.686	1	6	0.035959
Story3	B2	UDStIS32 Min	-5.3923	7.8275	69.12	23.686	1	6	0.055078
Story3	B2	UDStIS32 Min	-5.3923	7.8275	69.12	23.686	1	6	0.055078
Story3	B2	UDStIS32 Min	-5.3312	8.1171	69.12	23.686	1	6	0.057116
Story3	B2	UDStIS32 Min	-5.3312	8.1171	69.12	23.686	1	6	0.057116
Story3	B2	UDStIS32 Min	-5.2089	8.6848	69.12	23.686	1	6	0.061111
Story3	B3	UDStIS32 Max	-8.0028	-10.4285	69.12	23.686	1	6	0.07338
Story3	B3	UDStIS32 Max	-7.8687	-9.3175	69.12	23.686	1	6	0.065563
Story3	B3	UDStIS32 Max	-7.8687	-9.3175	69.12	23.686	1	6	0.065563
Story3	B3	UDStIS32 Max	-7.8016	-8.769	69.12	23.686	1	6	0.061703
Story3	B3	UDStIS32 Max	-7.8016	-8.769	69.12	23.686	1	6	0.061703
Story3	B3	UDStIS32 Max	-7.3097	-4.8905	69.12	23.686	1	6	0.034412
Story3	B3	UDStIS32 Max	-6.8178	-1.2644	69.12	23.686	1	6	0.008897
Story3	B3	UDStIS32 Max	-6.326	2.4511	69.12	23.686	1	6	0.017247
Story3	B3	UDStIS32 Max	-5.8341	6.1109	69.12	23.686	1	6	0.042999
Story3	B3	UDStIS32 Max	-5.3422	9.5182	69.12	23.686	1	6	0.066975
Story3	B3	UDStIS32 Max	-4.8504	12.673	69.12	23.686	1	6	0.089174
Story3	B3	UDStIS32 Max	-4.8504	12.673	69.12	23.686	1	6	0.089174
Story3	B3	UDStIS32 Max	-4.7833	13.0837	69.12	23.686	1	6	0.092064
Story3	B3	UDStIS32 Max	-4.7833	13.0837	69.12	23.686	1	6	0.092064
Story3	B3	UDStIS32 Max	-4.6492	13.8909	69.12	23.686	1	6	0.097743
Story3	B3	UDStIS32 Min	-9.0523	-11.9232	69.12	23.686	1	6	0.083898
Story3	B3	UDStIS32 Min	-8.9181	-10.6653	69.12	23.686	1	6	0.075046
Story3	B3	UDStIS32 Min	-8.9181	-10.6653	69.12	23.686	1	6	0.075046
Story3	B3	UDStIS32 Min	-8.8511	-10.0434	69.12	23.686	1	6	0.07067
Story3	B3	UDStIS32 Min	-8.8511	-10.0434	69.12	23.686	1	6	0.07067
Story3	B3	UDStIS32 Min	-8.3592	-5.6261	69.12	23.686	1	6	0.039588
Story3	B3	UDStIS32 Min	-7.8673	-1.4612	69.12	23.686	1	6	0.010282
Story3	B3	UDStIS32 Min	-7.3755	2.1092	69.12	23.686	1	6	0.014841
Story3	B3	UDStIS32 Min	-6.8836	5.2303	69.12	23.686	1	6	0.036803
Story3	B3	UDStIS32 Min	-6.3917	8.0989	69.12	23.686	1	6	0.056988
Story3	B3	UDStIS32 Min	-5.8998	10.715	69.12	23.686	1	6	0.075396
Story3	B3	UDStIS32 Min	-5.8998	10.715	69.12	23.686	1	6	0.075396

Story3	B3	UDStIS32 Min	-5.8328	11.0522	69.12	23.686	1	6	0.077769
Story3	B3	UDStIS32 Min	-5.8328	11.0522	69.12	23.686	1	6	0.077769
Story3	B3	UDStIS32 Min	-5.6986	11.7124	69.12	23.686	1	6	0.082414
Story3	B4	UDStIS32 Max	-9.8889	-16.8408	69.12	23.686	1	6	0.1185
Story3	B4	UDStIS32 Max	-9.8144	-15.5995	69.12	23.686	1	6	0.109766
Story3	B4	UDStIS32 Max	-9.8144	-15.5995	69.12	23.686	1	6	0.109766
Story3	B4	UDStIS32 Max	-9.7771	-14.9824	69.12	23.686	1	6	0.105424
Story3	B4	UDStIS32 Max	-9.7771	-14.9824	69.12	23.686	1	6	0.105424
Story3	B4	UDStIS32 Max	-9.5323	-10.9869	69.12	23.686	1	6	0.077309
Story3	B4	UDStIS32 Max	-9.2875	-7.0928	69.12	23.686	1	6	0.049909
Story3	B4	UDStIS32 Max	-8.331	-7.0928	69.12	23.686	1	6	0.049909
Story3	B4	UDStIS32 Max	-8.0007	-2.5335	69.12	23.686	1	6	0.017827
Story3	B4	UDStIS32 Max	-7.6704	1.9175	69.12	23.686	1	6	0.013492
Story3	B4	UDStIS32 Max	-6.7139	1.9175	69.12	23.686	1	6	0.013492
Story3	B4	UDStIS32 Max	-6.4691	4.7386	69.12	23.686	1	6	0.033343
Story3	B4	UDStIS32 Max	-6.2243	7.4583	69.12	23.686	1	6	0.05248
Story3	B4	UDStIS32 Max	-6.2243	7.4583	69.12	23.686	1	6	0.05248
Story3	B4	UDStIS32 Max	-6.187	7.8635	69.12	23.686	1	6	0.055332
Story3	B4	UDStIS32 Max	-6.187	7.8635	69.12	23.686	1	6	0.055332
Story3	B4	UDStIS32 Max	-6.1125	8.6668	69.12	23.686	1	6	0.060984
Story3	B4	UDStIS32 Min	-10.1148	-17.2462	69.12	23.686	1	6	0.121353
Story3	B4	UDStIS32 Min	-10.0403	-15.9765	69.12	23.686	1	6	0.112419
Story3	B4	UDStIS32 Min	-10.0403	-15.9765	69.12	23.686	1	6	0.112419
Story3	B4	UDStIS32 Min	-10.003	-15.3451	69.12	23.686	1	6	0.107976
Story3	B4	UDStIS32 Min	-10.003	-15.3451	69.12	23.686	1	6	0.107976
Story3	B4	UDStIS32 Min	-9.7582	-11.2562	69.12	23.686	1	6	0.079204
Story3	B4	UDStIS32 Min	-9.5134	-7.2686	69.12	23.686	1	6	0.051146
Story3	B4	UDStIS32 Min	-8.5566	-7.2685	69.12	23.686	1	6	0.051145
Story3	B4	UDStIS32 Min	-8.2263	-2.5833	69.12	23.686	1	6	0.018177
Story3	B4	UDStIS32 Min	-7.896	1.8413	69.12	23.686	1	6	0.012956
Story3	B4	UDStIS32 Min	-6.9393	1.8413	69.12	23.686	1	6	0.012956
Story3	B4	UDStIS32 Min	-6.6945	4.5691	69.12	23.686	1	6	0.03215
Story3	B4	UDStIS32 Min	-6.4497	7.1956	69.12	23.686	1	6	0.050632
Story3	B4	UDStIS32 Min	-6.4497	7.1956	69.12	23.686	1	6	0.050632
Story3	B4	UDStIS32 Min	-6.4124	7.5865	69.12	23.686	1	6	0.053382
Story3	B4	UDStIS32 Min	-6.4124	7.5865	69.12	23.686	1	6	0.053382
Story3	B4	UDStIS32 Min	-6.3379	8.3614	69.12	23.686	1	6	0.058835
Story3	B5	UDStIS32 Max	-7.9174	-10.5085	69.12	23.686	1	6	0.073943
Story3	B5	UDStIS32 Max	-7.8419	-9.503	69.12	23.686	1	6	0.066868
Story3	B5	UDStIS32 Max	-7.8419	-9.503	69.12	23.686	1	6	0.066868
Story3	B5	UDStIS32 Max	-7.8042	-9.0039	69.12	23.686	1	6	0.063356
Story3	B5	UDStIS32 Max	-7.8042	-9.0039	69.12	23.686	1	6	0.063356
Story3	B5	UDStIS32 Max	-7.5561	-5.7837	69.12	23.686	1	6	0.040697
Story3	B5	UDStIS32 Max	-7.308	-2.6674	69.12	23.686	1	6	0.018769
Story3	B5	UDStIS32 Max	-6.3406	-2.6674	69.12	23.686	1	6	0.018769
Story3	B5	UDStIS32 Max	-6.0063	0.8206	69.12	23.686	1	6	0.005774
Story3	B5	UDStIS32 Max	-5.6721	4.2189	69.12	23.686	1	6	0.029686
Story3	B5	UDStIS32 Max	-4.7041	4.2189	69.12	23.686	1	6	0.029686
Story3	B5	UDStIS32 Max	-4.4561	6.2175	69.12	23.686	1	6	0.043749

Story3	B5	UDStIS32 Max	-4.208	8.1121	69.12	23.686	1	6	0.057081
Story3	B5	UDStIS32 Max	-4.208	8.1121	69.12	23.686	1	6	0.057081
Story3	B5	UDStIS32 Max	-4.1703	8.3912	69.12	23.686	1	6	0.059045
Story3	B5	UDStIS32 Max	-4.1703	8.3912	69.12	23.686	1	6	0.059045
Story3	B5	UDStIS32 Max	-4.0948	8.9423	69.12	23.686	1	6	0.062923
Story3	B5	UDStIS32 Min	-8.1037	-10.8117	69.12	23.686	1	6	0.076077
Story3	B5	UDStIS32 Min	-8.0282	-9.7825	69.12	23.686	1	6	0.068835
Story3	B5	UDStIS32 Min	-8.0282	-9.7825	69.12	23.686	1	6	0.068835
Story3	B5	UDStIS32 Min	-7.9905	-9.2715	69.12	23.686	1	6	0.065239
Story3	B5	UDStIS32 Min	-7.9905	-9.2715	69.12	23.686	1	6	0.065239
Story3	B5	UDStIS32 Min	-7.7424	-5.973	69.12	23.686	1	6	0.042029
Story3	B5	UDStIS32 Min	-7.4944	-2.7786	69.12	23.686	1	6	0.019552
Story3	B5	UDStIS32 Min	-6.5268	-2.7787	69.12	23.686	1	6	0.019552
Story3	B5	UDStIS32 Min	-6.1926	0.8146	69.12	23.686	1	6	0.005732
Story3	B5	UDStIS32 Min	-5.8583	4.1197	69.12	23.686	1	6	0.028988
Story3	B5	UDStIS32 Min	-4.8905	4.1197	69.12	23.686	1	6	0.028988
Story3	B5	UDStIS32 Min	-4.6424	6.0401	69.12	23.686	1	6	0.042501
Story3	B5	UDStIS32 Min	-4.3944	7.8566	69.12	23.686	1	6	0.055283
Story3	B5	UDStIS32 Min	-4.3944	7.8566	69.12	23.686	1	6	0.055283
Story3	B5	UDStIS32 Min	-4.3566	8.1238	69.12	23.686	1	6	0.057163
Story3	B5	UDStIS32 Min	-4.3566	8.1238	69.12	23.686	1	6	0.057163
Story3	B5	UDStIS32 Min	-4.2811	8.6512	69.12	23.686	1	6	0.060874
Story3	B6	UDStIS32 Max	-8.3336	-10.3182	69.12	23.686	1	6	0.072604
Story3	B6	UDStIS32 Max	-8.1193	-9.1665	69.12	23.686	1	6	0.0645
Story3	B6	UDStIS32 Max	-8.1193	-9.1665	69.12	23.686	1	6	0.0645
Story3	B6	UDStIS32 Max	-8.0121	-8.6019	69.12	23.686	1	6	0.060527
Story3	B6	UDStIS32 Max	-8.0121	-8.6019	69.12	23.686	1	6	0.060527
Story3	B6	UDStIS32 Max	-7.2264	-4.6906	69.12	23.686	1	6	0.033005
Story3	B6	UDStIS32 Max	-6.4407	-1.1828	69.12	23.686	1	6	0.008323
Story3	B6	UDStIS32 Max	-5.6549	1.9803	69.12	23.686	1	6	0.013934
Story3	B6	UDStIS32 Max	-4.8692	4.7875	69.12	23.686	1	6	0.033687
Story3	B6	UDStIS32 Max	-4.0835	7.1915	69.12	23.686	1	6	0.050603
Story3	B6	UDStIS32 Max	-3.2977	9.192	69.12	23.686	1	6	0.06468
Story3	B6	UDStIS32 Max	-3.2977	9.1921	69.12	23.686	1	6	0.06468
Story3	B6	UDStIS32 Max	-3.1906	9.4336	69.12	23.686	1	6	0.06638
Story3	B6	UDStIS32 Max	-3.1906	9.4336	69.12	23.686	1	6	0.06638
Story3	B6	UDStIS32 Max	-2.9763	9.8942	69.12	23.686	1	6	0.069621
Story3	B6	UDStIS32 Min	-8.5402	-10.6213	69.12	23.686	1	6	0.074737
Story3	B6	UDStIS32 Min	-8.3259	-9.4407	69.12	23.686	1	6	0.06643
Story3	B6	UDStIS32 Min	-8.3259	-9.4407	69.12	23.686	1	6	0.06643
Story3	B6	UDStIS32 Min	-8.2188	-8.8616	69.12	23.686	1	6	0.062355
Story3	B6	UDStIS32 Min	-8.2188	-8.8616	69.12	23.686	1	6	0.062355
Story3	B6	UDStIS32 Min	-7.433	-4.8443	69.12	23.686	1	6	0.034087
Story3	B6	UDStIS32 Min	-6.6473	-1.2304	69.12	23.686	1	6	0.008658
Story3	B6	UDStIS32 Min	-5.8616	1.9218	69.12	23.686	1	6	0.013523
Story3	B6	UDStIS32 Min	-5.0758	4.623	69.12	23.686	1	6	0.03253
Story3	B6	UDStIS32 Min	-4.2901	6.9208	69.12	23.686	1	6	0.048698
Story3	B6	UDStIS32 Min	-3.5044	8.8154	69.12	23.686	1	6	0.06203
Story3	B6	UDStIS32 Min	-3.5044	8.8154	69.12	23.686	1	6	0.06203

Story3	B6	UDStIS32 Min	-3.3972	9.0424	69.12	23.686	1	6	0.063627
Story3	B6	UDStIS32 Min	-3.3972	9.0424	69.12	23.686	1	6	0.063627
Story3	B6	UDStIS32 Min	-3.1829	9.4741	69.12	23.686	1	6	0.066665
Story3	B7	UDStIS32 Max	-8.4888	-13.5908	69.12	23.686	1	6	0.095632
Story3	B7	UDStIS32 Max	-8.4324	-12.5247	69.12	23.686	1	6	0.08813
Story3	B7	UDStIS32 Max	-8.4324	-12.5247	69.12	23.686	1	6	0.08813
Story3	B7	UDStIS32 Max	-8.4042	-11.9944	69.12	23.686	1	6	0.084399
Story3	B7	UDStIS32 Max	-8.4042	-11.9944	69.12	23.686	1	6	0.084399
Story3	B7	UDStIS32 Max	-8.219	-8.5548	69.12	23.686	1	6	0.060196
Story3	B7	UDStIS32 Max	-8.0337	-5.1918	69.12	23.686	1	6	0.036532
Story3	B7	UDStIS32 Max	-7.0758	-5.1919	69.12	23.686	1	6	0.036533
Story3	B7	UDStIS32 Max	-6.8258	-1.311	69.12	23.686	1	6	0.009225
Story3	B7	UDStIS32 Max	-6.5759	2.6694	69.12	23.686	1	6	0.018783
Story3	B7	UDStIS32 Max	-5.6179	2.6694	69.12	23.686	1	6	0.018783
Story3	B7	UDStIS32 Max	-5.4326	5.3223	69.12	23.686	1	6	0.03745
Story3	B7	UDStIS32 Max	-5.2473	7.8984	69.12	23.686	1	6	0.055577
Story3	B7	UDStIS32 Max	-5.2473	7.8984	69.12	23.686	1	6	0.055577
Story3	B7	UDStIS32 Max	-5.2191	8.2839	69.12	23.686	1	6	0.05829
Story3	B7	UDStIS32 Max	-5.2191	8.2839	69.12	23.686	1	6	0.05829
Story3	B7	UDStIS32 Max	-5.1627	9.0495	69.12	23.686	1	6	0.063677
Story3	B7	UDStIS32 Min	-9.3736	-15.2393	69.12	23.686	1	6	0.107231
Story3	B7	UDStIS32 Min	-9.3171	-14.0618	69.12	23.686	1	6	0.098946
Story3	B7	UDStIS32 Min	-9.3171	-14.0618	69.12	23.686	1	6	0.098946
Story3	B7	UDStIS32 Min	-9.2889	-13.4757	69.12	23.686	1	6	0.094822
Story3	B7	UDStIS32 Min	-9.2889	-13.4757	69.12	23.686	1	6	0.094822
Story3	B7	UDStIS32 Min	-9.1037	-9.67	69.12	23.686	1	6	0.068043
Story3	B7	UDStIS32 Min	-8.9184	-5.9409	69.12	23.686	1	6	0.041803
Story3	B7	UDStIS32 Min	-7.9608	-5.941	69.12	23.686	1	6	0.041804
Story3	B7	UDStIS32 Min	-7.7108	-1.566	69.12	23.686	1	6	0.011019
Story3	B7	UDStIS32 Min	-7.4608	2.4303	69.12	23.686	1	6	0.017101
Story3	B7	UDStIS32 Min	-6.5031	2.4303	69.12	23.686	1	6	0.017101
Story3	B7	UDStIS32 Min	-6.3178	4.7168	69.12	23.686	1	6	0.03319
Story3	B7	UDStIS32 Min	-6.1325	6.9267	69.12	23.686	1	6	0.04874
Story3	B7	UDStIS32 Min	-6.1325	6.9267	69.12	23.686	1	6	0.04874
Story3	B7	UDStIS32 Min	-6.1043	7.2564	69.12	23.686	1	6	0.05106
Story3	B7	UDStIS32 Min	-6.1043	7.2564	69.12	23.686	1	6	0.05106
Story3	B7	UDStIS32 Min	-6.0479	7.9104	69.12	23.686	1	6	0.055662
Story3	B8	UDStIS32 Max	-7.1815	-9.5665	69.12	23.686	1	6	0.067315
Story3	B8	UDStIS32 Max	-7.1244	-8.6538	69.12	23.686	1	6	0.060893
Story3	B8	UDStIS32 Max	-7.1244	-8.6538	69.12	23.686	1	6	0.060893
Story3	B8	UDStIS32 Max	-7.0958	-8.2002	69.12	23.686	1	6	0.057701
Story3	B8	UDStIS32 Max	-7.0958	-8.2002	69.12	23.686	1	6	0.057701
Story3	B8	UDStIS32 Max	-6.9081	-5.2643	69.12	23.686	1	6	0.037042
Story3	B8	UDStIS32 Max	-6.7203	-2.4071	69.12	23.686	1	6	0.016938
Story3	B8	UDStIS32 Max	-5.7511	-2.4071	69.12	23.686	1	6	0.016938
Story3	B8	UDStIS32 Max	-5.4982	0.793	69.12	23.686	1	6	0.00558
Story3	B8	UDStIS32 Max	-5.2452	4.2014	69.12	23.686	1	6	0.029563
Story3	B8	UDStIS32 Max	-4.2765	4.2014	69.12	23.686	1	6	0.029563
Story3	B8	UDStIS32 Max	-4.0887	6.2323	69.12	23.686	1	6	0.043854

Story3	B8	UDStIS32 Max	-3.901	8.1844	69.12	23.686	1	6	0.05759
Story3	B8	UDStIS32 Max	-3.901	8.1844	69.12	23.686	1	6	0.05759
Story3	B8	UDStIS32 Max	-3.8724	8.4746	69.12	23.686	1	6	0.059632
Story3	B8	UDStIS32 Max	-3.8724	8.4746	69.12	23.686	1	6	0.059632
Story3	B8	UDStIS32 Max	-3.8153	9.0494	69.12	23.686	1	6	0.063676
Story3	B8	UDStIS32 Min	-7.8423	-10.5985	69.12	23.686	1	6	0.074576
Story3	B8	UDStIS32 Min	-7.7852	-9.6015	69.12	23.686	1	6	0.067561
Story3	B8	UDStIS32 Min	-7.7852	-9.6015	69.12	23.686	1	6	0.067561
Story3	B8	UDStIS32 Min	-7.7566	-9.1057	69.12	23.686	1	6	0.064072
Story3	B8	UDStIS32 Min	-7.7566	-9.1057	69.12	23.686	1	6	0.064072
Story3	B8	UDStIS32 Min	-7.5689	-5.8927	69.12	23.686	1	6	0.041464
Story3	B8	UDStIS32 Min	-7.3812	-2.7584	69.12	23.686	1	6	0.019409
Story3	B8	UDStIS32 Min	-6.4121	-2.7584	69.12	23.686	1	6	0.019409
Story3	B8	UDStIS32 Min	-6.1591	0.7709	69.12	23.686	1	6	0.005424
Story3	B8	UDStIS32 Min	-5.9062	3.8059	69.12	23.686	1	6	0.02678
Story3	B8	UDStIS32 Min	-4.9373	3.8059	69.12	23.686	1	6	0.02678
Story3	B8	UDStIS32 Min	-4.7496	5.5597	69.12	23.686	1	6	0.039121
Story3	B8	UDStIS32 Min	-4.5619	7.2347	69.12	23.686	1	6	0.050907
Story3	B8	UDStIS32 Min	-4.5619	7.2347	69.12	23.686	1	6	0.050907
Story3	B8	UDStIS32 Min	-4.5333	7.4827	69.12	23.686	1	6	0.052652
Story3	B8	UDStIS32 Min	-4.5333	7.4827	69.12	23.686	1	6	0.052652
Story3	B8	UDStIS32 Min	-4.4762	7.9732	69.12	23.686	1	6	0.056103
Story3	B9	UDStIS32 Max	-6.6056	-9.3331	69.12	23.686	1	6	0.065672
Story3	B9	UDStIS32 Max	-6.5429	-8.4127	69.12	23.686	1	6	0.059196
Story3	B9	UDStIS32 Max	-6.5429	-8.4127	69.12	23.686	1	6	0.059196
Story3	B9	UDStIS32 Max	-6.5116	-7.9557	69.12	23.686	1	6	0.05598
Story3	B9	UDStIS32 Max	-6.5116	-7.9557	69.12	23.686	1	6	0.05598
Story3	B9	UDStIS32 Max	-6.2817	-4.6721	69.12	23.686	1	6	0.032875
Story3	B9	UDStIS32 Max	-6.0519	-1.5065	69.12	23.686	1	6	0.0106
Story3	B9	UDStIS32 Max	-5.8221	1.7311	69.12	23.686	1	6	0.012181
Story3	B9	UDStIS32 Max	-5.5923	5.0475	69.12	23.686	1	6	0.035517
Story3	B9	UDStIS32 Max	-5.3624	8.246	69.12	23.686	1	6	0.058023
Story3	B9	UDStIS32 Max	-5.1326	11.3266	69.12	23.686	1	6	0.0797
Story3	B9	UDStIS32 Max	-5.1326	11.3266	69.12	23.686	1	6	0.0797
Story3	B9	UDStIS32 Max	-5.1013	11.7375	69.12	23.686	1	6	0.082591
Story3	B9	UDStIS32 Max	-5.1013	11.7375	69.12	23.686	1	6	0.082591
Story3	B9	UDStIS32 Max	-5.0386	12.5528	69.12	23.686	1	6	0.088328
Story3	B9	UDStIS32 Min	-7.3591	-10.4618	69.12	23.686	1	6	0.073615
Story3	B9	UDStIS32 Min	-7.2964	-9.4359	69.12	23.686	1	6	0.066396
Story3	B9	UDStIS32 Min	-7.2964	-9.4359	69.12	23.686	1	6	0.066396
Story3	B9	UDStIS32 Min	-7.2651	-8.9262	69.12	23.686	1	6	0.062809
Story3	B9	UDStIS32 Min	-7.2651	-8.9262	69.12	23.686	1	6	0.062809
Story3	B9	UDStIS32 Min	-7.0353	-5.2558	69.12	23.686	1	6	0.036982
Story3	B9	UDStIS32 Min	-6.8054	-1.7034	69.12	23.686	1	6	0.011986
Story3	B9	UDStIS32 Min	-6.5756	1.5412	69.12	23.686	1	6	0.010845
Story3	B9	UDStIS32 Min	-6.3458	4.4708	69.12	23.686	1	6	0.031459
Story3	B9	UDStIS32 Min	-6.116	7.2826	69.12	23.686	1	6	0.051244
Story3	B9	UDStIS32 Min	-5.8861	9.9763	69.12	23.686	1	6	0.070198
Story3	B9	UDStIS32 Min	-5.8861	9.9763	69.12	23.686	1	6	0.070198

Story3	B9	UDStIS32 Min	-5.8548	10.3345	69.12	23.686	1	6	0.072719
Story3	B9	UDStIS32 Min	-5.8548	10.3345	69.12	23.686	1	6	0.072719
Story3	B9	UDStIS32 Min	-5.7921	11.0443	69.12	23.686	1	6	0.077713
Story3	B10	UDStIS32 Max	-6.3939	3.3123	69.12	23.686	1	6	0.023307
Story3	B10	UDStIS32 Max	-6.2838	4.8716	69.12	23.686	1	6	0.034279
Story3	B10	UDStIS32 Max	-6.2838	4.8716	69.12	23.686	1	6	0.034279
Story3	B10	UDStIS32 Max	-6.2287	5.6411	69.12	23.686	1	6	0.039694
Story3	B10	UDStIS32 Max	-6.2287	5.6411	69.12	23.686	1	6	0.039694
Story3	B10	UDStIS32 Max	-6.0651	7.8878	69.12	23.686	1	6	0.055503
Story3	B10	UDStIS32 Max	-5.9014	10.0747	69.12	23.686	1	6	0.070891
Story3	B10	UDStIS32 Max	0.5967	5.68	69.12	23.686	1	6	0.039967
Story3	B10	UDStIS32 Max	0.7702	5.4151	69.12	23.686	1	6	0.038103
Story3	B10	UDStIS32 Max	0.5565	4.6543	69.12	23.686	1	6	0.03275
Story3	B10	UDStIS32 Max	0.7003	4.4525	69.12	23.686	1	6	0.03133
Story3	B10	UDStIS32 Max	0.8442	4.2044	69.12	23.686	1	6	0.029584
Story3	B10	UDStIS32 Max	-0.2848	3.9457	69.12	23.686	1	6	0.027764
Story3	B10	UDStIS32 Max	-0.0733	4.0303	69.12	23.686	1	6	0.028359
Story3	B10	UDStIS32 Max	0.1382	4.0149	69.12	23.686	1	6	0.028251
Story3	B10	UDStIS32 Max	0.0267	3.9348	69.12	23.686	1	6	0.027687
Story3	B10	UDStIS32 Max	0.0648	3.9311	69.12	23.686	1	6	0.027661
Story3	B10	UDStIS32 Max	0.9374	3.4899	69.12	23.686	1	6	0.024557
Story3	B10	UDStIS32 Max	1.168	3.0076	69.12	23.686	1	6	0.021163
Story3	B10	UDStIS32 Max	1.3985	2.4065	69.12	23.686	1	6	0.016933
Story3	B10	UDStIS32 Max	0.3279	1.9408	69.12	23.686	1	6	0.013656
Story3	B10	UDStIS32 Max	0.5394	1.7622	69.12	23.686	1	6	0.0124
Story3	B10	UDStIS32 Max	1.3638	0.8618	69.12	23.686	1	6	0.006064
Story3	B10	UDStIS32 Max	1.6134	0.068	69.12	23.686	1	6	0.000478
Story3	B10	UDStIS32 Max	1.2038	-1.5924	69.12	23.686	1	6	0.011205
Story3	B10	UDStIS32 Max	1.455	-2.2693	69.12	23.686	1	6	0.015968
Story3	B10	UDStIS32 Max	0.9708	-3.8318	69.12	23.686	1	6	0.026962
Story3	B10	UDStIS32 Max	1.0259	-3.9416	69.12	23.686	1	6	0.027735
Story3	B10	UDStIS32 Max	1.9663	-5.5533	69.12	23.686	1	6	0.039076
Story3	B10	UDStIS32 Max	2.0764	-5.9886	69.12	23.686	1	6	0.042139
Story3	B10	UDStIS32 Min	-7.0453	1.3023	69.12	23.686	1	6	0.009164
Story3	B10	UDStIS32 Min	-6.9352	3.0219	69.12	23.686	1	6	0.021264
Story3	B10	UDStIS32 Min	-6.9352	3.0219	69.12	23.686	1	6	0.021264
Story3	B10	UDStIS32 Min	-6.8801	3.8716	69.12	23.686	1	6	0.027243
Story3	B10	UDStIS32 Min	-6.8801	3.8716	69.12	23.686	1	6	0.027243
Story3	B10	UDStIS32 Min	-6.7165	6.3564	69.12	23.686	1	6	0.044727
Story3	B10	UDStIS32 Min	-6.5528	8.7813	69.12	23.686	1	6	0.06179
Story3	B10	UDStIS32 Min	0.3867	5.0309	69.12	23.686	1	6	0.0354
Story3	B10	UDStIS32 Min	0.5602	4.8474	69.12	23.686	1	6	0.034109
Story3	B10	UDStIS32 Min	0.4025	4.2939	69.12	23.686	1	6	0.030214
Story3	B10	UDStIS32 Min	0.5463	4.1415	69.12	23.686	1	6	0.029142
Story3	B10	UDStIS32 Min	0.6901	3.9429	69.12	23.686	1	6	0.027744
Story3	B10	UDStIS32 Min	-0.4146	3.7815	69.12	23.686	1	6	0.026609
Story3	B10	UDStIS32 Min	-0.2031	3.9274	69.12	23.686	1	6	0.027635
Story3	B10	UDStIS32 Min	0.0085	3.9734	69.12	23.686	1	6	0.027959
Story3	B10	UDStIS32 Min	0.0244	3.9333	69.12	23.686	1	6	0.027677

Story3	B10	UDStIS32 Min	0.0625	3.9294	69.12	23.686	1	6	0.027649
Story3	B10	UDStIS32 Min	0.8212	3.4508	69.12	23.686	1	6	0.024282
Story3	B10	UDStIS32 Min	1.0518	2.9087	69.12	23.686	1	6	0.020467
Story3	B10	UDStIS32 Min	1.2824	2.2478	69.12	23.686	1	6	0.015817
Story3	B10	UDStIS32 Min	0.272	1.7202	69.12	23.686	1	6	0.012104
Story3	B10	UDStIS32 Min	0.4836	1.5153	69.12	23.686	1	6	0.010662
Story3	B10	UDStIS32 Min	1.299	0.5521	69.12	23.686	1	6	0.003885
Story3	B10	UDStIS32 Min	1.5486	-0.2778	69.12	23.686	1	6	0.001955
Story3	B10	UDStIS32 Min	1.0811	-2.0638	69.12	23.686	1	6	0.014522
Story3	B10	UDStIS32 Min	1.3322	-2.8096	69.12	23.686	1	6	0.01977
Story3	B10	UDStIS32 Min	0.8657	-4.5356	69.12	23.686	1	6	0.031915
Story3	B10	UDStIS32 Min	0.9207	-4.6584	69.12	23.686	1	6	0.032779
Story3	B10	UDStIS32 Min	1.7145	-6.461	69.12	23.686	1	6	0.045463
Story3	B10	UDStIS32 Min	1.8247	-6.9583	69.12	23.686	1	6	0.048962
Story3	B11	UDStIS32 Max	0.2631	0.7726	69.12	23.686	1	6	0.005436
Story3	B11	UDStIS32 Max	0.3405	0.7436	69.12	23.686	1	6	0.005232
Story3	B11	UDStIS32 Max	0.1042	0.2498	69.12	23.686	1	6	0.001758
Story3	B11	UDStIS32 Max	0.143	0.2438	69.12	23.686	1	6	0.001716
Story3	B11	UDStIS32 Max	0.2673	-0.3716	69.12	23.686	1	6	0.002615
Story3	B11	UDStIS32 Max	0.6352	-0.5774	69.12	23.686	1	6	0.004063
Story3	B11	UDStIS32 Max	0.8401	-1.3538	69.12	23.686	1	6	0.009526
Story3	B11	UDStIS32 Max	1.1225	-1.5762	69.12	23.686	1	6	0.011091
Story3	B11	UDStIS32 Max	1.4049	-1.8975	69.12	23.686	1	6	0.013352
Story3	B11	UDStIS32 Max	2.613	-3.614	69.12	23.686	1	6	0.02543
Story3	B11	UDStIS32 Max	2.9986	-4.3178	69.12	23.686	1	6	0.030382
Story3	B11	UDStIS32 Max	3.3843	-5.206	69.12	23.686	1	6	0.036632
Story3	B11	UDStIS32 Max	3.3843	-5.206	69.12	23.686	1	6	0.036632
Story3	B11	UDStIS32 Max	3.423	-5.3054	69.12	23.686	1	6	0.037331
Story3	B11	UDStIS32 Max	3.423	-5.3054	69.12	23.686	1	6	0.037331
Story3	B11	UDStIS32 Max	3.5004	-5.5097	69.12	23.686	1	6	0.038769
Story3	B11	UDStIS32 Min	0.01	-0.2004	69.12	23.686	1	6	0.00141
Story3	B11	UDStIS32 Min	0.0874	-0.205	69.12	23.686	1	6	0.001442
Story3	B11	UDStIS32 Min	0.0102	-0.4041	69.12	23.686	1	6	0.002843
Story3	B11	UDStIS32 Min	0.0489	-0.4055	69.12	23.686	1	6	0.002853
Story3	B11	UDStIS32 Min	0.0934	-0.7554	69.12	23.686	1	6	0.005315
Story3	B11	UDStIS32 Min	0.4613	-0.8818	69.12	23.686	1	6	0.006205
Story3	B11	UDStIS32 Min	0.4944	-1.3574	69.12	23.686	1	6	0.009551
Story3	B11	UDStIS32 Min	0.7768	-1.7009	69.12	23.686	1	6	0.011968
Story3	B11	UDStIS32 Min	1.0591	-2.1432	69.12	23.686	1	6	0.015081
Story3	B11	UDStIS32 Min	1.2796	-4.2336	69.12	23.686	1	6	0.02979
Story3	B11	UDStIS32 Min	1.6653	-5.5748	69.12	23.686	1	6	0.039227
Story3	B11	UDStIS32 Min	2.0509	-7.1003	69.12	23.686	1	6	0.049961
Story3	B11	UDStIS32 Min	2.0509	-7.1003	69.12	23.686	1	6	0.049961
Story3	B11	UDStIS32 Min	2.0896	-7.2636	69.12	23.686	1	6	0.05111
Story3	B11	UDStIS32 Min	2.0896	-7.2636	69.12	23.686	1	6	0.05111
Story3	B11	UDStIS32 Min	2.1671	-7.596	69.12	23.686	1	6	0.053449
Story3	B13	UDStIS32 Max	1.5079	0.13	69.12	23.686	1	6	0.000915
Story3	B13	UDStIS32 Max	1.5851	-0.0185	69.12	23.686	1	6	0.00013
Story3	B13	UDStIS32 Max	1.5851	-0.0185	69.12	23.686	1	6	0.00013

Story3	B13	UDStIS32 Max	1.6236	-0.0955	69.12	23.686	1	6	0.000672
Story3	B13	UDStIS32 Max	1.6236	-0.0955	69.12	23.686	1	6	0.000672
Story3	B13	UDStIS32 Max	2.0479	-1.0648	69.12	23.686	1	6	0.007492
Story3	B13	UDStIS32 Max	2.4722	-2.1282	69.12	23.686	1	6	0.014975
Story3	B13	UDStIS32 Max	2.8965	-3.3141	69.12	23.686	1	6	0.02332
Story3	B13	UDStIS32 Max	3.3207	-4.724	69.12	23.686	1	6	0.03324
Story3	B13	UDStIS32 Max	3.3207	-4.724	69.12	23.686	1	6	0.03324
Story3	B13	UDStIS32 Max	3.3593	-4.8633	69.12	23.686	1	6	0.034221
Story3	B13	UDStIS32 Max	3.3593	-4.8633	69.12	23.686	1	6	0.034221
Story3	B13	UDStIS32 Max	3.4364	-5.1474	69.12	23.686	1	6	0.03622
Story3	B13	UDStIS32 Min	1.0697	-0.266	69.12	23.686	1	6	0.001872
Story3	B13	UDStIS32 Min	1.1468	-0.3724	69.12	23.686	1	6	0.00262
Story3	B13	UDStIS32 Min	1.1468	-0.3724	69.12	23.686	1	6	0.00262
Story3	B13	UDStIS32 Min	1.1854	-0.4284	69.12	23.686	1	6	0.003014
Story3	B13	UDStIS32 Min	1.1854	-0.4284	69.12	23.686	1	6	0.003014
Story3	B13	UDStIS32 Min	1.6096	-1.1663	69.12	23.686	1	6	0.008207
Story3	B13	UDStIS32 Min	2.0339	-2.2581	69.12	23.686	1	6	0.015889
Story3	B13	UDStIS32 Min	2.4582	-3.6754	69.12	23.686	1	6	0.025862
Story3	B13	UDStIS32 Min	2.8825	-5.3167	69.12	23.686	1	6	0.037411
Story3	B13	UDStIS32 Min	2.8825	-5.3167	69.12	23.686	1	6	0.037411
Story3	B13	UDStIS32 Min	2.921	-5.4771	69.12	23.686	1	6	0.03854
Story3	B13	UDStIS32 Min	2.921	-5.4771	69.12	23.686	1	6	0.03854
Story3	B13	UDStIS32 Min	2.9982	-5.8033	69.12	23.686	1	6	0.040835
Story3	B14	UDStIS32 Max	-4.7255	0.0992	69.12	23.686	1	6	0.000698
Story3	B14	UDStIS32 Max	-4.7055	1.2592	69.12	23.686	1	6	0.00886
Story3	B14	UDStIS32 Max	-4.7055	1.2592	69.12	23.686	1	6	0.00886
Story3	B14	UDStIS32 Max	-4.6955	1.8374	69.12	23.686	1	6	0.012929
Story3	B14	UDStIS32 Max	-4.6955	1.8374	69.12	23.686	1	6	0.012929
Story3	B14	UDStIS32 Max	-4.6502	4.4507	69.12	23.686	1	6	0.031317
Story3	B14	UDStIS32 Max	-4.6048	7.0386	69.12	23.686	1	6	0.049527
Story3	B14	UDStIS32 Max	-0.3737	7.0385	69.12	23.686	1	6	0.049526
Story3	B14	UDStIS32 Max	-0.3308	7.2249	69.12	23.686	1	6	0.050838
Story3	B14	UDStIS32 Max	-0.2878	7.3886	69.12	23.686	1	6	0.05199
Story3	B14	UDStIS32 Max	-0.2449	7.5295	69.12	23.686	1	6	0.052981
Story3	B14	UDStIS32 Max	3.9674	7.5295	69.12	23.686	1	6	0.052981
Story3	B14	UDStIS32 Max	4.0103	5.4417	69.12	23.686	1	6	0.038291
Story3	B14	UDStIS32 Max	4.0532	3.4048	69.12	23.686	1	6	0.023958
Story3	B14	UDStIS32 Max	4.0961	1.3452	69.12	23.686	1	6	0.009466
Story3	B14	UDStIS32 Max	8.324	1.3453	69.12	23.686	1	6	0.009466
Story3	B14	UDStIS32 Max	8.3693	-3.2193	69.12	23.686	1	6	0.022653
Story3	B14	UDStIS32 Max	8.4147	-7.8093	69.12	23.686	1	6	0.05495
Story3	B14	UDStIS32 Max	8.4147	-7.8093	69.12	23.686	1	6	0.05495
Story3	B14	UDStIS32 Max	8.4247	-8.8222	69.12	23.686	1	6	0.062077
Story3	B14	UDStIS32 Max	8.4247	-8.8222	69.12	23.686	1	6	0.062077
Story3	B14	UDStIS32 Max	8.4446	-10.8517	69.12	23.686	1	6	0.076358
Story3	B14	UDStIS32 Min	-4.8986	-0.5173	69.12	23.686	1	6	0.00364
Story3	B14	UDStIS32 Min	-4.8787	0.6853	69.12	23.686	1	6	0.004822
Story3	B14	UDStIS32 Min	-4.8787	0.6853	69.12	23.686	1	6	0.004822
Story3	B14	UDStIS32 Min	-4.8687	1.2847	69.12	23.686	1	6	0.00904

Story3	B14	UDStIS32 Min	-4.8687	1.2847	69.12	23.686	1	6	0.00904
Story3	B14	UDStIS32 Min	-4.8233	3.9949	69.12	23.686	1	6	0.02811
Story3	B14	UDStIS32 Min	-4.778	6.6797	69.12	23.686	1	6	0.047002
Story3	B14	UDStIS32 Min	-0.5534	6.6795	69.12	23.686	1	6	0.047
Story3	B14	UDStIS32 Min	-0.5105	6.961	69.12	23.686	1	6	0.048981
Story3	B14	UDStIS32 Min	-0.4676	7.2198	69.12	23.686	1	6	0.050802
Story3	B14	UDStIS32 Min	-0.4247	7.4559	69.12	23.686	1	6	0.052463
Story3	B14	UDStIS32 Min	3.7849	7.4559	69.12	23.686	1	6	0.052463
Story3	B14	UDStIS32 Min	3.8278	5.4188	69.12	23.686	1	6	0.038129
Story3	B14	UDStIS32 Min	3.8707	3.2853	69.12	23.686	1	6	0.023117
Story3	B14	UDStIS32 Min	3.9136	1.1291	69.12	23.686	1	6	0.007945
Story3	B14	UDStIS32 Min	8.1393	1.1293	69.12	23.686	1	6	0.007946
Story3	B14	UDStIS32 Min	8.1847	-3.5386	69.12	23.686	1	6	0.024899
Story3	B14	UDStIS32 Min	8.2301	-8.2318	69.12	23.686	1	6	0.057923
Story3	B14	UDStIS32 Min	8.2301	-8.2318	69.12	23.686	1	6	0.057923
Story3	B14	UDStIS32 Min	8.24	-9.2675	69.12	23.686	1	6	0.065211
Story3	B14	UDStIS32 Min	8.24	-9.2675	69.12	23.686	1	6	0.065211
Story3	B14	UDStIS32 Min	8.26	-11.3424	69.12	23.686	1	6	0.079811

Story4									
TABLE: Beam Forces									
Story	Beam	Load Case/Combo	V2	M3	ظرفیت برشی ۲	ظرفیت خمشی ۳			
			tonf	tonf-m	tonf	tonf-m	K	m	معیار پذیرش
Story4	B6	UDStIS32 Max	-1.0734	-1.149	69.12	23.686	1	6	0.008085
Story4	B6	UDStIS32 Max	-1.0621	-0.9985	69.12	23.686	1	6	0.007026
Story4	B6	UDStIS32 Max	-1.0621	-0.9985	69.12	23.686	1	6	0.007026
Story4	B6	UDStIS32 Max	-1.0564	-0.9239	69.12	23.686	1	6	0.006501
Story4	B6	UDStIS32 Max	-1.0564	-0.9239	69.12	23.686	1	6	0.006501
Story4	B6	UDStIS32 Max	-1.0189	-0.4416	69.12	23.686	1	6	0.003107
Story4	B6	UDStIS32 Max	-0.9815	0.0234	69.12	23.686	1	6	0.000165
Story4	B6	UDStIS32 Max	-0.4603	0.0234	69.12	23.686	1	6	0.000165
Story4	B6	UDStIS32 Max	-0.427	0.2087	69.12	23.686	1	6	0.001469
Story4	B6	UDStIS32 Max	-0.3936	0.3802	69.12	23.686	1	6	0.002675
Story4	B6	UDStIS32 Max	-0.3603	0.538	69.12	23.686	1	6	0.003786
Story4	B6	UDStIS32 Max	0.1609	0.538	69.12	23.686	1	6	0.003786
Story4	B6	UDStIS32 Max	0.1983	0.4583	69.12	23.686	1	6	0.003225
Story4	B6	UDStIS32 Max	0.2358	0.3613	69.12	23.686	1	6	0.002542
Story4	B6	UDStIS32 Max	0.2358	0.3613	69.12	23.686	1	6	0.002542
Story4	B6	UDStIS32 Max	0.2414	0.3451	69.12	23.686	1	6	0.002428
Story4	B6	UDStIS32 Max	0.2414	0.3451	69.12	23.686	1	6	0.002428
Story4	B6	UDStIS32 Max	0.2528	0.3115	69.12	23.686	1	6	0.002192
Story4	B6	UDStIS32 Min	-1.0804	-1.1497	69.12	23.686	1	6	0.00809
Story4	B6	UDStIS32 Min	-1.0691	-1.0002	69.12	23.686	1	6	0.007038
Story4	B6	UDStIS32 Min	-1.0691	-1.0002	69.12	23.686	1	6	0.007038
Story4	B6	UDStIS32 Min	-1.0634	-0.926	69.12	23.686	1	6	0.006516
Story4	B6	UDStIS32 Min	-1.0634	-0.926	69.12	23.686	1	6	0.006516
Story4	B6	UDStIS32 Min	-1.026	-0.447	69.12	23.686	1	6	0.003145

Story4	B6	UDStIS32 Min	-0.9885	0.0148	69.12	23.686	1	6	0.000104
Story4	B6	UDStIS32 Min	-0.4673	0.0148	69.12	23.686	1	6	0.000104
Story4	B6	UDStIS32 Min	-0.4339	0.1972	69.12	23.686	1	6	0.001388
Story4	B6	UDStIS32 Min	-0.4006	0.3658	69.12	23.686	1	6	0.002574
Story4	B6	UDStIS32 Min	-0.3672	0.5208	69.12	23.686	1	6	0.003665
Story4	B6	UDStIS32 Min	0.1539	0.5208	69.12	23.686	1	6	0.003665
Story4	B6	UDStIS32 Min	0.1914	0.4379	69.12	23.686	1	6	0.003081
Story4	B6	UDStIS32 Min	0.2288	0.3377	69.12	23.686	1	6	0.002376
Story4	B6	UDStIS32 Min	0.2288	0.3377	69.12	23.686	1	6	0.002376
Story4	B6	UDStIS32 Min	0.2345	0.321	69.12	23.686	1	6	0.002259
Story4	B6	UDStIS32 Min	0.2345	0.321	69.12	23.686	1	6	0.002259
Story4	B6	UDStIS32 Min	0.2458	0.2864	69.12	23.686	1	6	0.002015
Story4	B9	UDStIS32 Max	-0.9306	-0.9171	69.12	23.686	1	6	0.006453
Story4	B9	UDStIS32 Max	-0.9193	-0.7876	69.12	23.686	1	6	0.005542
Story4	B9	UDStIS32 Max	-0.9193	-0.7876	69.12	23.686	1	6	0.005542
Story4	B9	UDStIS32 Max	-0.9136	-0.7235	69.12	23.686	1	6	0.005091
Story4	B9	UDStIS32 Max	-0.9136	-0.7235	69.12	23.686	1	6	0.005091
Story4	B9	UDStIS32 Max	-0.8761	-0.3103	69.12	23.686	1	6	0.002183
Story4	B9	UDStIS32 Max	-0.8387	0.0855	69.12	23.686	1	6	0.000602
Story4	B9	UDStIS32 Max	-0.3175	0.0855	69.12	23.686	1	6	0.000602
Story4	B9	UDStIS32 Max	-0.2842	0.2092	69.12	23.686	1	6	0.001472
Story4	B9	UDStIS32 Max	-0.2508	0.3191	69.12	23.686	1	6	0.002245
Story4	B9	UDStIS32 Max	-0.2175	0.4181	69.12	23.686	1	6	0.002942
Story4	B9	UDStIS32 Max	0.3038	0.4181	69.12	23.686	1	6	0.002942
Story4	B9	UDStIS32 Max	0.3413	0.2988	69.12	23.686	1	6	0.002103
Story4	B9	UDStIS32 Max	0.3787	0.1623	69.12	23.686	1	6	0.001142
Story4	B9	UDStIS32 Max	0.3787	0.1623	69.12	23.686	1	6	0.001142
Story4	B9	UDStIS32 Max	0.3844	0.1401	69.12	23.686	1	6	0.000986
Story4	B9	UDStIS32 Max	0.3844	0.1401	69.12	23.686	1	6	0.000986
Story4	B9	UDStIS32 Max	0.3957	0.0945	69.12	23.686	1	6	0.000665
Story4	B9	UDStIS32 Min	-0.9949	-1.0665	69.12	23.686	1	6	0.007504
Story4	B9	UDStIS32 Min	-0.9835	-0.928	69.12	23.686	1	6	0.00653
Story4	B9	UDStIS32 Min	-0.9835	-0.928	69.12	23.686	1	6	0.00653
Story4	B9	UDStIS32 Min	-0.9778	-0.8593	69.12	23.686	1	6	0.006046
Story4	B9	UDStIS32 Min	-0.9778	-0.8593	69.12	23.686	1	6	0.006046
Story4	B9	UDStIS32 Min	-0.9404	-0.4166	69.12	23.686	1	6	0.002931
Story4	B9	UDStIS32 Min	-0.903	0.009	69.12	23.686	1	6	6.33E-05
Story4	B9	UDStIS32 Min	-0.3817	0.009	69.12	23.686	1	6	6.33E-05
Story4	B9	UDStIS32 Min	-0.3484	0.159	69.12	23.686	1	6	0.001119
Story4	B9	UDStIS32 Min	-0.315	0.2954	69.12	23.686	1	6	0.002079
Story4	B9	UDStIS32 Min	-0.2817	0.4154	69.12	23.686	1	6	0.002923
Story4	B9	UDStIS32 Min	0.2396	0.4154	69.12	23.686	1	6	0.002923
Story4	B9	UDStIS32 Min	0.277	0.2665	69.12	23.686	1	6	0.001875
Story4	B9	UDStIS32 Min	0.3145	0.1003	69.12	23.686	1	6	0.000706
Story4	B9	UDStIS32 Min	0.3145	0.1003	69.12	23.686	1	6	0.000706
Story4	B9	UDStIS32 Min	0.3202	0.0736	69.12	23.686	1	6	0.000518
Story4	B9	UDStIS32 Min	0.3202	0.0736	69.12	23.686	1	6	0.000518
Story4	B9	UDStIS32 Min	0.3315	0.019	69.12	23.686	1	6	0.000134

معیار پذیرش - ستون‌ها

STORY1															
TABLE: Column Forces															
Story	Column	Load Case/Combo	P	V2	V3	M2	M3	ظرفیت محوری	ظرفیت برشی ۲	ظرفیت برشی ۳	ظرفیت خمشی ۲	ظرفیت خمشی ۳			
			tonf	tonf	tonf	tonf-m	tonf-m	tonf	tonf	tonf	tonf-m	tonf-m	K	m	Acc
Story1	C1	UDStIS31 Max	17.7101	-7.012	24.1224	59.5346	-16.7224	312.9647	88.56	88.56	29.862	29.862	1	6	0.332276
Story1	C1	UDStIS31 Max	17.7342	-7.012	24.1224	55.796	-15.6358	312.9647	88.56	88.56	29.862	29.862	1	6	0.31141
Story1	C1	UDStIS31 Max	17.7342	-7.012	24.1224	55.796	-15.6358	312.9647	88.56	88.56	29.862	29.862	1	6	0.31141
Story1	C1	UDStIS31 Max	17.7462	-7.012	24.1224	53.9181	-15.0901	312.9647	88.56	88.56	29.862	29.862	1	6	0.300929
Story1	C1	UDStIS31 Max	17.7462	-7.012	24.1224	53.9181	-15.0901	312.9647	88.56	88.56	29.862	29.862	1	6	0.300929
Story1	C1	UDStIS31 Max	18.0113	-7.012	24.1224	11.5795	-2.8009	312.9647	88.56	88.56	29.862	29.862	1	6	0.064628
Story1	C1	UDStIS31 Max	18.2764	-7.012	24.1224	-27.5727	12.8308	312.9647	88.56	88.56	29.862	29.862	1	6	0.15389
Story1	C1	UDStIS31 Max	18.2764	-7.012	24.1224	-27.5727	12.8308	312.9647	88.56	88.56	29.862	29.862	1	6	0.15389
Story1	C1	UDStIS31 Max	18.2884	-7.012	24.1224	-29.2721	13.5982	312.9647	88.56	88.56	29.862	29.862	1	6	0.163374
Story1	C1	UDStIS31 Max	18.2884	-7.012	24.1224	-29.2721	13.5982	312.9647	88.56	88.56	29.862	29.862	1	6	0.163374
Story1	C1	UDStIS31 Max	18.3125	-7.012	24.1224	-32.6617	15.1288	312.9647	88.56	88.56	29.862	29.862	1	6	0.182292
Story1	C1	UDStIS31 Min	13.26	-9.6185	21.2494	52.4582	-23.3524	312.9647	88.56	88.56	29.862	29.862	1	6	0.292781
Story1	C1	UDStIS31 Min	13.2841	-9.6185	21.2494	49.1649	-21.8618	312.9647	88.56	88.56	29.862	29.862	1	6	0.274401
Story1	C1	UDStIS31 Min	13.2841	-9.6185	21.2494	49.1649	-21.8618	312.9647	88.56	88.56	29.862	29.862	1	6	0.274401
Story1	C1	UDStIS31 Min	13.2962	-9.6185	21.2494	47.5107	-21.1131	312.9647	88.56	88.56	29.862	29.862	1	6	0.265168
Story1	C1	UDStIS31 Min	13.2962	-9.6185	21.2494	47.5107	-21.1131	312.9647	88.56	88.56	29.862	29.862	1	6	0.265168
Story1	C1	UDStIS31 Min	13.5613	-9.6185	21.2494	10.2142	-4.2431	312.9647	88.56	88.56	29.862	29.862	1	6	0.057008
Story1	C1	UDStIS31 Min	13.8263	-9.6185	21.2494	-31.3151	9.6227	312.9647	88.56	88.56	29.862	29.862	1	6	0.174777
Story1	C1	UDStIS31 Min	13.8263	-9.6185	21.2494	-31.3151	9.6227	312.9647	88.56	88.56	29.862	29.862	1	6	0.174777
Story1	C1	UDStIS31 Min	13.8384	-9.6185	21.2494	-33.2441	10.1808	312.9647	88.56	88.56	29.862	29.862	1	6	0.185543
Story1	C1	UDStIS31 Min	13.8384	-9.6185	21.2494	-33.2441	10.1808	312.9647	88.56	88.56	29.862	29.862	1	6	0.185543
Story1	C1	UDStIS31 Min	13.8625	-9.6185	21.2494	-37.0919	11.2938	312.9647	88.56	88.56	29.862	29.862	1	6	0.207018
Story1	C2	UDStIS31 Max	-60.673	-6.9626	29.5582	67.1528	-16.5295	312.9647	88.56	88.56	29.862	29.862	1	6	0.374795
Story1	C2	UDStIS31 Max	-60.6489	-6.9626	29.5582	62.5722	-15.4504	312.9647	88.56	88.56	29.862	29.862	1	6	0.34923
Story1	C2	UDStIS31 Max	-60.6489	-6.9626	29.5582	62.5722	-15.4504	312.9647	88.56	88.56	29.862	29.862	1	6	0.34923

Story1	C2	UDStIS31 Max	-60.6368	-6.9626	29.5582	60.2719	-14.9084	312.9647	88.56	88.56	29.862	29.862	1	6	0.336391
Story1	C2	UDStIS31 Max	-60.6368	-6.9626	29.5582	60.2719	-14.9084	312.9647	88.56	88.56	29.862	29.862	1	6	0.336391
Story1	C2	UDStIS31 Max	-60.3718	-6.9626	29.5582	8.5034	-2.6911	312.9647	88.56	88.56	29.862	29.862	1	6	0.047459
Story1	C2	UDStIS31 Max	-60.1067	-6.9626	29.5582	-38.5193	10.6215	312.9647	88.56	88.56	29.862	29.862	1	6	0.214985
Story1	C2	UDStIS31 Max	-60.1067	-6.9626	29.5582	-38.5193	10.6215	312.9647	88.56	88.56	29.862	29.862	1	6	0.214985
Story1	C2	UDStIS31 Max	-60.0947	-6.9626	29.5582	-40.5817	11.2417	312.9647	88.56	88.56	29.862	29.862	1	6	0.226496
Story1	C2	UDStIS31 Max	-60.0947	-6.9626	29.5582	-40.5817	11.2417	312.9647	88.56	88.56	29.862	29.862	1	6	0.226496
Story1	C2	UDStIS31 Max	-60.0706	-6.9626	29.5582	-44.6936	12.4785	312.9647	88.56	88.56	29.862	29.862	1	6	0.249445
Story1	C2	UDStIS31 Min	-63.1109	-7.7766	26.0573	59.1963	-18.6527	312.9647	88.56	88.56	29.862	29.862	1	6	0.330388
Story1	C2	UDStIS31 Min	-63.0868	-7.7766	26.0573	55.1582	-17.4473	312.9647	88.56	88.56	29.862	29.862	1	6	0.307851
Story1	C2	UDStIS31 Min	-63.0868	-7.7766	26.0573	55.1582	-17.4473	312.9647	88.56	88.56	29.862	29.862	1	6	0.307851
Story1	C2	UDStIS31 Min	-63.0747	-7.7766	26.0573	53.1304	-16.8419	312.9647	88.56	88.56	29.862	29.862	1	6	0.296533
Story1	C2	UDStIS31 Min	-63.0747	-7.7766	26.0573	53.1304	-16.8419	312.9647	88.56	88.56	29.862	29.862	1	6	0.296533
Story1	C2	UDStIS31 Min	-62.8097	-7.7766	26.0573	7.4935	-3.1902	312.9647	88.56	88.56	29.862	29.862	1	6	0.041823
Story1	C2	UDStIS31 Min	-62.5446	-7.7766	26.0573	-43.6917	9.6612	312.9647	88.56	88.56	29.862	29.862	1	6	0.243853
Story1	C2	UDStIS31 Min	-62.5446	-7.7766	26.0573	-43.6917	9.6612	312.9647	88.56	88.56	29.862	29.862	1	6	0.243853
Story1	C2	UDStIS31 Min	-62.5326	-7.7766	26.0573	-46.0312	10.2157	312.9647	88.56	88.56	29.862	29.862	1	6	0.256911
Story1	C2	UDStIS31 Min	-62.5326	-7.7766	26.0573	-46.0312	10.2157	312.9647	88.56	88.56	29.862	29.862	1	6	0.256911
Story1	C2	UDStIS31 Min	-62.5085	-7.7766	26.0573	-50.6956	11.3213	312.9647	88.56	88.56	29.862	29.862	1	6	0.282944
Story1	C3	UDStIS31 Max	-44.614	-6.0718	29.2008	66.7431	-14.1199	312.9647	88.56	88.56	29.862	29.862	1	6	0.372509
Story1	C3	UDStIS31 Max	-44.5899	-6.0718	29.2008	62.2164	-13.1786	312.9647	88.56	88.56	29.862	29.862	1	6	0.347244
Story1	C3	UDStIS31 Max	-44.5899	-6.0718	29.2008	62.2164	-13.1786	312.9647	88.56	88.56	29.862	29.862	1	6	0.347244
Story1	C3	UDStIS31 Max	-44.5778	-6.0718	29.2008	59.9423	-12.7057	312.9647	88.56	88.56	29.862	29.862	1	6	0.334552
Story1	C3	UDStIS31 Max	-44.5778	-6.0718	29.2008	59.9423	-12.7057	312.9647	88.56	88.56	29.862	29.862	1	6	0.334552
Story1	C3	UDStIS31 Max	-44.3128	-6.0718	29.2008	8.6621	-2.0344	312.9647	88.56	88.56	29.862	29.862	1	6	0.048345
Story1	C3	UDStIS31 Max	-44.0477	-6.0718	29.2008	-37.9874	9.6806	312.9647	88.56	88.56	29.862	29.862	1	6	0.212016
Story1	C3	UDStIS31 Max	-44.0477	-6.0718	29.2008	-37.9874	9.6806	312.9647	88.56	88.56	29.862	29.862	1	6	0.212016
Story1	C3	UDStIS31 Max	-44.0356	-6.0718	29.2008	-40.0302	10.2305	312.9647	88.56	88.56	29.862	29.862	1	6	0.223418
Story1	C3	UDStIS31 Max	-44.0356	-6.0718	29.2008	-40.0302	10.2305	312.9647	88.56	88.56	29.862	29.862	1	6	0.223418
Story1	C3	UDStIS31 Max	-44.0115	-6.0718	29.2008	-44.102	11.3269	312.9647	88.56	88.56	29.862	29.862	1	6	0.246143
Story1	C3	UDStIS31 Min	-46.2335	-6.8941	25.7426	58.8356	-16.318	312.9647	88.56	88.56	29.862	29.862	1	6	0.328375

Story1	C3	UDStIS31 Min	-46.2094	-6.8941	25.7426	54.8451	-15.2492	312.9647	88.56	88.56	29.862	29.862	1	6	0.306103
Story1	C3	UDStIS31 Min	-46.2094	-6.8941	25.7426	54.8451	-15.2492	312.9647	88.56	88.56	29.862	29.862	1	6	0.306103
Story1	C3	UDStIS31 Min	-46.1974	-6.8941	25.7426	52.8403	-14.7121	312.9647	88.56	88.56	29.862	29.862	1	6	0.294914
Story1	C3	UDStIS31 Min	-46.1974	-6.8941	25.7426	52.8403	-14.7121	312.9647	88.56	88.56	29.862	29.862	1	6	0.294914
Story1	C3	UDStIS31 Min	-45.9323	-6.8941	25.7426	7.6332	-2.5858	312.9647	88.56	88.56	29.862	29.862	1	6	0.042603
Story1	C3	UDStIS31 Min	-45.6672	-6.8941	25.7426	-43.0873	8.747	312.9647	88.56	88.56	29.862	29.862	1	6	0.24048
Story1	C3	UDStIS31 Min	-45.6672	-6.8941	25.7426	-43.0873	8.747	312.9647	88.56	88.56	29.862	29.862	1	6	0.24048
Story1	C3	UDStIS31 Min	-45.6552	-6.8941	25.7426	-45.4045	9.2301	312.9647	88.56	88.56	29.862	29.862	1	6	0.253413
Story1	C3	UDStIS31 Min	-45.6552	-6.8941	25.7426	-45.4045	9.2301	312.9647	88.56	88.56	29.862	29.862	1	6	0.253413
Story1	C3	UDStIS31 Min	-45.6311	-6.8941	25.7426	-50.0233	10.1931	312.9647	88.56	88.56	29.862	29.862	1	6	0.279192
Story1	C5	UDStIS31 Max	-32.5953	-7.7401	21.2148	52.8572	-17.9679	312.9647	88.56	88.56	29.862	29.862	1	6	0.295008
Story1	C5	UDStIS31 Max	-32.5712	-7.7401	21.2148	49.5589	-16.7651	312.9647	88.56	88.56	29.862	29.862	1	6	0.2766
Story1	C5	UDStIS31 Max	-32.5712	-7.7401	21.2148	49.5589	-16.7651	312.9647	88.56	88.56	29.862	29.862	1	6	0.2766
Story1	C5	UDStIS31 Max	-32.5591	-7.7401	21.2148	47.8961	-16.159	312.9647	88.56	88.56	29.862	29.862	1	6	0.267319
Story1	C5	UDStIS31 Max	-32.5591	-7.7401	21.2148	47.8961	-16.159	312.9647	88.56	88.56	29.862	29.862	1	6	0.267319
Story1	C5	UDStIS31 Max	-32.2941	-7.7401	21.2148	9.6561	-2.281	312.9647	88.56	88.56	29.862	29.862	1	6	0.053893
Story1	C5	UDStIS31 Max	-32.029	-7.7401	21.2148	-28.4957	17.7657	312.9647	88.56	88.56	29.862	29.862	1	6	0.159041
Story1	C5	UDStIS31 Max	-32.029	-7.7401	21.2148	-28.4957	17.7657	312.9647	88.56	88.56	29.862	29.862	1	6	0.159041
Story1	C5	UDStIS31 Max	-32.017	-7.7401	21.2148	-30.1803	18.6879	312.9647	88.56	88.56	29.862	29.862	1	6	0.168443
Story1	C5	UDStIS31 Max	-32.017	-7.7401	21.2148	-30.1803	18.6879	312.9647	88.56	88.56	29.862	29.862	1	6	0.168443
Story1	C5	UDStIS31 Max	-31.9929	-7.7401	21.2148	-33.5327	20.5221	312.9647	88.56	88.56	29.862	29.862	1	6	0.187154
Story1	C5	UDStIS31 Min	-43.2535	-11.4687	20.5372	51.152	-26.2651	312.9647	88.56	88.56	29.862	29.862	1	6	0.285491
Story1	C5	UDStIS31 Min	-43.2294	-11.4687	20.5372	47.9591	-24.483	312.9647	88.56	88.56	29.862	29.862	1	6	0.267671
Story1	C5	UDStIS31 Min	-43.2294	-11.4687	20.5372	47.9591	-24.483	312.9647	88.56	88.56	29.862	29.862	1	6	0.267671
Story1	C5	UDStIS31 Min	-43.2174	-11.4687	20.5372	46.3494	-23.5851	312.9647	88.56	88.56	29.862	29.862	1	6	0.258687
Story1	C5	UDStIS31 Min	-43.2174	-11.4687	20.5372	46.3494	-23.5851	312.9647	88.56	88.56	29.862	29.862	1	6	0.258687
Story1	C5	UDStIS31 Min	-42.9523	-11.4687	20.5372	9.3316	-3.0416	312.9647	88.56	88.56	29.862	29.862	1	6	0.052082
Story1	C5	UDStIS31 Min	-42.6873	-11.4687	20.5372	-29.4216	11.7949	312.9647	88.56	88.56	29.862	29.862	1	6	0.164209
Story1	C5	UDStIS31 Min	-42.6873	-11.4687	20.5372	-29.4216	11.7949	312.9647	88.56	88.56	29.862	29.862	1	6	0.164209
Story1	C5	UDStIS31 Min	-42.6752	-11.4687	20.5372	-31.162	12.4193	312.9647	88.56	88.56	29.862	29.862	1	6	0.173922
Story1	C5	UDStIS31 Min	-42.6752	-11.4687	20.5372	-31.162	12.4193	312.9647	88.56	88.56	29.862	29.862	1	6	0.173922

Story1	C5	UDStIS31 Min	-42.6511	-11.4687	20.5372	-34.6252	13.6611	312.9647	88.56	88.56	29.862	29.862	1	6	0.193251
Story1	C6	UDStIS31 Max	-81.9487	-6.4738	25.4106	58.2572	-15.9108	312.9647	88.56	88.56	29.862	29.862	1	6	0.325147
Story1	C6	UDStIS31 Max	-81.9246	-6.4738	25.4106	54.3159	-14.9064	312.9647	88.56	88.56	29.862	29.862	1	6	0.303149
Story1	C6	UDStIS31 Max	-81.9246	-6.4738	25.4106	54.3159	-14.9064	312.9647	88.56	88.56	29.862	29.862	1	6	0.303149
Story1	C6	UDStIS31 Max	-81.9125	-6.4738	25.4106	52.3346	-14.4013	312.9647	88.56	88.56	29.862	29.862	1	6	0.292091
Story1	C6	UDStIS31 Max	-81.9125	-6.4738	25.4106	52.3346	-14.4013	312.9647	88.56	88.56	29.862	29.862	1	6	0.292091
Story1	C6	UDStIS31 Max	-81.6475	-6.4738	25.4106	7.5015	-2.937	312.9647	88.56	88.56	29.862	29.862	1	6	0.041868
Story1	C6	UDStIS31 Max	-81.3824	-6.4738	25.4106	-36.594	10.3607	312.9647	88.56	88.56	29.862	29.862	1	6	0.20424
Story1	C6	UDStIS31 Max	-81.3824	-6.4738	25.4106	-36.594	10.3607	312.9647	88.56	88.56	29.862	29.862	1	6	0.20424
Story1	C6	UDStIS31 Max	-81.3704	-6.4738	25.4106	-38.553	10.971	312.9647	88.56	88.56	29.862	29.862	1	6	0.215173
Story1	C6	UDStIS31 Max	-81.3704	-6.4738	25.4106	-38.553	10.971	312.9647	88.56	88.56	29.862	29.862	1	6	0.215173
Story1	C6	UDStIS31 Max	-81.3463	-6.4738	25.4106	-42.4557	12.1872	312.9647	88.56	88.56	29.862	29.862	1	6	0.236955
Story1	C6	UDStIS31 Min	-84.229	-7.5846	24.5959	56.3754	-18.4572	312.9647	88.56	88.56	29.862	29.862	1	6	0.314644
Story1	C6	UDStIS31 Min	-84.2049	-7.5846	24.5959	52.5605	-17.2805	312.9647	88.56	88.56	29.862	29.862	1	6	0.293352
Story1	C6	UDStIS31 Min	-84.2049	-7.5846	24.5959	52.5605	-17.2805	312.9647	88.56	88.56	29.862	29.862	1	6	0.293352
Story1	C6	UDStIS31 Min	-84.1928	-7.5846	24.5959	50.6427	-16.6887	312.9647	88.56	88.56	29.862	29.862	1	6	0.282649
Story1	C6	UDStIS31 Min	-84.1928	-7.5846	24.5959	50.6427	-16.6887	312.9647	88.56	88.56	29.862	29.862	1	6	0.282649
Story1	C6	UDStIS31 Min	-83.9278	-7.5846	24.5959	7.2476	-3.2646	312.9647	88.56	88.56	29.862	29.862	1	6	0.040451
Story1	C6	UDStIS31 Min	-83.6627	-7.5846	24.5959	-37.7937	8.7082	312.9647	88.56	88.56	29.862	29.862	1	6	0.210935
Story1	C6	UDStIS31 Min	-83.6627	-7.5846	24.5959	-37.7937	8.7082	312.9647	88.56	88.56	29.862	29.862	1	6	0.210935
Story1	C6	UDStIS31 Min	-83.6507	-7.5846	24.5959	-39.8176	9.23	312.9647	88.56	88.56	29.862	29.862	1	6	0.222231
Story1	C6	UDStIS31 Min	-83.6507	-7.5846	24.5959	-39.8176	9.23	312.9647	88.56	88.56	29.862	29.862	1	6	0.222231
Story1	C6	UDStIS31 Min	-83.6266	-7.5846	24.5959	-43.8497	10.27	312.9647	88.56	88.56	29.862	29.862	1	6	0.244735
Story1	C7	UDStIS31 Max	-79.8135	-5.1117	24.9562	57.9886	-12.8988	312.9647	88.56	88.56	29.862	29.862	1	6	0.323648
Story1	C7	UDStIS31 Max	-79.7894	-5.1117	24.9562	54.1121	-12.1044	312.9647	88.56	88.56	29.862	29.862	1	6	0.302012
Story1	C7	UDStIS31 Max	-79.7894	-5.1117	24.9562	54.1121	-12.1044	312.9647	88.56	88.56	29.862	29.862	1	6	0.302012
Story1	C7	UDStIS31 Max	-79.7774	-5.1117	24.9562	52.1599	-11.7041	312.9647	88.56	88.56	29.862	29.862	1	6	0.291116
Story1	C7	UDStIS31 Max	-79.7774	-5.1117	24.9562	52.1599	-11.7041	312.9647	88.56	88.56	29.862	29.862	1	6	0.291116
Story1	C7	UDStIS31 Max	-79.5123	-5.1117	24.9562	7.5825	-2.5206	312.9647	88.56	88.56	29.862	29.862	1	6	0.04232
Story1	C7	UDStIS31 Max	-79.2472	-5.1117	24.9562	-36.412	8.5467	312.9647	88.56	88.56	29.862	29.862	1	6	0.203224
Story1	C7	UDStIS31 Max	-79.2472	-5.1117	24.9562	-36.412	8.5467	312.9647	88.56	88.56	29.862	29.862	1	6	0.203224

Story1	C7	UDStIS31 Max	-79.2352	-5.1117	24.9562	-38.3561	9.0569	312.9647	88.56	88.56	29.862	29.862	1	6	0.214074
Story1	C7	UDStIS31 Max	-79.2352	-5.1117	24.9562	-38.3561	9.0569	312.9647	88.56	88.56	29.862	29.862	1	6	0.214074
Story1	C7	UDStIS31 Max	-79.2111	-5.1117	24.9562	-42.2244	10.0724	312.9647	88.56	88.56	29.862	29.862	1	6	0.235664
Story1	C7	UDStIS31 Min	-82.8738	-6.2411	24.1565	56.116	-15.5487	312.9647	88.56	88.56	29.862	29.862	1	6	0.313196
Story1	C7	UDStIS31 Min	-82.8497	-6.2411	24.1565	52.3637	-14.5789	312.9647	88.56	88.56	29.862	29.862	1	6	0.292254
Story1	C7	UDStIS31 Min	-82.8497	-6.2411	24.1565	52.3637	-14.5789	312.9647	88.56	88.56	29.862	29.862	1	6	0.292254
Story1	C7	UDStIS31 Min	-82.8377	-6.2411	24.1565	50.4741	-14.0902	312.9647	88.56	88.56	29.862	29.862	1	6	0.281708
Story1	C7	UDStIS31 Min	-82.8377	-6.2411	24.1565	50.4741	-14.0902	312.9647	88.56	88.56	29.862	29.862	1	6	0.281708
Story1	C7	UDStIS31 Min	-82.5726	-6.2411	24.1565	7.3257	-2.8879	312.9647	88.56	88.56	29.862	29.862	1	6	0.040886
Story1	C7	UDStIS31 Min	-82.3076	-6.2411	24.1565	-37.6049	6.8656	312.9647	88.56	88.56	29.862	29.862	1	6	0.209882
Story1	C7	UDStIS31 Min	-82.3076	-6.2411	24.1565	-37.6049	6.8656	312.9647	88.56	88.56	29.862	29.862	1	6	0.209882
Story1	C7	UDStIS31 Min	-82.2955	-6.2411	24.1565	-39.6135	7.2847	312.9647	88.56	88.56	29.862	29.862	1	6	0.221092
Story1	C7	UDStIS31 Min	-82.2955	-6.2411	24.1565	-39.6135	7.2847	312.9647	88.56	88.56	29.862	29.862	1	6	0.221092
Story1	C7	UDStIS31 Min	-82.2714	-6.2411	24.1565	-43.6101	8.119	312.9647	88.56	88.56	29.862	29.862	1	6	0.243398
Story1	C8	UDStIS31 Max	-135.981	-2.9026	19.0011	49.8258	-7.4105	312.9647	88.56	88.56	29.862	29.862	1	6	0.278089
Story1	C8	UDStIS31 Max	-135.957	-2.9026	19.0011	46.8702	-6.9591	312.9647	88.56	88.56	29.862	29.862	1	6	0.261593
Story1	C8	UDStIS31 Max	-135.957	-2.9026	19.0011	46.8702	-6.9591	312.9647	88.56	88.56	29.862	29.862	1	6	0.261593
Story1	C8	UDStIS31 Max	-135.945	-2.9026	19.0011	45.3791	-6.7314	312.9647	88.56	88.56	29.862	29.862	1	6	0.253271
Story1	C8	UDStIS31 Max	-135.945	-2.9026	19.0011	45.3791	-6.7314	312.9647	88.56	88.56	29.862	29.862	1	6	0.253271
Story1	C8	UDStIS31 Max	-135.679	-2.9026	19.0011	10.9326	-1.4809	312.9647	88.56	88.56	29.862	29.862	1	6	0.061017
Story1	C8	UDStIS31 Max	-135.45	-2.9026	19.0011	-19.0825	7.6731	312.9647	88.56	88.56	29.862	29.862	1	6	0.106504
Story1	C8	UDStIS31 Max	-132.772	-2.8916	24.9109	-19.0825	7.6731	312.9647	88.56	88.56	29.862	29.862	1	6	0.106504
Story1	C8	UDStIS31 Max	-132.736	-2.8916	24.9109	-24.9806	9.2393	312.9647	88.56	88.56	29.862	29.862	1	6	0.139422
Story1	C8	UDStIS31 Max	-132.736	-2.8916	24.9109	-24.9806	9.2393	312.9647	88.56	88.56	29.862	29.862	1	6	0.139422
Story1	C8	UDStIS31 Max	-132.724	-2.8916	24.9109	-26.9659	9.7655	312.9647	88.56	88.56	29.862	29.862	1	6	0.150503
Story1	C8	UDStIS31 Max	-132.724	-2.8916	24.9109	-26.9659	9.7655	312.9647	88.56	88.56	29.862	29.862	1	6	0.150503
Story1	C8	UDStIS31 Max	-132.7	-2.8916	24.9109	-30.922	10.8128	312.9647	88.56	88.56	29.862	29.862	1	6	0.172583
Story1	C8	UDStIS31 Min	-147.123	-6.4437	18.354	48.1627	-15.7269	312.9647	88.56	88.56	29.862	29.862	1	6	0.268807
Story1	C8	UDStIS31 Min	-147.098	-6.4437	18.354	45.3078	-14.7251	312.9647	88.56	88.56	29.862	29.862	1	6	0.252873
Story1	C8	UDStIS31 Min	-147.098	-6.4437	18.354	45.3078	-14.7251	312.9647	88.56	88.56	29.862	29.862	1	6	0.252873
Story1	C8	UDStIS31 Min	-147.086	-6.4437	18.354	43.8674	-14.22	312.9647	88.56	88.56	29.862	29.862	1	6	0.244834

Story1	C8	UDStIS31 Min	-147.086	-6.4437	18.354	43.8674	-14.22	312.9647	88.56	88.56	29.862	29.862	1	6	0.244834
Story1	C8	UDStIS31 Min	-146.821	-6.4437	18.354	10.5921	-2.6056	312.9647	88.56	88.56	29.862	29.862	1	6	0.059117
Story1	C8	UDStIS31 Min	-146.592	-6.4437	18.354	-19.784	3.1877	312.9647	88.56	88.56	29.862	29.862	1	6	0.110419
Story1	C8	UDStIS31 Min	-143.971	-6.4629	24.3709	-19.784	3.1877	312.9647	88.56	88.56	29.862	29.862	1	6	0.110419
Story1	C8	UDStIS31 Min	-143.935	-6.4629	24.3709	-25.8162	3.8959	312.9647	88.56	88.56	29.862	29.862	1	6	0.144086
Story1	C8	UDStIS31 Min	-143.935	-6.4629	24.3709	-25.8162	3.8959	312.9647	88.56	88.56	29.862	29.862	1	6	0.144086
Story1	C8	UDStIS31 Min	-143.923	-6.4629	24.3709	-27.8467	4.134	312.9647	88.56	88.56	29.862	29.862	1	6	0.155419
Story1	C8	UDStIS31 Min	-143.923	-6.4629	24.3709	-27.8467	4.134	312.9647	88.56	88.56	29.862	29.862	1	6	0.155419
Story1	C8	UDStIS31 Min	-143.899	-6.4629	24.3709	-31.8924	4.6079	312.9647	88.56	88.56	29.862	29.862	1	6	0.177999
Story1	C9	UDStIS31 Max	88.8257	-7.0936	21.516	51.7706	-16.616	312.9647	88.56	88.56	29.862	29.862	1	6	0.288944
Story1	C9	UDStIS31 Max	88.8498	-7.0936	21.516	48.4463	-15.5201	312.9647	88.56	88.56	29.862	29.862	1	6	0.27039
Story1	C9	UDStIS31 Max	88.8498	-7.0936	21.516	48.4463	-15.5201	312.9647	88.56	88.56	29.862	29.862	1	6	0.27039
Story1	C9	UDStIS31 Max	88.8619	-7.0936	21.516	46.7828	-14.9717	312.9647	88.56	88.56	29.862	29.862	1	6	0.261106
Story1	C9	UDStIS31 Max	88.8619	-7.0936	21.516	46.7828	-14.9717	312.9647	88.56	88.56	29.862	29.862	1	6	0.261106
Story1	C9	UDStIS31 Max	89.1269	-7.0936	21.516	10.0316	-2.8576	312.9647	88.56	88.56	29.862	29.862	1	6	0.055989
Story1	C9	UDStIS31 Max	89.392	-7.0936	21.516	-23.9897	13.3536	312.9647	88.56	88.56	29.862	29.862	1	6	0.133892
Story1	C9	UDStIS31 Max	89.392	-7.0936	21.516	-23.9897	13.3536	312.9647	88.56	88.56	29.862	29.862	1	6	0.133892
Story1	C9	UDStIS31 Max	89.404	-7.0936	21.516	-25.4873	14.144	312.9647	88.56	88.56	29.862	29.862	1	6	0.14225
Story1	C9	UDStIS31 Max	89.404	-7.0936	21.516	-25.4873	14.144	312.9647	88.56	88.56	29.862	29.862	1	6	0.14225
Story1	C9	UDStIS31 Max	89.4281	-7.0936	21.516	-28.481	15.7239	312.9647	88.56	88.56	29.862	29.862	1	6	0.158959
Story1	C9	UDStIS31 Min	82.6215	-10.1839	19.283	46.432	-23.8246	312.9647	88.56	88.56	29.862	29.862	1	6	0.259148
Story1	C9	UDStIS31 Min	82.6456	-10.1839	19.283	43.4527	-22.2511	312.9647	88.56	88.56	29.862	29.862	1	6	0.242519
Story1	C9	UDStIS31 Min	82.6456	-10.1839	19.283	43.4527	-22.2511	312.9647	88.56	88.56	29.862	29.862	1	6	0.242519
Story1	C9	UDStIS31 Min	82.6577	-10.1839	19.283	41.9619	-21.4638	312.9647	88.56	88.56	29.862	29.862	1	6	0.234199
Story1	C9	UDStIS31 Min	82.6577	-10.1839	19.283	41.9619	-21.4638	312.9647	88.56	88.56	29.862	29.862	1	6	0.234199
Story1	C9	UDStIS31 Min	82.9227	-10.1839	19.283	9.0245	-4.0724	312.9647	88.56	88.56	29.862	29.862	1	6	0.050368
Story1	C9	UDStIS31 Min	83.1878	-10.1839	19.283	-26.805	9.2808	312.9647	88.56	88.56	29.862	29.862	1	6	0.149605
Story1	C9	UDStIS31 Min	83.1878	-10.1839	19.283	-26.805	9.2808	312.9647	88.56	88.56	29.862	29.862	1	6	0.149605
Story1	C9	UDStIS31 Min	83.1998	-10.1839	19.283	-28.4759	9.8313	312.9647	88.56	88.56	29.862	29.862	1	6	0.158931
Story1	C9	UDStIS31 Min	83.1998	-10.1839	19.283	-28.4759	9.8313	312.9647	88.56	88.56	29.862	29.862	1	6	0.158931
Story1	C9	UDStIS31 Min	83.2239	-10.1839	19.283	-31.8163	10.9319	312.9647	88.56	88.56	29.862	29.862	1	6	0.177574

Story1	C10	UDStIS31 Max	0.7122	-6.765	26.0312	58.3295	-16.1211	312.9647	88.56	88.56	29.862	29.862	1	6	0.32555
Story1	C10	UDStIS31 Max	0.7363	-6.765	26.0312	54.3028	-15.0745	312.9647	88.56	88.56	29.862	29.862	1	6	0.303076
Story1	C10	UDStIS31 Max	0.7363	-6.765	26.0312	54.3028	-15.0745	312.9647	88.56	88.56	29.862	29.862	1	6	0.303076
Story1	C10	UDStIS31 Max	0.7484	-6.765	26.0312	52.2849	-14.55	312.9647	88.56	88.56	29.862	29.862	1	6	0.291814
Story1	C10	UDStIS31 Max	0.7484	-6.765	26.0312	52.2849	-14.55	312.9647	88.56	88.56	29.862	29.862	1	6	0.291814
Story1	C10	UDStIS31 Max	1.0134	-6.765	26.0312	7.3792	-2.864	312.9647	88.56	88.56	29.862	29.862	1	6	0.041185
Story1	C10	UDStIS31 Max	1.2785	-6.765	26.0312	-33.8139	10.2225	312.9647	88.56	88.56	29.862	29.862	1	6	0.188723
Story1	C10	UDStIS31 Max	1.2785	-6.765	26.0312	-33.8139	10.2225	312.9647	88.56	88.56	29.862	29.862	1	6	0.188723
Story1	C10	UDStIS31 Max	1.2905	-6.765	26.0312	-35.6394	10.832	312.9647	88.56	88.56	29.862	29.862	1	6	0.198912
Story1	C10	UDStIS31 Max	1.2905	-6.765	26.0312	-35.6394	10.832	312.9647	88.56	88.56	29.862	29.862	1	6	0.198912
Story1	C10	UDStIS31 Max	1.3146	-6.765	26.0312	-39.2845	12.0492	312.9647	88.56	88.56	29.862	29.862	1	6	0.219256
Story1	C10	UDStIS31 Min	-4.0791	-7.7618	23.3492	52.3375	-18.4796	312.9647	88.56	88.56	29.862	29.862	1	6	0.292108
Story1	C10	UDStIS31 Min	-4.055	-7.7618	23.3492	48.7256	-17.2788	312.9647	88.56	88.56	29.862	29.862	1	6	0.271949
Story1	C10	UDStIS31 Min	-4.055	-7.7618	23.3492	48.7256	-17.2788	312.9647	88.56	88.56	29.862	29.862	1	6	0.271949
Story1	C10	UDStIS31 Min	-4.0429	-7.7618	23.3492	46.9157	-16.677	312.9647	88.56	88.56	29.862	29.862	1	6	0.261847
Story1	C10	UDStIS31 Min	-4.0429	-7.7618	23.3492	46.9157	-16.677	312.9647	88.56	88.56	29.862	29.862	1	6	0.261847
Story1	C10	UDStIS31 Min	-3.7779	-7.7618	23.3492	6.6364	-3.2694	312.9647	88.56	88.56	29.862	29.862	1	6	0.037039
Story1	C10	UDStIS31 Min	-3.5128	-7.7618	23.3492	-37.7168	8.8957	312.9647	88.56	88.56	29.862	29.862	1	6	0.210506
Story1	C10	UDStIS31 Min	-3.5128	-7.7618	23.3492	-37.7168	8.8957	312.9647	88.56	88.56	29.862	29.862	1	6	0.210506
Story1	C10	UDStIS31 Min	-3.5007	-7.7618	23.3492	-39.7519	9.4269	312.9647	88.56	88.56	29.862	29.862	1	6	0.221864
Story1	C10	UDStIS31 Min	-3.5007	-7.7618	23.3492	-39.7519	9.4269	312.9647	88.56	88.56	29.862	29.862	1	6	0.221864
Story1	C10	UDStIS31 Min	-3.4766	-7.7618	23.3492	-43.8156	10.4879	312.9647	88.56	88.56	29.862	29.862	1	6	0.244545
Story1	C11	UDStIS31 Max	5.1372	-5.401	25.7859	58.0825	-13.0795	312.9647	88.56	88.56	29.862	29.862	1	6	0.324172
Story1	C11	UDStIS31 Max	5.1613	-5.401	25.7859	54.0922	-12.2436	312.9647	88.56	88.56	29.862	29.862	1	6	0.301901
Story1	C11	UDStIS31 Max	5.1613	-5.401	25.7859	54.0922	-12.2436	312.9647	88.56	88.56	29.862	29.862	1	6	0.301901
Story1	C11	UDStIS31 Max	5.1733	-5.401	25.7859	52.0918	-11.8245	312.9647	88.56	88.56	29.862	29.862	1	6	0.290736
Story1	C11	UDStIS31 Max	5.1733	-5.401	25.7859	52.0918	-11.8245	312.9647	88.56	88.56	29.862	29.862	1	6	0.290736
Story1	C11	UDStIS31 Max	5.4384	-5.401	25.7859	7.4715	-2.4606	312.9647	88.56	88.56	29.862	29.862	1	6	0.0417
Story1	C11	UDStIS31 Max	5.7035	-5.401	25.7859	-33.5368	8.3053	312.9647	88.56	88.56	29.862	29.862	1	6	0.187177
Story1	C11	UDStIS31 Max	5.7035	-5.401	25.7859	-33.5368	8.3053	312.9647	88.56	88.56	29.862	29.862	1	6	0.187177
Story1	C11	UDStIS31 Max	5.7155	-5.401	25.7859	-35.3509	8.8116	312.9647	88.56	88.56	29.862	29.862	1	6	0.197301

Story1	C11	UDStIS31 Max	5.7155	-5.401	25.7859	-35.3509	8.8116	312.9647	88.56	88.56	29.862	29.862	1	6	0.197301
Story1	C11	UDStIS31 Max	5.7396	-5.401	25.7859	-38.972	9.8224	312.9647	88.56	88.56	29.862	29.862	1	6	0.217512
Story1	C11	UDStIS31 Min	0.4996	-6.4182	23.1408	52.1322	-15.5299	312.9647	88.56	88.56	29.862	29.862	1	6	0.290962
Story1	C11	UDStIS31 Min	0.5237	-6.4182	23.1408	48.5512	-14.5366	312.9647	88.56	88.56	29.862	29.862	1	6	0.270975
Story1	C11	UDStIS31 Min	0.5237	-6.4182	23.1408	48.5512	-14.5366	312.9647	88.56	88.56	29.862	29.862	1	6	0.270975
Story1	C11	UDStIS31 Min	0.5358	-6.4182	23.1408	46.756	-14.0385	312.9647	88.56	88.56	29.862	29.862	1	6	0.260956
Story1	C11	UDStIS31 Min	0.5358	-6.4182	23.1408	46.756	-14.0385	312.9647	88.56	88.56	29.862	29.862	1	6	0.260956
Story1	C11	UDStIS31 Min	0.8009	-6.4182	23.1408	6.7126	-2.9113	312.9647	88.56	88.56	29.862	29.862	1	6	0.037465
Story1	C11	UDStIS31 Min	1.0659	-6.4182	23.1408	-37.3782	6.9788	312.9647	88.56	88.56	29.862	29.862	1	6	0.208616
Story1	C11	UDStIS31 Min	1.0659	-6.4182	23.1408	-37.3782	6.9788	312.9647	88.56	88.56	29.862	29.862	1	6	0.208616
Story1	C11	UDStIS31 Min	1.078	-6.4182	23.1408	-39.3996	7.4049	312.9647	88.56	88.56	29.862	29.862	1	6	0.219898
Story1	C11	UDStIS31 Min	1.078	-6.4182	23.1408	-39.3996	7.4049	312.9647	88.56	88.56	29.862	29.862	1	6	0.219898
Story1	C11	UDStIS31 Min	1.1021	-6.4182	23.1408	-43.4346	8.2556	312.9647	88.56	88.56	29.862	29.862	1	6	0.242418
Story1	C12	UDStIS31 Max	-49.4247	-2.8601	20.8529	51.1648	-7.1965	312.9647	88.56	88.56	29.862	29.862	1	6	0.285562
Story1	C12	UDStIS31 Max	-49.4006	-2.8601	20.8529	47.9377	-6.7539	312.9647	88.56	88.56	29.862	29.862	1	6	0.267551
Story1	C12	UDStIS31 Max	-49.4006	-2.8601	20.8529	47.9377	-6.7539	312.9647	88.56	88.56	29.862	29.862	1	6	0.267551
Story1	C12	UDStIS31 Max	-49.3886	-2.8601	20.8529	46.3197	-6.5319	312.9647	88.56	88.56	29.862	29.862	1	6	0.258521
Story1	C12	UDStIS31 Max	-49.3886	-2.8601	20.8529	46.3197	-6.5319	312.9647	88.56	88.56	29.862	29.862	1	6	0.258521
Story1	C12	UDStIS31 Max	-49.1235	-2.8601	20.8529	10.1852	-1.5725	312.9647	88.56	88.56	29.862	29.862	1	6	0.056846
Story1	C12	UDStIS31 Max	-48.8585	-2.8601	20.8529	-23.5386	7.6843	312.9647	88.56	88.56	29.862	29.862	1	6	0.131374
Story1	C12	UDStIS31 Max	-48.8585	-2.8601	20.8529	-23.5386	7.6843	312.9647	88.56	88.56	29.862	29.862	1	6	0.131374
Story1	C12	UDStIS31 Max	-48.8464	-2.8601	20.8529	-25.015	8.1645	312.9647	88.56	88.56	29.862	29.862	1	6	0.139614
Story1	C12	UDStIS31 Max	-48.8464	-2.8601	20.8529	-25.015	8.1645	312.9647	88.56	88.56	29.862	29.862	1	6	0.139614
Story1	C12	UDStIS31 Max	-48.8223	-2.8601	20.8529	-27.9631	9.1234	312.9647	88.56	88.56	29.862	29.862	1	6	0.156068
Story1	C12	UDStIS31 Min	-56.6819	-6.0866	18.7103	45.9217	-14.9097	312.9647	88.56	88.56	29.862	29.862	1	6	0.2563
Story1	C12	UDStIS31 Min	-56.6578	-6.0866	18.7103	43.0262	-13.9678	312.9647	88.56	88.56	29.862	29.862	1	6	0.240139
Story1	C12	UDStIS31 Min	-56.6578	-6.0866	18.7103	43.0262	-13.9678	312.9647	88.56	88.56	29.862	29.862	1	6	0.240139
Story1	C12	UDStIS31 Min	-56.6457	-6.0866	18.7103	41.5744	-13.4955	312.9647	88.56	88.56	29.862	29.862	1	6	0.232036
Story1	C12	UDStIS31 Min	-56.6457	-6.0866	18.7103	41.5744	-13.4955	312.9647	88.56	88.56	29.862	29.862	1	6	0.232036
Story1	C12	UDStIS31 Min	-56.3807	-6.0866	18.7103	9.1524	-2.9489	312.9647	88.56	88.56	29.862	29.862	1	6	0.051082
Story1	C12	UDStIS31 Min	-56.1156	-6.0866	18.7103	-26.2487	3.4331	312.9647	88.56	88.56	29.862	29.862	1	6	0.1465

Story1	C12	UDStIS31 Min	-56.1156	-6.0866	18.7103	-26.2487	3.4331	312.9647	88.56	88.56	29.862	29.862	1	6	0.1465
Story1	C12	UDStIS31 Min	-56.1036	-6.0866	18.7103	-27.8941	3.6593	312.9647	88.56	88.56	29.862	29.862	1	6	0.155683
Story1	C12	UDStIS31 Min	-56.1036	-6.0866	18.7103	-27.8941	3.6593	312.9647	88.56	88.56	29.862	29.862	1	6	0.155683
Story1	C12	UDStIS31 Min	-56.0795	-6.0866	18.7103	-31.1797	4.1109	312.9647	88.56	88.56	29.862	29.862	1	6	0.174021
Story1	C22	UDStIS31 Max	-106.827	-3.5904	22.9334	58.1088	-8.2901	312.9647	88.56	88.56	29.862	29.862	1	6	0.324319
Story1	C22	UDStIS31 Max	-106.802	-3.5904	22.9334	54.5513	-7.7333	312.9647	88.56	88.56	29.862	29.862	1	6	0.304463
Story1	C22	UDStIS31 Max	-106.802	-3.5904	22.9334	54.5513	-7.7333	312.9647	88.56	88.56	29.862	29.862	1	6	0.304463
Story1	C22	UDStIS31 Max	-106.79	-3.5904	22.9334	52.7625	-7.4535	312.9647	88.56	88.56	29.862	29.862	1	6	0.29448
Story1	C22	UDStIS31 Max	-106.79	-3.5904	22.9334	52.7625	-7.4535	312.9647	88.56	88.56	29.862	29.862	1	6	0.29448
Story1	C22	UDStIS31 Max	-106.525	-3.5904	22.9334	12.1803	-1.1301	312.9647	88.56	88.56	29.862	29.862	1	6	0.067981
Story1	C22	UDStIS31 Max	-106.296	-3.5904	22.9334	-20.6151	6.8165	312.9647	88.56	88.56	29.862	29.862	1	6	0.115058
Story1	C22	UDStIS31 Max	-104.077	-3.5793	27.4518	-20.6151	6.8165	312.9647	88.56	88.56	29.862	29.862	1	6	0.115058
Story1	C22	UDStIS31 Max	-104.041	-3.5793	27.4518	-26.5664	8.2962	312.9647	88.56	88.56	29.862	29.862	1	6	0.148273
Story1	C22	UDStIS31 Max	-104.041	-3.5793	27.4518	-26.5664	8.2962	312.9647	88.56	88.56	29.862	29.862	1	6	0.148273
Story1	C22	UDStIS31 Max	-104.029	-3.5793	27.4518	-28.5724	8.7946	312.9647	88.56	88.56	29.862	29.862	1	6	0.159469
Story1	C22	UDStIS31 Max	-104.029	-3.5793	27.4518	-28.5724	8.7946	312.9647	88.56	88.56	29.862	29.862	1	6	0.159469
Story1	C22	UDStIS31 Max	-104.005	-3.5793	27.4518	-32.5745	9.7883	312.9647	88.56	88.56	29.862	29.862	1	6	0.181806
Story1	C22	UDStIS31 Min	-110.823	-6.201	20.1239	51.0994	-15.221	312.9647	88.56	88.56	29.862	29.862	1	6	0.285197
Story1	C22	UDStIS31 Min	-110.799	-6.201	20.1239	47.9776	-14.2592	312.9647	88.56	88.56	29.862	29.862	1	6	0.267774
Story1	C22	UDStIS31 Min	-110.799	-6.201	20.1239	47.9776	-14.2592	312.9647	88.56	88.56	29.862	29.862	1	6	0.267774
Story1	C22	UDStIS31 Min	-110.787	-6.201	20.1239	46.4079	-13.7757	312.9647	88.56	88.56	29.862	29.862	1	6	0.259013
Story1	C22	UDStIS31 Min	-110.787	-6.201	20.1239	46.4079	-13.7757	312.9647	88.56	88.56	29.862	29.862	1	6	0.259013
Story1	C22	UDStIS31 Min	-110.521	-6.201	20.1239	10.7933	-2.8209	312.9647	88.56	88.56	29.862	29.862	1	6	0.06024
Story1	C22	UDStIS31 Min	-110.292	-6.201	20.1239	-23.6033	4.4095	312.9647	88.56	88.56	29.862	29.862	1	6	0.131735
Story1	C22	UDStIS31 Min	-108.314	-6.2184	25.1031	-23.6033	4.4095	312.9647	88.56	88.56	29.862	29.862	1	6	0.131735
Story1	C22	UDStIS31 Min	-108.278	-6.2184	25.1031	-30.1195	5.254	312.9647	88.56	88.56	29.862	29.862	1	6	0.168104
Story1	C22	UDStIS31 Min	-108.278	-6.2184	25.1031	-30.1195	5.254	312.9647	88.56	88.56	29.862	29.862	1	6	0.168104
Story1	C22	UDStIS31 Min	-108.266	-6.2184	25.1031	-32.3157	5.5382	312.9647	88.56	88.56	29.862	29.862	1	6	0.180361
Story1	C22	UDStIS31 Min	-108.266	-6.2184	25.1031	-32.3157	5.5382	312.9647	88.56	88.56	29.862	29.862	1	6	0.180361
Story1	C22	UDStIS31 Min	-108.242	-6.2184	25.1031	-36.6969	6.105	312.9647	88.56	88.56	29.862	29.862	1	6	0.204814

STORY2															
TABLE: Column Forces															
Story	Column	Load Case/Combo	P	V2	V3	M2	M3	ظرفیت محوری	ظرفیت برشی ۲	ظرفیت برشی ۳	ظرفیت خمشی ۲	ظرفیت خمشی ۳			
			tonf	tonf	tonf	tonf-m	tonf-m	tonf	tonf	tonf	tonf-m	tonf-m	K	m	Acc
Story2	C1	UDStIS31 Max	2.5222	-6.5497	14.021	18.0649	-8.7666	312.9647	88.56	88.56	29.862	29.862	1	6	0.100824
Story2	C1	UDStIS31 Max	2.5401	-6.5497	14.021	16.4119	-8.0055	312.9647	88.56	88.56	29.862	29.862	1	6	0.091599
Story2	C1	UDStIS31 Max	2.5401	-6.5497	14.021	16.4119	-8.0055	312.9647	88.56	88.56	29.862	29.862	1	6	0.091599
Story2	C1	UDStIS31 Max	2.549	-6.5497	14.021	15.5845	-7.6245	312.9647	88.56	88.56	29.862	29.862	1	6	0.086981
Story2	C1	UDStIS31 Max	2.549	-6.5497	14.021	15.5845	-7.6245	312.9647	88.56	88.56	29.862	29.862	1	6	0.086981
Story2	C1	UDStIS31 Max	2.7454	-6.5497	14.021	-2.3967	1.2629	312.9647	88.56	88.56	29.862	29.862	1	6	0.013377
Story2	C1	UDStIS31 Max	2.9418	-6.5497	14.021	-18.3069	11.1894	312.9647	88.56	88.56	29.862	29.862	1	6	0.102175
Story2	C1	UDStIS31 Max	2.9418	-6.5497	14.021	-18.3069	11.1894	312.9647	88.56	88.56	29.862	29.862	1	6	0.102175
Story2	C1	UDStIS31 Max	2.9507	-6.5497	14.021	-19.0245	11.6372	312.9647	88.56	88.56	29.862	29.862	1	6	0.10618
Story2	C1	UDStIS31 Max	2.9507	-6.5497	14.021	-19.0245	11.6372	312.9647	88.56	88.56	29.862	29.862	1	6	0.10618
Story2	C1	UDStIS31 Max	2.9686	-6.5497	14.021	-20.4577	12.5317	312.9647	88.56	88.56	29.862	29.862	1	6	0.114179
Story2	C1	UDStIS31 Min	0.4669	-7.7015	12.2273	15.7183	-10.0341	312.9647	88.56	88.56	29.862	29.862	1	6	0.087727
Story2	C1	UDStIS31 Min	0.4847	-7.7015	12.2273	14.2764	-9.1351	312.9647	88.56	88.56	29.862	29.862	1	6	0.07968
Story2	C1	UDStIS31 Min	0.4847	-7.7015	12.2273	14.2764	-9.1351	312.9647	88.56	88.56	29.862	29.862	1	6	0.07968
Story2	C1	UDStIS31 Min	0.4937	-7.7015	12.2273	13.5546	-8.6851	312.9647	88.56	88.56	29.862	29.862	1	6	0.075651
Story2	C1	UDStIS31 Min	0.4937	-7.7015	12.2273	13.5546	-8.6851	312.9647	88.56	88.56	29.862	29.862	1	6	0.075651
Story2	C1	UDStIS31 Min	0.6901	-7.7015	12.2273	-2.7013	0.8002	312.9647	88.56	88.56	29.862	29.862	1	6	0.015077
Story2	C1	UDStIS31 Min	0.8865	-7.7015	12.2273	-20.9408	9.2112	312.9647	88.56	88.56	29.862	29.862	1	6	0.116875
Story2	C1	UDStIS31 Min	0.8865	-7.7015	12.2273	-20.9408	9.2112	312.9647	88.56	88.56	29.862	29.862	1	6	0.116875
Story2	C1	UDStIS31 Min	0.8954	-7.7015	12.2273	-21.7635	9.5909	312.9647	88.56	88.56	29.862	29.862	1	6	0.121467
Story2	C1	UDStIS31 Min	0.8954	-7.7015	12.2273	-21.7635	9.5909	312.9647	88.56	88.56	29.862	29.862	1	6	0.121467
Story2	C1	UDStIS31 Min	0.9132	-7.7015	12.2273	-23.4065	10.349	312.9647	88.56	88.56	29.862	29.862	1	6	0.130637
Story2	C2	UDStIS31 Max	-34.0714	-6.8437	29.0596	42.5539	-9.2997	312.9647	88.56	88.56	29.862	29.862	1	6	0.237503
Story2	C2	UDStIS31 Max	-34.0535	-6.8437	29.0596	39.1948	-8.5051	312.9647	88.56	88.56	29.862	29.862	1	6	0.218755
Story2	C2	UDStIS31 Max	-34.0535	-6.8437	29.0596	39.1948	-8.5051	312.9647	88.56	88.56	29.862	29.862	1	6	0.218755
Story2	C2	UDStIS31 Max	-34.0446	-6.8437	29.0596	37.513	-8.1074	312.9647	88.56	88.56	29.862	29.862	1	6	0.209369
Story2	C2	UDStIS31 Max	-34.0446	-6.8437	29.0596	37.513	-8.1074	312.9647	88.56	88.56	29.862	29.862	1	6	0.209369

Story2	C2	UDStIS31 Max	-33.8482	-6.8437	29.0596	0.278	0.8899	312.9647	88.56	88.56	29.862	29.862	1	6	0.001552
Story2	C2	UDStIS31 Max	-33.6518	-6.8437	29.0596	-32.4847	9.9209	312.9647	88.56	88.56	29.862	29.862	1	6	0.181305
Story2	C2	UDStIS31 Max	-33.6518	-6.8437	29.0596	-32.4847	9.9209	312.9647	88.56	88.56	29.862	29.862	1	6	0.181305
Story2	C2	UDStIS31 Max	-33.6429	-6.8437	29.0596	-33.9625	10.3284	312.9647	88.56	88.56	29.862	29.862	1	6	0.189552
Story2	C2	UDStIS31 Max	-33.6429	-6.8437	29.0596	-33.9625	10.3284	312.9647	88.56	88.56	29.862	29.862	1	6	0.189552
Story2	C2	UDStIS31 Max	-33.625	-6.8437	29.0596	-36.9145	11.1422	312.9647	88.56	88.56	29.862	29.862	1	6	0.206028
Story2	C2	UDStIS31 Min	-35.2385	-7.0213	25.533	37.3828	-9.3831	312.9647	88.56	88.56	29.862	29.862	1	6	0.208642
Story2	C2	UDStIS31 Min	-35.2207	-7.0213	25.533	34.4312	-8.566	312.9647	88.56	88.56	29.862	29.862	1	6	0.192168
Story2	C2	UDStIS31 Min	-35.2207	-7.0213	25.533	34.4312	-8.566	312.9647	88.56	88.56	29.862	29.862	1	6	0.192168
Story2	C2	UDStIS31 Min	-35.2118	-7.0213	25.533	32.9535	-8.1569	312.9647	88.56	88.56	29.862	29.862	1	6	0.183921
Story2	C2	UDStIS31 Min	-35.2118	-7.0213	25.533	32.9535	-8.1569	312.9647	88.56	88.56	29.862	29.862	1	6	0.183921
Story2	C2	UDStIS31 Min	-35.0154	-7.0213	25.533	0.2365	0.692	312.9647	88.56	88.56	29.862	29.862	1	6	0.00132
Story2	C2	UDStIS31 Min	-34.819	-7.0213	25.533	-36.9619	9.4791	312.9647	88.56	88.56	29.862	29.862	1	6	0.206293
Story2	C2	UDStIS31 Min	-34.819	-7.0213	25.533	-36.9619	9.4791	312.9647	88.56	88.56	29.862	29.862	1	6	0.206293
Story2	C2	UDStIS31 Min	-34.8101	-7.0213	25.533	-38.6439	9.8756	312.9647	88.56	88.56	29.862	29.862	1	6	0.21568
Story2	C2	UDStIS31 Min	-34.8101	-7.0213	25.533	-38.6439	9.8756	312.9647	88.56	88.56	29.862	29.862	1	6	0.21568
Story2	C2	UDStIS31 Min	-34.7922	-7.0213	25.533	-42.0035	10.6676	312.9647	88.56	88.56	29.862	29.862	1	6	0.234431
Story2	C3	UDStIS31 Max	-26.8321	-7.0434	28.2452	41.3055	-9.7228	312.9647	88.56	88.56	29.862	29.862	1	6	0.230535
Story2	C3	UDStIS31 Max	-26.8142	-7.0434	28.2452	38.0365	-8.9078	312.9647	88.56	88.56	29.862	29.862	1	6	0.21229
Story2	C3	UDStIS31 Max	-26.8142	-7.0434	28.2452	38.0365	-8.9078	312.9647	88.56	88.56	29.862	29.862	1	6	0.21229
Story2	C3	UDStIS31 Max	-26.8053	-7.0434	28.2452	36.3997	-8.4997	312.9647	88.56	88.56	29.862	29.862	1	6	0.203155
Story2	C3	UDStIS31 Max	-26.8053	-7.0434	28.2452	36.3997	-8.4997	312.9647	88.56	88.56	29.862	29.862	1	6	0.203155
Story2	C3	UDStIS31 Max	-26.6089	-7.0434	28.2452	0.1468	0.6992	312.9647	88.56	88.56	29.862	29.862	1	6	0.000819
Story2	C3	UDStIS31 Max	-26.4125	-7.0434	28.2452	-31.7242	10.1922	312.9647	88.56	88.56	29.862	29.862	1	6	0.17706
Story2	C3	UDStIS31 Max	-26.4125	-7.0434	28.2452	-31.7242	10.1922	312.9647	88.56	88.56	29.862	29.862	1	6	0.17706
Story2	C3	UDStIS31 Max	-26.4036	-7.0434	28.2452	-33.1619	10.6205	312.9647	88.56	88.56	29.862	29.862	1	6	0.185084
Story2	C3	UDStIS31 Max	-26.4036	-7.0434	28.2452	-33.1619	10.6205	312.9647	88.56	88.56	29.862	29.862	1	6	0.185084
Story2	C3	UDStIS31 Max	-26.3857	-7.0434	28.2452	-36.0335	11.4757	312.9647	88.56	88.56	29.862	29.862	1	6	0.201111
Story2	C3	UDStIS31 Min	-27.652	-7.3955	24.8104	36.278	-10.0947	312.9647	88.56	88.56	29.862	29.862	1	6	0.202476
Story2	C3	UDStIS31 Min	-27.6341	-7.3955	24.8104	33.4064	-9.2367	312.9647	88.56	88.56	29.862	29.862	1	6	0.186449
Story2	C3	UDStIS31 Min	-27.6341	-7.3955	24.8104	33.4064	-9.2367	312.9647	88.56	88.56	29.862	29.862	1	6	0.186449

Story2	C3	UDStIS31 Min	-27.6252	-7.3955	24.8104	31.9686	-8.8071	312.9647	88.56	88.56	29.862	29.862	1	6	0.178424
Story2	C3	UDStIS31 Min	-27.6252	-7.3955	24.8104	31.9686	-8.8071	312.9647	88.56	88.56	29.862	29.862	1	6	0.178424
Story2	C3	UDStIS31 Min	-27.4288	-7.3955	24.8104	0.1234	0.5325	312.9647	88.56	88.56	29.862	29.862	1	6	0.000689
Story2	C3	UDStIS31 Min	-27.2324	-7.3955	24.8104	-36.1088	9.5546	312.9647	88.56	88.56	29.862	29.862	1	6	0.201531
Story2	C3	UDStIS31 Min	-27.2324	-7.3955	24.8104	-36.1088	9.5546	312.9647	88.56	88.56	29.862	29.862	1	6	0.201531
Story2	C3	UDStIS31 Min	-27.2235	-7.3955	24.8104	-37.7456	9.9617	312.9647	88.56	88.56	29.862	29.862	1	6	0.210667
Story2	C3	UDStIS31 Min	-27.2235	-7.3955	24.8104	-37.7456	9.9617	312.9647	88.56	88.56	29.862	29.862	1	6	0.210667
Story2	C3	UDStIS31 Min	-27.2056	-7.3955	24.8104	-41.0146	10.7746	312.9647	88.56	88.56	29.862	29.862	1	6	0.228912
Story2	C5	UDStIS31 Max	-26.3603	-7.1211	14.6902	20.3134	-11.0107	312.9647	88.56	88.56	29.862	29.862	1	6	0.113374
Story2	C5	UDStIS31 Max	-26.3425	-7.1211	14.6902	18.5585	-10.1796	312.9647	88.56	88.56	29.862	29.862	1	6	0.103579
Story2	C5	UDStIS31 Max	-26.3425	-7.1211	14.6902	18.5585	-10.1796	312.9647	88.56	88.56	29.862	29.862	1	6	0.103579
Story2	C5	UDStIS31 Max	-26.3335	-7.1211	14.6902	17.6791	-9.7631	312.9647	88.56	88.56	29.862	29.862	1	6	0.098671
Story2	C5	UDStIS31 Max	-26.3335	-7.1211	14.6902	17.6791	-9.7631	312.9647	88.56	88.56	29.862	29.862	1	6	0.098671
Story2	C5	UDStIS31 Max	-26.1372	-7.1211	14.6902	-1.7942	-0.4853	312.9647	88.56	88.56	29.862	29.862	1	6	0.010014
Story2	C5	UDStIS31 Max	-25.9408	-7.1211	14.6902	-20.6938	14.1357	312.9647	88.56	88.56	29.862	29.862	1	6	0.115497
Story2	C5	UDStIS31 Max	-25.9408	-7.1211	14.6902	-20.6938	14.1357	312.9647	88.56	88.56	29.862	29.862	1	6	0.115497
Story2	C5	UDStIS31 Max	-25.9318	-7.1211	14.6902	-21.5416	14.8048	312.9647	88.56	88.56	29.862	29.862	1	6	0.120229
Story2	C5	UDStIS31 Max	-25.9318	-7.1211	14.6902	-21.5416	14.8048	312.9647	88.56	88.56	29.862	29.862	1	6	0.120229
Story2	C5	UDStIS31 Max	-25.914	-7.1211	14.6902	-23.2327	16.1398	312.9647	88.56	88.56	29.862	29.862	1	6	0.129667
Story2	C5	UDStIS31 Min	-31.0914	-11.4429	14.2589	19.7188	-17.5923	312.9647	88.56	88.56	29.862	29.862	1	6	0.110055
Story2	C5	UDStIS31 Min	-31.0736	-11.4429	14.2589	18.0157	-16.2617	312.9647	88.56	88.56	29.862	29.862	1	6	0.10055
Story2	C5	UDStIS31 Min	-31.0736	-11.4429	14.2589	18.0157	-16.2617	312.9647	88.56	88.56	29.862	29.862	1	6	0.10055
Story2	C5	UDStIS31 Min	-31.0646	-11.4429	14.2589	17.1624	-15.5948	312.9647	88.56	88.56	29.862	29.862	1	6	0.095787
Story2	C5	UDStIS31 Min	-31.0646	-11.4429	14.2589	17.1624	-15.5948	312.9647	88.56	88.56	29.862	29.862	1	6	0.095787
Story2	C5	UDStIS31 Min	-30.8682	-11.4429	14.2589	-1.8544	-0.7413	312.9647	88.56	88.56	29.862	29.862	1	6	0.01035
Story2	C5	UDStIS31 Min	-30.6718	-11.4429	14.2589	-21.329	8.8079	312.9647	88.56	88.56	29.862	29.862	1	6	0.119042
Story2	C5	UDStIS31 Min	-30.6718	-11.4429	14.2589	-21.329	8.8079	312.9647	88.56	88.56	29.862	29.862	1	6	0.119042
Story2	C5	UDStIS31 Min	-30.6629	-11.4429	14.2589	-22.2026	9.2259	312.9647	88.56	88.56	29.862	29.862	1	6	0.123918
Story2	C5	UDStIS31 Min	-30.6629	-11.4429	14.2589	-22.2026	9.2259	312.9647	88.56	88.56	29.862	29.862	1	6	0.123918
Story2	C5	UDStIS31 Min	-30.6451	-11.4429	14.2589	-23.9452	10.0599	312.9647	88.56	88.56	29.862	29.862	1	6	0.133644
Story2	C6	UDStIS31 Max	-45.2118	-3.8496	25.1265	36.9136	-5.53	312.9647	88.56	88.56	29.862	29.862	1	6	0.206023

Story2	C6	UDStIS31 Max	-45.1939	-3.8496	25.1265	34.0011	-5.0739	312.9647	88.56	88.56	29.862	29.862	1	6	0.189768
Story2	C6	UDStIS31 Max	-45.1939	-3.8496	25.1265	34.0011	-5.0739	312.9647	88.56	88.56	29.862	29.862	1	6	0.189768
Story2	C6	UDStIS31 Max	-45.185	-3.8496	25.1265	32.5425	-4.8455	312.9647	88.56	88.56	29.862	29.862	1	6	0.181627
Story2	C6	UDStIS31 Max	-45.185	-3.8496	25.1265	32.5425	-4.8455	312.9647	88.56	88.56	29.862	29.862	1	6	0.181627
Story2	C6	UDStIS31 Max	-44.9886	-3.8496	25.1265	0.1989	0.2156	312.9647	88.56	88.56	29.862	29.862	1	6	0.00111
Story2	C6	UDStIS31 Max	-44.7922	-3.8496	25.1265	-31.1685	6.4704	312.9647	88.56	88.56	29.862	29.862	1	6	0.173959
Story2	C6	UDStIS31 Max	-44.7922	-3.8496	25.1265	-31.1685	6.4704	312.9647	88.56	88.56	29.862	29.862	1	6	0.173959
Story2	C6	UDStIS31 Max	-44.7833	-3.8496	25.1265	-32.5826	6.7524	312.9647	88.56	88.56	29.862	29.862	1	6	0.181851
Story2	C6	UDStIS31 Max	-44.7833	-3.8496	25.1265	-32.5826	6.7524	312.9647	88.56	88.56	29.862	29.862	1	6	0.181851
Story2	C6	UDStIS31 Max	-44.7654	-3.8496	25.1265	-35.4064	7.3155	312.9647	88.56	88.56	29.862	29.862	1	6	0.197611
Story2	C6	UDStIS31 Min	-46.2431	-4.7803	24.359	35.7815	-6.8943	312.9647	88.56	88.56	29.862	29.862	1	6	0.199705
Story2	C6	UDStIS31 Min	-46.2252	-4.7803	24.359	32.958	-6.3302	312.9647	88.56	88.56	29.862	29.862	1	6	0.183946
Story2	C6	UDStIS31 Min	-46.2252	-4.7803	24.359	32.958	-6.3302	312.9647	88.56	88.56	29.862	29.862	1	6	0.183946
Story2	C6	UDStIS31 Min	-46.2163	-4.7803	24.359	31.5441	-6.0476	312.9647	88.56	88.56	29.862	29.862	1	6	0.176055
Story2	C6	UDStIS31 Min	-46.2163	-4.7803	24.359	31.5441	-6.0476	312.9647	88.56	88.56	29.862	29.862	1	6	0.176055
Story2	C6	UDStIS31 Min	-46.0199	-4.7803	24.359	0.1899	0.2138	312.9647	88.56	88.56	29.862	29.862	1	6	0.00106
Story2	C6	UDStIS31 Min	-45.8235	-4.7803	24.359	-32.1492	5.2719	312.9647	88.56	88.56	29.862	29.862	1	6	0.179432
Story2	C6	UDStIS31 Min	-45.8235	-4.7803	24.359	-32.1492	5.2719	312.9647	88.56	88.56	29.862	29.862	1	6	0.179432
Story2	C6	UDStIS31 Min	-45.8146	-4.7803	24.359	-33.6079	5.4997	312.9647	88.56	88.56	29.862	29.862	1	6	0.187573
Story2	C6	UDStIS31 Min	-45.8146	-4.7803	24.359	-33.6079	5.4997	312.9647	88.56	88.56	29.862	29.862	1	6	0.187573
Story2	C6	UDStIS31 Min	-45.7968	-4.7803	24.359	-36.5208	5.9547	312.9647	88.56	88.56	29.862	29.862	1	6	0.203831
Story2	C7	UDStIS31 Max	-48.7593	-2.5197	24.6134	36.4173	-3.7281	312.9647	88.56	88.56	29.862	29.862	1	6	0.203253
Story2	C7	UDStIS31 Max	-48.7414	-2.5197	24.6134	33.5505	-3.4219	312.9647	88.56	88.56	29.862	29.862	1	6	0.187253
Story2	C7	UDStIS31 Max	-48.7414	-2.5197	24.6134	33.5505	-3.4219	312.9647	88.56	88.56	29.862	29.862	1	6	0.187253
Story2	C7	UDStIS31 Max	-48.7325	-2.5197	24.6134	32.114	-3.2685	312.9647	88.56	88.56	29.862	29.862	1	6	0.179236
Story2	C7	UDStIS31 Max	-48.7325	-2.5197	24.6134	32.114	-3.2685	312.9647	88.56	88.56	29.862	29.862	1	6	0.179236
Story2	C7	UDStIS31 Max	-48.5361	-2.5197	24.6134	0.1755	0.1391	312.9647	88.56	88.56	29.862	29.862	1	6	0.00098
Story2	C7	UDStIS31 Max	-48.3397	-2.5197	24.6134	-30.7946	5.09	312.9647	88.56	88.56	29.862	29.862	1	6	0.171872
Story2	C7	UDStIS31 Max	-48.3397	-2.5197	24.6134	-30.7946	5.09	312.9647	88.56	88.56	29.862	29.862	1	6	0.171872
Story2	C7	UDStIS31 Max	-48.3308	-2.5197	24.6134	-32.1873	5.3137	312.9647	88.56	88.56	29.862	29.862	1	6	0.179645
Story2	C7	UDStIS31 Max	-48.3308	-2.5197	24.6134	-32.1873	5.3137	312.9647	88.56	88.56	29.862	29.862	1	6	0.179645

Story2	C7	UDStIS31 Max	-48.3129	-2.5197	24.6134	-34.9667	5.7603	312.9647	88.56	88.56	29.862	29.862	1	6	0.195157
Story2	C7	UDStIS31 Min	-50.2246	-3.7316	23.8598	35.2988	-5.5401	312.9647	88.56	88.56	29.862	29.862	1	6	0.197011
Story2	C7	UDStIS31 Min	-50.2067	-3.7316	23.8598	32.5199	-5.0927	312.9647	88.56	88.56	29.862	29.862	1	6	0.181501
Story2	C7	UDStIS31 Min	-50.2067	-3.7316	23.8598	32.5199	-5.0927	312.9647	88.56	88.56	29.862	29.862	1	6	0.181501
Story2	C7	UDStIS31 Min	-50.1978	-3.7316	23.8598	31.1275	-4.8686	312.9647	88.56	88.56	29.862	29.862	1	6	0.17373
Story2	C7	UDStIS31 Min	-50.1978	-3.7316	23.8598	31.1275	-4.8686	312.9647	88.56	88.56	29.862	29.862	1	6	0.17373
Story2	C7	UDStIS31 Min	-50.0014	-3.7316	23.8598	0.1689	0.1124	312.9647	88.56	88.56	29.862	29.862	1	6	0.000943
Story2	C7	UDStIS31 Min	-49.805	-3.7316	23.8598	-31.7681	3.5427	312.9647	88.56	88.56	29.862	29.862	1	6	0.177305
Story2	C7	UDStIS31 Min	-49.805	-3.7316	23.8598	-31.7681	3.5427	312.9647	88.56	88.56	29.862	29.862	1	6	0.177305
Story2	C7	UDStIS31 Min	-49.7961	-3.7316	23.8598	-33.2049	3.6956	312.9647	88.56	88.56	29.862	29.862	1	6	0.185324
Story2	C7	UDStIS31 Min	-49.7961	-3.7316	23.8598	-33.2049	3.6956	312.9647	88.56	88.56	29.862	29.862	1	6	0.185324
Story2	C7	UDStIS31 Min	-49.7782	-3.7316	23.8598	-36.0722	4.0008	312.9647	88.56	88.56	29.862	29.862	1	6	0.201327
Story2	C8	UDStIS31 Max	-78.8739	-1.6581	8.8205	11.4337	-2.4998	312.9647	88.56	88.56	29.862	29.862	1	6	0.063814
Story2	C8	UDStIS31 Max	-78.8561	-1.6581	8.8205	10.338	-2.2981	312.9647	88.56	88.56	29.862	29.862	1	6	0.057699
Story2	C8	UDStIS31 Max	-78.8561	-1.6581	8.8205	10.338	-2.2981	312.9647	88.56	88.56	29.862	29.862	1	6	0.057699
Story2	C8	UDStIS31 Max	-78.8472	-1.6581	8.8205	9.7891	-2.197	312.9647	88.56	88.56	29.862	29.862	1	6	0.054635
Story2	C8	UDStIS31 Max	-78.8472	-1.6581	8.8205	9.7891	-2.197	312.9647	88.56	88.56	29.862	29.862	1	6	0.054635
Story2	C8	UDStIS31 Max	-78.6508	-1.6581	8.8205	-2.3025	0.0522	312.9647	88.56	88.56	29.862	29.862	1	6	0.012851
Story2	C8	UDStIS31 Max	-78.4994	-1.6581	8.8205	-11.3	5.3354	312.9647	88.56	88.56	29.862	29.862	1	6	0.063068
Story2	C8	UDStIS31 Max	-75.4647	-1.6345	15.4616	-11.3	5.3354	312.9647	88.56	88.56	29.862	29.862	1	6	0.063068
Story2	C8	UDStIS31 Max	-75.4197	-1.6345	15.4616	-15.8567	6.9053	312.9647	88.56	88.56	29.862	29.862	1	6	0.0885
Story2	C8	UDStIS31 Max	-75.4197	-1.6345	15.4616	-15.8567	6.9053	312.9647	88.56	88.56	29.862	29.862	1	6	0.0885
Story2	C8	UDStIS31 Max	-75.4108	-1.6345	15.4616	-16.7576	7.2155	312.9647	88.56	88.56	29.862	29.862	1	6	0.093528
Story2	C8	UDStIS31 Max	-75.4108	-1.6345	15.4616	-16.7576	7.2155	312.9647	88.56	88.56	29.862	29.862	1	6	0.093528
Story2	C8	UDStIS31 Max	-75.3929	-1.6345	15.4616	-18.5563	7.8343	312.9647	88.56	88.56	29.862	29.862	1	6	0.103567
Story2	C8	UDStIS31 Min	-84.0172	-5.2322	8.4815	10.9935	-7.8409	312.9647	88.56	88.56	29.862	29.862	1	6	0.061357
Story2	C8	UDStIS31 Min	-83.9993	-5.2322	8.4815	9.9394	-7.2217	312.9647	88.56	88.56	29.862	29.862	1	6	0.055474
Story2	C8	UDStIS31 Min	-83.9993	-5.2322	8.4815	9.9394	-7.2217	312.9647	88.56	88.56	29.862	29.862	1	6	0.055474
Story2	C8	UDStIS31 Min	-83.9904	-5.2322	8.4815	9.4113	-6.9113	312.9647	88.56	88.56	29.862	29.862	1	6	0.052527
Story2	C8	UDStIS31 Min	-83.9904	-5.2322	8.4815	9.4113	-6.9113	312.9647	88.56	88.56	29.862	29.862	1	6	0.052527
Story2	C8	UDStIS31 Min	-83.794	-5.2322	8.4815	-2.387	-0.0023	312.9647	88.56	88.56	29.862	29.862	1	6	0.013322

Story2	C8	UDStIS31 Min	-83.6426	-5.2322	8.4815	-11.7396	1.7887	312.9647	88.56	88.56	29.862	29.862	1	6	0.065521
Story2	C8	UDStIS31 Min	-80.6399	-5.2454	15.1818	-11.7396	1.7887	312.9647	88.56	88.56	29.862	29.862	1	6	0.065521
Story2	C8	UDStIS31 Min	-80.5949	-5.2454	15.1818	-16.383	2.2901	312.9647	88.56	88.56	29.862	29.862	1	6	0.091437
Story2	C8	UDStIS31 Min	-80.5949	-5.2454	15.1818	-16.383	2.2901	312.9647	88.56	88.56	29.862	29.862	1	6	0.091437
Story2	C8	UDStIS31 Min	-80.586	-5.2454	15.1818	-17.3011	2.3892	312.9647	88.56	88.56	29.862	29.862	1	6	0.096561
Story2	C8	UDStIS31 Min	-80.586	-5.2454	15.1818	-17.3011	2.3892	312.9647	88.56	88.56	29.862	29.862	1	6	0.096561
Story2	C8	UDStIS31 Min	-80.5681	-5.2454	15.1818	-19.1338	2.5868	312.9647	88.56	88.56	29.862	29.862	1	6	0.10679
Story2	C9	UDStIS31 Max	41.02	-4.9204	12.3908	15.5409	-6.7238	312.9647	88.56	88.56	29.862	29.862	1	6	0.086737
Story2	C9	UDStIS31 Max	41.0379	-4.9204	12.3908	14.1154	-6.1586	312.9647	88.56	88.56	29.862	29.862	1	6	0.078781
Story2	C9	UDStIS31 Max	41.0379	-4.9204	12.3908	14.1154	-6.1586	312.9647	88.56	88.56	29.862	29.862	1	6	0.078781
Story2	C9	UDStIS31 Max	41.0468	-4.9204	12.3908	13.4026	-5.876	312.9647	88.56	88.56	29.862	29.862	1	6	0.074803
Story2	C9	UDStIS31 Max	41.0468	-4.9204	12.3908	13.4026	-5.876	312.9647	88.56	88.56	29.862	29.862	1	6	0.074803
Story2	C9	UDStIS31 Max	41.2432	-4.9204	12.3908	-2.0639	0.5445	312.9647	88.56	88.56	29.862	29.862	1	6	0.011519
Story2	C9	UDStIS31 Max	41.4396	-4.9204	12.3908	-15.9556	9.4477	312.9647	88.56	88.56	29.862	29.862	1	6	0.089052
Story2	C9	UDStIS31 Max	41.4396	-4.9204	12.3908	-15.9556	9.4477	312.9647	88.56	88.56	29.862	29.862	1	6	0.089052
Story2	C9	UDStIS31 Max	41.4485	-4.9204	12.3908	-16.5861	9.8518	312.9647	88.56	88.56	29.862	29.862	1	6	0.092571
Story2	C9	UDStIS31 Max	41.4485	-4.9204	12.3908	-16.5861	9.8518	312.9647	88.56	88.56	29.862	29.862	1	6	0.092571
Story2	C9	UDStIS31 Max	41.4664	-4.9204	12.3908	-17.8467	10.6599	312.9647	88.56	88.56	29.862	29.862	1	6	0.099607
Story2	C9	UDStIS31 Min	38.3496	-7.0412	10.9727	13.7279	-9.5736	312.9647	88.56	88.56	29.862	29.862	1	6	0.076619
Story2	C9	UDStIS31 Min	38.3675	-7.0412	10.9727	12.4655	-8.7649	312.9647	88.56	88.56	29.862	29.862	1	6	0.069573
Story2	C9	UDStIS31 Min	38.3675	-7.0412	10.9727	12.4655	-8.7649	312.9647	88.56	88.56	29.862	29.862	1	6	0.069573
Story2	C9	UDStIS31 Min	38.3764	-7.0412	10.9727	11.8341	-8.3604	312.9647	88.56	88.56	29.862	29.862	1	6	0.066049
Story2	C9	UDStIS31 Min	38.3764	-7.0412	10.9727	11.8341	-8.3604	312.9647	88.56	88.56	29.862	29.862	1	6	0.066049
Story2	C9	UDStIS31 Min	38.5728	-7.0412	10.9727	-2.2904	0.347	312.9647	88.56	88.56	29.862	29.862	1	6	0.012783
Story2	C9	UDStIS31 Min	38.7692	-7.0412	10.9727	-17.9764	6.5689	312.9647	88.56	88.56	29.862	29.862	1	6	0.10033
Story2	C9	UDStIS31 Min	38.7692	-7.0412	10.9727	-17.9764	6.5689	312.9647	88.56	88.56	29.862	29.862	1	6	0.10033
Story2	C9	UDStIS31 Min	38.7781	-7.0412	10.9727	-18.6883	6.8513	312.9647	88.56	88.56	29.862	29.862	1	6	0.104304
Story2	C9	UDStIS31 Min	38.7781	-7.0412	10.9727	-18.6883	6.8513	312.9647	88.56	88.56	29.862	29.862	1	6	0.104304
Story2	C9	UDStIS31 Min	38.7959	-7.0412	10.9727	-20.1118	7.4161	312.9647	88.56	88.56	29.862	29.862	1	6	0.112249
Story2	C10	UDStIS31 Max	-1.9178	-4.8017	25.5438	37.1398	-6.5638	312.9647	88.56	88.56	29.862	29.862	1	6	0.207286
Story2	C10	UDStIS31 Max	-1.8999	-4.8017	25.5438	34.2021	-6.0081	312.9647	88.56	88.56	29.862	29.862	1	6	0.19089

Story2	C10	UDStIS31 Max	-1.8999	-4.8017	25.5438	34.2021	-6.0081	312.9647	88.56	88.56	29.862	29.862	1	6	0.19089
Story2	C10	UDStIS31 Max	-1.891	-4.8017	25.5438	32.7322	-5.7301	312.9647	88.56	88.56	29.862	29.862	1	6	0.182686
Story2	C10	UDStIS31 Max	-1.891	-4.8017	25.5438	32.7322	-5.7301	312.9647	88.56	88.56	29.862	29.862	1	6	0.182686
Story2	C10	UDStIS31 Max	-1.6946	-4.8017	25.5438	0.2928	0.4876	312.9647	88.56	88.56	29.862	29.862	1	6	0.001634
Story2	C10	UDStIS31 Max	-1.4982	-4.8017	25.5438	-28.7166	7.3486	312.9647	88.56	88.56	29.862	29.862	1	6	0.160274
Story2	C10	UDStIS31 Max	-1.4982	-4.8017	25.5438	-28.7166	7.3486	312.9647	88.56	88.56	29.862	29.862	1	6	0.160274
Story2	C10	UDStIS31 Max	-1.4893	-4.8017	25.5438	-30.0295	7.6593	312.9647	88.56	88.56	29.862	29.862	1	6	0.167602
Story2	C10	UDStIS31 Max	-1.4893	-4.8017	25.5438	-30.0295	7.6593	312.9647	88.56	88.56	29.862	29.862	1	6	0.167602
Story2	C10	UDStIS31 Max	-1.4714	-4.8017	25.5438	-32.6537	8.2803	312.9647	88.56	88.56	29.862	29.862	1	6	0.182248
Story2	C10	UDStIS31 Min	-4.1435	-5.3741	22.8157	33.1746	-7.311	312.9647	88.56	88.56	29.862	29.862	1	6	0.185155
Story2	C10	UDStIS31 Min	-4.1257	-5.3741	22.8157	30.5505	-6.6889	312.9647	88.56	88.56	29.862	29.862	1	6	0.170509
Story2	C10	UDStIS31 Min	-4.1257	-5.3741	22.8157	30.5505	-6.6889	312.9647	88.56	88.56	29.862	29.862	1	6	0.170509
Story2	C10	UDStIS31 Min	-4.1168	-5.3741	22.8157	29.2376	-6.3777	312.9647	88.56	88.56	29.862	29.862	1	6	0.163182
Story2	C10	UDStIS31 Min	-4.1168	-5.3741	22.8157	29.2376	-6.3777	312.9647	88.56	88.56	29.862	29.862	1	6	0.163182
Story2	C10	UDStIS31 Min	-3.9204	-5.3741	22.8157	0.2616	0.4029	312.9647	88.56	88.56	29.862	29.862	1	6	0.00146
Story2	C10	UDStIS31 Min	-3.724	-5.3741	22.8157	-32.1494	6.5323	312.9647	88.56	88.56	29.862	29.862	1	6	0.179433
Story2	C10	UDStIS31 Min	-3.724	-5.3741	22.8157	-32.1494	6.5323	312.9647	88.56	88.56	29.862	29.862	1	6	0.179433
Story2	C10	UDStIS31 Min	-3.715	-5.3741	22.8157	-33.6192	6.8099	312.9647	88.56	88.56	29.862	29.862	1	6	0.187636
Story2	C10	UDStIS31 Min	-3.715	-5.3741	22.8157	-33.6192	6.8099	312.9647	88.56	88.56	29.862	29.862	1	6	0.187636
Story2	C10	UDStIS31 Min	-3.6972	-5.3741	22.8157	-36.557	7.3647	312.9647	88.56	88.56	29.862	29.862	1	6	0.204033
Story2	C11	UDStIS31 Max	-1.4502	-3.4644	25.2344	36.6234	-4.6875	312.9647	88.56	88.56	29.862	29.862	1	6	0.204404
Story2	C11	UDStIS31 Max	-1.4323	-3.4644	25.2344	33.7174	-4.2844	312.9647	88.56	88.56	29.862	29.862	1	6	0.188185
Story2	C11	UDStIS31 Max	-1.4323	-3.4644	25.2344	33.7174	-4.2844	312.9647	88.56	88.56	29.862	29.862	1	6	0.188185
Story2	C11	UDStIS31 Max	-1.4234	-3.4644	25.2344	32.2632	-4.0828	312.9647	88.56	88.56	29.862	29.862	1	6	0.180068
Story2	C11	UDStIS31 Max	-1.4234	-3.4644	25.2344	32.2632	-4.0828	312.9647	88.56	88.56	29.862	29.862	1	6	0.180068
Story2	C11	UDStIS31 Max	-1.227	-3.4644	25.2344	0.1474	0.4243	312.9647	88.56	88.56	29.862	29.862	1	6	0.000823
Story2	C11	UDStIS31 Max	-1.0306	-3.4644	25.2344	-28.6087	5.8993	312.9647	88.56	88.56	29.862	29.862	1	6	0.159672
Story2	C11	UDStIS31 Max	-1.0306	-3.4644	25.2344	-28.6087	5.8993	312.9647	88.56	88.56	29.862	29.862	1	6	0.159672
Story2	C11	UDStIS31 Max	-1.0217	-3.4644	25.2344	-29.9099	6.147	312.9647	88.56	88.56	29.862	29.862	1	6	0.166934
Story2	C11	UDStIS31 Max	-1.0217	-3.4644	25.2344	-29.9099	6.147	312.9647	88.56	88.56	29.862	29.862	1	6	0.166934
Story2	C11	UDStIS31 Max	-1.0038	-3.4644	25.2344	-32.5103	6.642	312.9647	88.56	88.56	29.862	29.862	1	6	0.181447

Story2	C11	UDStIS31 Min	-3.7015	-4.2675	22.5817	32.7756	-5.7997	312.9647	88.56	88.56	29.862	29.862	1	6	0.182928
Story2	C11	UDStIS31 Min	-3.6836	-4.2675	22.5817	30.175	-5.3036	312.9647	88.56	88.56	29.862	29.862	1	6	0.168414
Story2	C11	UDStIS31 Min	-3.6836	-4.2675	22.5817	30.175	-5.3036	312.9647	88.56	88.56	29.862	29.862	1	6	0.168414
Story2	C11	UDStIS31 Min	-3.6747	-4.2675	22.5817	28.8737	-5.0553	312.9647	88.56	88.56	29.862	29.862	1	6	0.161151
Story2	C11	UDStIS31 Min	-3.6747	-4.2675	22.5817	28.8737	-5.0553	312.9647	88.56	88.56	29.862	29.862	1	6	0.161151
Story2	C11	UDStIS31 Min	-3.4783	-4.2675	22.5817	0.1332	0.3683	312.9647	88.56	88.56	29.862	29.862	1	6	0.000743
Story2	C11	UDStIS31 Min	-3.2819	-4.2675	22.5817	-31.97	4.8153	312.9647	88.56	88.56	29.862	29.862	1	6	0.178432
Story2	C11	UDStIS31 Min	-3.2819	-4.2675	22.5817	-31.97	4.8153	312.9647	88.56	88.56	29.862	29.862	1	6	0.178432
Story2	C11	UDStIS31 Min	-3.273	-4.2675	22.5817	-33.4241	5.0166	312.9647	88.56	88.56	29.862	29.862	1	6	0.186548
Story2	C11	UDStIS31 Min	-3.273	-4.2675	22.5817	-33.4241	5.0166	312.9647	88.56	88.56	29.862	29.862	1	6	0.186548
Story2	C11	UDStIS31 Min	-3.2551	-4.2675	22.5817	-36.3299	5.4186	312.9647	88.56	88.56	29.862	29.862	1	6	0.202765
Story2	C12	UDStIS31 Max	-28.2217	-1.3155	11.9597	15.049	-1.7437	312.9647	88.56	88.56	29.862	29.862	1	6	0.083992
Story2	C12	UDStIS31 Max	-28.2038	-1.3155	11.9597	13.6534	-1.5889	312.9647	88.56	88.56	29.862	29.862	1	6	0.076203
Story2	C12	UDStIS31 Max	-28.2038	-1.3155	11.9597	13.6534	-1.5889	312.9647	88.56	88.56	29.862	29.862	1	6	0.076203
Story2	C12	UDStIS31 Max	-28.1949	-1.3155	11.9597	12.9551	-1.5114	312.9647	88.56	88.56	29.862	29.862	1	6	0.072305
Story2	C12	UDStIS31 Max	-28.1949	-1.3155	11.9597	12.9551	-1.5114	312.9647	88.56	88.56	29.862	29.862	1	6	0.072305
Story2	C12	UDStIS31 Max	-27.9985	-1.3155	11.9597	-2.2033	0.4042	312.9647	88.56	88.56	29.862	29.862	1	6	0.012297
Story2	C12	UDStIS31 Max	-27.8021	-1.3155	11.9597	-15.9228	5.1269	312.9647	88.56	88.56	29.862	29.862	1	6	0.088869
Story2	C12	UDStIS31 Max	-27.8021	-1.3155	11.9597	-15.9228	5.1269	312.9647	88.56	88.56	29.862	29.862	1	6	0.088869
Story2	C12	UDStIS31 Max	-27.7932	-1.3155	11.9597	-16.5434	5.3406	312.9647	88.56	88.56	29.862	29.862	1	6	0.092333
Story2	C12	UDStIS31 Max	-27.7932	-1.3155	11.9597	-16.5434	5.3406	312.9647	88.56	88.56	29.862	29.862	1	6	0.092333
Story2	C12	UDStIS31 Max	-27.7754	-1.3155	11.9597	-17.7833	5.7676	312.9647	88.56	88.56	29.862	29.862	1	6	0.099253
Story2	C12	UDStIS31 Min	-31.5351	-3.6724	10.6691	13.4082	-4.9651	312.9647	88.56	88.56	29.862	29.862	1	6	0.074834
Story2	C12	UDStIS31 Min	-31.5173	-3.6724	10.6691	12.163	-4.5371	312.9647	88.56	88.56	29.862	29.862	1	6	0.067884
Story2	C12	UDStIS31 Min	-31.5173	-3.6724	10.6691	12.163	-4.5371	312.9647	88.56	88.56	29.862	29.862	1	6	0.067884
Story2	C12	UDStIS31 Min	-31.5083	-3.6724	10.6691	11.54	-4.3229	312.9647	88.56	88.56	29.862	29.862	1	6	0.064407
Story2	C12	UDStIS31 Min	-31.5083	-3.6724	10.6691	11.54	-4.3229	312.9647	88.56	88.56	29.862	29.862	1	6	0.064407
Story2	C12	UDStIS31 Min	-31.3119	-3.6724	10.6691	-2.4486	0.1973	312.9647	88.56	88.56	29.862	29.862	1	6	0.013666
Story2	C12	UDStIS31 Min	-31.1155	-3.6724	10.6691	-17.826	1.9039	312.9647	88.56	88.56	29.862	29.862	1	6	0.099491
Story2	C12	UDStIS31 Min	-31.1155	-3.6724	10.6691	-17.826	1.9039	312.9647	88.56	88.56	29.862	29.862	1	6	0.099491
Story2	C12	UDStIS31 Min	-31.1066	-3.6724	10.6691	-18.5215	1.9811	312.9647	88.56	88.56	29.862	29.862	1	6	0.103373

Story2	C12	UDStIS31 Min	-31.1066	-3.6724	10.6691	-18.5215	1.9811	312.9647	88.56	88.56	29.862	29.862	1	6	0.103373
Story2	C12	UDStIS31 Min	-31.0888	-3.6724	10.6691	-19.9113	2.1354	312.9647	88.56	88.56	29.862	29.862	1	6	0.11113
Story2	C22	UDStIS31 Max	-59.0295	-4.5056	11.655	14.683	-6.3922	312.9647	88.56	88.56	29.862	29.862	1	6	0.081949
Story2	C22	UDStIS31 Max	-59.0117	-4.5056	11.655	13.2878	-5.8711	312.9647	88.56	88.56	29.862	29.862	1	6	0.074162
Story2	C22	UDStIS31 Max	-59.0117	-4.5056	11.655	13.2878	-5.8711	312.9647	88.56	88.56	29.862	29.862	1	6	0.074162
Story2	C22	UDStIS31 Max	-59.0028	-4.5056	11.655	12.5893	-5.6101	312.9647	88.56	88.56	29.862	29.862	1	6	0.070264
Story2	C22	UDStIS31 Max	-59.0028	-4.5056	11.655	12.5893	-5.6101	312.9647	88.56	88.56	29.862	29.862	1	6	0.070264
Story2	C22	UDStIS31 Max	-58.8064	-4.5056	11.655	-2.4966	0.7305	312.9647	88.56	88.56	29.862	29.862	1	6	0.013934
Story2	C22	UDStIS31 Max	-58.655	-4.5056	11.655	-12.732	6.212	312.9647	88.56	88.56	29.862	29.862	1	6	0.07106
Story2	C22	UDStIS31 Max	-56.0968	-4.4833	17.0326	-12.732	6.212	312.9647	88.56	88.56	29.862	29.862	1	6	0.07106
Story2	C22	UDStIS31 Max	-56.0518	-4.4833	17.0326	-17.365	7.8285	312.9647	88.56	88.56	29.862	29.862	1	6	0.096918
Story2	C22	UDStIS31 Max	-56.0518	-4.4833	17.0326	-17.365	7.8285	312.9647	88.56	88.56	29.862	29.862	1	6	0.096918
Story2	C22	UDStIS31 Max	-56.0429	-4.4833	17.0326	-18.282	8.1482	312.9647	88.56	88.56	29.862	29.862	1	6	0.102036
Story2	C22	UDStIS31 Max	-56.0429	-4.4833	17.0326	-18.282	8.1482	312.9647	88.56	88.56	29.862	29.862	1	6	0.102036
Story2	C22	UDStIS31 Max	-56.0251	-4.4833	17.0326	-20.1138	8.7868	312.9647	88.56	88.56	29.862	29.862	1	6	0.11226
Story2	C22	UDStIS31 Min	-60.9152	-5.4827	10.0291	12.6131	-7.3475	312.9647	88.56	88.56	29.862	29.862	1	6	0.070397
Story2	C22	UDStIS31 Min	-60.8973	-5.4827	10.0291	11.4112	-6.7056	312.9647	88.56	88.56	29.862	29.862	1	6	0.063689
Story2	C22	UDStIS31 Min	-60.8973	-5.4827	10.0291	11.4112	-6.7056	312.9647	88.56	88.56	29.862	29.862	1	6	0.063689
Story2	C22	UDStIS31 Min	-60.8884	-5.4827	10.0291	10.8095	-6.3842	312.9647	88.56	88.56	29.862	29.862	1	6	0.06033
Story2	C22	UDStIS31 Min	-60.8884	-5.4827	10.0291	10.8095	-6.3842	312.9647	88.56	88.56	29.862	29.862	1	6	0.06033
Story2	C22	UDStIS31 Min	-60.692	-5.4827	10.0291	-2.8572	0.1721	312.9647	88.56	88.56	29.862	29.862	1	6	0.015947
Story2	C22	UDStIS31 Min	-60.5406	-5.4827	10.0291	-14.7398	4.6331	312.9647	88.56	88.56	29.862	29.862	1	6	0.082266
Story2	C22	UDStIS31 Min	-58.1236	-5.4926	15.6765	-14.7398	4.6331	312.9647	88.56	88.56	29.862	29.862	1	6	0.082266
Story2	C22	UDStIS31 Min	-58.0786	-5.4926	15.6765	-19.7788	5.9422	312.9647	88.56	88.56	29.862	29.862	1	6	0.11039
Story2	C22	UDStIS31 Min	-58.0786	-5.4926	15.6765	-19.7788	5.9422	312.9647	88.56	88.56	29.862	29.862	1	6	0.11039
Story2	C22	UDStIS31 Min	-58.0697	-5.4926	15.6765	-20.776	6.2012	312.9647	88.56	88.56	29.862	29.862	1	6	0.115956
Story2	C22	UDStIS31 Min	-58.0697	-5.4926	15.6765	-20.776	6.2012	312.9647	88.56	88.56	29.862	29.862	1	6	0.115956
Story2	C22	UDStIS31 Min	-58.0518	-5.4926	15.6765	-22.768	6.7185	312.9647	88.56	88.56	29.862	29.862	1	6	0.127073

STORY3															
TABLE: Column Forces															
Story	Column	Load Case/Combo	P	V2	V3	M2	M3	ظرفیت محوری	ظرفیت برشی ۲	ظرفیت برشی ۳	ظرفیت خمشی ۲	ظرفیت خمشی ۳			
			tonf	tonf	tonf	tonf-m	tonf-m	tonf	tonf	tonf	tonf-m	tonf-m	K	m	Acc
Story3	C1	UDStIS31 Max	-2.2654	-4.5259	9.7881	13.7572	-6.1402	312.9647	88.56	88.56	29.862	29.862	1	6	0.076782
Story3	C1	UDStIS31 Max	-2.2558	-4.5259	9.7881	12.6211	-5.6191	312.9647	88.56	88.56	29.862	29.862	1	6	0.070441
Story3	C1	UDStIS31 Max	-2.2558	-4.5259	9.7881	12.6211	-5.6191	312.9647	88.56	88.56	29.862	29.862	1	6	0.070441
Story3	C1	UDStIS31 Max	-2.2509	-4.5259	9.7881	12.0522	-5.3581	312.9647	88.56	88.56	29.862	29.862	1	6	0.067266
Story3	C1	UDStIS31 Max	-2.2509	-4.5259	9.7881	12.0522	-5.3581	312.9647	88.56	88.56	29.862	29.862	1	6	0.067266
Story3	C1	UDStIS31 Max	-2.1451	-4.5259	9.7881	-0.4884	0.504	312.9647	88.56	88.56	29.862	29.862	1	6	0.002726
Story3	C1	UDStIS31 Max	-2.0392	-4.5259	9.7881	-11.5312	7.6995	312.9647	88.56	88.56	29.862	29.862	1	6	0.064358
Story3	C1	UDStIS31 Max	-2.0392	-4.5259	9.7881	-11.5312	7.6995	312.9647	88.56	88.56	29.862	29.862	1	6	0.064358
Story3	C1	UDStIS31 Max	-2.0344	-4.5259	9.7881	-12.0288	8.0236	312.9647	88.56	88.56	29.862	29.862	1	6	0.067135
Story3	C1	UDStIS31 Max	-2.0344	-4.5259	9.7881	-12.0288	8.0236	312.9647	88.56	88.56	29.862	29.862	1	6	0.067135
Story3	C1	UDStIS31 Max	-2.0248	-4.5259	9.7881	-13.0224	8.6709	312.9647	88.56	88.56	29.862	29.862	1	6	0.072681
Story3	C1	UDStIS31 Min	-2.7611	-5.6314	8.5803	12.0601	-7.6774	312.9647	88.56	88.56	29.862	29.862	1	6	0.06731
Story3	C1	UDStIS31 Min	-2.7514	-5.6314	8.5803	11.0641	-7.0278	312.9647	88.56	88.56	29.862	29.862	1	6	0.061751
Story3	C1	UDStIS31 Min	-2.7514	-5.6314	8.5803	11.0641	-7.0278	312.9647	88.56	88.56	29.862	29.862	1	6	0.061751
Story3	C1	UDStIS31 Min	-2.7466	-5.6314	8.5803	10.5653	-6.7026	312.9647	88.56	88.56	29.862	29.862	1	6	0.058967
Story3	C1	UDStIS31 Min	-2.7466	-5.6314	8.5803	10.5653	-6.7026	312.9647	88.56	88.56	29.862	29.862	1	6	0.058967
Story3	C1	UDStIS31 Min	-2.6408	-5.6314	8.5803	-0.5564	0.4233	312.9647	88.56	88.56	29.862	29.862	1	6	0.003105
Story3	C1	UDStIS31 Min	-2.5349	-5.6314	8.5803	-13.1526	6.1953	312.9647	88.56	88.56	29.862	29.862	1	6	0.073408
Story3	C1	UDStIS31 Min	-2.5349	-5.6314	8.5803	-13.1526	6.1953	312.9647	88.56	88.56	29.862	29.862	1	6	0.073408
Story3	C1	UDStIS31 Min	-2.5301	-5.6314	8.5803	-13.7202	6.4553	312.9647	88.56	88.56	29.862	29.862	1	6	0.076576
Story3	C1	UDStIS31 Min	-2.5301	-5.6314	8.5803	-13.7202	6.4553	312.9647	88.56	88.56	29.862	29.862	1	6	0.076576
Story3	C1	UDStIS31 Min	-2.5205	-5.6314	8.5803	-14.8536	6.9745	312.9647	88.56	88.56	29.862	29.862	1	6	0.082901
Story3	C2	UDStIS31 Max	-12.2847	-4.344	13.7878	19.9343	-5.9727	312.9647	88.56	88.56	29.862	29.862	1	6	0.111258
Story3	C2	UDStIS31 Max	-12.275	-4.344	13.7878	18.3451	-5.4726	312.9647	88.56	88.56	29.862	29.862	1	6	0.102388
Story3	C2	UDStIS31 Max	-12.275	-4.344	13.7878	18.3451	-5.4726	312.9647	88.56	88.56	29.862	29.862	1	6	0.102388
Story3	C2	UDStIS31 Max	-12.2702	-4.344	13.7878	17.5492	-5.2221	312.9647	88.56	88.56	29.862	29.862	1	6	0.097946
Story3	C2	UDStIS31 Max	-12.2702	-4.344	13.7878	17.5492	-5.2221	312.9647	88.56	88.56	29.862	29.862	1	6	0.097946

Story3	C2	UDStIS31 Max	-12.1644	-4.344	13.7878	-0.0842	0.3427	312.9647	88.56	88.56	29.862	29.862	1	6	0.00047
Story3	C2	UDStIS31 Max	-12.0585	-4.344	13.7878	-15.6015	6.28	312.9647	88.56	88.56	29.862	29.862	1	6	0.087076
Story3	C2	UDStIS31 Max	-12.0585	-4.344	13.7878	-15.6015	6.28	312.9647	88.56	88.56	29.862	29.862	1	6	0.087076
Story3	C2	UDStIS31 Max	-12.0537	-4.344	13.7878	-16.3011	6.5475	312.9647	88.56	88.56	29.862	29.862	1	6	0.09098
Story3	C2	UDStIS31 Max	-12.0537	-4.344	13.7878	-16.3011	6.5475	312.9647	88.56	88.56	29.862	29.862	1	6	0.09098
Story3	C2	UDStIS31 Max	-12.0441	-4.344	13.7878	-17.6981	7.0817	312.9647	88.56	88.56	29.862	29.862	1	6	0.098777
Story3	C2	UDStIS31 Min	-12.747	-4.6492	12.1249	17.5324	-6.4062	312.9647	88.56	88.56	29.862	29.862	1	6	0.097852
Story3	C2	UDStIS31 Min	-12.7374	-4.6492	12.1249	16.1348	-5.8705	312.9647	88.56	88.56	29.862	29.862	1	6	0.090052
Story3	C2	UDStIS31 Min	-12.7374	-4.6492	12.1249	16.1348	-5.8705	312.9647	88.56	88.56	29.862	29.862	1	6	0.090052
Story3	C2	UDStIS31 Min	-12.7326	-4.6492	12.1249	15.4349	-5.6022	312.9647	88.56	88.56	29.862	29.862	1	6	0.086146
Story3	C2	UDStIS31 Min	-12.7326	-4.6492	12.1249	15.4349	-5.6022	312.9647	88.56	88.56	29.862	29.862	1	6	0.086146
Story3	C2	UDStIS31 Min	-12.6267	-4.6492	12.1249	-0.0981	0.328	312.9647	88.56	88.56	29.862	29.862	1	6	0.000548
Story3	C2	UDStIS31 Min	-12.5209	-4.6492	12.1249	-17.7432	5.8708	312.9647	88.56	88.56	29.862	29.862	1	6	0.099029
Story3	C2	UDStIS31 Min	-12.5209	-4.6492	12.1249	-17.7432	5.8708	312.9647	88.56	88.56	29.862	29.862	1	6	0.099029
Story3	C2	UDStIS31 Min	-12.5161	-4.6492	12.1249	-18.5387	6.1206	312.9647	88.56	88.56	29.862	29.862	1	6	0.103469
Story3	C2	UDStIS31 Min	-12.5161	-4.6492	12.1249	-18.5387	6.1206	312.9647	88.56	88.56	29.862	29.862	1	6	0.103469
Story3	C2	UDStIS31 Min	-12.5065	-4.6492	12.1249	-20.1273	6.6192	312.9647	88.56	88.56	29.862	29.862	1	6	0.112335
Story3	C3	UDStIS31 Max	-7.7082	-4.4553	13.7878	19.8243	-6.1045	312.9647	88.56	88.56	29.862	29.862	1	6	0.110644
Story3	C3	UDStIS31 Max	-7.6986	-4.4553	13.7878	18.2349	-5.5927	312.9647	88.56	88.56	29.862	29.862	1	6	0.101773
Story3	C3	UDStIS31 Max	-7.6986	-4.4553	13.7878	18.2349	-5.5927	312.9647	88.56	88.56	29.862	29.862	1	6	0.101773
Story3	C3	UDStIS31 Max	-7.6938	-4.4553	13.7878	17.4389	-5.3364	312.9647	88.56	88.56	29.862	29.862	1	6	0.09733
Story3	C3	UDStIS31 Max	-7.6938	-4.4553	13.7878	17.4389	-5.3364	312.9647	88.56	88.56	29.862	29.862	1	6	0.09733
Story3	C3	UDStIS31 Max	-7.588	-4.4553	13.7878	-0.1871	0.3847	312.9647	88.56	88.56	29.862	29.862	1	6	0.001044
Story3	C3	UDStIS31 Max	-7.4821	-4.4553	13.7878	-15.7137	6.4794	312.9647	88.56	88.56	29.862	29.862	1	6	0.087702
Story3	C3	UDStIS31 Max	-7.4821	-4.4553	13.7878	-15.7137	6.4794	312.9647	88.56	88.56	29.862	29.862	1	6	0.087702
Story3	C3	UDStIS31 Max	-7.4773	-4.4553	13.7878	-16.4137	6.754	312.9647	88.56	88.56	29.862	29.862	1	6	0.091609
Story3	C3	UDStIS31 Max	-7.4773	-4.4553	13.7878	-16.4137	6.754	312.9647	88.56	88.56	29.862	29.862	1	6	0.091609
Story3	C3	UDStIS31 Max	-7.4677	-4.4553	13.7878	-17.8114	7.3023	312.9647	88.56	88.56	29.862	29.862	1	6	0.09941
Story3	C3	UDStIS31 Min	-8.1093	-4.7824	12.1337	17.4429	-6.544	312.9647	88.56	88.56	29.862	29.862	1	6	0.097353
Story3	C3	UDStIS31 Min	-8.0996	-4.7824	12.1337	16.0441	-5.994	312.9647	88.56	88.56	29.862	29.862	1	6	0.089546
Story3	C3	UDStIS31 Min	-8.0996	-4.7824	12.1337	16.0441	-5.994	312.9647	88.56	88.56	29.862	29.862	1	6	0.089546

Story3	C3	UDStIS31 Min	-8.0948	-4.7824	12.1337	15.3436	-5.7185	312.9647	88.56	88.56	29.862	29.862	1	6	0.085636
Story3	C3	UDStIS31 Min	-8.0948	-4.7824	12.1337	15.3436	-5.7185	312.9647	88.56	88.56	29.862	29.862	1	6	0.085636
Story3	C3	UDStIS31 Min	-7.989	-4.7824	12.1337	-0.209	0.3431	312.9647	88.56	88.56	29.862	29.862	1	6	0.001166
Story3	C3	UDStIS31 Min	-7.8831	-4.7824	12.1337	-17.8523	6.015	312.9647	88.56	88.56	29.862	29.862	1	6	0.099638
Story3	C3	UDStIS31 Min	-7.8831	-4.7824	12.1337	-17.8523	6.015	312.9647	88.56	88.56	29.862	29.862	1	6	0.099638
Story3	C3	UDStIS31 Min	-7.8783	-4.7824	12.1337	-18.6478	6.2706	312.9647	88.56	88.56	29.862	29.862	1	6	0.104078
Story3	C3	UDStIS31 Min	-7.8783	-4.7824	12.1337	-18.6478	6.2706	312.9647	88.56	88.56	29.862	29.862	1	6	0.104078
Story3	C3	UDStIS31 Min	-7.8687	-4.7824	12.1337	-20.2361	6.7809	312.9647	88.56	88.56	29.862	29.862	1	6	0.112942
Story3	C5	UDStIS31 Max	-15.2596	-2.4699	9.7865	13.9262	-3.7733	312.9647	88.56	88.56	29.862	29.862	1	6	0.077725
Story3	C5	UDStIS31 Max	-15.25	-2.4699	9.7865	12.7782	-3.4829	312.9647	88.56	88.56	29.862	29.862	1	6	0.071318
Story3	C5	UDStIS31 Max	-15.25	-2.4699	9.7865	12.7782	-3.4829	312.9647	88.56	88.56	29.862	29.862	1	6	0.071318
Story3	C5	UDStIS31 Max	-15.2452	-2.4699	9.7865	12.2023	-3.3372	312.9647	88.56	88.56	29.862	29.862	1	6	0.068104
Story3	C5	UDStIS31 Max	-15.2452	-2.4699	9.7865	12.2023	-3.3372	312.9647	88.56	88.56	29.862	29.862	1	6	0.068104
Story3	C5	UDStIS31 Max	-15.1393	-2.4699	9.7865	-0.6519	-0.075	312.9647	88.56	88.56	29.862	29.862	1	6	0.003638
Story3	C5	UDStIS31 Max	-15.0335	-2.4699	9.7865	-13.1243	5.4555	312.9647	88.56	88.56	29.862	29.862	1	6	0.07325
Story3	C5	UDStIS31 Max	-15.0335	-2.4699	9.7865	-13.1243	5.4555	312.9647	88.56	88.56	29.862	29.862	1	6	0.07325
Story3	C5	UDStIS31 Max	-15.0287	-2.4699	9.7865	-13.6809	5.7051	312.9647	88.56	88.56	29.862	29.862	1	6	0.076356
Story3	C5	UDStIS31 Max	-15.0287	-2.4699	9.7865	-13.6809	5.7051	312.9647	88.56	88.56	29.862	29.862	1	6	0.076356
Story3	C5	UDStIS31 Max	-15.019	-2.4699	9.7865	-14.7901	6.2024	312.9647	88.56	88.56	29.862	29.862	1	6	0.082547
Story3	C5	UDStIS31 Min	-16.2012	-4.2501	9.51	13.5259	-6.4448	312.9647	88.56	88.56	29.862	29.862	1	6	0.075491
Story3	C5	UDStIS31 Min	-16.1916	-4.2501	9.51	12.4104	-5.9485	312.9647	88.56	88.56	29.862	29.862	1	6	0.069265
Story3	C5	UDStIS31 Min	-16.1916	-4.2501	9.51	12.4104	-5.9485	312.9647	88.56	88.56	29.862	29.862	1	6	0.069265
Story3	C5	UDStIS31 Min	-16.1868	-4.2501	9.51	11.8509	-5.6995	312.9647	88.56	88.56	29.862	29.862	1	6	0.066143
Story3	C5	UDStIS31 Min	-16.1868	-4.2501	9.51	11.8509	-5.6995	312.9647	88.56	88.56	29.862	29.862	1	6	0.066143
Story3	C5	UDStIS31 Min	-16.0809	-4.2501	9.51	-0.6662	-0.1249	312.9647	88.56	88.56	29.862	29.862	1	6	0.003718
Story3	C5	UDStIS31 Min	-15.9751	-4.2501	9.51	-13.5036	3.1906	312.9647	88.56	88.56	29.862	29.862	1	6	0.075367
Story3	C5	UDStIS31 Min	-15.9751	-4.2501	9.51	-13.5036	3.1906	312.9647	88.56	88.56	29.862	29.862	1	6	0.075367
Story3	C5	UDStIS31 Min	-15.9702	-4.2501	9.51	-14.0765	3.3366	312.9647	88.56	88.56	29.862	29.862	1	6	0.078564
Story3	C5	UDStIS31 Min	-15.9702	-4.2501	9.51	-14.0765	3.3366	312.9647	88.56	88.56	29.862	29.862	1	6	0.078564
Story3	C5	UDStIS31 Min	-15.9606	-4.2501	9.51	-15.2182	3.6276	312.9647	88.56	88.56	29.862	29.862	1	6	0.084936
Story3	C6	UDStIS31 Max	-15.5226	-1.893	11.8377	17.2412	-2.6929	312.9647	88.56	88.56	29.862	29.862	1	6	0.096227

Story3	C6	UDStIS31 Max	-15.513	-1.893	11.8377	15.8736	-2.4703	312.9647	88.56	88.56	29.862	29.862	1	6	0.088594
Story3	C6	UDStIS31 Max	-15.513	-1.893	11.8377	15.8736	-2.4703	312.9647	88.56	88.56	29.862	29.862	1	6	0.088594
Story3	C6	UDStIS31 Max	-15.5082	-1.893	11.8377	15.1883	-2.3588	312.9647	88.56	88.56	29.862	29.862	1	6	0.084769
Story3	C6	UDStIS31 Max	-15.5082	-1.893	11.8377	15.1883	-2.3588	312.9647	88.56	88.56	29.862	29.862	1	6	0.084769
Story3	C6	UDStIS31 Max	-15.4024	-1.893	11.8377	-0.0397	0.1225	312.9647	88.56	88.56	29.862	29.862	1	6	0.000222
Story3	C6	UDStIS31 Max	-15.2965	-1.893	11.8377	-14.8053	3.2353	312.9647	88.56	88.56	29.862	29.862	1	6	0.082632
Story3	C6	UDStIS31 Max	-15.2965	-1.893	11.8377	-14.8053	3.2353	312.9647	88.56	88.56	29.862	29.862	1	6	0.082632
Story3	C6	UDStIS31 Max	-15.2917	-1.893	11.8377	-15.4695	3.3753	312.9647	88.56	88.56	29.862	29.862	1	6	0.086339
Story3	C6	UDStIS31 Max	-15.2917	-1.893	11.8377	-15.4695	3.3753	312.9647	88.56	88.56	29.862	29.862	1	6	0.086339
Story3	C6	UDStIS31 Max	-15.2821	-1.893	11.8377	-16.7952	3.6546	312.9647	88.56	88.56	29.862	29.862	1	6	0.093738
Story3	C6	UDStIS31 Min	-15.7424	-2.3901	11.4785	16.7175	-3.4142	312.9647	88.56	88.56	29.862	29.862	1	6	0.093304
Story3	C6	UDStIS31 Min	-15.7328	-2.3901	11.4785	15.3914	-3.1342	312.9647	88.56	88.56	29.862	29.862	1	6	0.085903
Story3	C6	UDStIS31 Min	-15.7328	-2.3901	11.4785	15.3914	-3.1342	312.9647	88.56	88.56	29.862	29.862	1	6	0.085903
Story3	C6	UDStIS31 Min	-15.728	-2.3901	11.4785	14.727	-2.9939	312.9647	88.56	88.56	29.862	29.862	1	6	0.082195
Story3	C6	UDStIS31 Min	-15.728	-2.3901	11.4785	14.727	-2.9939	312.9647	88.56	88.56	29.862	29.862	1	6	0.082195
Story3	C6	UDStIS31 Min	-15.6221	-2.3901	11.4785	-0.0413	0.1177	312.9647	88.56	88.56	29.862	29.862	1	6	0.000231
Story3	C6	UDStIS31 Min	-15.5163	-2.3901	11.4785	-15.2699	2.5907	312.9647	88.56	88.56	29.862	29.862	1	6	0.085225
Story3	C6	UDStIS31 Min	-15.5163	-2.3901	11.4785	-15.2699	2.5907	312.9647	88.56	88.56	29.862	29.862	1	6	0.085225
Story3	C6	UDStIS31 Min	-15.5115	-2.3901	11.4785	-15.9549	2.7019	312.9647	88.56	88.56	29.862	29.862	1	6	0.089048
Story3	C6	UDStIS31 Min	-15.5115	-2.3901	11.4785	-15.9549	2.7019	312.9647	88.56	88.56	29.862	29.862	1	6	0.089048
Story3	C6	UDStIS31 Min	-15.5018	-2.3901	11.4785	-17.3221	2.9237	312.9647	88.56	88.56	29.862	29.862	1	6	0.096679
Story3	C7	UDStIS31 Max	-19.4567	-1.2844	11.7811	17.2364	-1.8295	312.9647	88.56	88.56	29.862	29.862	1	6	0.0962
Story3	C7	UDStIS31 Max	-19.4471	-1.2844	11.7811	15.8692	-1.6749	312.9647	88.56	88.56	29.862	29.862	1	6	0.08857
Story3	C7	UDStIS31 Max	-19.4471	-1.2844	11.7811	15.8692	-1.6749	312.9647	88.56	88.56	29.862	29.862	1	6	0.08857
Story3	C7	UDStIS31 Max	-19.4423	-1.2844	11.7811	15.1835	-1.5973	312.9647	88.56	88.56	29.862	29.862	1	6	0.084743
Story3	C7	UDStIS31 Max	-19.4423	-1.2844	11.7811	15.1835	-1.5973	312.9647	88.56	88.56	29.862	29.862	1	6	0.084743
Story3	C7	UDStIS31 Max	-19.3364	-1.2844	11.7811	-0.1181	0.1415	312.9647	88.56	88.56	29.862	29.862	1	6	0.000659
Story3	C7	UDStIS31 Max	-19.2306	-1.2844	11.7811	-14.9513	2.5443	312.9647	88.56	88.56	29.862	29.862	1	6	0.083447
Story3	C7	UDStIS31 Max	-19.2306	-1.2844	11.7811	-14.9513	2.5443	312.9647	88.56	88.56	29.862	29.862	1	6	0.083447
Story3	C7	UDStIS31 Max	-19.2258	-1.2844	11.7811	-15.6154	2.6517	312.9647	88.56	88.56	29.862	29.862	1	6	0.087153
Story3	C7	UDStIS31 Max	-19.2258	-1.2844	11.7811	-15.6154	2.6517	312.9647	88.56	88.56	29.862	29.862	1	6	0.087153

Story3	C7	UDStIS31 Max	-19.2161	-1.2844	11.7811	-16.9397	2.8659	312.9647	88.56	88.56	29.862	29.862	1	6	0.094544
Story3	C7	UDStIS31 Min	-19.8076	-1.8069	11.4222	16.7101	-2.5905	312.9647	88.56	88.56	29.862	29.862	1	6	0.093263
Story3	C7	UDStIS31 Min	-19.7979	-1.8069	11.4222	15.3847	-2.375	312.9647	88.56	88.56	29.862	29.862	1	6	0.085866
Story3	C7	UDStIS31 Min	-19.7979	-1.8069	11.4222	15.3847	-2.375	312.9647	88.56	88.56	29.862	29.862	1	6	0.085866
Story3	C7	UDStIS31 Min	-19.7931	-1.8069	11.4222	14.7199	-2.267	312.9647	88.56	88.56	29.862	29.862	1	6	0.082155
Story3	C7	UDStIS31 Min	-19.7931	-1.8069	11.4222	14.7199	-2.267	312.9647	88.56	88.56	29.862	29.862	1	6	0.082155
Story3	C7	UDStIS31 Min	-19.6873	-1.8069	11.4222	-0.1219	0.1309	312.9647	88.56	88.56	29.862	29.862	1	6	0.00068
Story3	C7	UDStIS31 Min	-19.5814	-1.8069	11.4222	-15.4222	1.8538	312.9647	88.56	88.56	29.862	29.862	1	6	0.086075
Story3	C7	UDStIS31 Min	-19.5814	-1.8069	11.4222	-15.4222	1.8538	312.9647	88.56	88.56	29.862	29.862	1	6	0.086075
Story3	C7	UDStIS31 Min	-19.5766	-1.8069	11.4222	-16.1073	1.9308	312.9647	88.56	88.56	29.862	29.862	1	6	0.089899
Story3	C7	UDStIS31 Min	-19.5766	-1.8069	11.4222	-16.1073	1.9308	312.9647	88.56	88.56	29.862	29.862	1	6	0.089899
Story3	C7	UDStIS31 Min	-19.567	-1.8069	11.4222	-17.4733	2.0844	312.9647	88.56	88.56	29.862	29.862	1	6	0.097522
Story3	C8	UDStIS31 Max	-32.7199	-0.5567	7.0975	10.4631	-0.8685	312.9647	88.56	88.56	29.862	29.862	1	6	0.058397
Story3	C8	UDStIS31 Max	-32.7103	-0.5567	7.0975	9.6181	-0.7993	312.9647	88.56	88.56	29.862	29.862	1	6	0.053681
Story3	C8	UDStIS31 Max	-32.7103	-0.5567	7.0975	9.6181	-0.7993	312.9647	88.56	88.56	29.862	29.862	1	6	0.053681
Story3	C8	UDStIS31 Max	-32.7055	-0.5567	7.0975	9.1942	-0.7646	312.9647	88.56	88.56	29.862	29.862	1	6	0.051315
Story3	C8	UDStIS31 Max	-32.7055	-0.5567	7.0975	9.1942	-0.7646	312.9647	88.56	88.56	29.862	29.862	1	6	0.051315
Story3	C8	UDStIS31 Max	-32.5996	-0.5567	7.0975	-0.2644	0.0422	312.9647	88.56	88.56	29.862	29.862	1	6	0.001476
Story3	C8	UDStIS31 Max	-32.518	-0.5567	7.0975	-7.3118	2.3178	312.9647	88.56	88.56	29.862	29.862	1	6	0.040809
Story3	C8	UDStIS31 Max	-30.5777	-0.5191	11.232	-7.3118	2.3178	312.9647	88.56	88.56	29.862	29.862	1	6	0.040809
Story3	C8	UDStIS31 Max	-30.5535	-0.5191	11.232	-10.592	2.9826	312.9647	88.56	88.56	29.862	29.862	1	6	0.059116
Story3	C8	UDStIS31 Max	-30.5535	-0.5191	11.232	-10.592	2.9826	312.9647	88.56	88.56	29.862	29.862	1	6	0.059116
Story3	C8	UDStIS31 Max	-30.5487	-0.5191	11.232	-11.2401	3.1137	312.9647	88.56	88.56	29.862	29.862	1	6	0.062734
Story3	C8	UDStIS31 Max	-30.5487	-0.5191	11.232	-11.2401	3.1137	312.9647	88.56	88.56	29.862	29.862	1	6	0.062734
Story3	C8	UDStIS31 Max	-30.539	-0.5191	11.232	-12.5333	3.3751	312.9647	88.56	88.56	29.862	29.862	1	6	0.069951
Story3	C8	UDStIS31 Min	-33.8374	-2.2118	6.8244	10.0796	-3.2956	312.9647	88.56	88.56	29.862	29.862	1	6	0.056257
Story3	C8	UDStIS31 Min	-33.8278	-2.2118	6.8244	9.267	-3.0335	312.9647	88.56	88.56	29.862	29.862	1	6	0.051721
Story3	C8	UDStIS31 Min	-33.8278	-2.2118	6.8244	9.267	-3.0335	312.9647	88.56	88.56	29.862	29.862	1	6	0.051721
Story3	C8	UDStIS31 Min	-33.823	-2.2118	6.8244	8.8593	-2.902	312.9647	88.56	88.56	29.862	29.862	1	6	0.049446
Story3	C8	UDStIS31 Min	-33.823	-2.2118	6.8244	8.8593	-2.902	312.9647	88.56	88.56	29.862	29.862	1	6	0.049446
Story3	C8	UDStIS31 Min	-33.7171	-2.2118	6.8244	-0.2921	0.0123	312.9647	88.56	88.56	29.862	29.862	1	6	0.00163

Story3	C8	UDStIS31 Min	-33.6355	-2.2118	6.8244	-7.619	0.6127	312.9647	88.56	88.56	29.862	29.862	1	6	0.042523
Story3	C8	UDStIS31 Min	-31.7641	-2.2223	11.0984	-7.619	0.6127	312.9647	88.56	88.56	29.862	29.862	1	6	0.042523
Story3	C8	UDStIS31 Min	-31.7398	-2.2223	11.0984	-10.9402	0.7751	312.9647	88.56	88.56	29.862	29.862	1	6	0.06106
Story3	C8	UDStIS31 Min	-31.7398	-2.2223	11.0984	-10.9402	0.7751	312.9647	88.56	88.56	29.862	29.862	1	6	0.06106
Story3	C8	UDStIS31 Min	-31.735	-2.2223	11.0984	-11.5963	0.8071	312.9647	88.56	88.56	29.862	29.862	1	6	0.064722
Story3	C8	UDStIS31 Min	-31.735	-2.2223	11.0984	-11.5963	0.8071	312.9647	88.56	88.56	29.862	29.862	1	6	0.064722
Story3	C8	UDStIS31 Min	-31.7254	-2.2223	11.0984	-12.9055	0.871	312.9647	88.56	88.56	29.862	29.862	1	6	0.072029
Story3	C9	UDStIS31 Max	10.5923	-2.4019	8.5614	11.8028	-3.3802	312.9647	88.56	88.56	29.862	29.862	1	6	0.065874
Story3	C9	UDStIS31 Max	10.602	-2.4019	8.5614	10.8213	-3.1048	312.9647	88.56	88.56	29.862	29.862	1	6	0.060396
Story3	C9	UDStIS31 Max	10.602	-2.4019	8.5614	10.8213	-3.1048	312.9647	88.56	88.56	29.862	29.862	1	6	0.060396
Story3	C9	UDStIS31 Max	10.6068	-2.4019	8.5614	10.3305	-2.9671	312.9647	88.56	88.56	29.862	29.862	1	6	0.057657
Story3	C9	UDStIS31 Max	10.6068	-2.4019	8.5614	10.3305	-2.9671	312.9647	88.56	88.56	29.862	29.862	1	6	0.057657
Story3	C9	UDStIS31 Max	10.7126	-2.4019	8.5614	-0.4244	0.0906	312.9647	88.56	88.56	29.862	29.862	1	6	0.002369
Story3	C9	UDStIS31 Max	10.8185	-2.4019	8.5614	-10.0307	4.684	312.9647	88.56	88.56	29.862	29.862	1	6	0.055984
Story3	C9	UDStIS31 Max	10.8185	-2.4019	8.5614	-10.0307	4.684	312.9647	88.56	88.56	29.862	29.862	1	6	0.055984
Story3	C9	UDStIS31 Max	10.8233	-2.4019	8.5614	-10.4668	4.8926	312.9647	88.56	88.56	29.862	29.862	1	6	0.058418
Story3	C9	UDStIS31 Max	10.8233	-2.4019	8.5614	-10.4668	4.8926	312.9647	88.56	88.56	29.862	29.862	1	6	0.058418
Story3	C9	UDStIS31 Max	10.8329	-2.4019	8.5614	-11.3388	5.3096	312.9647	88.56	88.56	29.862	29.862	1	6	0.063284
Story3	C9	UDStIS31 Min	10.1437	-3.6392	7.6112	10.492	-5.1288	312.9647	88.56	88.56	29.862	29.862	1	6	0.058558
Story3	C9	UDStIS31 Min	10.1534	-3.6392	7.6112	9.6195	-4.7117	312.9647	88.56	88.56	29.862	29.862	1	6	0.053689
Story3	C9	UDStIS31 Min	10.1534	-3.6392	7.6112	9.6195	-4.7117	312.9647	88.56	88.56	29.862	29.862	1	6	0.053689
Story3	C9	UDStIS31 Min	10.1582	-3.6392	7.6112	9.1831	-4.503	312.9647	88.56	88.56	29.862	29.862	1	6	0.051253
Story3	C9	UDStIS31 Min	10.1582	-3.6392	7.6112	9.1831	-4.503	312.9647	88.56	88.56	29.862	29.862	1	6	0.051253
Story3	C9	UDStIS31 Min	10.264	-3.6392	7.6112	-0.4762	0.0651	312.9647	88.56	88.56	29.862	29.862	1	6	0.002658
Story3	C9	UDStIS31 Min	10.3699	-3.6392	7.6112	-11.2816	3.0971	312.9647	88.56	88.56	29.862	29.862	1	6	0.062965
Story3	C9	UDStIS31 Min	10.3699	-3.6392	7.6112	-11.2816	3.0971	312.9647	88.56	88.56	29.862	29.862	1	6	0.062965
Story3	C9	UDStIS31 Min	10.3747	-3.6392	7.6112	-11.7722	3.2348	312.9647	88.56	88.56	29.862	29.862	1	6	0.065703
Story3	C9	UDStIS31 Min	10.3747	-3.6392	7.6112	-11.7722	3.2348	312.9647	88.56	88.56	29.862	29.862	1	6	0.065703
Story3	C9	UDStIS31 Min	10.3843	-3.6392	7.6112	-12.7531	3.51	312.9647	88.56	88.56	29.862	29.862	1	6	0.071178
Story3	C10	UDStIS31 Max	-1.8724	-2.5884	12.122	17.3672	-3.5994	312.9647	88.56	88.56	29.862	29.862	1	6	0.09693
Story3	C10	UDStIS31 Max	-1.8628	-2.5884	12.122	15.9755	-3.3013	312.9647	88.56	88.56	29.862	29.862	1	6	0.089163

Story3	C10	UDStIS31 Max	-1.8628	-2.5884	12.122	15.9755	-3.3013	312.9647	88.56	88.56	29.862	29.862	1	6	0.089163
Story3	C10	UDStIS31 Max	-1.858	-2.5884	12.122	15.2791	-3.1521	312.9647	88.56	88.56	29.862	29.862	1	6	0.085276
Story3	C10	UDStIS31 Max	-1.858	-2.5884	12.122	15.2791	-3.1521	312.9647	88.56	88.56	29.862	29.862	1	6	0.085276
Story3	C10	UDStIS31 Max	-1.7521	-2.5884	12.122	-0.0858	0.1464	312.9647	88.56	88.56	29.862	29.862	1	6	0.000479
Story3	C10	UDStIS31 Max	-1.6463	-2.5884	12.122	-13.8142	3.9327	312.9647	88.56	88.56	29.862	29.862	1	6	0.0771
Story3	C10	UDStIS31 Max	-1.6463	-2.5884	12.122	-13.8142	3.9327	312.9647	88.56	88.56	29.862	29.862	1	6	0.0771
Story3	C10	UDStIS31 Max	-1.6415	-2.5884	12.122	-14.4358	4.1041	312.9647	88.56	88.56	29.862	29.862	1	6	0.08057
Story3	C10	UDStIS31 Max	-1.6415	-2.5884	12.122	-14.4358	4.1041	312.9647	88.56	88.56	29.862	29.862	1	6	0.08057
Story3	C10	UDStIS31 Max	-1.6318	-2.5884	12.122	-15.6781	4.4467	312.9647	88.56	88.56	29.862	29.862	1	6	0.087503
Story3	C10	UDStIS31 Min	-2.535	-2.9776	10.8227	15.5079	-4.1559	312.9647	88.56	88.56	29.862	29.862	1	6	0.086553
Story3	C10	UDStIS31 Min	-2.5254	-2.9776	10.8227	14.2653	-3.813	312.9647	88.56	88.56	29.862	29.862	1	6	0.079618
Story3	C10	UDStIS31 Min	-2.5254	-2.9776	10.8227	14.2653	-3.813	312.9647	88.56	88.56	29.862	29.862	1	6	0.079618
Story3	C10	UDStIS31 Min	-2.5206	-2.9776	10.8227	13.6435	-3.6414	312.9647	88.56	88.56	29.862	29.862	1	6	0.076148
Story3	C10	UDStIS31 Min	-2.5206	-2.9776	10.8227	13.6435	-3.6414	312.9647	88.56	88.56	29.862	29.862	1	6	0.076148
Story3	C10	UDStIS31 Min	-2.4147	-2.9776	10.8227	-0.0979	0.1409	312.9647	88.56	88.56	29.862	29.862	1	6	0.000546
Story3	C10	UDStIS31 Min	-2.3089	-2.9776	10.8227	-15.4739	3.4324	312.9647	88.56	88.56	29.862	29.862	1	6	0.086363
Story3	C10	UDStIS31 Min	-2.3089	-2.9776	10.8227	-15.4739	3.4324	312.9647	88.56	88.56	29.862	29.862	1	6	0.086363
Story3	C10	UDStIS31 Min	-2.3041	-2.9776	10.8227	-16.1701	3.5814	312.9647	88.56	88.56	29.862	29.862	1	6	0.090249
Story3	C10	UDStIS31 Min	-2.3041	-2.9776	10.8227	-16.1701	3.5814	312.9647	88.56	88.56	29.862	29.862	1	6	0.090249
Story3	C10	UDStIS31 Min	-2.2944	-2.9776	10.8227	-17.5615	3.8792	312.9647	88.56	88.56	29.862	29.862	1	6	0.098015
Story3	C11	UDStIS31 Max	-1.8965	-1.7975	12.0657	17.3319	-2.5412	312.9647	88.56	88.56	29.862	29.862	1	6	0.096733
Story3	C11	UDStIS31 Max	-1.8869	-1.7975	12.0657	15.9451	-2.3332	312.9647	88.56	88.56	29.862	29.862	1	6	0.088993
Story3	C11	UDStIS31 Max	-1.8869	-1.7975	12.0657	15.9451	-2.3332	312.9647	88.56	88.56	29.862	29.862	1	6	0.088993
Story3	C11	UDStIS31 Max	-1.8821	-1.7975	12.0657	15.251	-2.2292	312.9647	88.56	88.56	29.862	29.862	1	6	0.085119
Story3	C11	UDStIS31 Max	-1.8821	-1.7975	12.0657	15.251	-2.2292	312.9647	88.56	88.56	29.862	29.862	1	6	0.085119
Story3	C11	UDStIS31 Max	-1.7762	-1.7975	12.0657	-0.0812	0.094	312.9647	88.56	88.56	29.862	29.862	1	6	0.000453
Story3	C11	UDStIS31 Max	-1.6703	-1.7975	12.0657	-13.8061	2.9244	312.9647	88.56	88.56	29.862	29.862	1	6	0.077055
Story3	C11	UDStIS31 Max	-1.6703	-1.7975	12.0657	-13.8061	2.9244	312.9647	88.56	88.56	29.862	29.862	1	6	0.077055
Story3	C11	UDStIS31 Max	-1.6655	-1.7975	12.0657	-14.4269	3.0524	312.9647	88.56	88.56	29.862	29.862	1	6	0.08052
Story3	C11	UDStIS31 Max	-1.6655	-1.7975	12.0657	-14.4269	3.0524	312.9647	88.56	88.56	29.862	29.862	1	6	0.08052
Story3	C11	UDStIS31 Max	-1.6559	-1.7975	12.0657	-15.6671	3.308	312.9647	88.56	88.56	29.862	29.862	1	6	0.087442

Story3	C11	UDStIS31 Min	-2.6022	-2.2143	10.7935	15.5064	-3.1218	312.9647	88.56	88.56	29.862	29.862	1	6	0.086545
Story3	C11	UDStIS31 Min	-2.5925	-2.2143	10.7935	14.2658	-2.8658	312.9647	88.56	88.56	29.862	29.862	1	6	0.079621
Story3	C11	UDStIS31 Min	-2.5925	-2.2143	10.7935	14.2658	-2.8658	312.9647	88.56	88.56	29.862	29.862	1	6	0.079621
Story3	C11	UDStIS31 Min	-2.5877	-2.2143	10.7935	13.6449	-2.7377	312.9647	88.56	88.56	29.862	29.862	1	6	0.076155
Story3	C11	UDStIS31 Min	-2.5877	-2.2143	10.7935	13.6449	-2.7377	312.9647	88.56	88.56	29.862	29.862	1	6	0.076155
Story3	C11	UDStIS31 Min	-2.4819	-2.2143	10.7935	-0.0925	0.0706	312.9647	88.56	88.56	29.862	29.862	1	6	0.000516
Story3	C11	UDStIS31 Min	-2.376	-2.2143	10.7935	-15.4347	2.3694	312.9647	88.56	88.56	29.862	29.862	1	6	0.086145
Story3	C11	UDStIS31 Min	-2.376	-2.2143	10.7935	-15.4347	2.3694	312.9647	88.56	88.56	29.862	29.862	1	6	0.086145
Story3	C11	UDStIS31 Min	-2.3712	-2.2143	10.7935	-16.1285	2.4733	312.9647	88.56	88.56	29.862	29.862	1	6	0.090017
Story3	C11	UDStIS31 Min	-2.3712	-2.2143	10.7935	-16.1285	2.4733	312.9647	88.56	88.56	29.862	29.862	1	6	0.090017
Story3	C11	UDStIS31 Min	-2.3616	-2.2143	10.7935	-17.5149	2.681	312.9647	88.56	88.56	29.862	29.862	1	6	0.097755
Story3	C12	UDStIS31 Max	-11.1297	-0.5767	8.6999	12.0021	-0.8095	312.9647	88.56	88.56	29.862	29.862	1	6	0.066986
Story3	C12	UDStIS31 Max	-11.12	-0.5767	8.6999	10.9974	-0.7418	312.9647	88.56	88.56	29.862	29.862	1	6	0.061379
Story3	C12	UDStIS31 Max	-11.12	-0.5767	8.6999	10.9974	-0.7418	312.9647	88.56	88.56	29.862	29.862	1	6	0.061379
Story3	C12	UDStIS31 Max	-11.1152	-0.5767	8.6999	10.4945	-0.7079	312.9647	88.56	88.56	29.862	29.862	1	6	0.058572
Story3	C12	UDStIS31 Max	-11.1152	-0.5767	8.6999	10.4945	-0.7079	312.9647	88.56	88.56	29.862	29.862	1	6	0.058572
Story3	C12	UDStIS31 Max	-11.0094	-0.5767	8.6999	-0.5509	0.1096	312.9647	88.56	88.56	29.862	29.862	1	6	0.003075
Story3	C12	UDStIS31 Max	-10.9035	-0.5767	8.6999	-10.4638	2.5861	312.9647	88.56	88.56	29.862	29.862	1	6	0.058401
Story3	C12	UDStIS31 Max	-10.9035	-0.5767	8.6999	-10.4638	2.5861	312.9647	88.56	88.56	29.862	29.862	1	6	0.058401
Story3	C12	UDStIS31 Max	-10.8987	-0.5767	8.6999	-10.9118	2.698	312.9647	88.56	88.56	29.862	29.862	1	6	0.060901
Story3	C12	UDStIS31 Max	-10.8987	-0.5767	8.6999	-10.9118	2.698	312.9647	88.56	88.56	29.862	29.862	1	6	0.060901
Story3	C12	UDStIS31 Max	-10.8891	-0.5767	8.6999	-11.8069	2.9216	312.9647	88.56	88.56	29.862	29.862	1	6	0.065897
Story3	C12	UDStIS31 Min	-11.7894	-1.932	7.7654	10.7156	-2.7046	312.9647	88.56	88.56	29.862	29.862	1	6	0.059806
Story3	C12	UDStIS31 Min	-11.7798	-1.932	7.7654	9.8188	-2.4806	312.9647	88.56	88.56	29.862	29.862	1	6	0.054801
Story3	C12	UDStIS31 Min	-11.7798	-1.932	7.7654	9.8188	-2.4806	312.9647	88.56	88.56	29.862	29.862	1	6	0.054801
Story3	C12	UDStIS31 Min	-11.7749	-1.932	7.7654	9.3699	-2.3685	312.9647	88.56	88.56	29.862	29.862	1	6	0.052296
Story3	C12	UDStIS31 Min	-11.7749	-1.932	7.7654	9.3699	-2.3685	312.9647	88.56	88.56	29.862	29.862	1	6	0.052296
Story3	C12	UDStIS31 Min	-11.6691	-1.932	7.7654	-0.6194	0.0402	312.9647	88.56	88.56	29.862	29.862	1	6	0.003457
Story3	C12	UDStIS31 Min	-11.5632	-1.932	7.7654	-11.7245	0.7878	312.9647	88.56	88.56	29.862	29.862	1	6	0.065437
Story3	C12	UDStIS31 Min	-11.5632	-1.932	7.7654	-11.7245	0.7878	312.9647	88.56	88.56	29.862	29.862	1	6	0.065437
Story3	C12	UDStIS31 Min	-11.5584	-1.932	7.7654	-12.2264	0.8216	312.9647	88.56	88.56	29.862	29.862	1	6	0.068238

Story3	C12	UDStIS31 Min	-11.5584	-1.932	7.7654	-12.2264	0.8216	312.9647	88.56	88.56	29.862	29.862	1	6	0.068238
Story3	C12	UDStIS31 Min	-11.5488	-1.932	7.7654	-13.2291	0.889	312.9647	88.56	88.56	29.862	29.862	1	6	0.073835
Story3	C22	UDStIS31 Max	-21.4238	-3.0775	8.4945	12.3151	-4.0717	312.9647	88.56	88.56	29.862	29.862	1	6	0.068733
Story3	C22	UDStIS31 Max	-21.4141	-3.0775	8.4945	11.3225	-3.718	312.9647	88.56	88.56	29.862	29.862	1	6	0.063193
Story3	C22	UDStIS31 Max	-21.4141	-3.0775	8.4945	11.3225	-3.718	312.9647	88.56	88.56	29.862	29.862	1	6	0.063193
Story3	C22	UDStIS31 Max	-21.4093	-3.0775	8.4945	10.8252	-3.5407	312.9647	88.56	88.56	29.862	29.862	1	6	0.060418
Story3	C22	UDStIS31 Max	-21.4093	-3.0775	8.4945	10.8252	-3.5407	312.9647	88.56	88.56	29.862	29.862	1	6	0.060418
Story3	C22	UDStIS31 Max	-21.3035	-3.0775	8.4945	-0.1244	0.4955	312.9647	88.56	88.56	29.862	29.862	1	6	0.000694
Story3	C22	UDStIS31 Max	-21.2219	-3.0775	8.4945	-7.4538	4.5679	312.9647	88.56	88.56	29.862	29.862	1	6	0.041601
Story3	C22	UDStIS31 Max	-19.5685	-3.0386	11.6202	-7.4538	4.5679	312.9647	88.56	88.56	29.862	29.862	1	6	0.041601
Story3	C22	UDStIS31 Max	-19.5443	-3.0386	11.6202	-10.6501	5.7647	312.9647	88.56	88.56	29.862	29.862	1	6	0.059441
Story3	C22	UDStIS31 Max	-19.5443	-3.0386	11.6202	-10.6501	5.7647	312.9647	88.56	88.56	29.862	29.862	1	6	0.059441
Story3	C22	UDStIS31 Max	-19.5394	-3.0386	11.6202	-11.2827	6.0014	312.9647	88.56	88.56	29.862	29.862	1	6	0.062971
Story3	C22	UDStIS31 Max	-19.5394	-3.0386	11.6202	-11.2827	6.0014	312.9647	88.56	88.56	29.862	29.862	1	6	0.062971
Story3	C22	UDStIS31 Max	-19.5298	-3.0386	11.6202	-12.5465	6.4739	312.9647	88.56	88.56	29.862	29.862	1	6	0.070025
Story3	C22	UDStIS31 Min	-21.9109	-4.1154	7.2953	10.6496	-5.5036	312.9647	88.56	88.56	29.862	29.862	1	6	0.059438
Story3	C22	UDStIS31 Min	-21.9012	-4.1154	7.2953	9.7966	-5.0281	312.9647	88.56	88.56	29.862	29.862	1	6	0.054677
Story3	C22	UDStIS31 Min	-21.9012	-4.1154	7.2953	9.7966	-5.0281	312.9647	88.56	88.56	29.862	29.862	1	6	0.054677
Story3	C22	UDStIS31 Min	-21.8964	-4.1154	7.2953	9.3693	-4.7899	312.9647	88.56	88.56	29.862	29.862	1	6	0.052292
Story3	C22	UDStIS31 Min	-21.8964	-4.1154	7.2953	9.3693	-4.7899	312.9647	88.56	88.56	29.862	29.862	1	6	0.052292
Story3	C22	UDStIS31 Min	-21.7906	-4.1154	7.2953	-0.222	0.3916	312.9647	88.56	88.56	29.862	29.862	1	6	0.001239
Story3	C22	UDStIS31 Min	-21.709	-4.1154	7.2953	-8.7494	3.4209	312.9647	88.56	88.56	29.862	29.862	1	6	0.048832
Story3	C22	UDStIS31 Min	-20.3083	-4.118	10.9345	-8.7494	3.4209	312.9647	88.56	88.56	29.862	29.862	1	6	0.048832
Story3	C22	UDStIS31 Min	-20.284	-4.118	10.9345	-12.1487	4.3006	312.9647	88.56	88.56	29.862	29.862	1	6	0.067805
Story3	C22	UDStIS31 Min	-20.284	-4.118	10.9345	-12.1487	4.3006	312.9647	88.56	88.56	29.862	29.862	1	6	0.067805
Story3	C22	UDStIS31 Min	-20.2792	-4.118	10.9345	-12.8214	4.4745	312.9647	88.56	88.56	29.862	29.862	1	6	0.071559
Story3	C22	UDStIS31 Min	-20.2792	-4.118	10.9345	-12.8214	4.4745	312.9647	88.56	88.56	29.862	29.862	1	6	0.071559
Story3	C22	UDStIS31 Min	-20.2696	-4.118	10.9345	-14.1651	4.8218	312.9647	88.56	88.56	29.862	29.862	1	6	0.079059

STORY4															
TABLE: Column Forces															
Story	Column	Load Case/Combo	P	V2	V3	M2	M3	ظرفیت محوری	ظرفیت برشی ۲	ظرفیت برشی ۳	ظرفیت خمشی ۲	ظرفیت خمشی ۳			
			tonf	tonf	tonf	tonf-m	tonf-m	tonf	tonf	tonf	tonf-m	tonf-m	K	m	Acc
Story4	C7	UDStIS31 Max	-1.1393	0.008	0.5045	0.5341	0.3399	312.9647	88.56	88.56	29.862	29.862	1	6	0.002981
Story4	C7	UDStIS31 Max	-1.1297	0.008	0.5045	0.4761	0.3393	312.9647	88.56	88.56	29.862	29.862	1	6	0.002657
Story4	C7	UDStIS31 Max	-1.1297	0.008	0.5045	0.4761	0.3393	312.9647	88.56	88.56	29.862	29.862	1	6	0.002657
Story4	C7	UDStIS31 Max	-1.1249	0.008	0.5045	0.4471	0.339	312.9647	88.56	88.56	29.862	29.862	1	6	0.002495
Story4	C7	UDStIS31 Max	-1.1249	0.008	0.5045	0.4471	0.339	312.9647	88.56	88.56	29.862	29.862	1	6	0.002495
Story4	C7	UDStIS31 Max	-1.019	0.008	0.5045	-0.1914	0.3364	312.9647	88.56	88.56	29.862	29.862	1	6	0.001068
Story4	C7	UDStIS31 Max	-0.9132	0.008	0.5045	-0.8295	0.3957	312.9647	88.56	88.56	29.862	29.862	1	6	0.00463
Story4	C7	UDStIS31 Max	-0.9132	0.008	0.5045	-0.8295	0.3957	312.9647	88.56	88.56	29.862	29.862	1	6	0.00463
Story4	C7	UDStIS31 Max	-0.9084	0.008	0.5045	-0.8584	0.3983	312.9647	88.56	88.56	29.862	29.862	1	6	0.004791
Story4	C7	UDStIS31 Max	-0.9084	0.008	0.5045	-0.8584	0.3983	312.9647	88.56	88.56	29.862	29.862	1	6	0.004791
Story4	C7	UDStIS31 Max	-0.8987	0.008	0.5045	-0.9163	0.4037	312.9647	88.56	88.56	29.862	29.862	1	6	0.005114
Story4	C7	UDStIS31 Min	-1.2079	-0.0453	0.4972	0.5111	0.2681	312.9647	88.56	88.56	29.862	29.862	1	6	0.002853
Story4	C7	UDStIS31 Min	-1.1982	-0.0453	0.4972	0.4539	0.2737	312.9647	88.56	88.56	29.862	29.862	1	6	0.002533
Story4	C7	UDStIS31 Min	-1.1982	-0.0453	0.4972	0.4539	0.2737	312.9647	88.56	88.56	29.862	29.862	1	6	0.002533
Story4	C7	UDStIS31 Min	-1.1934	-0.0453	0.4972	0.4252	0.2764	312.9647	88.56	88.56	29.862	29.862	1	6	0.002373
Story4	C7	UDStIS31 Min	-1.1934	-0.0453	0.4972	0.4252	0.2764	312.9647	88.56	88.56	29.862	29.862	1	6	0.002373
Story4	C7	UDStIS31 Min	-1.0876	-0.0453	0.4972	-0.2042	0.3316	312.9647	88.56	88.56	29.862	29.862	1	6	0.00114
Story4	C7	UDStIS31 Min	-0.9817	-0.0453	0.4972	-0.8332	0.3234	312.9647	88.56	88.56	29.862	29.862	1	6	0.00465
Story4	C7	UDStIS31 Min	-0.9817	-0.0453	0.4972	-0.8332	0.3234	312.9647	88.56	88.56	29.862	29.862	1	6	0.00465
Story4	C7	UDStIS31 Min	-0.9769	-0.0453	0.4972	-0.8618	0.323	312.9647	88.56	88.56	29.862	29.862	1	6	0.00481
Story4	C7	UDStIS31 Min	-0.9769	-0.0453	0.4972	-0.8618	0.323	312.9647	88.56	88.56	29.862	29.862	1	6	0.00481
Story4	C7	UDStIS31 Min	-0.9673	-0.0453	0.4972	-0.9188	0.3222	312.9647	88.56	88.56	29.862	29.862	1	6	0.005128
Story4	C8	UDStIS31 Max	-1.7461	0.0219	-0.6956	-2.5924	0.2151	312.9647	88.56	88.56	29.862	29.862	1	6	0.014469
Story4	C8	UDStIS31 Max	-1.7365	0.0219	-0.6956	-2.5135	0.2128	312.9647	88.56	88.56	29.862	29.862	1	6	0.014028
Story4	C8	UDStIS31 Max	-1.7365	0.0219	-0.6956	-2.5135	0.2128	312.9647	88.56	88.56	29.862	29.862	1	6	0.014028
Story4	C8	UDStIS31 Max	-1.7317	0.0219	-0.6956	-2.4741	0.2116	312.9647	88.56	88.56	29.862	29.862	1	6	0.013809
Story4	C8	UDStIS31 Max	-1.7317	0.0219	-0.6956	-2.4741	0.2116	312.9647	88.56	88.56	29.862	29.862	1	6	0.013809

Story4	C8	UDStIS31 Max	-1.6258	0.0219	-0.6956	-1.6032	0.2225	312.9647	88.56	88.56	29.862	29.862	1	6	0.008948
Story4	C8	UDStIS31 Max	-1.52	0.0219	-0.6956	-0.7228	0.2349	312.9647	88.56	88.56	29.862	29.862	1	6	0.004034
Story4	C8	UDStIS31 Max	-1.52	0.0219	-0.6956	-0.7228	0.2349	312.9647	88.56	88.56	29.862	29.862	1	6	0.004034
Story4	C8	UDStIS31 Max	-1.5152	0.0219	-0.6956	-0.6809	0.2355	312.9647	88.56	88.56	29.862	29.862	1	6	0.0038
Story4	C8	UDStIS31 Max	-1.5152	0.0219	-0.6956	-0.6809	0.2355	312.9647	88.56	88.56	29.862	29.862	1	6	0.0038
Story4	C8	UDStIS31 Max	-1.5055	0.0219	-0.6956	-0.597	0.2366	312.9647	88.56	88.56	29.862	29.862	1	6	0.003332
Story4	C8	UDStIS31 Min	-1.7655	-0.0085	-0.7336	-2.6878	0.2077	312.9647	88.56	88.56	29.862	29.862	1	6	0.015001
Story4	C8	UDStIS31 Min	-1.7559	-0.0085	-0.7336	-2.6046	0.2089	312.9647	88.56	88.56	29.862	29.862	1	6	0.014537
Story4	C8	UDStIS31 Min	-1.7559	-0.0085	-0.7336	-2.6046	0.2089	312.9647	88.56	88.56	29.862	29.862	1	6	0.014537
Story4	C8	UDStIS31 Min	-1.7511	-0.0085	-0.7336	-2.563	0.2095	312.9647	88.56	88.56	29.862	29.862	1	6	0.014305
Story4	C8	UDStIS31 Min	-1.7511	-0.0085	-0.7336	-2.563	0.2095	312.9647	88.56	88.56	29.862	29.862	1	6	0.014305
Story4	C8	UDStIS31 Min	-1.6452	-0.0085	-0.7336	-1.6446	0.1858	312.9647	88.56	88.56	29.862	29.862	1	6	0.009179
Story4	C8	UDStIS31 Min	-1.5394	-0.0085	-0.7336	-0.7292	0.1597	312.9647	88.56	88.56	29.862	29.862	1	6	0.00407
Story4	C8	UDStIS31 Min	-1.5394	-0.0085	-0.7336	-0.7292	0.1597	312.9647	88.56	88.56	29.862	29.862	1	6	0.00407
Story4	C8	UDStIS31 Min	-1.5346	-0.0085	-0.7336	-0.6894	0.1585	312.9647	88.56	88.56	29.862	29.862	1	6	0.003848
Story4	C8	UDStIS31 Min	-1.5346	-0.0085	-0.7336	-0.6894	0.1585	312.9647	88.56	88.56	29.862	29.862	1	6	0.003848
Story4	C8	UDStIS31 Min	-1.5249	-0.0085	-0.7336	-0.6099	0.1561	312.9647	88.56	88.56	29.862	29.862	1	6	0.003404
Story4	C11	UDStIS31 Max	-0.4359	-0.0951	0.5035	0.4765	0.0634	312.9647	88.56	88.56	29.862	29.862	1	6	0.002659
Story4	C11	UDStIS31 Max	-0.4263	-0.0951	0.5035	0.4187	0.0757	312.9647	88.56	88.56	29.862	29.862	1	6	0.002337
Story4	C11	UDStIS31 Max	-0.4263	-0.0951	0.5035	0.4187	0.0757	312.9647	88.56	88.56	29.862	29.862	1	6	0.002337
Story4	C11	UDStIS31 Max	-0.4215	-0.0951	0.5035	0.3898	0.0818	312.9647	88.56	88.56	29.862	29.862	1	6	0.002176
Story4	C11	UDStIS31 Max	-0.4215	-0.0951	0.5035	0.3898	0.0818	312.9647	88.56	88.56	29.862	29.862	1	6	0.002176
Story4	C11	UDStIS31 Max	-0.3156	-0.0951	0.5035	-0.2127	0.2168	312.9647	88.56	88.56	29.862	29.862	1	6	0.001187
Story4	C11	UDStIS31 Max	-0.2097	-0.0951	0.5035	-0.7613	0.3514	312.9647	88.56	88.56	29.862	29.862	1	6	0.004249
Story4	C11	UDStIS31 Max	-0.2097	-0.0951	0.5035	-0.7613	0.3514	312.9647	88.56	88.56	29.862	29.862	1	6	0.004249
Story4	C11	UDStIS31 Max	-0.2049	-0.0951	0.5035	-0.7862	0.3575	312.9647	88.56	88.56	29.862	29.862	1	6	0.004388
Story4	C11	UDStIS31 Max	-0.2049	-0.0951	0.5035	-0.7862	0.3575	312.9647	88.56	88.56	29.862	29.862	1	6	0.004388
Story4	C11	UDStIS31 Max	-0.1953	-0.0951	0.5035	-0.836	0.3697	312.9647	88.56	88.56	29.862	29.862	1	6	0.004666
Story4	C11	UDStIS31 Min	-0.5617	-0.1058	0.4345	0.4112	0.0377	312.9647	88.56	88.56	29.862	29.862	1	6	0.002295
Story4	C11	UDStIS31 Min	-0.5521	-0.1058	0.4345	0.3613	0.0488	312.9647	88.56	88.56	29.862	29.862	1	6	0.002016
Story4	C11	UDStIS31 Min	-0.5521	-0.1058	0.4345	0.3613	0.0488	312.9647	88.56	88.56	29.862	29.862	1	6	0.002016

Story4	C11	UDStIS31 Min	-0.5473	-0.1058	0.4345	0.3363	0.0543	312.9647	88.56	88.56	29.862	29.862	1	6	0.001877
Story4	C11	UDStIS31 Min	-0.5473	-0.1058	0.4345	0.3363	0.0543	312.9647	88.56	88.56	29.862	29.862	1	6	0.001877
Story4	C11	UDStIS31 Min	-0.4414	-0.1058	0.4345	-0.2462	0.1755	312.9647	88.56	88.56	29.862	29.862	1	6	0.001374
Story4	C11	UDStIS31 Min	-0.3356	-0.1058	0.4345	-0.8818	0.2965	312.9647	88.56	88.56	29.862	29.862	1	6	0.004922
Story4	C11	UDStIS31 Min	-0.3356	-0.1058	0.4345	-0.8818	0.2965	312.9647	88.56	88.56	29.862	29.862	1	6	0.004922
Story4	C11	UDStIS31 Min	-0.3308	-0.1058	0.4345	-0.9106	0.302	312.9647	88.56	88.56	29.862	29.862	1	6	0.005082
Story4	C11	UDStIS31 Min	-0.3308	-0.1058	0.4345	-0.9106	0.302	312.9647	88.56	88.56	29.862	29.862	1	6	0.005082
Story4	C11	UDStIS31 Min	-0.3211	-0.1058	0.4345	-0.9683	0.313	312.9647	88.56	88.56	29.862	29.862	1	6	0.005404
Story4	C12	UDStIS31 Max	-1.6668	0.1596	-0.2434	-1.4929	0.5228	312.9647	88.56	88.56	29.862	29.862	1	6	0.008332
Story4	C12	UDStIS31 Max	-1.6571	0.1596	-0.2434	-1.4656	0.5049	312.9647	88.56	88.56	29.862	29.862	1	6	0.00818
Story4	C12	UDStIS31 Max	-1.6571	0.1596	-0.2434	-1.4656	0.5049	312.9647	88.56	88.56	29.862	29.862	1	6	0.00818
Story4	C12	UDStIS31 Max	-1.6523	0.1596	-0.2434	-1.452	0.4959	312.9647	88.56	88.56	29.862	29.862	1	6	0.008104
Story4	C12	UDStIS31 Max	-1.6523	0.1596	-0.2434	-1.452	0.4959	312.9647	88.56	88.56	29.862	29.862	1	6	0.008104
Story4	C12	UDStIS31 Max	-1.5465	0.1596	-0.2434	-1.1501	0.2976	312.9647	88.56	88.56	29.862	29.862	1	6	0.006419
Story4	C12	UDStIS31 Max	-1.4406	0.1596	-0.2434	-0.8456	0.0987	312.9647	88.56	88.56	29.862	29.862	1	6	0.004719
Story4	C12	UDStIS31 Max	-1.4406	0.1596	-0.2434	-0.8456	0.0987	312.9647	88.56	88.56	29.862	29.862	1	6	0.004719
Story4	C12	UDStIS31 Max	-1.4358	0.1596	-0.2434	-0.8317	0.0896	312.9647	88.56	88.56	29.862	29.862	1	6	0.004642
Story4	C12	UDStIS31 Max	-1.4358	0.1596	-0.2434	-0.8317	0.0896	312.9647	88.56	88.56	29.862	29.862	1	6	0.004642
Story4	C12	UDStIS31 Max	-1.4262	0.1596	-0.2434	-0.8039	0.0715	312.9647	88.56	88.56	29.862	29.862	1	6	0.004487
Story4	C12	UDStIS31 Min	-1.7046	0.0651	-0.2671	-1.65	0.2439	312.9647	88.56	88.56	29.862	29.862	1	6	0.009209
Story4	C12	UDStIS31 Min	-1.695	0.0651	-0.2671	-1.6202	0.2367	312.9647	88.56	88.56	29.862	29.862	1	6	0.009043
Story4	C12	UDStIS31 Min	-1.695	0.0651	-0.2671	-1.6202	0.2367	312.9647	88.56	88.56	29.862	29.862	1	6	0.009043
Story4	C12	UDStIS31 Min	-1.6902	0.0651	-0.2671	-1.6052	0.2331	312.9647	88.56	88.56	29.862	29.862	1	6	0.008959
Story4	C12	UDStIS31 Min	-1.6902	0.0651	-0.2671	-1.6052	0.2331	312.9647	88.56	88.56	29.862	29.862	1	6	0.008959
Story4	C12	UDStIS31 Min	-1.5843	0.0651	-0.2671	-1.2738	0.153	312.9647	88.56	88.56	29.862	29.862	1	6	0.007109
Story4	C12	UDStIS31 Min	-1.4785	0.0651	-0.2671	-0.9395	0.0725	312.9647	88.56	88.56	29.862	29.862	1	6	0.005244
Story4	C12	UDStIS31 Min	-1.4785	0.0651	-0.2671	-0.9395	0.0725	312.9647	88.56	88.56	29.862	29.862	1	6	0.005244
Story4	C12	UDStIS31 Min	-1.4737	0.0651	-0.2671	-0.9243	0.0689	312.9647	88.56	88.56	29.862	29.862	1	6	0.005159
Story4	C12	UDStIS31 Min	-1.4737	0.0651	-0.2671	-0.9243	0.0689	312.9647	88.56	88.56	29.862	29.862	1	6	0.005159
Story4	C12	UDStIS31 Min	-1.464	0.0651	-0.2671	-0.8938	0.0615	312.9647	88.56	88.56	29.862	29.862	1	6	0.004989

پی

ابعاد پی

ضخامت پی مورد نظر برابر با ۸۰ سانتی متر میباشد و عرض پی در تمامی نوار ها برابر با ۹۰ سانتی متر میباشد.

مصالح مورد استفاده در پی

۱۶-۲-۱- بتن

مشخصات مصالح بتنی	
وزن واحد حجم	2500 kg/m ³
مدول ارتجاعی	26500 MPa
ضریب پواسون	0.15
مقاومت فشاری بتن	25 MPa
تنش تسلیم میلگرد طولی (AIII)	400 MPa
تنش گسیختگی میلگرد طولی (AIII)	600 MPa
تنش تسلیم میلگرد عرضی (AII)	300 MPa
تنش گسیختگی میلگرد عرضی (AII)	500 MPa

۱۶-۲-۲- خاک

تیپ خاک مطابق آیین نامه

تنش مجاز

III

2 kg/cm²

محاسبه ضریب ارتجاعی

مقدار ضریب ارتجاعی از رابطه زیر به دست می‌آید :

$$K_s = \frac{(S.F) * q_a}{\Delta H}$$

که S.F برابر با ضریب اطمینان می‌باشد که طبق مراجع این ضریب بین ۲ تا ۳ در نظر گرفته می‌شود که در این پروژه از ضریب ۳ استفاده شده است.

همچنین ΔH نشست مجاز فونداسیون ها می‌باشد که با فرض خاک ماسه ای و پی نواری این مقدار برابر با ۲/۵ فرض می‌شود.

در نتیجه داریم :

$$K_s = \frac{3 * q_a}{2.5} = 1.2q_a = 1.2 * 2 = 2.4 \text{ kg/cm}^2$$

الگوهای بار

الگوهای بار در نرم افزار Safe دقیقاً مانند ETABS می‌باشد و اطلاعات از آنجا Export شده است. منتهی به دلیل این که پی با حالت استاتیکی تعریف شده است باید قبل از آن الگوهای بار استاتیکی در نرم افزار ETABS تعریف شود

ترکیب بارگذاری

ترکیب بارهای کنترل تنش زیر پی

مطابق آیین نامه‌های طراحی ساختمان‌های بتنی ، ابعاد کف پی‌ها و یا شالوده‌ها بر اساس کنترل تنش مجاز خاک

تعیین میشود

نام ترکیب بار	ترکیب بار
T01	$Dead$
T02	$(Dead) + (live + LREAD + LREAD0.5)$
T03	$(Dead) + (LROOF)$
T04	$(Dead) + 0.75(Live + LREAD + LREAD0.5) + 0.75(LROOF)$
T05-T08	$1.21(Dead) + 0.75(Live + LREAD + LREAD0.5) + 0.75(Snow)$ $+ 0.525(\pm EXP \pm EY + EZ)$
T09-T12	$1.21(Dead) + 0.75(Live + LREAD + LREAD0.5) + 0.75(Snow)$ $+ 0.525(\pm EXN \pm EY + EZ)$
T13-T16	$1.21(Dead) + 0.75(Live + LREAD + LREAD0.5) + 0.75(Snow)$ $+ 0.525(\pm EX \pm EYP + EZ)$
T17-T20	$1.21(Dead) + 0.75(Live + LREAD + LREAD0.5) + 0.75(Snow)$ $+ 0.525(\pm EX \pm EYN + EZ)$
T21-T24	$0.6(Dead) + 0.7(\pm EXP \pm EY)$
T25-T28	$0.6(Dead) + 0.7(\pm EXN \pm EY)$
T29-T32	$0.6(Dead) + 0.7(\pm EX \pm EYP)$
T33-T36	$0.6(Dead) + 0.7(\pm EX \pm EYN)$

ترکیب بارهای طراحی

این ترکیب بارها به منظور مشخص شدن میزان آرماتورهای خمشی و همچنین کنترل ضخامت پی به سیستم

وارد میشوند که به شرح زیر میباشند

نام ترکیب بار	ترکیب بار
Comb 01	$1.4(Dead)$
Comb 02	$1.2(Dead) + 1.6(Live + LREAD + LREAD0.5) + 0.5(LRoof)$
Comb 03	$1.2(Dead) + 1(Live + LREAD + 0.5LREAD0.5) + 1.6(LRoof)$
Comb 04-07	$1.41(Dead) + (Live + LREAD + 0.5LREDA0.5) + 0.2(Snow) + (\pm EXP \pm EY + EZ)$
Comb 08-11	$1.41(Dead) + (Live + LREAD + 0.5LREDA0.5) + 0.2(Snow) + (\pm EXN \pm EY + EZ)$
Comb 12-15	$1.41(Dead) + (Live + LREAD + 0.5LREDA0.5) + 0.2(Snow) + (\pm EX \pm EYP + EZ)$
Comb 16-19	$1.41(Dead) + (Live + LREAD + 0.5LREDA0.5) + 0.2(Snow) + (\pm EX \pm EYN + EZ)$
Comb 20-23	$0.9(Dead) + (\pm EXP \pm EY)$
Comb 24-27	$0.9(Dead) + (\pm EXN \pm EY)$
Comb 28-31	$0.9(Dead) + (\pm EX \pm EYP)$
Comb 32-35	$0.9(Dead) + (\pm EX \pm EYN)$

معرفی ترکیب بارهای غیر خطی

به طور خاک مصالحی است که تنشهای کششی ندارد و در صورت بلندشدگی در بخشی از فونداسیون از ظرف خاک هیچگونه مقاومتی مشاهده نخواهد شد. برای شبیه سازی اثرات خاک زیر فونداسیون از فنرهای صرفا فشاری استفاده شده است لیکن در صورت وجود تنش کششی در بخشی از فونداسیون ، به طور عادی نرم افزار از آنها برای تعیین تلاش های داخلی استفاده میکند. لذا به جهت اینکه تنش کششی در زیر پی ها وجود نداشته باشد و نرم افزار آنها را در آنالیز حذف کند و سپس توزیع تنش فشاری صورت گیرد ، باید یک سری ترکیب بار غیر خطی برای انجام این فرایند به نرم افزار معرفی شود

۱۶-۶ بارهای وارده به پی

۱۶-۶-۱ بار مرده کف

نوع مصالح	ضخامت (m)	وزن مخصوص (kg/m^3)	شدت بار (kg/m^2)
موزاییک	0.03	2250	67.5
ملات ماسه سیمان	0.02	2100	42
بتن کف	0.05	2400	120
بلوکاژ	0.2	1400	280
مجموع			515

لازم به ذکر است که باید بار تیغه بندی را نیز به بار مرده اضافه کرد که با توجه به دیوارهای انباری این بار حدود ۹۰ کیلوگرم بر متر مربع به دست می آید که در این صورت باید حداقل مقدار آیین نامه یعنی ۱۰۰ کیلوگرم بر متر مربع را ملاک قرار دهیم

درنتیجه مقدار بار مرده وارد بر کف برابر با ۶۱۵ کیلوگرم بر متر مربع میباشد

بار زنده کف

بار زنده کف پارکینگ نیز طبق آیین نامه بحث ششم مقررات ملی ویرایش سال ۱۳۹۲ برابر با ۳۰۰ کیلوگرم بر متر مربع میباشد. لازم به ذکر است که این بار زنده با وجود کمتر بودن از ۵۰۰ کیلوگرم بر متر مربع غیر قابل کاهش میباشد.

کنترل‌ها

۱۶-۷-۱- کنترل تنش زیر پی

برای کنترل تنش زیر پی ترکیب بار از نوع Envelope تعریف شده است که ترکیب بار به نام $P(Push)$ مجموع پوش ترکیب بارهای کنترل تنش شامل زلزله میباشد.

برای کنترل این مورد باید مقدار تنش تحت اثر ترکیب بار ENV-G از منفی ۲ کیلوگرم بر سانتی متر مربع کمتر باشد.

الف- در صورتی که مدارک فنی ساختمان یا گزارش مطالعات ژئوتکنیک انجام شده برای محل موردنظر در دسترس بوده و حاوی اطلاعاتی درمورد پارامترهای طراحی پی‌ها باشند، محاسبه‌ی ظرفیت باربری مورد انتظار تجویزی توسط روابط زیر مجاز است:

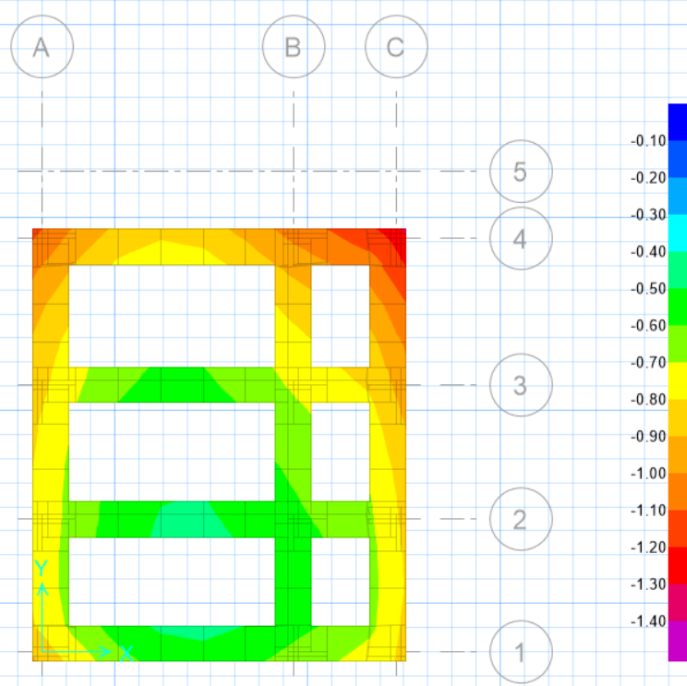
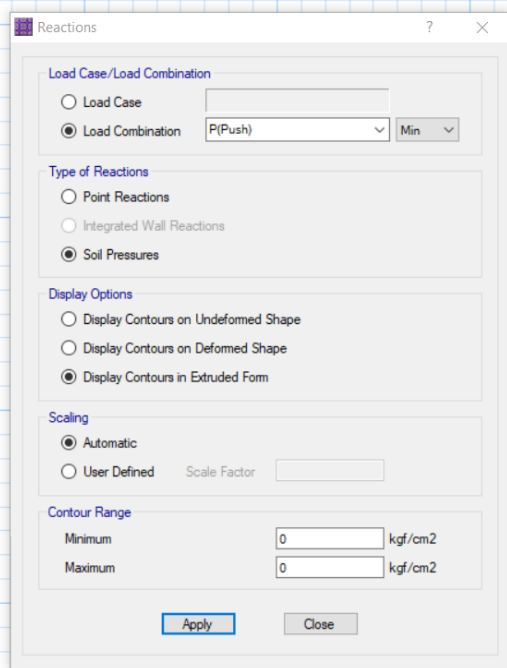
۱- پی سطحی: ظرفیت باربری مورد انتظار تجویزی پی سطحی، q_c ، می‌تواند از رابطه (۴-۱) محاسبه شود.

$$q_c = 3q_a \quad (۴-۱)$$

که در آن:

q_a : ظرفیت باربری مجاز ذکر شده در مدارک فنی موجود برای پی‌های سطحی تحت بارهای ثقلی.

مطابق بند فوق تنش‌ها اگر از مقدار فوق کمتر باشد نیازی به بهسازی پی نخواهد بود.



Max = -0.47 kgf/cm² at [406.667 cm, 65 cm]; Min = -1.319 kgf/cm² at [920 cm, 1069 cm]

➤ تنش‌ها کمتر از q_a بوده پی نیازی به بهسازی نخواهد داشت.